

И. В. ПЯТНИЦКИЙ

---

**ТЕОРЕТИЧЕСКИЕ  
ОСНОВЫ  
АНАЛИТИЧЕСКОЙ  
ХИМИИ**

---

ТЕОРЕТИЧЕСКИЕ ОСНОВЫ АНАЛИТИЧЕСКОЙ ХИМИИ

И. В. ПЯТНИЦКИЙ



**И. В. ПЯТНИЦКИЙ**

# **ТЕОРЕТИЧЕСКИЕ ОСНОВЫ АНАЛИТИЧЕСКОЙ ХИМИИ**

**(теория главных типов  
химических реакций)**

*Допущено Министерством высшего  
и среднего специального образования УССР  
в качестве учебного пособия для студентов  
химических специальностей университетов*

КИЕВ  
ГОЛОВНОЕ ИЗДАТЕЛЬСТВО  
ИЗДАТЕЛЬСКОГО ОБЪЕДИНЕНИЯ  
«ВИЩА ШКОЛА»  
1978



УДК 543 (07)

**Теоретические основы аналитической химии (теория главных типов химических реакций).** Пятницкий И. В. Киев, издательское объединение «Вища школа», 1978, 272 с.

В пособии рассматриваются четыре главных типа химических реакций: кислотно-основные процессы (теория Бренстеда, применение неводных растворителей в анализе и т. д.); реакции фазового разделения (связь между растворимостью соединений и положением соответствующих элементов в периодической системе элементов Д. И. Менделеева, закономерности соосаждения и т. д.); реакции комплексообразования (зависимость устойчивости комплексов от свойств катионов-комплексообразователей и лигандов, важнейшие методы определения состава и устойчивости комплексов в растворах и т. д.); окислительно-восстановительные реакции (механизмы окислительно-восстановительных, сопряженных и каталитических реакций).

Пособие предназначено для студентов университетов, специализирующихся в области аналитической химии; может быть полезным для аспирантов, научных сотрудников и сотрудников заводских химических лабораторий, а также для студентов технических и других вузов, изучающих аналитическую химию.

Табл. 49. Ил. 27. Список лит.: 37 назв.

Рецензенты: докт. хим. наук, проф. Л. П. Адамович, докт. хим. наук, проф. И. А. Шевчук

Редакция литературы по химии, химической технологии, горному делу и металлургии  
Зав. редакцией Т. С. Антоненко

П 20506—077  
М211(04)—78 34—78

© Издательское объединение «Вища школа», 1978.



## **Предисловие**

Настоящее учебное пособие составлено в соответствии с программой курса лекций для студентов, специализирующихся по аналитической химии.

Определение предмета теоретических основ аналитической химии представляет трудную задачу. В наши дни методами аналитической химии пользуются не только химики, но и многие другие специалисты. Очень разнообразны объекты химического анализа, причем жизнь выдвигает все время новые сложные проблемы. Так, важной задачей современной аналитической химии является контроль загрязнений окружающей среды, анализ космических объектов и др. Для решения существующих и возникающих проблем аналитическая химия располагает богатым арсеналом химических и физических методов анализа. Поэтому теория аналитической химии включает самые различные разделы химии и физики, в содержании которых отражены закономерности, связанные с задачами анализа. Так, например, в теории аналитической химии должны быть отражены закономерности образования комплексных соединений, являющихся предметом неорганической химии. Однако аналитиков интересует вполне определенный аспект данной проблемы, в частности, состав и устойчивость комплексов в растворах. Для аналитиков в первую очередь важно знать, как реагируют органические реагенты с неорганическими ионами — вопрос, которым специалисты по органическому синтезу занимаются мало.

После изучения качественного и количественного анализа студенты не владеют еще теорией в той степени, в какой это необходимо квалифицированному специалисту.



С другой стороны, теория отдельных методов анализа изучается в специальных курсах. Вот почему автор считает главной задачей настоящего учебного пособия подробное изложение разделов, составляющих фундамент аналитической химии и имеющих значение для всех спецкурсов. Пособие представляет собой руководство по теории классических методов анализа. В книге уделено внимание изменению свойств рассматриваемых типов соединений в зависимости от положения элементов в периодической системе. Изложены методы определения важнейших констант и приведены некоторые примеры расчетов сложных равновесий. Знакомство с такими сведениями имеет важное значение в подготовке квалифицированных химиков-аналитиков. Известно, что исследовательские работы по использованию новых соединений в значительной степени заключаются именно в нахождении различных количественных характеристик равновесий. Не менее важно уметь применять данные о константах химических процессов для разработки методик и установления оптимальных условий определения отдельных элементов.

В пособии изложены в основном свойства соединений, образованных неорганическими лигандами, поскольку применение органических реагентов рассматривается в специальных руководствах. Однако автор считал целесообразным привести некоторые данные о комплексах металлов с органическими лигандами, в частности, об органических соосадителях, об изменении прочности комплексов металлов с органическими лигандами и другие, иначе была бы нарушена логическая последовательность изложения.

В разделе о реакциях окисления-восстановления рассматриваются главным образом механизмы протекания таких реакций, которым в общем курсе количественного анализа уделено мало внимания.

В пособии рассматриваются также каталитические методы анализа, отличающиеся высокой чувствительностью.



Теоретическим основам аналитической химии посвящен ряд учебных пособий и монографий. Следует прежде всего упомянуть о книге Н. А. Тананаева «Теоретические основы аналитической химии», изданной в г. Свердловске в 1956 г. Фундаментальная монография Г. А. Лайтинена «Химический анализ» содержит теоретические сведения по различным современным методам анализа, однако она предназначена главным образом для аспирантов и преподавателей, а также для уже хорошо подготовленных специалистов в области аналитической химии, желающих углубить и расширить свои знания в данной области.

Автор с благодарностью примет замечания и пожелания, направленные на улучшение этого пособия.

*Автор*



## Введение

Аналитическая химия — наука о методах определения состава веществ. Методы эти многочисленны и разнообразны. Существуют химические методы анализа, основанные на использовании химических реакций. В физических методах анализа измеряется непосредственно какой-либо физический параметр системы, связанный функциональной зависимостью с количеством вещества; химические реакции или не проводятся, или имеют второстепенное значение. Подробная классификация химических и физических методов анализа рассмотрена в общем курсе количественного анализа.

В теории аналитической химии рассматриваются проблемы, связанные и граничащие со многими направлениями неорганической, органической и физической химии, физики, математики. Один из главных разделов теории — теория основных типов химических реакций, применяющихся в анализе. Это кислотно-основные реакции, реакции фазового разделения, комплексообразования и окисления-восстановления. Названный раздел составляет теоретический фундамент аналитической химии. Его изучение необходимо для понимания других не менее важных разделов теории.

Содержание настоящего учебного пособия — это теория перечисленных типов химических реакций. Некоторые рассматривающиеся в пособии вопросы освещены уже в учебнике А. К. Бабко и И. В. Пятницкого «Количественный анализ»; здесь они освещаются подробнее и глубже. Немногочисленные повторения вызваны желанием не нарушать логической стройности изложения материала.

Из-за ограниченного объема книги в ней не удалось рассмотреть многие другие разделы теории, репрезентирующие магистральные направления развития современной аналитической химии, в частности, теорию методов разделения и концентрирования, экстракции, хроматографии, электрохимических и фотометрических методов анализа.



## Раздел I. КИСЛОТНО-ОСНОВНЫЕ РЕАКЦИИ

### Глава 1. ОСНОВНЫЕ ТИПЫ КИСЛОТ И ИХ СВОЙСТВА

В кислотно-основном взаимодействии принимают участие органические и неорганические кислоты и основания. Рассмотрим сначала свойства неорганических кислот. Все сказанное ниже о неорганических кислотах справедливо также по отношению к неорганическим основаниям, поэтому свойства последних подробно не рассматриваются.

Способность кислот к диссоциации зависит от ряда причин — характера растворителя, типа химической связи и др. Большое значение имеют размеры и заряд анионов кислот. Ниже влияние последних двух факторов рассматривается подробно. Для удобства рассмотрения неорганические кислоты классифицированы на следующие три типа: 1) соединения элементов с водородом — бескислородные кислоты типа гидридов (например, галогеноводородные кислоты HF, HCl и др.); 2) соединения оксидов элементов с водой — кислородные кислоты (например, H<sub>2</sub>SO<sub>4</sub>, HClO<sub>4</sub> и др.); 3) комплексные кислоты — H<sub>4</sub>[Fe(CN)<sub>6</sub>], H<sub>2</sub>[SiF<sub>6</sub>] и др.

#### § 1. Бескислородные кислоты типа гидридов

Кислоты этого типа можно рассматривать как соединения, образованные вследствие взаимодействия протона с анионом. В первом приближении можно считать, что связь протона с анионом обусловлена электростатическим притяжением ионов противоположного заряда и характеризовать силу этого взаимодействия на основании закона Кулона:

$$F = -\frac{e_1 e_2}{r^2}, \quad (1)$$

где  $e_1$  и  $e_2$  — заряды соответственно протона и аниона,  $r$  — расстояние между центрами этих ионов.



Известно, что размеры протона на несколько порядков меньше размеров любого аниона, поэтому без большой ошибки расстояние  $r$  в уравнении (1) можно заменить радиусом аниона  $r_A$ . Рассматривая согласно электростатическим представлениям анион как шарик с радиусом  $r_A$ , весь отрицательный заряд которого сконцентрирован в центре этого шарика, некулоновские типы внутримолекулярного взаимодействия (поляризационные эффекты, которые приводят к деформации электронных оболочек и к образованию диполей) во внимание не принимают. Это делает теорию приближенной, но, как будет показано дальше, выводы теории в ряде случаев хорошо согласуются с экспериментом.

Из уравнения (1) следует, что сила бескислородных кислот, их способность к диссоциации должны зависеть от заряда и радиуса аниона кислоты. Увеличение заряда вызывает возрастание силы электростатического взаимодействия и, следовательно, уменьшение диссоциации. Наоборот, увеличение радиуса приводит к ослаблению связи и, следовательно, к увеличению диссоциации. Сформулированная закономерность иллюстрируется такими примерами.

**Влияние заряда** видно из изменения констант диссоциации следующих кислот:

|                       |                     |                     |                  |                   |
|-----------------------|---------------------|---------------------|------------------|-------------------|
| Кислота               | HF                  | H <sub>2</sub> O    | H <sub>3</sub> N | H <sub>4</sub> C  |
| Константа диссоциации | $6,8 \cdot 10^{-4}$ | $10^{-14}$          | $10^{-30}$       | —                 |
| Кислота               | HCl                 | H <sub>2</sub> S    | H <sub>3</sub> P | H <sub>4</sub> Si |
| Константа диссоциации | сильная             | $8,9 \cdot 10^{-8}$ | —                | —                 |

Аммиак или метан нельзя считать соединениями, образованными вследствие взаимодействия между ионами противоположного знака. Трехзарядный анион  $N^{3-}$  не существует, в молекуле аммиака между водородом и азотом проявляется ковалентная связь. Тем не менее в полярной молекуле  $NH_3$  электронная плотность смещена к азоту, и она значительно больше, чем на атоме кислорода, входящем в молекулу воды. Поэтому способность к отщеплению протонов уменьшается в направлении от HF к  $H_4C$  (известно, что метан вообще не проявляет никаких кислотных свойств).

Аналогичная зависимость характерна для другого ряда соединений, например, для HBr,  $H_2Se$ ,  $H_3As$ .

**Влияние размера анионов** легко проследить на примере изменения констант диссоциации следующих кислот:



|                       |                     |                     |                     |                     |
|-----------------------|---------------------|---------------------|---------------------|---------------------|
| Кислота               | HF                  | HCl                 | HBr                 | HI                  |
| Константа диссоциации | $6,8 \cdot 10^{-4}$ | сильная             | сильная             | сильная             |
| Кислота               | H <sub>2</sub> O    | H <sub>2</sub> S    | H <sub>2</sub> Se   | H <sub>2</sub> Te   |
| Константа диссоциации | $10^{-14}$          | $8,9 \cdot 10^{-8}$ | $1,3 \cdot 10^{-4}$ | $2,3 \cdot 10^{-3}$ |

В нижнем ряду наибольший размер имеет анион  $\text{Te}^{2-}$ . Следовательно, кислота  $\text{H}_2\text{Te}$  более сильная, чем другие кислоты этого ряда. Для галогеноводородных кислот эта зависимость не проявляется в водных растворах так четко, как для кислот нижнего ряда: между способностью кислот HCl, HBr и HI к диссоциации нет заметной разницы, ибо все эти кислоты сильные. Однако далее будет показано, что при переходе к неводным растворителям разница в силе перечисленных выше кислот уже хорошо заметна. Так, в пиридине, как растворителе,  $pK$  галогеноводородных кислот характеризуются следующими значениями:

|         |     |     |     |     |
|---------|-----|-----|-----|-----|
| Кислоты | HF  | HCl | HBr | HI  |
| $pK$    | 8,5 | 5,4 | 4,0 | 2,5 |

Иодистоводородная кислота — самая сильная, поскольку радиус аниона иода имеет наибольшее значение.

Сформулированные качественные закономерности объясняют изменение силы кислот в зависимости от размера радиуса аниона. Остается открытым вопрос о том, почему переход от слабой к сильной кислоте в ряду галогеноводородных кислот происходит именно между HF и HCl, а не, например, между HBr и HI. Качественное рассмотрение не дает также ответа на вопрос, почему все кислоты нижнего ряда являются слабыми и почему, как с галогеноводородными кислотами, не происходит перехода от слабой кислоты к сильной.

Количественная электростатическая теория дает ответ на поставленные вопросы. Такую теорию по отношению к кислотам разработал Ю. В. Ходаков. Основой теории являются положения, выдвинутые В. Косселем и Г. Магнусом, которые, пользуясь электростатическими представлениями, вычислили потенциальную энергию образования комплексных соединений различного состава. Суть вычислений сводится к следующему.

В. Коссель и Г. Магнус рассматривали комплексные соединения как соединения, образованные ионами противоположного знака, между которыми проявляются силы электростатического притяжения или отталкивания.

Предположим, что центральный ион (катион) с зарядом  $N$  координировал один лиганд — анион с зарядом  $n$ .



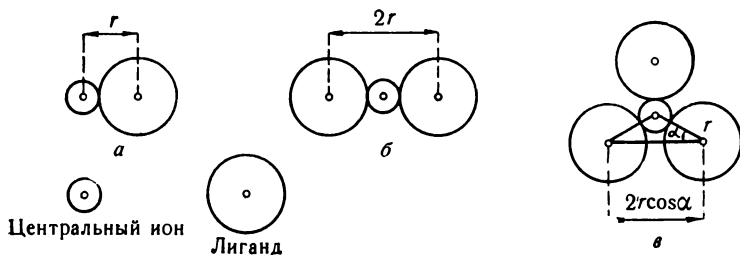


Рис. 1. Схема образования комплексов с различным количеством координированных лигандов.

Образование комплексной формы показано схематически на рис. 1, а.

Сила электростатического взаимодействия между этими ионами в вакууме по закону Кулона

$$F = -\frac{Nne^2}{r^2}, \quad (2)$$

где  $r$  — расстояние между центрами ионов, равное сумме радиусов центрального иона (катиона) и аниона-лиганда:

$$r = r_K + r_A. \quad (3)$$

Потенциальная энергия такого комплекса определяется работой, которую необходимо затратить, чтобы раздвинуть ионы, входящие в комплекс, на бесконечно большое расстояние. Она равна интегралу силы по пути:

$$E = \int_r^\infty F dr = - \int_r^\infty \frac{Nne^2}{r^2} dr = -\frac{Nne^2}{r}. \quad (4)$$

Предположим далее, что центральный ион координировал еще один лиганд и что образовалась комплексная частица, показанная схематически на рис. 1, б.

В этом комплексе, с одной стороны, существуют силы электростатического притяжения между катионом и лигандами, а, с другой, проявляются также силы отталкивания между лигандами с одинаковым знаком заряда. Центральный ион притягивает оба лиганда с силой, вдвое большей, чем сила притяжения одного лиганда, т. е. с силой  $-\frac{2Nne^2}{r^2}$ .

Оба аниона-лиганда находятся на расстоянии  $2r$ , следовательно, отталкиваются один от другого с силой  $\frac{n^2e^2}{(2r)^2}$ .



Поэтому баланс сил притяжения и отталкивания можно записать уравнением

$$F = -\frac{2Nne^2}{r^2} + 0,5 \frac{n^2e^2}{(2r)^2}. \quad (5)$$

Интегрирование уравнения (5) приводит к следующему выражению для потенциальной энергии комплекса:

$$E = -\frac{2Nne^2}{r} + 0,5 \frac{n^2e^2}{r}. \quad (6)$$

Одна из возможных геометрических конфигураций для трех лигандов — размещение их вокруг центрального иона на вершинах равностороннего треугольника, т. е. так, как показано на рис. 1, в.

Центральный ион притягивает три лиганда с силой, вдвое большей силы притяжения одного лиганда, т. е.  $-\frac{3Nne^2}{r^2}$ . Третий лиганд отталкивается от второго с силой  $\frac{n^2e^2}{(2r \cos \alpha)^2}$ , где  $\alpha = 30^\circ$ . Так как  $\cos 30^\circ = 0,86$ , эта сила отталкивания равна  $\frac{n^2e^2}{(1,72r)^2}$ . С такой же силой третий лиганд отталкивается от первого, а первый от второго, поэтому общая сила отталкивания составляет  $\frac{3n^2e^2}{(1,72r)^2}$ . Следовательно, баланс сил притяжения и отталкивания можно записать уравнением

$$F = -\frac{3Nne^2}{r^2} + \frac{3n^2e^2}{(1,72r)^2}. \quad (7)$$

Соответствующее выражение для потенциальной энергии имеет следующий вид:

$$E = -\frac{3Nne^2}{r} + 1,72 \frac{n^2e^2}{r}. \quad (8)$$

Аналогичные вычисления были произведены В. Косселем и Г. Магнусом для комплексов с числом координированных лигандов 4, 5, 6, 7 и 8. Общее уравнение потенциальной энергии образования определенной комплексной формы примет вид:

$$E = -\frac{KNne^2}{r} + a_K \frac{n^2e^2}{r}, \quad (9)$$

где  $K$  — число координированных лигандов,  $a_K$  — коэффициент, величина которого зависит от количества лигандов



в комплексе и их геометрического расположения вокруг центрального иона.

В самом деле, если количество координированных лигандов равно единице, тогда возможен только один способ их расположения, показанный на рис. 1, а. При двух лигандах один из возможных способов их расположения показан на рис. 1, б (центры зарядов находятся на прямой линии); другой способ — расположение под определенным углом, как в молекуле воды. Четыре лиганда могут разместиться по вершинам квадрата, либо по вершинам тетраэдра. Для каждой из этих двух конфигураций величина коэффициента  $a_K$  будет разной. Аналогично для пяти, шести, семи или восьми лигандов также возможно различное геометрическое расположение их вокруг центрального иона.

Уравнение (9) можно записать так:

$$E = \frac{e^2}{r} (-KNn + a_K n^2). \quad (10)$$

Выражение в скобках в правой части уравнения (10) называют *косселевским коэффициентом*. Он характеризует потенциальную энергию определенной комплексной формы. Наиболее устойчивой будет форма, имеющая минимальный запас энергии, т. е. та, при образовании которой выделилось максимальное количество энергии. Величины косселевских коэффициентов для комплексов с различным числом координированных однозарядных лигандов приведены в табл. 1.

Таблица 1

Косселевские коэффициенты для однозарядных лигандов

| Конфигурация              | K | Заряд центрального иона N |       |       |        |        |        |
|---------------------------|---|---------------------------|-------|-------|--------|--------|--------|
|                           |   | 1                         | 2     | 3     | 4      | 5      | 6      |
| Диполь                    | 1 | —1                        | —2    | —3    | —4     | —5     | —6     |
| Гантель                   | 2 | —1,5                      | —3,5  | —5,5  | —7,5   | —9,5   | —11,5  |
| Треугольник               | 3 | —1,27                     | —4,27 | —7,27 | —10,27 | —13,27 | —16,27 |
| Тетраэдр                  | 4 | —0,33                     | —4,33 | —8,33 | —12,33 | —16,33 | —20,33 |
| Тригональная бипирамида   | 5 | —                         | —3,53 | —8,53 | —13,53 | —18,53 | —23,53 |
| Октаэдр                   | 6 | —                         | —2,02 | —8,02 | —14,02 | —20,02 | —26,02 |
| Пентагональная бипирамида | 7 | —                         | —     | —6,55 | —13,55 | —20,55 | —27,55 |
| Куб                       | 8 | —                         | —     | —     | —12,26 | —20,26 | —28,26 |



Из табл. 1 видно, что для однозарядного центрального иона минимум потенциальной энергии наблюдается, если центральный ион координировал два лиганда. Наиболее устойчивый комплекс с минимальной потенциальной энергией при двухзарядном центральном ионе содержит четыре лиганда. Если заряд центрального иона равен четырем, то минимальную потенциальную энергию имеет комплекс с шестью лигандами.

Приведенная таблица была первым теоретическим энергетическим обоснованием величины координационного числа комплексов. Действительно, известно, что однозарядные центральные ионы характеризуются, как правило, координационным числом 2, двухзарядные — координационным числом 4, четырехзарядные — координационным числом 6. Из этого правила есть много исключений, однако необходимо иметь в виду, что приведенные выше расчеты были основаны на предположении, что в комплексных соединениях проявляется только ионная связь и что не возникает поляризационных явлений, приводящих к образованию ковалентной связи.

Ю. В. Ходаков применил развитые В. Косселем и Г. Магнусом положения для объяснения диссоциации кислот. Центральным ионом в этом случае выступает анион кислоты, координированными лигандами — протоны кислоты. Но в отличие от В. Коссея и Г. Магнуса Ю. В. Ходаков не только принимал во внимание электростатическое взаимодействие между протоном и анионом, но и учитывал влияние среды на это взаимодействие. Автор подчеркивал, что нельзя понять, как образуется та или иная форма (комплекс, простая или полимерная молекула и т. д.), если абстрагироваться от условий ее возникновения. Самое важное условие — характер среды. В связи с этим, по мнению автора, не могут существовать универсальные критерии устойчивости комплексной формы. Так, ион  $\text{NH}_4^+$  устойчив преимущественно в нейтральной или кислой среде, однако в щелочном растворе отщепляет протон и превращается в молекулу  $\text{NH}_3$ . Поэтому, по мнению Ходакова, проблема химической формы не существует как самостоятельная проблема, такой есть лишь проблема химического равновесия. Необходимо анализировать химические формы в заданных условиях, подчинив проблему химической формы более широкой и общей проблеме химического равновесия.

Рассмотрим, как объясняет Ю. В. Ходаков диссоциацию кислот. Для расчетов им введен новый количественный



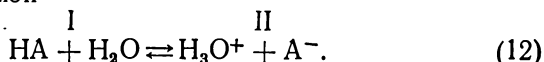
параметр, так называемая энергетическая характеристика  $P$ :

$$P = - \frac{-K N n + a_K n^2}{r_A}. \quad (11)$$

Следовательно, энергетическая характеристика  $P$  — это косселевский коэффициент, взятый с обратным знаком и деленный на радиус аниона кислоты.

Для кислот, принимая во внимание очень небольшие размеры протона,  $r_A = r$ , где  $r$  — расстояние между центрами ионов. Из выражения (11) видно, что чем больше энергетическая характеристика, тем более устойчивой должна быть определенная комплексная форма.

По Ходакову, диссоциацию одноосновных кислот можно представить схемой



Возможны два варианта равновесия. Вариант I — кислота и вода не реагируют практически между собой, следовательно, кислота находится в недиссоциированном состоянии. Вариант II — молекулы воды соединяются с протоном кислоты, образуя катионы гидроксония и свободные анионы кислоты.

Тот или иной вариант равновесия реализуется в зависимости от того, суммарная энергетическая характеристика какого из вариантов больше по величине. Если суммарная энергетическая характеристика варианта I больше аналогичной характеристики варианта II, кислота будет находиться в недиссоциированном состоянии. Если же в энергетическом отношении более выгоден вариант II, то должна проходить диссоциация кислоты. При первом варианте равновесия, когда  $P_I > P_{II}$ , кислота будет слабой, при втором варианте, когда  $P_I < P_{II}$ , кислота будет сильной.

Суммарная энергетическая характеристика подсчитывается как сумма энергетических характеристик определенных форм. Так, для первого варианта равновесия суммарная энергетическая характеристика

$$P_I = \frac{1}{r_A} + \frac{3,5}{r_{\text{O}^{2-}}}; \quad (13)$$

для второго варианта равновесия

$$P_{II} = \frac{4,27}{r_{\text{O}^{2-}}}. \quad (14)$$



В числителях дробей правой части уравнений стоят коселевские коэффициенты, взятые с обратным знаком. Так,  $\text{HA}$  рассматривается как комплексная форма с  $N = 1$  и  $K = 1$  (см. табл. 1),  $\text{H}_2\text{O}$  — как комплекс с  $N = 2$  и  $K = 2$ ,  $\text{H}_3\text{O}^+$  — как комплекс с  $N = 2$  и  $K = 3$ . Энергетическая характеристика аниона  $\text{A}^-$  равна нулю.

Предположим, что кислота  $\text{HA}$  является слабой кислотой. В этом случае суммарная энергетическая характеристика первого варианта равновесия должна быть большей, чем второго:

$$P_I > P_{II} \quad (15)$$

или

$$\frac{1}{r_A} + \frac{3,5}{r_{\text{O}^{2-}}} > \frac{4,27}{r_{\text{O}^{2-}}}. \quad (16)$$

Из неравенства (16) можно найти радиус аниона слабой кислоты  $r_A$ :

$$\frac{r_{\text{O}^{2-}}}{r_A} > 0,77 \quad (17)$$

или

$$r_A < \frac{r_{\text{O}^{2-}}}{0,77}. \quad (18)$$

Радиус оксид-иона  $r_{\text{O}^{2-}}$  равен  $1,32 \text{ \AA}$ . Следовательно, слабыми должны быть все кислоты, радиусы анионов которых

$$r_A < \frac{1,32}{0,77} \text{ или } r_A < 1,72 \text{ \AA}.$$

Радиусы анионов галогеноводородных кислот имеют следующие значения:

$$r_{\text{F}^-} = 1,33 \text{ \AA}; \quad r_{\text{Cl}^-} = 1,81 \text{ \AA}; \quad r_{\text{Br}^-} = 1,96 \text{ \AA} \text{ и } r_{\text{I}^-} = 2,20 \text{ \AA}.$$

Таким образом, из четырех кислот только одна, а именно  $\text{HF}$ , имеет анион с радиусом, меньшим критической величины  $1,72 \text{ \AA}$ . Поэтому только  $\text{HF}$  должна быть слабой кислотой, что соответствует действительности.

Двухосновные кислоты диссоциируют по первой ступени по уравнению





Суммарные энергетические характеристики первого и второго вариантов равновесия равны:

$$P_I = \frac{3,5}{r_A} + \frac{3,5}{r_{O^{2-}}} ; \quad P_{II} = \frac{4,27}{r_{O^{2-}}} + \frac{2,0}{r_A}.$$

Кислота  $H_2A$  будет слабой в том случае, если  $P_I > P_{II}$ . Следовательно, для слабой кислоты можно записать неравенство

$$\frac{3,5}{r_A} + \frac{3,5}{r_{O^{2-}}} > \frac{4,27}{r_{O^{2-}}} + \frac{2,0}{r_A}$$

или

$$r_A < \frac{1,5}{0,77} r_{O^{2-}},$$

откуда

$$r_A < 2,55 \text{ \AA}.$$

Это означает, что двухосновные кислоты типа  $H_2A$  будут слабыми в том случае, если радиусы анионов этих кислот меньше, чем  $2,55 \text{ \AA}$ .

Радиусы анионов кислот, образованных элементами шестой группы периодической системы, имеют следующие значения:

$$r_{O^{2-}} = 1,32 \text{ \AA}, \quad r_{S^{2-}} = 1,74 \text{ \AA}, \quad r_{Se^{2-}} = 1,91 \text{ \AA} \text{ и}$$

$$r_{Fe^{2-}} = 2,11 \text{ \AA}.$$

Величины радиусов этих анионов меньше, чем  $2,55 \text{ \AA}$ , поэтому, в соответствии с приведенным расчетом, кислоты  $H_2O$ ,  $H_2S$ ,  $H_2Se$  и  $H_2Te$  должны быть слабыми. Это соответствует действительности.

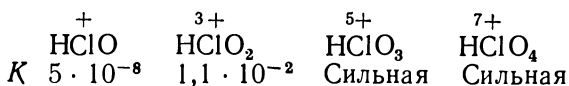
Таким образом, вычисление для двухосновных кислот типа  $H_2A$  также дает результаты, хорошо согласующиеся с действительными свойствами этих кислот в водных растворах.

## § 2. Кислородные и комплексные кислоты

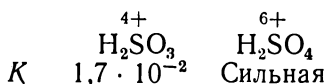
**Кислородные кислоты.** Некоторые качественные закономерности, установленные для диссоциации кислот типа  $H_2A$ , характерны и для кислородных кислот. Так, увеличение положительного заряда центрального иона вызывает



возрастание сил отталкивания между этим ионом и протоном, а следовательно, увеличение диссоциации. Приведенные примеры подтверждают правильность высказанного положения:

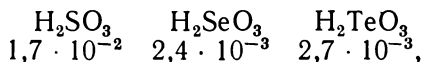


Мышьяковистая кислота  $\text{H}_3\text{AsO}_3$  — слабая кислота с константой диссоциации  $5,1 \cdot 10^{-10}$ , в то время как мышьяковая кислота  $\text{H}_3\text{AsO}_4$  — кислота средней силы ( $K = 6 \cdot 10^{-3}$ ). Аналогичная закономерность присуща сернистой и серной кислотам:



Конечно, нельзя считать, что в кислотах этого типа существуют ионы  $\text{S}^{4+}$ ,  $\text{S}^{6+}$  или ионы  $\text{Cl}^+$ ,  $\text{Cl}^{3+}$ ,  $\text{Cl}^{5+}$  и  $\text{Cl}^{7+}$ ; связь атомов хлора или серы с атомами кислорода в приведенных соединениях ковалентная, но положительный заряд в молекулах этих соединений смещен в направлении к хлору или сере, поэтому протоны отталкиваются тем сильнее, чем больше валентность центрального атома кислоты.

Зависимость силы кислородных кислот от радиусов анионов этих кислот не выражена так четко, как у кислот типа гидридов. Казалось бы, что в ряду кислот  $\text{H}_2\text{SO}_3$ ,  $\text{H}_2\text{SeO}_3$  и  $\text{H}_2\text{TeO}_3$  диссоциация должна увеличиваться при переходе от  $\text{H}_2\text{SO}_3$  к  $\text{H}_2\text{TeO}_3$ , так как радиус аниона  $\text{TeO}_3^{2-}$  больше, чем радиусы анионов  $\text{SeO}_3^{2-}$  и  $\text{SO}_3^{2-}$ , и поэтому связь протона в кислоте  $\text{H}_2\text{TeO}_3$  слабее, чем в кислоте  $\text{H}_2\text{SO}_3$ . Однако константы диссоциации этих кислот таковы:



т. е. селенистая и теллуристая кислоты диссоциируют приблизительно одинаково и меньше, чем сернистая кислота.

Можно было бы ожидать, что теллуровая кислота  $\text{H}_2\text{TeO}_4$  сильнее серной  $\text{H}_2\text{SO}_4$ ; в действительности же серная кислота является сильной кислотой, а теллуровая кислота — слабой ( $K = 2,0 \cdot 10^{-8}$ ).

Таким образом, простые электростатические закономерности в ряде случаев не пригодны для объяснения



диссоциации кислородных кислот. Для кислот этого типа справедливы такие два общих эмпирических правила.

1. Сила кислот зависит от соотношения между количеством атомов кислорода и водорода в молекуле кислоты. Эта зависимость выражена правилом Полинга.

Химический состав кислородных кислот можно представить общей формулой:  $\text{XO}_m(\text{OH})_n$ . Правило Полинга заключается в том, что кислоты с  $m = 0$  типа  $\text{X}(\text{OH})_n$  являются слабыми кислотами ( $K = 10^{-7}$  или меньше), кислоты с  $m = 1$  типа  $\text{XO}(\text{OH})_n$  в 10 000 раз сильнее кислот  $\text{X}(\text{OH})_n$  ( $K = 10^{-2}$ ). Наконец, кислоты с  $m > 1$  — сильные кислоты. Правило подтверждается данными, приведенными в табл. 2.

Таблица 2

Зависимость констант диссоциации кислородных кислот  $\text{XO}_m(\text{OH})_n$  от их химического состава

| $\text{X}(\text{OH})_n$ ( $m = 0$ ) |      | $\text{XO}(\text{OH})_n$ ( $m = 1$ ) |      | $\text{XO}_m(\text{OH})_n$ ( $m > 1$ ) |                 |
|-------------------------------------|------|--------------------------------------|------|--|-----------------|
| Кислота                             | $pK$ | Кислота                              | $pK$ | Кислота                                | $pK$            |
| $\text{HClO}$                       | 7,3  | $\text{HClO}_2$                      | 2,0  | $\text{HClO}_3$                        | Сильные кислоты |
| $\text{HBrO}$                       | 8,6  | $\text{H}_2\text{SO}_3$              | 1,8  | $\text{H}_2\text{SO}_4$                |                 |
| $\text{HIO}$                        | 10,6 | $\text{H}_3\text{PO}_4$              | 2,1  | $\text{H}_2\text{SeO}_4$               |                 |
| $\text{H}_4\text{SiO}_4$            | 9,9  | $\text{H}_3\text{AsO}_4$             | 2,2  | $\text{HClO}_4$                        |                 |
| $\text{H}_4\text{GeO}_4$            | 9,4  | $\text{H}_5\text{IO}_6$              | 1,6  | $\text{HMnO}_4$                        |                 |
| $\text{H}_3\text{BO}_3$             | 9,2  | $\text{HNO}_2$                       | 3,3  | $\text{HNO}_3$                         |                 |
| $\text{H}_3\text{AsO}_3$            | 9,3  | $\text{H}_2\text{CO}_3$              | 6,3  |  |                 |
| $\text{H}_3\text{SbO}_3$            | 11,0 |                                      |      |  |                 |
| $\text{H}_6\text{TeO}_6$            | 7,7  |                                      |      |  |                 |

Из таблицы видно, что исключение из правила составляет только угольная кислота.

2. Между ступенчатыми константами диссоциации многоосновных кислот существует следующая приблизительная зависимость:

$$K_1 : K_2 : K_3 = 1 : 10^{-5} : 10^{-10},$$

т. е. вторая константа диссоциации приблизительно в 100000 раз меньше первой, а третья — в 100000 раз меньше второй. Правило подтверждается данными, приведенными в табл. 3.

**Комплексные кислоты** — это соединения со сложными анионами, содержащими центральный ион и координированные вокруг него лиганды. Они образуются в резуль-

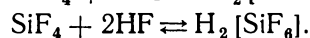
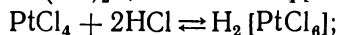
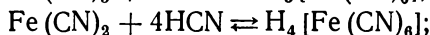
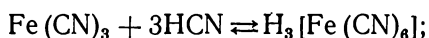


Таблица 3

Ступенчатые константы диссоциации многоосновных кислот

|                 | H <sub>2</sub> CrO <sub>4</sub> | H <sub>3</sub> AsO <sub>4</sub> | H <sub>3</sub> PO <sub>4</sub> | H <sub>4</sub> P <sub>2</sub> O <sub>7</sub> | H <sub>2</sub> SO <sub>3</sub> | H <sub>2</sub> SeO <sub>3</sub> | H <sub>3</sub> PO <sub>3</sub> | H <sub>2</sub> CO <sub>3</sub> |
|-----------------|---------------------------------|---------------------------------|--------------------------------|--|--------------------------------|---------------------------------|--------------------------------|--------------------------------|
| pK <sub>1</sub> | 0,75                            | 2,2                             | 2,1                            | 1,5  | 1,8                            | 2,6                             | 1,8                            | 6,4                            |
| pK <sub>2</sub> | 6,5                             | 7,0                             | 7,2                            | 2,4  | 7,2                            | 8,3                             | 6,7                            | 10,3                           |
| pK <sub>3</sub> | —                               | 11,5                            | 12,4                           | 6,6  | —                              | —                               | —                              | —                              |
| pK <sub>4</sub> | —                               | —                               | —                              | 9,3  | —                              | —                               | —                              | —                              |

тате взаимодействия солей и кислот с идентичными анионами, например:



**Комплексные кислоты** всегда сильнее тех кислот, которые принимали участие в их образовании. При взаимодействии SiF<sub>4</sub> и HF образуется комплексная кислота H<sub>2</sub> [SiF<sub>6</sub>]. Следовательно, химическая связь между атомами кремния и ионами фтора плавиковой кислоты сильнее, чем связь между ионами водорода и фтора в молекуле плавиковой кислоты. Таким образом, образование [SiF<sub>6</sub>]<sup>2-</sup> приводит к ослаблению связи Н—F в молекуле HF и к возрастанию диссоциации кислоты.

### § 3. Органические кислоты

Электростатическая теория мало применима для объяснения диссоциации органических кислот. Анионы органических кислот нельзя рассматривать как шарики с определенным радиусом, в центре которых находится отрицательный электрический заряд. Анионы органических кислот обычно содержат цепочку соединенных между собой атомов углерода, а следовательно, имеют определенную протяженность, причем отрицательный или положительный электрический заряд находится на одном из концов этой цепочки. Химическая связь между атомами в молекулах органических кислот ковалентная. Поэтому объяснение силы связи между протоном и анионом органической кислоты следует искать в различной полярности этой связи.



Полярность связей между атомами элементов в молекулах органических соединений определяется в свою очередь электроотрицательностью атомов элементов, образующих связи.

*Электроотрицательностью называется способность атомов притягивать к себе электроны: чем сильнее атом притягивает электроны, тем больше его электроотрицательность.* Величины электроотрицательности атомов некоторых элементов (в электронвольтах) приведены в табл. 4.

Таблица 4

**Электроотрицательность атомов некоторых элементов**

|              |               |               |               |               |
|--------------|---------------|---------------|---------------|---------------|
| <b>H</b> 2,1 | <b>C</b> 2,5  | <b>N</b> 3,0  | <b>O</b> 3,5  | <b>F</b> 4,0  |
|              | <b>Si</b> 1,8 | <b>P</b> 2,1  | <b>S</b> 2,0  | <b>Cl</b> 3,0 |
|              |               | <b>As</b> 2,0 | <b>Se</b> 2,4 | <b>Br</b> 2,8 |
|              |               |               |               | <b>I</b> 2,5  |

Количественная характеристика полярности связей определяется разностью электроотрицательности атомов элементов, образующих связь. Связь тем более полярная, чем больше разность электроотрицательностей.

В табл. 5 приведены полярности связей между атомами некоторых элементов.

Таблица 5

**Полярность связей между атомами в молекулах органических соединений**

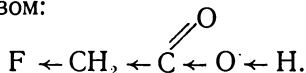
|          |          |           |
|----------|----------|-----------|
| C—H 0,4  | H—Si 0,3 | N—H 0,9   |
| O—H 1,4  | F—H 1,9  | Cl—H 0,9  |
| Br—H 0,7 | I—H 0,4  | N—C 0,5   |
| O—C 1,0  | C—S 0,5  | F—C 1,5   |
| Cl—C 0,5 | Br—C 0,3 | C—I 0,0   |
|          |          | Cl—Br 0,2 |

Полярность связи в молекулах органических кислот изменяется в зависимости от характера заместителей, которые вводят в состав этих кислот. Так, замещение одного из атомов водорода в метильном радикале алифатической органической кислоты (например, атомом фтора) вызовет увеличение силы кислоты: монофторуксусная кислота сильнее уксусной кислоты. Это объясняется так. Связь C—H в радикале —CH<sub>3</sub> характеризуется полярностью 0,4, т. е. систему из двух атомов C—H можно рассматривать как диполь, причем атом углерода является отрицательным, а атом водорода положительным концом диполя.



При замене атома водорода атомом фтора асимметричность связи C—F по сравнению с C—H увеличивается. Как видно из табл. 5, полярность связи CF характеризуется величиной 1,5, т. е. электронная пара смещается в направлении от углерода к фтору. Это приводит к увеличению положительного заряда на атоме углерода, в результате чего в направлении к этому атому углерода смещается электронная плотность от соседнего атома углерода, который в свою очередь приобретает положительный заряд и т. д. Таким образом, электрическая асимметрия связи C—F не локализуется в границах этих двух атомов, а передается по всей молекуле посредством индуктивного механизма, вследствие чего атом водорода карбоксильной группы приобретает способность легче отщепляться в виде свободного протона.

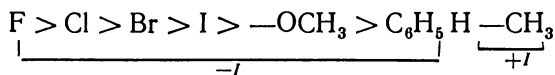
Такое влияние непосредственно не связанных атомов называется индуктивным влиянием и обычно изображается следующим образом:



Индуктивный эффект быстро «затухает» вдоль цепочки атомов.

Таким образом, атомы электроотрицательного характера несколько оттягивают электронную пару от соседнего атома, что вызывает индуктивное смещение электронных пар других связей в том же направлении. В рассматриваемом случае речь идет об отрицательном индуктивном эффекте  $-I$ . Если, наоборот, атом или группа атомов отталкивают электронную пару, тогда говорят о положительном индуктивном эффекте  $+I$ .

Заместители по их индуктивному эффекту располагаются в следующий ряд:



Индуктивный эффект водорода принят равным нулю.

Рассмотрим конкретные данные о влиянии заместителей на диссоциацию кислот. Как уже было сказано, большинство заместителей характеризуется отрицательным индуктивным эффектом, а следовательно, увеличивает диссоциацию. К таким заместителям относятся F, Cl, Br, CN, NO<sub>2</sub>, SO<sub>2</sub>, I, —COOC<sub>6</sub>H<sub>5</sub>, —OCH<sub>3</sub>, —OH. Радикал —CH<sub>3</sub> характеризуется положительным эффектом и уменьшает диссоциацию.



Рассмотрим сначала влияние заместителей на диссоциацию алифатических кислот. Соответствующие данные приведены в табл. 6.

Таблица 6

**Влияние заместителей на диссоциацию алифатических органических кислот**

| Название кислоты               | Формула кислоты                                      | pK   |
|--------------------------------|--|------|
| Гомологи муравьиной кислоты    |  |      |
| Муравьиная кислота             | HCOOH  | 3,75 |
| Уксусная кислота               | CH <sub>3</sub> COOH                                 | 4,75 |
| Пропионовая кислота            | CH <sub>3</sub> CH <sub>2</sub> COOH                 | 4,87 |
| Валериановая кислота           | CH <sub>3</sub> (CH <sub>2</sub> ) <sub>3</sub> COOH | 4,86 |
| Производные уксусной кислоты   |  |      |
| Уксусная кислота               | CH <sub>3</sub> COOH                                 | 4,75 |
| Трифторуксусная кислота        | CF <sub>3</sub> COOH                                 | 0,23 |
| Трихлоруксусная кислота        | CCl <sub>3</sub> COOH                                | 0,66 |
| Дихлоруксусная кислота         | CCl <sub>2</sub> HCOOH                               | 1,25 |
| Нитроуксусная кислота          | NO <sub>2</sub> CH <sub>2</sub> COOH                 | 1,68 |
| Метилсульфонилуксусная кислота | CH <sub>3</sub> SOCH <sub>2</sub> COOH               | 2,36 |
| Роданистоуксусная кислота      | SCNCH <sub>2</sub> COOH                              | 2,58 |
| Фторуксусная кислота           | CFH <sub>2</sub> COOH                                | 2,57 |
| Бромуксусная кислота           | CBH <sub>2</sub> COOH                                | 2,89 |
| Иодуксусная кислота            | CIH <sub>2</sub> COOH                                | 3,16 |
| Ацетилуксусная кислота         | CH <sub>3</sub> COCH <sub>2</sub> COOH               | 3,58 |
| Метоксиуксусная кислота        | CH <sub>3</sub> OCH <sub>2</sub> COOH                | 3,53 |
| Цианоуксусная кислота          | C(CN)H <sub>2</sub> COOH                             | 2,47 |

Если заместители с отрицательным индуктивным эффектом отделены от карбоксильной группы все большим количеством метиленовых групп —CH<sub>2</sub>—, которые являются слабыми проводниками электронных влияний, то кислотность увеличивается в результате введения таких заместителей, но индуктивный эффект уменьшается. Примерами могут служить следующие кислоты:

| Кислоты                      |  | pK   |
|------------------------------|--|------|
| α-Трифторуксусная кислота    | CF <sub>3</sub> COOH                                 | 0,23 |
| β-Трифторпропионовая кислота | CF <sub>3</sub> CH <sub>2</sub> COOH                 | 3,02 |
| γ-Трифтормасляная кислота    | CF <sub>3</sub> (CH <sub>2</sub> ) <sub>2</sub> COOH | 4,16 |

Диссоциация ароматических карбоновых кислот изменяется не только в зависимости от характера заместителя,



но и от того, в какое положение (*пара*-, *мета*- или *орто*-) становится заместитель.

Соответствующие данные приведены в табл. 7.

Таблица 7

Влияние характера и положения заместителей на диссоциацию бензойной кислоты и ее производных

| Название кислоты                | Формула кислоты      | pK         |            |            |
|---------------------------------|----------------------|------------|------------|------------|
| Бензойная кислота               | $C_6H_5COOH$         | 4,18       |            |            |
| 2,4,6-Тринитробензойная кислота | $(NO_2)_3C_6H_2COOH$ | 0,65       |            |            |
| Нитробензойная кислота          | $NO_2C_6H_4COOH$     | o-<br>0,27 | m-<br>3,49 | p-<br>3,43 |
| Цианобензойная кислота          | $CNC_6H_4COOH$       | —          | 3,60       | 3,55       |
| Фторбензойная кислота           | $FC_6H_4COOH$        | 3,27       | 3,87       | 4,14       |
| Хлорбензойная кислота           | $ClC_6H_4COOH$       | 2,94       | 3,83       | 3,98       |
| Бромбензойная кислота           | $BrC_6H_4COOH$       | 2,85       | 3,81       | 3,97       |
| Иодбензойная кислота            | $IC_6H_4COOH$        | 2,86       | 3,85       | 3,93       |
| Ацетилбензойная кислота         | $CH_3COC_6H_4COOH$   | 4,13       | 3,83       | 3,70       |
| Метоксибензойная кислота        | $CH_3OC_6H_4COOH$    | 4,09       | 4,09       | 2,47       |

Из табл. 7 видно, что все приведенные в ней заместители усиливают диссоциацию бензойной кислоты. В наибольшей степени это влияние проявляется, если заместитель вводится в *орто*-положение по отношению к карбоксильной группе. Введение заместителей в *мета*- и *пара*-положение дает меньший эффект. Это объясняется увеличением расстояния заместителя от карбоксильной группы.

### Список литературы

Альберт А., Сергент Е. Константы ионизации кислот и оснований. М.-Л., «Химия», 1964.

Хоодаков Ю. В. Элементы электростатической химии. М., ОНТИ, 1934.

### Глава 2. КОНЦЕНТРАЦИЯ ВОДОРОДНЫХ ИОНОВ В ВОДНЫХ РАСТВОРАХ ЭЛЕКТРОЛИТОВ

Вопрос о pH растворов кислот, оснований и солей подробно рассматривается в общем курсе количественного анализа. Ниже главное внимание уделено некоторым более сложным случаям, а также сделана оценка правомерности упрощений, которые допускались при выводе уравнений для вычисления кислотности растворов приведенных электролитов.



#### § 4. Концентрация водородных ионов в растворах кислот

В этом параграфе рассматриваются количественные зависимости, выведенные на основании применения закона действующих масс в его концентрационной форме. Связи между активностью и концентрацией, а также учету ионной силы раствора при вычислении концентрации водородных ионов посвящен § 9. Характеристика кислотности концентрированных растворов сильных кислот оценивается посредством функции Гаммета и приведена в § 5.

Сильные кислоты в разбавленных водных растворах диссоциируют практически полностью. Поэтому концентрация водородных ионов в таких растворах равна общей концентрации кислоты, откуда  $\text{pH} = -\lg C_{\text{HА}}$ .

Слабые кислоты диссоциируют частично. При выводе уравнений для вычисления концентрации водородных ионов в растворах слабых кислот в общем случае необходимо принимать во внимание также концентрацию водородных ионов, образующихся при диссоциации воды. Общее уравнение можно вывести исходя из следующих соображений.

Применяя закон действующих масс к диссоциации слабой кислоты



получаем:

$$\frac{[\text{H}^+][\text{A}^-]}{[\text{HА}]} = K_{\text{HА}}. \quad (2)$$

Но концентрация  $[\text{HА}]$  равна разности между общей концентрацией кислоты и концентрацией диссоциированной ее части:

$$[\text{HА}] = C_{\text{HА}} - [\text{A}^-]. \quad (3)$$

Определить концентрацию водородных ионов, образующихся при диссоциации воды, можно следующим образом. Согласно принципу электронейтральности раствора записываем:

$$[\text{H}^+] = [\text{A}^-] + [\text{OH}^-] \quad (4)$$

или

$$[\text{H}^+] = [\text{A}^-] + \frac{K_{\text{H}_2\text{O}}}{[\text{H}^+]}, \quad (5)$$

где  $K_{\text{H}_2\text{O}}$  — ионное произведение воды.



Из уравнения (5)

$$[A^-] = [H^+] - \frac{K_{H_2O}}{[H^+]}. \quad (6)$$

Подставляя значения  $[HA]$  и  $[A^-]$  из уравнений (3) и (6) в уравнение (2), после некоторых преобразований получаем:

$$\frac{([H^+]^2 - K_{H_2O}) [H^+]}{C_{HA} [H^+] - [H^+]^2 + K_{H_2O}} = K_{HA} \quad (7)$$

и окончательно

$$[H^+]^3 + [H^+]^2 K_{HA} - [H^+] [K_{H_2O} + K_{HA} C_{HA}] - K_{HA} K_{H_2O} = 0 \quad (8)$$

Уравнение (8) пригодно для вычисления концентрации водородных ионов слабых одноосновных кислот во всех без исключения случаях. Однако пользоваться им приходится сравнительно редко: если кислота настолько слабая, что концентрация ее водородных ионов в растворе соизмерима с концентрацией водородных ионов чистой воды. В других случаях уравнение (8) можно упростить.

Пусть, например, необходимо вычислить концентрацию  $[H^+]$  с погрешностью, не превышающей 1%. Если величина  $K_{H_2O} = 10^{-14}$  не превышает 1% от произведения  $K_{HA} C_{HA}$ , стоящего в скобках в уравнении (8), то слагаемым  $K_{H_2O}$  можно пренебречь и записать уравнение (8) в следующей форме:

$$[H^+]^3 + [H^+]^2 K_{HA} - K_{HA} ([H^+] C_{HA} + K_{H_2O}) = 0. \quad (9)$$

Но если  $K_{HA} C_{HA} \gg K_{H_2O}$ , то и  $[H^+] C_{HA} \gg K_{H_2O}$ , а следовательно,

$$[H^+]^3 + [H^+]^2 K_{HA} - [H^+] K_{HA} C_{HA} = 0. \quad (10)$$

Сокращая уравнение (10) на  $[H^+]$ , получим:

$$[H^+]^2 + [H^+] K_{HA} - K_{HA} C_{HA} = 0, \quad (11)$$

откуда

$$[H^+] = -\frac{K_{HA}}{2} + \sqrt{\left(\frac{K_{HA}}{2}\right)^2 + K_{HA} C_{HA}}. \quad (12)$$

Уравнение (12) также в ряде случаев можно упростить. Так, если величина  $\frac{K_{HA}}{2}$  мала по сравнению с величиной  $\sqrt{K_{HA} C_{HA}}$ , то

$$[H^+] = \sqrt{K_{HA} C_{HA}}, \quad (13)$$



откуда после логарифмирования и преобразований получаем хорошо известное уравнение

$$\text{pH} = \frac{1}{2}\text{p}K_{\text{HA}} - \frac{1}{2}\lg C_{\text{HA}}. \quad (14)$$

Пусть, например, необходимо получить результат с погрешностью, не превышающей 5% от истинного значения. Предположим, что  $K_{\text{HA}} = 1 \cdot 10^{-2}$  и  $C_{\text{HA}} = 1 \cdot 10^{-1}$ . Тогда  $\frac{K_{\text{HA}}}{2} = 5 \cdot 10^{-3}$ , а  $\sqrt{K_{\text{HA}}C_{\text{HA}}} = 3,3 \cdot 10^{-2}$ , т. е.  $\frac{K_{\text{HA}}}{2}$  составляет около 15% по отношению к  $\sqrt{K_{\text{HA}}C_{\text{HA}}}$ , поэтому для расчета следует пользоваться уравнением (12).

Если кислота более слабая, например,  $K_{\text{HA}} = 10^{-6}$  и  $C_{\text{HA}} = 1 \cdot 10^{-1}$ , то  $\frac{K_{\text{HA}}}{2} = 5 \cdot 10^{-7}$  составляет всего около 0,15% от  $\sqrt{K_{\text{HA}}C_{\text{HA}}} = 3,3 \cdot 10^{-4}$ . В этом случае можно пользоваться уравнениями (13) и (14).

Чем сильнее кислота и чем разбавленнее она, тем в меньшей степени применимы для вычисления концентрации водородных ионов или pH с заданной точностью уравнения (13) и (14). Причина состоит в том, что уравнение (13) выведено исходя из предположения, что  $[\text{HA}] = C_{\text{HA}}$ ; это предположение хорошо оправдывается только для слабых кислот при малом разбавлении.

Иногда приходится иметь дело с вычислением pH растворов кислот с очень малыми константами диссоциации  $K_{\text{HA}} \leq 10^{-14}$ . Так, ацетилен проявляет кислотные свойства, т. е. способен замещать атомы водорода на металл, образуя соли — ацетилениды. Известны, например, ацетилениды серебра, меди и некоторых других элементов. Однако ацетилен — очень слабая кислота с константой диссоциации  $10^{-18}$ . Глицерин или другие многоатомные спирты (маннит, сорбит и др.) в водных растворах проявляют кислотные свойства, образуя с катионами тяжелых металлов комплексные соединения вследствие замещения этими катионами водородных атомов оксигрупп. Константы диссоциации оксигрупп являются величинами порядка  $10^{-14}$  и меньше. Вычисление pH растворов названных соединений по уравнениям (12) или (13) не дает правильных результатов.

Предположим, что  $K_{\text{HA}} = 10^{-16}$ , а концентрация такой слабой кислоты равна 0,01 н. Для вычисления можно воспользоваться уравнением (8), упростив его следующим образом.



Пусть поставлена задача вычислить концентрацию  $[H^+]$  с погрешностью не более 1%. Произведение  $K_{HA}C_{HA}$  в скобках уравнения (8) равно  $10^{-18}$  и составляет всего 0,01% от величины  $K_{H_2O}$ , поэтому

$$[H^+]^3 + [H^+]^2 K_{HA} - K_{H_2O}([H^+] + K_{HA}) = 0. \quad (15)$$

Концентрация водородных ионов не может быть меньше  $10^{-7}$  из-за диссоциации воды. Поэтому слагаемым  $K_{HA}$  в скобках уравнения (15) также можно пренебречь, откуда после сокращения на  $[H^+]$  получаем:

$$[H^+]^2 + K_{HA}[H^+] - K_{H_2O} = 0. \quad (16)$$

Но так как величина  $K_{HA}[H^+]$  при данных условиях очень незначительна, то

$$[H^+] = \sqrt{K_{H_2O}} = 10^{-7}. \quad (17)$$

Аналогичный результат можно получить проще. Так, для кислоты с  $K_{HA} = 10^{-16}$  и  $C_{HA} = 10^{-2}$

$$[H^+] = \sqrt{K_{HA}C_{HA}} = 10^{-9}.$$

Эта величина составляет всего 1% от той концентрации водородных ионов, которая создается при диссоциации воды. В действительности она еще меньше, так как вода, которую в данных условиях можно рассматривать как более сильную кислоту, подавляет диссоциацию очень слабой кислоты HA. Поэтому можно считать, что уравнение (17) правильно.

Рассмотрим далее вычисление рН растворов слабых многоосновных неорганических кислот.

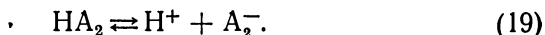
На примере слабых кислородных кислот было показано, что вторая константа двухосновной кислоты, как правило, приблизительно в 100000 раз меньше, чем первая константа диссоциации. Поэтому концентрация водородных ионов, которые образуются при диссоциации анионов кислот соли, значительно меньше концентрации водородных ионов, возникающих вследствие диссоциации молекулы кислоты с отщеплением одного иона водорода. Отсюда следует, что при вычислении рН растворов слабых многоосновных кислот необходимо принимать во внимание только первую константу диссоциации и рассматривать такую кислоту как одноосновную.

Нередко приходится иметь дело со смесью растворов двух слабых кислот. Если одна из этих кислот значительно слабее другой, то без заметной ошибки можно вычислять



pH раствора по уравнениям (12) или (13), принимая во внимание только константу диссоциации и концентрацию более сильной кислоты. Но в общем случае необходимо учитывать присутствие в растворе также более слабой кислоты.

Приближенное вычисление pH основано на таких соображениях. Диссоциация каждой из двух кислот описывается уравнениями:



Из закона электронейтральности раствора следует, что концентрация катионов должна быть равна сумме концентраций анионов, откуда

$$[\text{H}^+] = [\text{A}_1^-] + [\text{A}_2^-]. \quad (20)$$

Из уравнений (18) и (19) можно записать выражения для констант диссоциации обеих кислот:

$$K_1 = \frac{[\text{H}^+][\text{A}_1^-]}{[\text{HA}_1]}; \quad (21)$$

$$K_2 = \frac{[\text{H}^+][\text{A}_2^-]}{[\text{HA}_2]}; \quad (22)$$

Для приближенного вычисления предполагаем, что

$$[\text{HA}_1] = C_1; [\text{HA}_2] = C_2. \quad (23)$$

Учитывая выражения (23), находим из уравнений (21) и (22) концентрации анионов обеих кислот и подставляем их значения в уравнение (20). Тогда

$$[\text{H}^+] = \frac{K_1 C_1}{[\text{H}^+]} + \frac{K_2 C_2}{[\text{H}^+]}, \quad (24)$$

откуда

$$[\text{H}^+] = \sqrt{K_1 C_1 + K_2 C_2}. \quad (25)$$

**Пример.** Вычислить pH смеси растворов HF и HNO<sub>2</sub> при следующих условиях:  $C_{\text{HF}} = 1 \cdot 10^{-3}$ ,  $C_{\text{HNO}_2} = 2 \cdot 10^{-3}$ ,  $K_{\text{HF}} = 6,8 \cdot 10^{-4}$  и  $K_{\text{HNO}_2} = 5,1 \cdot 10^{-4}$ .

Подставляя приведенные значения концентраций и констант диссоциации в уравнение (19), получаем:

$$[\text{H}^+] = \sqrt{6,8 \cdot 10^{-4} \cdot 10^{-3} + 5,1 \cdot 10^{-4} \cdot 2 \cdot 10^{-3}} = \sqrt{1,7 \cdot 10^{-6}} = 1,3 \cdot 10^{-3}$$

или

$$\text{pH} = 2,89.$$



При более точных вычислениях необходимо иметь в виду, что концентрации недиссоциированных молекул обеих кислот равны:

$$\begin{aligned} [\text{HA}_1] &= C_1 - [\text{A}_1^-], \\ [\text{HA}_2] &= C_2 - [\text{A}_2^-], \end{aligned} \quad (26)$$

откуда

$$K_1 = \frac{[\text{H}^+][\text{A}_1^-]}{C_1 - [\text{A}_1^-]}; \quad K_2 = \frac{[\text{H}^+][\text{A}_2^-]}{C_2 - [\text{A}_2^-]}. \quad (27)$$

Из уравнений (27) после преобразований получаем:

$$[\text{A}_1^-] = \frac{K_1 C_1}{[\text{H}^+] + K_1}; \quad [\text{A}_2^-] = \frac{K_2 C_2}{[\text{H}^+] + K_2}. \quad (28)$$

Подставляя  $[\text{A}_1^-]$  и  $[\text{A}_2^-]$  из уравнений (28) в уравнение (20), приходим к следующему выражению:

$$[\text{H}^+] = \frac{K_1 C_1}{[\text{H}^+] + K_1} + \frac{K_2 C_2}{[\text{H}^+] + K_2}. \quad (29)$$

После приведения правой части уравнения к общему знаменателю получаем:

$$[\text{H}^+] = \frac{K_1 C_1 [\text{H}^+] + K_1 K_2 C_1 + K_2 C_2 [\text{H}^+] + K_1 K_2 C_2}{[\text{H}^+]^2 + K_2 [\text{H}^+] + K_1 [\text{H}^+] + K_1 K_2}, \quad (30)$$

а после преобразований приходим к уравнению

$$[\text{H}^+]^3 + (K_1 + K_2)[\text{H}^+]^2 - (K_1 C_1 + K_2 C_2 - K_1 K_2)[\text{H}^+] - K_1 K_2 (C_1 + C_2) = 0. \quad (31)$$

Это кубическое уравнение решается с применением специальных методов. Можно, например, поступить следующим образом. По уравнению (12) находим, какие концентрации  $[\text{H}^+]_1$  и  $[\text{H}^+]_2$  создавались, если бы каждая кислота в растворе была одна. Расчет показывает, что для азотистой кислоты  $[\text{H}^+]_1 = 7,9 \cdot 10^{-4}$ , а для фтористоводородной  $[\text{H}^+]_2 = 5,6 \cdot 10^{-4}$ . Таким образом, истинная концентрация  $[\text{H}^+]$  находится в пределах  $[\text{H}^+]_1 < [\text{H}^+] < ([\text{H}^+]_1 + [\text{H}^+]_2)$  или  $7,9 \cdot 10^{-4} < [\text{H}^+] < 13,5 \cdot 10^{-4}$ . Сделав несколько пробных подстановок чисел из найденного интервала, легко найти корень кубического уравнения (31). Вычисление показывает, что  $[\text{H}^+] = 1,03 \cdot 10^{-3}$  и  $\text{pH} = 2,98$ .

Существенным является вопрос о том, когда следует пользоваться уравнением (31), а когда можно применить



более простое уравнение (25). Ответ зависит от размеров допустимой ошибки. Предположим, что желательно получить результат с ошибкой, не превышающей 5% от истинной величины рН. Из изложенного на стр. 29 видно, что уравнение (31) учитывает концентрации диссоциированной части кислот [см. уравнения (27)], а уравнение (25) справедливо, если предположить, что  $[HA] = C_{HA}$  и что концентрациями  $[A]$  в знаменателях уравнений (27) можно пренебречь. Следовательно, уравнение (25) можно применить, если  $[A]$  составляет не более 5% от общей концентрации кислоты.

Приблизительный расчет по уравнению [25] показывает, что  $[H^+] \approx 1,3 \cdot 10^{-3}$ . Подставляя эту величину в выражение  $K_1$  уравнений [27], находим, что  $[F^-] = 3,4 \times 10^{-4}$ , т. е. составляет около 30% от общей концентрации фтористоводородной кислоты, равной  $1 \cdot 10^{-3}$ . Поэтому вычисление по уравнению (25) не может в данном случае дать результат с заданной степенью точности (5%).

Рассмотренный в этом параграфе подход к расчету сложных равновесий заключается в выведении точного уравнения, учитывающего все возможные химические процессы в растворе, и затем к постепенному упрощению этого точного уравнения в соответствии с конкретными задачами. Такой подход не является единственно возможным. Рассматривая какую-либо конкретную систему, можно сделать упрощающие предположения заранее, до выведения сложной зависимости. Тогда уравнения сразу становятся проще, решать их легче, хотя они и утрачивают свою общность. В последующем изложении мы будем пользоваться главным образом вторым способом.

## § 5. Функция кислотности Гаммета

Из изложенного в главе 2 видно, что кислотность разбавленных водных растворов сильных и слабых кислот обычно сравнивают по величине концентрации водородных ионов, которая создается при растворении этих кислот в воде. В разбавленных растворах коэффициенты активности водородных ионов мало отличаются от единицы, поэтому в большинстве практически важных случаев можно не принимать во внимание различия между активностью и концентрацией водородных ионов и считать их одинаковыми. Однако когда мы переходим к концентрированным растворам сильных кислот, в которых коэффициенты



активности водородных ионов сильно отличаются от единицы, такой способ сравнения становится непригодным. Сильные кислоты в концентрированных растворах могут иметь при одинаковой концентрации неодинаковую активность водородных ионов, и в этих случаях неправильно характеризовать кислотность величиной общей концентрации кислоты. Л. П. Гаммет предложил так называемую единую шкалу кислотности: кислотность концентрированных растворов сильных кислот сравнивают на основании действия этих кислот на индикаторы — слабые основания. Принимают, если цвет индикатора в концентрированных растворах двух сильных кислот одинаков — одинакова также кислотность этих растворов, несмотря на то, что одинаковый цвет может наблюдаться при различной общей концентрации кислот.

Для определения кислотности по Гаммету необходимо иметь набор индикаторов с различными величинами  $pK_a$ , где  $pK_a$  — логарифм термодинамической константы диссоциации протонизированной формы индикатора, взятый с обратным знаком. Индикаторами служат слабые органические основания, протонизация которых происходит в сильноокислых растворах. Количественной характеристикой кислотности является функция Гаммета, которую обозначают буквой  $H_0$  и численное значение которой находят по уравнению

$$H_0 = pK_a^B + \lg \frac{C_B}{C_{BH^+}}, \quad (1)$$

где  $pK_a^B = -\lg K_a^B$ , а  $K_a^B$  — термодинамическая (выраженная через активности) константа диссоциации протонизированной формы индикатора — слабого органического основания;  $C_B$  и  $C_{BH^+}$  — концентрации непротонизированной (B) и протонизированной ( $BH^+$ ) форм индикатора B.

Для экспериментального определения  $H_0$  необходимо выбрать такой индикатор, который при данной кислотности исследуемой кислоты находится частично в протонизированной ( $BH^+$ ), а частично в непротонизированной (B) формах, и, следовательно, имеет промежуточную окраску между окраской ионной и молекулярной форм. Отношение  $\frac{C_B}{C_{BH^+}}$  легко определить экспериментально. Рассмотрим в качестве примера определение  $H_0$  с индикатором *n*-нитроанилином. Для этого индикатора  $pK_a^B$  равно 1,1;



протонизированная форма индикатора желтого цвета, непротонизированная форма бесцветна.

Чтобы определить отношение  $\frac{C_B}{C_{BH^+}}$  в растворе исследуемой кислоты, поступают следующим образом. Прибавляют некоторое количество индикатора в раствор какой-либо сильной кислоты такой концентрации, которая обеспечивала бы практически полный переход индикатора в протонизированную форму, и измеряют *оптическую плотность* этого раствора. Следовательно,

$$D = \epsilon C,$$

где  $\epsilon$  — молярный коэффициент поглощения протонизированной формы индикатора,  $C$  — общая концентрация индикатора, которая в данных условиях равна концентрации протонизированной формы. Далее прибавляют такое же количество индикатора в раствор исследуемой кислоты. Как уже было сказано, индикатор выбирают с таким расчетом, чтобы в исследуемом растворе кислоты он имел промежуточную окраску, т. е., чтобы часть индикатора находилась в ионной, а часть — в молекулярной форме. Оптическая плотность будет меньше, чем в первом случае, и равна:

$$D_1 = \epsilon C_{BH^+}.$$

Разность  $D - D_1$  равна:

$$D - D_1 = \epsilon (C - C_{BH^+}) = \epsilon C_B,$$

откуда

$$\frac{D - D_1}{D_1} = \frac{C_B}{C_{BH^+}}.$$

Таким способом определяют отношение  $\frac{C_B}{C_{BH^+}}$  и по уравнению (1) вычисляют функцию Гаммета.

Отношение  $\frac{C_B}{C_{BH^+}}$  можно найти иначе, не измеряя оптическую плотность раствора. В раствор исследуемой кислоты приливают определенное количество раствора одноцветного индикатора (см. табл. 11), например, 10 капель; далее берут раствор какой-либо кислоты такой концентрации, которая обеспечивала бы полный переход индикатора в протонизированную форму, и добавляют к этому раствору раствор индикатора до тех пор, пока интенсивность окраски индикатора в обоих растворах станет одинаковой.



Предположим, что для этого необходимо было добавить 3 капли индикатора. Следовательно, в растворе исследуемой кислоты из 10 капель индикатора 3 капли находятся в протонизированной форме, а 7 капель (10—3) — в форме свободного основания. Поэтому

$$C_B : C_{BH^+} = 7 : 3.$$

Точность такого способа значительно ниже, однако определение можно выполнить быстрее.

Функция Гаммета не равна активности водородных ионов. Чтобы выяснить физический смысл этой функции, запишем уравнение (1) в другой форме:

$$pK_a^B = -\lg K_a^B = -\lg \frac{a_H a_B}{a_{BH^+}},$$

следовательно,

$$H_0 = \lg \frac{C_B}{C_{BH^+}} - \lg \frac{a_H a_B}{a_{BH^+}}$$

или

$$H_0 = -\lg a_H + \lg \frac{C_B a_{BH^+}}{C_{BH^+} a_B}.$$

Но

$$\frac{a_{BH^+}}{C_{BH^+}} = f_{BH^+}; \quad \frac{a_B}{C_B} = f_B,$$

поэтому

$$H_0 = -\lg a_H \frac{f_B}{f_{BH^+}}. \quad (2)$$

Таким образом,  $H_0$  — это логарифм (с обратным знаком) активности водородных ионов, помноженной на соотношение коэффициентов активности молекулярной и протонизированной форм индикатора. В концентрированных растворах кислот отношение  $\frac{f_B}{f_{BH^+}}$  может сильно отличаться от единицы, поэтому функция  $H_0$  также сильно отличается от  $-\lg a_{H^+}$ .

Из уравнения (2) видно, что  $H_0$  зависит от отношения  $\frac{f_B}{f_{BH^+}}$ ; использование  $H_0$  для характеристики кислотности растворов основано на предположении Л. П. Гаммета, которое состоит в том, что соотношение коэффициентов активности ионизированной и неионизированной форм основания (индикатора) в данном растворителе есть величина



постоянная для всех оснований одинакового типа зарядности, т. е.

$$\frac{f_B}{f_{BH^+}} = \frac{f_C}{f_{CH^+}} = \frac{f_D}{f_{DH^+}} \text{ и т. д.,}$$

где  $f_B$ ,  $f_C$ ,  $f_D$  и  $f_{BH^+}$ ,  $f_{CH^+}$ ,  $f_{DH^+}$  — коэффициенты активности непротонизированной и протонизированной форм индикаторов  $B$ ,  $C$ ,  $D$  и т. д.

Если принять это предположение, то следует вывод, что функция Гаммета отличается от  $-\lg a_H$  на постоянную величину, и, следовательно, функция  $H_0$  пропорциональна (но не равна)  $-\lg a_{H^+}$ .

В табл. 8 приведены величины  $H_0$  для разных кислот различной концентрации, определенные описанным выше методом.

Таблица 8

**Значения функции Гаммета для разных кислот  
в зависимости от их концентрации**

| Концентрация<br>кислот,<br>г-экв/л | Кислоты          |       |                   |                                |
|------------------------------------|------------------|-------|-------------------|--------------------------------|
|                                    | HNO <sub>3</sub> | HCl   | HClO <sub>4</sub> | H <sub>2</sub> SO <sub>4</sub> |
| 1,0                                | -0,18            | -0,20 | -0,22             | -0,26                          |
| 2,0                                | -0,67            | -0,69 | -0,78             | -0,84                          |
| 3,0                                | -1,02            | -1,05 | -1,23             | -1,38                          |
| 4,0                                | -1,32            | -1,40 | -1,72             | -1,85                          |
| 5,0                                | -1,57            | -1,76 | -2,23             | -2,28                          |
| 6,0                                | -1,79            | -2,12 | -2,84             | -2,76                          |
| 8,0                                | —                | -3,00 | -4,33             | -3,87                          |
| 10,0                               | —                | -3,68 | -5,79             | -4,89                          |

В табл. 9 приведены значения  $pK_a$  различных индикаторов — однокислотных оснований, которые можно использовать для экспериментального определения функции Гаммета.

Приведенные в табл. 9 значения  $pK_a$  были определены следующим образом. Сначала был взят индикатор, который является достаточно сильным основанием и заметно протонизированный даже в разбавленных растворах кислот. В этом случае можно принять

$$\frac{a_B}{a_{BH^+}} = \frac{C_B}{C_{BH^+}} \text{ и } a_{H^+} = C_{H^+}, \quad (3)$$

откуда

$$pK_a^B = -\lg \frac{a_{H^+} a_B}{a_{BH^+}} = pH - \lg \frac{C_B}{C_{BH^+}}. \quad (4)$$



Таблица 9

Значения  $pK_a$  индикаторов однокислотных оснований

| Индикатор                             | Переход окраски при увеличении кислотности | $pK_a$ |
|---------------------------------------|--|--------|
| <i>n</i> -Нитроанилин                 | ж — б <sup>1</sup>                         | 1,11   |
| <i>o</i> -Нитроанилин                 | ж — б                                      | —0,13  |
| <i>n</i> -Хлор- <i>o</i> -нитроанилин | ж — б                                      | —0,85  |
| <i>n</i> -Нитродифениламин            | —  | —2,38  |
| 2,4-Дихлор-6-нитроанилин              | ж — б                                      | —3,22  |
| <i>n</i> -Нитроазобензол              | б — ж                                      | —3,35  |
| 2,6-Динитро-4-метиланилин             | ж — б                                      | —4,32  |
| 2,4-Динитроанилин                     | ж — б                                      | —4,38  |
| N, N-Диметил-2,4,6-тринитроанилин     | ж — б                                      | —4,69  |
| Бензальацетофенон                     | б — ж                                      | —5,61  |
| <i>n</i> -Бензоилнафталин             | б — ж                                      | —5,92  |
| <i>n</i> -Бензоилдифенил              | б — ж                                      | —6,19  |
| 6-Бром-2,4-динитроанилин              | ж — б                                      | —6,59  |
| Антрахинон                            | б — ж                                      | —8,15  |
| 2,4,6-Тринитроанилин                  | ж — б                                      | —9,29  |

<sup>1</sup> ж — желтый; б — бесцветный.

Для определения  $pK_a^B$  измеряют pH раствора и определяют фотометрически, как было описано выше, отношение концентраций  $\frac{C_B}{C_{BH^+}}$ . Далее измеряют отношение

концентраций  $\frac{C_B}{C_{BH^+}}$  индикатора В в более концентрированном растворе кислоты, в которой заметно протонизирован индикатор С (более слабое основание, чем индикатор В), и измеряют в этом же растворе кислоты отношение концентраций  $\frac{C_C}{C_{CH^+}}$ . Вычислить  $pK_a^C$  можно на основании следующих соображений.

Для индикатора С записываем:

$$pK_a^C = -\lg \frac{a_{H^+} a_C}{a_{CH^+}}. \quad (5)$$

Из уравнений (4) и (5) получаем:

$$pK_a^C - pK_a^B = \lg \frac{a_B}{a_{BH^+}} - \lg \frac{a_C}{a_{CH^+}}.$$



Учитывая, что  $a = fC$ , приходим к уравнению

$$pK_a^C = pK_a^B + \lg \frac{C_B}{C_{BH^+}} - \lg \frac{C_C}{C_{CH^+}} - \lg \frac{f_C f_{BH^+}}{f_{CH^+} f_B}. \quad (6)$$

Как уже было сказано, Л. П. Гаммет предположил, что отношение

$$\frac{f_C}{f_{CH^+}} = \frac{f_B}{f_{BH^+}} = \frac{f_D}{f_{DH^+}}$$

является величиной постоянной. Поэтому последний член уравнения (6) равен нулю и

$$pK_a^C = pK_a^B + \lg \frac{C_B}{C_{BH^+}} - \lg \frac{C_C}{C_{CH^+}}. \quad (7)$$

Отношения  $\frac{C_C}{C_{CH^+}}$  и  $\frac{C_B}{C_{BH^+}}$ ; как уже было сказано, определяли экспериментально и далее, зная  $pK_a^B$ , вычисляли  $pK_a^C$  по уравнению (7).

Аналогично определяли  $pK_a$  всех остальных индикаторов, указанных в табл. 9.

Л. П. Гаммет считал, что предложенный им метод определения кислотности концентрированных растворов сильных кислот можно также использовать для сравнения кислотности растворов кислот в неводных растворителях различной химической природы. Но это положение оказалось неправильным. Н. А. Измайлов показал, что основное предположение Л. П. Гаммета о постоянстве соотношения коэффициентов активности протонизированной и непротонизированной форм индикатора не соответствует действительности, так как это соотношение может изменяться при переходе от одного растворителя к другому.

## § 6. Буферные растворы

Буферные растворы — это растворы смеси слабых кислот и их солей или растворы смеси слабых оснований и их солей. Буферными свойствами обладают также растворы кислых солей.

Название «буферные» обусловлено тем, что буферные растворы не изменяют заметно рН при разбавлении либо при добавлении растворов сильных кислот или сильных оснований. Особое значение в анализе имеет второе свойство буферных растворов: проведение какого-либо химиче-



ского процесса, сопровождающегося выделением или поглощением водородных ионов, при постоянном значении рН, легко достигается введением в систему буферного раствора.

Уравнение для вычисления рН буферных растворов можно вывести следующим образом.

Кислота, входящая в состав буферного раствора, диссоциирует по схеме



Применяя к этому равновесию закон действующих масс, получаем:

$$K_{\text{HA}} = \frac{[\text{H}^+][\text{A}^-]}{[\text{HA}]}. \quad (2)$$

Концентрация недиссоциированных молекул кислоты

$$[\text{HA}] = C_{\text{HA}} - [\text{H}^+]. \quad (3)$$

Принимая, что введенная в буферную смесь соль МеА диссоциирована полностью, получаем:

$$[\text{A}^-] = C_{\text{C}} + [\text{H}^+], \quad (4)$$

где  $C_{\text{C}}$  — общая концентрация соли.

Подставляя значения  $[\text{HA}]$  и  $[\text{A}^-]$  из уравнений (3) и (4) в уравнение (2), имеем:

$$K_{\text{HA}} = \frac{[\text{H}^+][C_{\text{C}} + [\text{H}^+]]}{C_{\text{HA}} - [\text{H}^+]}, \quad (5)$$

откуда

$$[\text{H}^+]^2 + (K_{\text{HA}} + C_{\text{C}})[\text{H}^+] - K_{\text{HA}}C_{\text{HA}} = 0. \quad (6)$$

Следовательно,

$$[\text{H}^+] = -\frac{K_{\text{HA}} + C_{\text{C}}}{2} + \sqrt{\left(\frac{K_{\text{HA}} + C_{\text{C}}}{2}\right)^2 + K_{\text{HA}}C_{\text{HA}}}. \quad (7)$$

Упрощенное уравнение для вычисления рН буферных растворов можно получить, если допустить, что  $[\text{HA}] = C_{\text{HA}}$  и  $[\text{A}^-] = C_{\text{C}}$ . Тогда уравнение (5) приобретает вид:

$$K_{\text{HA}} = \frac{[\text{H}^+]C_{\text{C}}}{C_{\text{HA}}}, \quad (8)$$

откуда получаем известное из общего курса количественного анализа уравнение

$$\text{pH} = \text{p}K_{\text{HA}} + \lg \frac{C_{\text{C}}}{C_{\text{HA}}}. \quad (9)$$



Вычисление по уравнению (9) может дать неправильные результаты в том случае, если кислота буферного раствора средней силы и если ее концентрация в растворе достаточно высока. Рассмотрим, например, случай, когда  $K_{\text{HA}} = 10^{-2}$ , а ее концентрация в растворе одномолярная, примем концентрацию соли равной 0,01 н. Тогда вычисление по приближенному уравнению (9) дает такой результат:  $\text{pH} = 2 + \lg \frac{10^{-2}}{1} = 2 - 2 = 0$ . Этот вывод неправилен, потому что даже свободная кислота (без введения соли) должна была бы иметь  $\text{pH} = 1$  [вычисление по уравнению (12), см. § 4]. В присутствии же некоторого количества соли кислотность станет еще меньшей.

Вычисление по уравнению [7] приводит к следующему результату:

$$\begin{aligned} [\text{H}^+] &= -\frac{10^{-2} + 10^{-2}}{2} + \sqrt{10^{-4} + 10^{-2}} = \\ &= 10 \cdot 10^{-2} - 1 \cdot 10^{-2} = 9 \cdot 10^{-2} \text{ или } \text{pH} = 1,05. \end{aligned}$$

Из этого примера видно, что правильный результат значительно отличается от значения  $\text{pH}$ , полученного по приближенному уравнению (9).

Из уравнения (9) непосредственно видна первая особенность буферных растворов, а именно,  $\text{pH}$  не изменяется при их разбавлении. В самом деле, при разбавлении изменяются абсолютные концентрации соли и кислоты, однако соотношение  $C_{\text{C}} : C_{\text{HA}}$  остается постоянным. Следовательно, не изменяется также  $\text{pH}$  раствора. Изменяться  $\text{pH}$  может только при очень большом разбавлении раствора и если кислота буферной смеси не очень слабая. В этих условиях  $[\text{HA}]$  не равняется общей концентрации кислоты  $C_{\text{HA}}$ , а концентрация анионов также заметно больше общей концентрации соли.

Разбавление влияет на  $\text{pH}$  буферной смеси также вследствие изменения ионной силы раствора, следовательно, коэффициентов активности частиц.

Как уже было сказано, второе характерное свойство буферных растворов состоит в том, что их  $\text{pH}$  заметно не изменяется при добавлении некоторых количеств сильных кислот или оснований. Каждый буферный раствор характеризуется определенной величиной буферной емкости.

*Буферная емкость* — это способность буферного раствора не изменять заметно  $\text{pH}$  при добавлении растворов сильной кислоты или сильного основания. Мерой буферной



емкости может служить количество миллилитров раствора сильной кислоты или сильного основания; которое необходимо добавить к раствору буферной смеси, чтобы рН этого раствора изменилось на единицу.

Рассмотрим, от каких факторов зависит емкость буферного раствора.

Предположим, что исходные концентрации соли и кислоты буферной смеси равны  $C_c$  и  $C_k$ , а соотношение

$$C_c : C_k = a, \text{ причем } C_c + C_k = C. \quad (10)$$

Для того чтобы рН буферной смеси увеличилось на единицу, необходимо добавить такое количество раствора NaOH, чтобы соотношение

$$C'_c : C'_k = 10a. \quad (11)$$

Предположим, что объем буферного раствора после добавления раствора NaOH заметно не изменяется, т. е.

$$C'_c + C'_k = C, \quad (12)$$

где  $C'_c$  и  $C'_k$  — концентрации компонентов буферной смеси после добавления раствора гидроксида натрия.

Из уравнения (11) можно записать:

$$C'_k = \frac{C'_c}{10a}. \quad (13)$$

Принимая во внимание, что  $C'_c = C - C'_k$ , уравнение (13) записываем так:

$$C'_k = \frac{C}{10a} - \frac{C'_k}{10a},$$

откуда

$$C'_k + \frac{C'_k}{10a} = \frac{C}{10a}.$$

Далее

$$C'_k \left( 1 + \frac{1}{10a} \right) = \frac{C}{10a}$$

и, наконец,

$$C'_k = \frac{C}{10a + 1}. \quad (14)$$

Количество (концентрация) прибавленного раствора гидроксида натрия ( $\Pi$ ) равно разности:

$$\Pi = C_k - C'_k = C_k - \frac{C}{10a + 1}$$



или

$$P = C_K - C'_K = \frac{C_K(10a + 1) - C}{10a + 1}. \quad (15)$$

Предположим, что есть два буферных раствора с  $pH = 5$ . Один из этих растворов приготовлен из смеси растворов ацетата натрия и уксусной кислоты, причем  $C_C = C_K$ ,  $C = 0,2$ , а  $pK_{HAc} = 5,0$ . Второй раствор приготовлен из смеси растворов фталевой кислоты и бифталата натрия, причем  $pK_{HФ} = 3,0$ ,  $C_C = 0,1$  и  $C_K = 0,001$ .

В соответствии с уравнением (9)

$$pH = pK + \lg \frac{C_C}{C_K}.$$

Оба раствора имеют  $pH = 5$ . Однако эти растворы очень сильно отличаются по своей буферной емкости, которую можно вычислить по уравнению (15). Предположим, что общий объем каждого раствора равен 100 мл.

Тогда для первого раствора

$$P = \frac{10 \cdot 0,1 + 0,1 - 0,2}{11} = \frac{0,9}{11} = 8,2 \cdot 10^{-2}.$$

Для второго раствора

$$P = \frac{10 \cdot 100 \cdot 0,001 + 0,0001 - 0,1001}{1000 + 1} = \frac{0,9}{1001} = 9 \cdot 10^{-4}.$$

Следовательно, для того чтобы значение  $pH$  первого раствора изменилось на единицу, необходимо создать в 100 мл первого раствора концентрацию гидроксида натрия  $8,2 \cdot 10^{-2}$ , прибавив 8,2 мл 1 н. раствора  $NaOH$ . Для того чтобы значение  $pH$  второго раствора изменилось на единицу, необходимо добавить 0,09 мл 1 н. раствора  $NaOH$ .

Из этого примера видно, что буферная емкость первого раствора приблизительно в 100 раз больше буферной емкости второго раствора.

Отсюда следует, что буферная емкость зависит в первую очередь от соотношения концентраций  $C_C : C_K$ . Чем ближе к единице это соотношение, тем больше буферная емкость. Максимальная буферная емкость соответствует соотношению  $C_C : C_K = 1$ .

Вычислим, какую будет буферная емкость первого раствора при том же соотношении  $C_C : C_K = 1$ , но при абсолютной концентрации этих компонентов в 10 раз большей, т. е. при  $C_C = C_K = 1$ .



В соответствии с уравнением (15)

$$p = \frac{10 + 1 + 1 - 2}{11} = \frac{9}{11} = 8,2 \cdot 10^{-1}$$

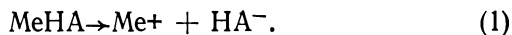
или рН изменится на единицу после прибавления 82 мл 1 н. раствора гидроксида натрия.

Следовательно, буферная емкость зависит также от абсолютных концентраций  $C_C$  и  $C_K$ ; она возрастает с увеличением концентрации компонентов буферной смеси.

## § 7. рН растворов кислых солей

Кислые соли — продукты неполного замещения ионов водорода двух- или многоосновных кислот катионами металлов — могут быть двух типов. Соли первого типа — это соли, образованные замещением ионов водорода кислоты катионами щелочных или щелочноземельных металлов, которые не гидролизуют в водных растворах. Соли второго типа образованы замещением ионов водорода кислоты катионами слабого основания, например, катионами аммония. Кислотность растворов солей обоих типов необходимо определять различными способами.

Рассмотрим сначала растворы кислых солей первого типа. Химический состав таких солей можно представить формулой  $MeHA$ , где  $Me^+$  — катион щелочного металла,  $A^{2-}$  — анион двухосновной кислоты  $H_2A$ . Соль  $MeHA$  практически полностью диссоциирована:



Щелочные или кислотные свойства раствора соли  $MeHA$  обусловлены анионами  $HA^-$ . Эти анионы способны диссоциировать с отщеплением ионов водорода:



Кроме этой реакции проходит гидролиз анионов по схеме



Диссоциация по уравнению (2) обуславливает кислую реакцию раствора соли  $MeHA$ . Гидролиз по уравнению (3) является причиной возможной щелочной реакции раствора  $MeHA$ . В зависимости от того, какой из этих двух процессов преобладает, раствор кислой соли может иметь кислую или щелочную реакцию.



При отсутствии гидролиза из уравнения (2) можно записать:

$$[\text{H}^+] = [\text{A}^{2-}]. \quad (4)$$

Но концентрация ионов водорода в действительности меньше концентрации анионов  $\text{A}^{2-}$ , так как вследствие реакции (3) выделяются ионы гидроксила, которые вступают во взаимодействие с ионами водорода и уменьшают концентрацию последних. Поэтому

$$[\text{H}^+] = [\text{A}^{2-}] - [\text{H}_2\text{A}]. \quad (5)$$

Определим концентрации анионов  $\text{A}^{2-}$  и молекул  $\text{H}_2\text{A}$  из выражений для констант диссоциации кислоты:

$$K_1 = \frac{[\text{H}^+][\text{HA}^-]}{[\text{H}_2\text{A}]} \text{ и } K_2 = \frac{[\text{H}^+][\text{A}^{2-}]}{[\text{HA}^-]}. \quad (6)$$

Подставляя в уравнение (5) значения  $[\text{A}^{2-}]$  и  $[\text{H}_2\text{A}]$  из уравнений (6), получаем:

$$[\text{H}^+] = \frac{K_2}{[\text{H}^+]} [\text{HA}^-] - \frac{[\text{H}^+]}{K_1} [\text{HA}^-], \quad (7)$$

откуда

$$[\text{H}^+]^2 \left[ 1 + \frac{[\text{HA}^-]}{K_1} \right] = K_2 [\text{HA}^-] \quad (8)$$

или окончательно

$$[\text{H}^+] = \sqrt{\frac{K_1 K_2 [\text{HA}^-]}{K_1 + [\text{HA}^-]}}. \quad (9)$$

Концентрацию ионов  $\text{HA}^-$  можно без большой ошибки считать равной общей концентрации соли  $[\text{HA}^-] = C_c$ , поэтому

$$[\text{H}^+] = \sqrt{\frac{K_1 K_2 C_c}{K_1 + C_c}}. \quad (10)$$

Из уравнения (10) видно, что концентрация ионов водорода в растворе кислой соли в общем случае зависит от концентрации соли. Если же концентрация соли значительно больше по величине, чем первая константа диссоциации кислоты, т. е. при  $C_c \gg K_1$ , уравнение (10) упрощается, приобретая вид:

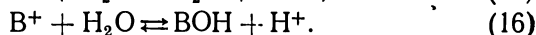
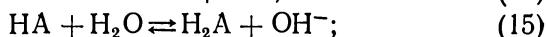
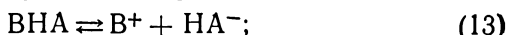
$$[\text{H}^+] = \sqrt{K_1 K_2}. \quad (11)$$



После логарифмирования и обычных преобразований уравнения (11) получаем:

$$pH = \frac{pK_1 + pK_2}{2}. \quad (12)$$

Если кислая соль образована при взаимодействии слабой двухосновной кислоты и слабого однокислотного основания, необходимо принимать во внимание не только уравнения (2) и (3), но и реакцию гидролиза катиона соли:



Таким образом, вследствие реакции (16) концентрация водородных ионов кислой соли ВНА должна быть при равных условиях больше концентрации водородных ионов кислой соли МеНА.

Из уравнений (14—16) можно записать:

$$[H^+] = [A^{2-}] - [H_2A] + [BOH]. \quad (17)$$

Константа диссоциации основания ВОН

$$K_O = \frac{[B^+][OH^-]}{[BOH]}, \quad (18)$$

откуда

$$[BOH] = \frac{[B^+][OH^-]}{K_O} = \frac{[B^+] K_{H_2O}}{K_O [H^+]}. \quad (19)$$

Объединяя уравнения (17), (6) и (19), получаем:

$$[H^+] = \frac{K_2}{[H^+]} [HA^-] - \frac{[H^+]}{K_1} [HA^-] + \frac{[B^+] K_{H_2O}}{K_O [H^+]}. \quad (20)$$

Считая приближенно, что

$$[B^+] = [HA^-] = C_C, \quad (21)$$

из уравнений (20) и (21) получаем:

$$[H^+]^2 \left[ 1 + \frac{C_C}{K_1} \right] = K_2 C_C + \frac{K_{H_2O}}{K_O} C_C. \quad (22)$$

Окончательно концентрация водородных ионов

$$[H^+] = \sqrt{\frac{(K_2 K_O + K_{H_2O}) C_C K_1}{K_O (K_1 + C_C)}}. \quad (23)$$



Во многих случаях  $K_1 \ll C_0$ . Тогда уравнение (23) упрощается:

$$[H^+] = \sqrt{\frac{(K_2 K_0 + K_{H_2O}) K_1}{K_0}}. \quad (24)$$

Упростив уравнение (24), получают уравнения, по которым можно найти pH растворов соли ВНА. Если  $K_{H_2O} \ll K_2 K_0$ , тогда уравнение (24) превращается в уравнение (11) или после преобразований в уравнение (12).

Если  $K_{H_2O} \gg K_2 K_0$ , то

$$[H^+] = \sqrt{\frac{K_{H_2O} K_1}{K_0}}, \quad (25)$$

а после логарифмирования и преобразований получаем:

$$pH = 7 + \frac{1}{2} pK_1 - \frac{1}{2} pK_0. \quad (26)$$

Примеры. 1. Найти pH 0,1 н. раствора гидросульфида аммония  $NH_4HS$ , исходя из таких данных:  $K_0 = 1,8 \cdot 10^{-5}$ ,  $pK_0 = 4,75$ ;  $K_1 = 5,7 \cdot 10^{-8}$ ,  $pK_1 = 7,24$ ;  $K_2 = 1,2 \cdot 10^{-15}$ ,  $pK_2 = 14,92$ .

В данном случае  $K_0 K_2 \ll K_{H_2O}$ , поэтому можно применить уравнение (26), тогда

$$pH = 7 + \frac{1}{2} \cdot 7,24 - \frac{1}{2} \cdot 4,75 = 8,25.$$

2. Найти pH 0,1 н. раствора гидросульфита аммония  $NH_4HSO_3$ , исходя из таких данных:  $K_1 = 1,70 \cdot 10^{-2}$ ,  $pK_1 = 1,76$ ;  $K_2 = 6,2 \cdot 10^{-8}$ ,  $pK_2 = 7,20$ .

В данном случае  $K_0 K_2 \gg K_{H_2O}$ , поэтому применяем уравнение (12), тогда

$$pH = \frac{1,76 + 7,2}{2} = 4,5.$$

3. Найти pH 0,1 М раствора гидрокарбоната аммония  $NH_4HCO_3$ , исходя из таких данных:  $K_1 = 4,5 \cdot 10^{-7}$ ,  $pK_1 = 6,35$ ;  $K_2 = 4,8 \cdot 10^{-11}$ ,  $pK_2 = 10,32$ .

В этом случае самый точный результат получим, применив уравнение (24):

$$\begin{aligned} [H^+] &= \sqrt{\frac{(0,9 \cdot 10^{-15} + 10^{-14}) 4,5 \cdot 10^{-7}}{1,8 \cdot 10^{-5}}} = \sqrt{2,7 \cdot 10^{-16}} = \\ &= 1,65 \cdot 10^{-8}; \quad pH = 7,78. \end{aligned}$$

## § 8. Гидролиз солей

Гидролизом называют взаимодействие ионов соли с водой, сопровождающееся образованием водородных или гидроксильных ионов, либо тех и других. Нередко в результате гидролиза раствор приобретает кислую или ще-



лочную реакцию, хотя в отдельных случаях реакция раствора может оставаться нейтральной.

Гидролиз наблюдается тогда, когда в растворе есть анионы слабых кислот или катионы слабых оснований, либо те и другие.

В зависимости от способности к гидролизу различают четыре типа солей.

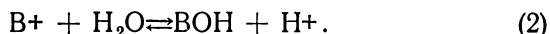
1. Соли сильных кислот и сильных оснований, например, хлорид натрия. Соли этого типа не подвергаются гидролизу, их растворы имеют нейтральную реакцию; при добавлении таких растворов к растворам сильных кислот или сильных оснований рН последних не изменяется.

2. Соли слабых кислот и сильных оснований, например, ацетат натрия. Такие соли гидролизуют и создают в растворе щелочную реакцию. Гидролиз обусловлен присутствием анионов слабой кислоты:



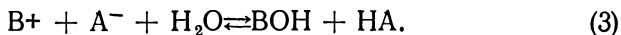
Величина рН растворов солей этого типа является мерой гидролиза: чем больше гидролиз, тем выше рН раствора. При добавлении растворов солей слабых кислот и сильных оснований к растворам сильных кислот рН последних увеличивается.

3. Соли слабых оснований и сильных кислот, например, хлорид аммония. Эти соли также гидролизуют, в результате чего раствор становится кислым. Гидролиз обусловлен присутствием катионов слабого основания:



Величина рН растворов солей этого типа также служит мерой гидролиза соли. При добавлении растворов таких солей к растворам сильных оснований рН последних уменьшается.

4. Соли слабых кислот и слабых оснований, например, ацетат аммония. Эти соли гидролизуют по реакции



Реакция растворов солей этого типа иногда близка к нейтральной, но степень гидролиза может быть очень значительной: рН раствора не является мерой гидролиза. При добавлении растворов солей этого типа рН растворов сильных кислот или сильных оснований изменяется в сторону нейтрализации, т. е. рН растворов кислот увеличивается, а рН растворов щелочей уменьшается.

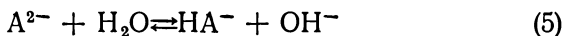


Рассмотрим подробно гидролиз солей второго типа.

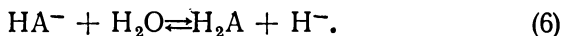
Процесс гидролиза можно записать таким уравнением:



Соли двухосновных кислот гидролизуют ступенчато, например,



и далее



Гидролиз по уравнению реакции (6) всегда происходит в значительно меньшей степени, чем по уравнению (5), так как вторая константа диссоциации слабой двухосновной кислоты всегда значительно меньше первой. Поэтому при выводе уравнения для вычисления рН растворов солей обычно вторую степень гидролиза можно не принимать во внимание и считать, что гидролиз описывается уравнением (5).

Из уравнения (4) получаем:

$$K' = \frac{[HA][OH^-]}{[A^-]} = \frac{K_{H_2O}}{K_{HA}}. \quad (7)$$

Концентрация  $HA$  меньше концентрации  $OH^-$ , потому что гидроксильные ионы образуются в растворе не только в результате гидролиза [уравнение (4)], но и вследствие диссоциации воды. Однако процесс, протекающий по уравнению (4), почти всегда создает в растворе значительно большую концентрацию гидроксильных ионов, чем та, которая образуется при диссоциации воды. Поэтому можно принять, что

$$[OH^-] = [HA]. \quad (8)$$

Для солей не очень слабых кислот, анионы которых гидролизуют сравнительно мало, можно принять, что  $[A^-] = C_C$ . В общем случае концентрация анионов соли

$$[A^-] = C_C - [OH^-]. \quad (9)$$

Уравнение (7) на основании выражений (8) и (9) примет вид:

$$\frac{[OH^-]^2}{C_C - [OH^-]} = \frac{K_{H_2O}}{K_{HA}}. \quad (10)$$



Из выражения для константы ионного произведения воды

$$[\text{OH}^-] = \frac{K_{\text{H}_2\text{O}}}{[\text{H}^+]}. \quad (11)$$

Подставив значение  $[\text{OH}^-]$  из уравнения (11) в (10), получим:

$$\frac{K_{\text{H}_2\text{O}}}{[\text{H}^+]^2 \left( C_C - \frac{K_{\text{H}_2\text{O}}}{[\text{H}^+]} \right)} = \frac{1}{K_{\text{HA}}} \quad (12)$$

или

$$C_C [\text{H}^+]^2 - K_{\text{H}_2\text{O}} [\text{H}^+] - K_{\text{H}_2\text{O}} K_{\text{HA}} = 0. \quad (13)$$

Уравнение (13) можно записать в следующей форме:

$$[\text{H}^+]^2 - \frac{K_{\text{H}_2\text{O}}}{C_C} [\text{H}^+] - \frac{K_{\text{H}_2\text{O}} K_{\text{HA}}}{C_C} = 0, \quad (14)$$

откуда

$$[\text{H}^+] = \frac{K_{\text{H}_2\text{O}}}{2C_C} + \sqrt{\left( \frac{K_{\text{H}_2\text{O}}}{2C_C} \right)^2 + \frac{K_{\text{H}_2\text{O}} K_{\text{HA}}}{C_C}}. \quad (15)$$

Уравнение (15) пригодно для точного вычисления концентрации водородных ионов растворов солей слабых кислот и сильных оснований. Если соль гидролизует не очень сильно, то  $\frac{K_{\text{H}_2\text{O}}}{2C_C} \ll \sqrt{\frac{K_{\text{H}_2\text{O}} K_{\text{HA}}}{C_C}}$ , и уравнение (15) упрощается:

$$[\text{H}^+] = \sqrt{\frac{K_{\text{H}_2\text{O}} K_{\text{HA}}}{C_C}}. \quad (16)$$

После логарифмирования и обычных преобразований получаем приближенное уравнение, известное из общего курса количественного анализа:

$$\text{pH} = 7 + \frac{1}{2} \text{p}K + \frac{1}{2} \lg C_C. \quad (17)$$

**Пример.** Найти pH 0,1 н. раствора  $\text{Na}_2\text{S}$ , исходя из таких данных:  $K_2 = 1,2 \cdot 10^{-15}$ ,  $\text{p}K_2 = 14,92$ .

Уравнение (17) применить нельзя, так как первым членом правой части уравнения (15) в сравнении со вторым членом нельзя пренебречь. Поэтому

$$[\text{H}^+] = 5 \cdot 10^{-14} + \sqrt{25 \cdot 10^{-28} + 1,2 \cdot 10^{-23}} = 5 \cdot 10^{-14} + \sqrt{26,2 \cdot 10^{-28}} = 5 \cdot 10^{-14} + 5,1 \cdot 10^{-14} \approx 10^{-13};$$

pH = 13.

Применение уравнения (17) дает в этом случае результат: pH = 13,96.



Рассмотрим далее гидролиз солей слабых кислот и слабых оснований. Такие соли гидролизуют по уравнению



откуда

$$K' = \frac{[BOH][HA]}{[B^+][A^-]}. \quad (19)$$

Приближенное уравнение для вычисления рН растворов солей этого типа можно вывести, предположив, что  $[B^+] = [A^-] = C_c$ . Это предположение справедливо, если соль гидролизуют не очень сильно. Предположение, что  $[BOH] = [HA]$ , справедливо только в том случае, если величины констант диссоциации основания  $BOH$  и кислоты  $HA$  равны или отличаются незначительно.

Тогда из уравнения (19) получаем:

$$\frac{[HA]^2}{C_c^2} = \frac{K_{H_2O}}{K_O K_{HA}}. \quad (20)$$

Из выражения для константы диссоциации кислоты

$$K_{HA} = \frac{[H^+][A^-]}{[HA]} = \frac{[H^+][C_c]}{[HA]} \quad (21)$$

находим:

$$[HA] = \frac{[H^+] C_c}{K_{HA}}. \quad (22)$$

Подставив значение  $[HA]$  из уравнения (22) в уравнение (20), получим:

$$[H^+] = \sqrt{\frac{K_{H_2O} K_{HA}}{K_O}}, \quad (23)$$

а после обычных преобразований

$$pH = 7 + \frac{1}{2}pK_{HA} - \frac{1}{2}pK_O. \quad (24)$$

Из уравнения (24) видно, что в отличие от рН растворов солей слабых кислот и сильных оснований, рН растворов солей типа  $BA$  не зависит от концентрации соли. Величина рН растворов таких солей может быть меньше и больше семи, т. е. раствор может иметь щелочную, кислую или нейтральную реакцию в зависимости от соотношения величин констант диссоциации основания и кислоты. Так, для  $NH_4OH$   $pK_O = 4,8$ , для  $H_2CO_3$   $pK_2 = 10,2$ , для  $CH_3COOH$   $pK = 4,8$  и для  $HCOOH$   $pK = 3,75$ . В соответствии с этими



значениями констант рН растворов приведенных ниже солей будут иметь следующие значения:

$$\begin{aligned} \text{CH}_3\text{COONH}_4 \quad \text{pH} &= 7,0 + 2,4 - 2,4 = 7,0; \\ \text{HCOONH}_4 \quad \text{pH} &= 7,0 + \frac{1}{2} \cdot 3,75 - \frac{1}{2} \cdot 4,8 = 6,47; \\ (\text{NH}_4)_2\text{CO}_3 \quad \text{pH} &= 7,0 + \frac{1}{2} \cdot 10,2 - \frac{1}{2} \cdot 4,8 = 9,70. \end{aligned}$$

Соли слабых кислот и слабых оснований гидролизуют значительно сильнее солей слабых кислот и сильных оснований, потому что в первом случае гидролизуют оба иона соли, а во втором — только анионы соли.

Рассмотрим подробно вопрос о степени гидролиза солей разных типов.

*Степень гидролиза* — это число, которое показывает, какая часть общего количества соли гидролизowana, или иначе — это отношение концентрации гидролизованной части соли к ее общей концентрации.

Для солей слабых кислот и сильных оснований, гидролизующих по уравнению  $\text{A}^- + \text{H}_2\text{O} \rightleftharpoons \text{HA} + \text{OH}^-$ ,

$$\frac{[\text{HA}]^2}{[\text{A}^-]} = \frac{K_{\text{H}_2\text{O}}}{K_{\text{HA}}}. \quad (25)$$

Если предположить, что  $[\text{A}^-] = C_c$ , то

$$\frac{[\text{HA}]^2}{C_c^2} = \frac{K_{\text{H}_2\text{O}}}{K_{\text{HA}} C_c}, \quad (26)$$

откуда

$$h = \frac{[\text{HA}]}{C_c} = \sqrt{\frac{K_{\text{H}_2\text{O}}}{K_{\text{HA}} C_c}}. \quad (27)$$

Из уравнения (27) видно, что степень гидролиза зависит: а) от величины  $K_{\text{H}_2\text{O}}$ : ионное произведение воды увеличивается с возрастанием температуры, поэтому увеличивается и гидролиз; б) от константы диссоциации кислоты: чем слабее кислота, тем больше степень гидролиза; в) от концентрации соли: в разбавленных растворах степень гидролиза больше, чем в концентрированных.

В большинстве случаев для вычисления степени гидролиза солей слабых кислот и сильных оснований можно применять уравнение (27); только для солей очень слабых кислот необходимо пользоваться более сложным квадратным уравнением. Равновесная концентрация анионов солей очень слабых кислот

$$[\text{A}^-] = C_c - [\text{HA}].$$



Тогда уравнение (25) примет вид:

$$\frac{[\text{HA}]^2}{C_C - [\text{HA}]} = \frac{K_{\text{H}_2\text{O}}}{K_{\text{HA}}}, \quad (28)$$

откуда

$$[\text{HA}]^2 + \frac{K_{\text{H}_2\text{O}}}{K_{\text{HA}}} [\text{HA}] - \frac{K_{\text{H}_2\text{O}} C_C}{K_{\text{HA}}} = 0. \quad (29)$$

Решив это квадратное уравнение, получим:

$$[\text{HA}] = -\frac{K_{\text{H}_2\text{O}}}{2K_{\text{HA}}} + \sqrt{\left(\frac{K_{\text{H}_2\text{O}}}{2K_{\text{HA}}}\right)^2 + \frac{K_{\text{H}_2\text{O}} C_C}{K_{\text{HA}}}} \quad (30)$$

или

$$h = \frac{[\text{HA}]}{C_C} = -\frac{K_{\text{H}_2\text{O}}}{2K_{\text{HA}} C_C} + \sqrt{\left(\frac{K_{\text{H}_2\text{O}}}{2K_{\text{HA}} C_C}\right)^2 + \frac{K_{\text{H}_2\text{O}}}{K_{\text{HA}} C_C}}. \quad (31)$$

Соли слабых кислот и слабых оснований гидролизуют значительно сильнее, чем в рассмотренном случае. Поэтому определение степени гидролиза по приближенным уравнениям обычно не дает правильных результатов.

Выведем уравнение для вычисления степени гидролиза солей типа ВА.

Если  $[\text{ВОН}] = [\text{HA}]$ , то уравнение (19) примет вид:

$$\frac{[\text{HA}]^2}{[\text{В}^+][\text{А}^-]} = K' = \frac{K_{\text{H}_2\text{O}}}{K_{\text{HA}} K_{\text{О}}}. \quad (32)$$

Но  $[\text{В}^+] = C_C - [\text{ВОН}]$  и  $[\text{А}^-] = C_C - [\text{HA}]$ , поэтому

$$\frac{[\text{HA}]^2}{(C_C - [\text{HA}])^2} = K' \quad (33)$$

или

$$\frac{[\text{HA}]}{C_C - [\text{HA}]} = \sqrt{K'},$$

откуда

$$[\text{HA}] = C_C \sqrt{K'} - [\text{HA}] \sqrt{K'}$$

и, наконец,

$$h = \frac{[\text{HA}]}{C_C} = \frac{\sqrt{K'}}{1 + \sqrt{K'}}. \quad (34)$$

Найдем степень гидролиза наиболее важных солей типа ВА. В анализе часто используют ацетат аммония; карбонат и сульфид аммония применяются как групповые реактивы на катионы второй и третьей группы. Соответствующие



константы, необходимые для вычисления, имеют следующие значения:

$$\begin{aligned}K_{\text{NH}_4\text{OH}} &= 1,8 \cdot 10^{-5}, \quad pK_O = 4,8; \\K_{\text{CH}_3\text{COOH}} &= 1,8 \cdot 10^{-5}, \quad pK = 4,8; \\K_2 \text{H}_2\text{CO}_3 &= 9 \cdot 10^{-11}, \quad pK_2 = 10,2; \\K_2 \text{H}_2\text{S} &= 1,2 \cdot 10^{-15}, \quad pK = 14,92.\end{aligned}$$

Степени гидролиза солей приведенных кислот и оснований равны для

$$\begin{aligned}\text{NH}_4\text{Ac: } h &= \frac{\sqrt{K'}}{1 + \sqrt{K'}} = \frac{\sqrt{\frac{10^{-14}}{10^{-4,8} \cdot 10^{-4,8}}}}{1 + \sqrt{\frac{10^{-14}}{10^{-4,8} \cdot 10^{-4,8}}}} = \\&= 10^{-2,2} = 6,3 \cdot 10^{-3}\end{aligned}$$

или

$$\begin{aligned}h &= 0,63\%; \\(\text{NH}_4)_2\text{CO}_3: K' &= \frac{10^{-14}}{10^{-4,8} \cdot 10^{-10,2}} = 10, \\h &= \frac{\sqrt{10}}{1 + \sqrt{10}} = \frac{3,3}{4,3} = 0,77\end{aligned}$$

или

$$\begin{aligned}h &= 77\%; \\(\text{NH}_4)_2\text{S: } K' &= \frac{10^{-14}}{10^{-4,8} \cdot 10^{-14,9}} = 10^{5,7} = 5 \cdot 10^5, \\h &= \frac{\sqrt{5 \cdot 10^5}}{1 + \sqrt{5 \cdot 10^5}} = \frac{7 \cdot 10^2}{1 + 7 \cdot 10^2} \approx 0,9999\end{aligned}$$

или

$$h = 99,99\%.$$

Степени гидролиза солей NaAc и Na<sub>2</sub>CO<sub>3</sub>, рассчитанные по уравнению (27), равны для

$$\text{NaAc: } h = \sqrt{\frac{10^{-14}}{10^{-4,8}}} = 2,5 \cdot 10^{-5}$$

или

$$\begin{aligned}h &= 0,0025\%; \\ \text{Na}_2\text{CO}_3: h &= \sqrt{\frac{10^{-14}}{10^{-10,2}}} = 1,25 \cdot 10^{-2}\end{aligned}$$

или

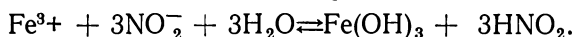
$$h = 1,25\%.$$



Степень гидролиза имеет большое теоретическое и практическое значение. Чтобы отделить вторую аналитическую группу от первой, обычно применяют раствор карбоната аммония, а не карбоната натрия. Это объясняется тем, что карбонат натрия вместе с барием, стронцием и кальцием осаждает также магний; концентрация анионов  $\text{CO}_3^{2-}$  в растворе карбоната натрия больше, чем в растворе карбоната аммония, который гидролизует приблизительно на 77%. Поэтому названные катионы значительно лучше разделяются с применением карбоната аммония (магний остается в растворе). Кроме того, присутствие ионов аммония обуславливает более кислую реакцию раствора карбоната аммония, чем карбоната натрия. Растворимость осадка карбоната магния в этом случае значительно больше, чем при осаждении карбонатом натрия. К этому следует также добавить, что при применении карбоната аммония в раствор не вводятся ионы натрия, которые подлежат открытию в фильтрате после осаждения второй группы.

Групповым реактивом на катионы третьей группы является сульфид аммония, а не сульфид натрия, так как последний может частично осаждать катионы второй группы в виде нерастворимых средних сульфидов. Сульфид аммония гидролизует значительно сильнее сульфида натрия, поэтому концентрация сульфид-ионов в растворе  $(\text{NH}_4)_2\text{S}$  недостаточна для осаждения сульфидов второй группы.

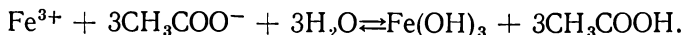
Способность солей слабых кислот и слабых оснований к сильному гидролизу используется в аналитической химии для гидролитического осаждения и разделения ионов. Так, разделить катионы железа и магния можно различными способами, но если магния мало по сравнению с количеством железа, то возможны процессы соосаждения, усложняющие анализ. В этом случае применим нитритный метод разделения. Смесь растворов хлорида железа и нитрита натрия ведет себя, как раствор нитрита железа, т. е. как соль слабой кислоты и слабого основания. При нагревании такого раствора проходит сильный двухсторонний гидролиз, и все железо осаждается в виде гидроксида:



На этом же принципе основан ацетатный метод отделения катионов алюминия и железа от катионов марганца, магния и кальция. Трехвалентные элементы гидролизуют сильнее двухвалентных, но гидролиз не доходит до конца. В присутствии же ацетата натрия гидролиз приводит к пол-

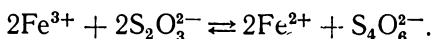


ному осаждению ионов железа и алюминия в виде гидроксидов или основных солей:

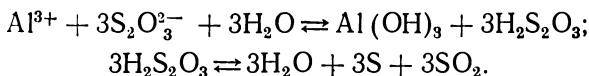


Таким образом создаются более мягкие условия разделения. При осаждении ионов железа и алюминия раствором гидроксида аммония возникают значительные осложнения — часть ионов марганца осаждается вместе с гидроксидами железа и алюминия.

Отделение ионов алюминия и редкоземельных элементов от ионов железа также основано на способности солей слабых кислот и слабых оснований к сильному гидролизу. К раствору добавляют раствор тиосульфата натрия. При этом Fe (III) восстанавливается до Fe (II):



Алюминий и редкоземельные элементы в присутствии анионов  $\text{S}_2\text{O}_3^{2-}$  сильно гидролизуют, образуя осадки гидроксидов:



## § 9. Влияние посторонних электролитов на диссоциацию кислот

Добавление сильных электролитов в растворы слабых кислот и оснований нарушает равновесие между недиссоциированными молекулами и ионами, увеличивая диссоциацию. Рассмотрим этот вопрос подробно на примере диссоциации слабых кислот.

Константы диссоциации слабых кислот могут быть *термодинамическими*, *концентрационными* и *смешанными*. При экспериментальном определении констант обычно стараются поставить эксперимент и обработать его результаты так, чтобы получить термодинамические значения констант. *Термодинамическими константами называют константы, выраженные через активности:*

$$K_{\text{HA}}^T = \frac{a_{\text{H}^+} a_{\text{A}^-}}{a_{\text{HA}}}. \quad (1)$$

Термодинамическая константа не зависит от концентрации кислоты или концентрации посторонних электроли-



тов, находящихся в растворе. В справочниках обычно приводят термодинамические значения констант.

*Концентрационные константы, выраженные через концентрации*, зависят от концентрации посторонних электролитов; то же относится и к смешанным константам, о которых будет сказано далее.

В разбавленных растворах слабых кислот концентрации водородных ионов и анионов, образующихся при диссоциации кислоты, обычно очень малы. Поэтому активности этих ионов практически равны их концентрациям.

В уравнении, связывающем активность с концентрацией,

$$a = fC, \quad (2)$$

коэффициент активности можно считать равным единице. Следовательно,

$$a = C. \quad (3)$$

Концентрация молекул кислоты также мало отличается от их активности.

При добавлении в раствор посторонних сильных электролитов равновесие



нарушается. Вокруг ионов водорода и анионов создается так называемая ионная атмосфера из ионов противоположного знака, которые содержатся в добавленном электролите. Поэтому в первый момент после добавления электролита активность ионов  $\text{H}^+$  и  $\text{A}^-$  уменьшается; это приводит к уменьшению числителя в уравнении (1). Однако поскольку термодинамическая константа не изменяется из-за присутствия каких-либо посторонних электролитов, равновесие (4) смещается вправо и активность ионов  $\text{H}^+$  и  $\text{A}^-$  снова увеличивается до тех пор, пока правый член уравнения (1) не станет таким же, каким он был до введения сильного электролита. В этом новом состоянии равновесия уравнение (3) перестает быть справедливым; коэффициент активности становится меньшим единицы и, следовательно, связь между активностью и концентрацией выражается теперь уравнением (2).

Объединяя уравнения (1) и (2), получаем:

$$K_{\text{HA}}^{\text{T}} = \frac{a_{\text{H}^+} a_{\text{A}^-}}{a_{\text{HA}}} = \frac{[\text{H}^+][\text{A}^-] f^2}{C_{\text{HA}}}. \quad (5)$$



Активность молекул  $\text{HA}$ , как и до введения сильных электролитов, практически равна концентрации  $C_{\text{HA}}$ , так как вокруг незаряженных молекул ионная атмосфера не образуется.

Принимая во внимание, что  $[\text{H}^+] = [\text{A}^-]$ , из уравнения (5) получаем:

$$[\text{H}^+] = \sqrt{\frac{K_{\text{HA}}^T C_{\text{HA}}}{f^2}}. \quad (6)$$

В отсутствие посторонних электролитов, когда  $f = 1$  и  $a = c$ , концентрация ионов водорода

$$[\text{H}^+] = \sqrt{K_{\text{HA}}^T C_{\text{HA}}}. \quad (7)$$

Следовательно, концентрация ионов водорода раствора слабой кислоты в присутствии сильного электролита больше, чем в его отсутствие.

Степень увеличения концентрации можно оценить, если известна величина коэффициента активности  $f$ .

Из теории Дебая и Гюккеля, которая подробно рассматривается в курсе физической химии, выведено несколько уравнений для теоретического вычисления коэффициентов активности ионов, а именно:

$$\lg f = - \frac{Az^2 \sqrt{\mu}}{1 + Ba \sqrt{\mu}}, \quad (8)$$

где  $z$  — заряд иона,  $\mu$  — ионная сила раствора, которую находят по уравнению

$$\mu = \frac{C_1 z_1^2 + C_2 z_2^2 + \dots + C_n z_n^2}{2}, \quad (9)$$

где  $C$  — концентрации ионов, присутствующих в растворе.

$A$  и  $B$  в уравнении (8) — константы, зависящие от природы растворителя. Для воды при  $20^\circ \text{C}$   $A = 0,5046$  и  $B = 0,3276$ ;  $a$  обозначает параметр ионного размера, соответствующий диаметру гидратированного иона в ангстремах. В табл. 10 приведены значения  $a$  для некоторых неорганических ионов.

Для ионов с величиной  $a$  в пределах 2,5—4,0 произведение  $Ba$  близко к единице, и уравнение (8) можно записать в более простой форме:

$$\lg f = \frac{-0,5z^2 \sqrt{\mu}}{1 + \sqrt{\mu}}. \quad (10)$$



Таблица 10

## Диаметры гидратированных ионов — параметры ионного размера

| Неорганические ионы   | a   | Неорганические ионы  | a  |
|---|-----|--|----|
| Rb <sup>+</sup> , Cs <sup>+</sup> , Tl <sup>+</sup> , Ag <sup>+</sup>   | 2,5 | Sr <sup>2+</sup> , Ba <sup>2+</sup> , Cd <sup>2+</sup> , Hg <sup>2+</sup> , S <sup>2-</sup> , [Fe(CN) <sub>6</sub> ] <sup>4-</sup> | 5  |
| K <sup>+</sup> , Cl <sup>-</sup> , Br <sup>-</sup> , I <sup>-</sup> , NO <sub>3</sub> <sup>-</sup> , NO <sub>2</sub> <sup>-</sup>   | 3,0 | Li <sup>+</sup>  | 6  |
| OH <sup>-</sup> , F <sup>-</sup> , SCN <sup>-</sup> , HS <sup>-</sup> , ClO <sup>-</sup> , ClO <sub>4</sub> <sup>-</sup> , BrO <sub>3</sub> <sup>-</sup> , IO <sub>4</sub> <sup>-</sup> , MnO <sub>4</sub> <sup>-</sup>   | 3,5 | Mg <sup>2+</sup> , Be <sup>2+</sup>  | 8  |
| Hg <sub>2</sub> <sup>2+</sup> , SO <sub>4</sub> <sup>2-</sup> , S <sub>2</sub> O <sub>3</sub> <sup>2-</sup> , S <sub>2</sub> O <sub>8</sub> <sup>2-</sup> , SeO <sub>4</sub> <sup>2-</sup> , ClO <sub>4</sub> <sup>-</sup> , PO <sub>4</sub> <sup>3-</sup> , Fe[(CN) <sub>6</sub> ] <sup>3-</sup> | 4,0 | Al <sup>3+</sup> , Fe <sup>3+</sup> , Cr <sup>3+</sup> , Sc <sup>3+</sup> , La <sup>3+</sup> , In <sup>3+</sup> , H <sup>+</sup>   | 9  |
| Na <sup>+</sup> , HCO <sub>3</sub> <sup>-</sup> , H <sub>2</sub> PO <sub>4</sub> <sup>-</sup> , Pb <sup>2+</sup> , CO <sub>3</sub> <sup>2-</sup> , MnO <sub>4</sub> <sup>2-</sup>   | 4,5 | Th <sup>4+</sup> , Zr <sup>4+</sup> , Ce <sup>4+</sup> , Sn <sup>4+</sup>  | 11 |

Уравнение (10) справедливо для растворов с ионной силой в интервале  $0 < \mu < 0,1$ .

Для расчета коэффициентов активности высокозарядных ионов, например, ионов циркония, гафния и других, а также ионов с большими диаметрами  $a$  лучше применять уравнение (8).

Если ионная сила раствора находится в пределах  $0,1 < \mu < 1,0$ , то наиболее правильные результаты дает вычисление по следующему уравнению:

$$\lg f = -0,5z^2 \left( \frac{V_{\mu}^{-}}{1 + V_{\mu}^{-}} - 0,2\mu \right). \quad (11)$$

Вместо вычислений по приведенным уравнениям можно для ориентировочных расчетов пользоваться усредненными коэффициентами активности, помещенными в табл. 11.

Таблица 11

## Коэффициенты активности ионов различного заряда

| Ионы            | Ионная сила раствора |       |      |      |      |
|-----------------|----------------------|-------|------|------|------|
|                 | 0,001                | 0,005 | 0,01 | 0,05 | 0,1  |
| Однозарядные    | 0,96                 | 0,92  | 0,90 | 0,80 | 0,75 |
| Двухзарядные    | 0,90                 | 0,75  | 0,68 | 0,48 | 0,41 |
| Трехзарядные    | 0,74                 | 0,54  | 0,45 | 0,25 | 0,18 |
| Четырехзарядные | 0,59                 | 0,35  | 0,26 | 0,10 | 0,07 |



Уравнения (8—10) выведены для вычисления коэффициентов активности ионов. Эти ионы создают вокруг себя ионную атмосферу из ионов противоположного знака заряда, особенно тех, которые образуются при диссоциации посторонних сильных электролитов, содержащихся в растворе. Однако силы электростатического взаимодействия между такими ионами и незаряженными частицами (молекулами) практически отсутствуют. Незаряженные молекулы лишены ионной атмосферы, вследствие чего их активность не изменяется от добавления сильного электролита; поэтому коэффициенты активности незаряженных молекул равны единице или очень мало отличаются от нее.

Пример. Определить концентрацию ионов водорода в 0,1 М растворе уксусной кислоты в отсутствие посторонних электролитов и после добавления 0,25 М раствора хлорида калия;

$$K_{\text{HA}}^T = 1,8 \cdot 10^{-5}.$$

В отсутствие хлорида калия концентрацию  $[\text{H}^+]$  можно определить обычным способом по уравнению (7) или равноценному уравнению для вычисления рН:

$$\text{pH} = \frac{1}{2} \text{p}K_{\text{HA}}^T - \frac{1}{2} \lg C_{\text{HA}}.$$

Из уравнения (7)

$$[\text{H}^+] = \sqrt{1,8 \cdot 10^{-5} \cdot 10^{-1}} = 1,35 \cdot 10^{-3}.$$

Чтобы определить концентрацию  $[\text{H}^+]$  после добавления 0,25 М раствора KCl, необходимо сначала вычислить ионную силу раствора

$$\mu = \frac{0,25 \cdot 1^2 + 0,25 \cdot 1^2}{2} = 0,25.$$

При таком вычислении не принимают во внимание ионную силу, создающуюся за счет ионов  $\text{H}^+$  и  $\text{A}^-$ , так как она намного меньше ионной силы раствора хлорида калия.

Применив для вычисления  $f$  уравнение (11), получим:

$$\lg f = -0,5 \left( \frac{\sqrt{0,25}}{1 + \sqrt{0,25}} - 0,2 \cdot 0,25 \right) = -0,14$$

или

$$f = 10^{-0,14} = 10^{-1} \cdot 10^{0,86} = 0,72.$$

Далее из уравнения (6)

$$[\text{H}^+] = \sqrt{\frac{1,8 \cdot 10^{-5} \cdot 10^{-1}}{0,72^2}} = 1,85 \cdot 10^{-3} \text{ г-ион/л.}$$

Следовательно, концентрация ионов водорода увеличилась при добавлении 0,25 М раствора KCl от  $1,35 \cdot 10^{-3}$  до  $1,85 \cdot 10^{-3}$  г-ион/л.



## § 10. Методы определения констант диссоциации кислот

Для экспериментального определения констант диссоциации слабых кислот (или слабых оснований) применяют кондуктометрический, потенциометрический, спектрофотометрический методы, а также метод растворимости.

1. *Кондуктометрический метод* широко применялся для определения констант диссоциации до тех пор, пока не была разработана теория стеклянного электрода и предложены точные методы потенциометрического измерения рН растворов посредством этого электрода.

Кондуктометрический метод основан на использовании уравнения, связывающего константу диссоциации кислоты со степенью диссоциации  $\alpha$ :

$$K = \frac{\alpha^2 C}{1 - \alpha}. \quad (1)$$

Степень диссоциации определяют из отношения:

$$\alpha = \frac{\lambda_C}{\lambda_\infty}, \quad (2)$$

где  $\lambda_C$  — эквивалентная электропроводность раствора кислоты, концентрация которого  $C$ ,  $\lambda_\infty$  — эквивалентная электропроводность этой же кислоты при бесконечном разбавлении.

*Эквивалентная электропроводность  $\lambda_C$*  — это электропроводность раствора, который содержит 1 г-эquiv растворенного вещества и находится между электродами, расстояние между которыми равно 1 см. Для одноосновных кислот эквивалентная электропроводность совпадает с молекулярной электропроводностью.

Для определения эквивалентной (молекулярной для одноосновных кислот) электропроводности сначала измеряют *удельное сопротивление*, т. е. сопротивление 1 см<sup>3</sup> раствора кислоты (в Ом · см). Величина, обратная удельному сопротивлению, называется *удельной электропроводностью* (Ом<sup>-1</sup> · см<sup>-1</sup>) и обозначается буквой  $\kappa$ .

Эквивалентную электропроводность вычисляют по уравнению

$$\lambda_C = 1000 \frac{\kappa}{C}. \quad (3)$$

Эквивалентную электропроводность кислоты при бесконечном разбавлении  $\lambda_\infty$  находят как сумму эквивалентных



электропроводностей отдельных ионов; эти величины находят в справочнике. Так, для ионов водорода и анионов уксусной кислоты эквивалентные электропроводности равны соответственно  $350 \text{ Ом}^{-1} \cdot \text{см}^{-1}$  и  $41 \text{ Ом}^{-1} \cdot \text{см}^{-1}$ . Следовательно,

$$\lambda_{\infty} = 350 + 41 = 391 \text{ Ом}^{-1} \cdot \text{см}^{-1}.$$

Определение заключается в измерении электропроводности нескольких растворов кислоты различных концентраций. В табл. 12 приведены результаты определения константы диссоциации уксусной кислоты.

Таблица 12

**Экспериментальные данные  
определения  $pK$  уксусной кислоты**

| Концентрация<br>кислоты, моль/л | $\lambda_C$ | $\alpha = \frac{\lambda_C}{\lambda_{\infty}}$ | $pK$  |
|---------------------------------|-------------|---|-------|
| 0,0523                          | 7,20        | 0,01843                                       | 4,743 |
| 0,0200                          | 11,56       | 0,02961                                       | 4,743 |
| 0,09842                         | 16,37       | 0,04189                                       | 4,744 |
| 0,002414                        | 32,21       | 0,08247                                       | 4,747 |
| 0,0002184                       | 96,47       | 0,2470  | 4,752 |
| 0,0001114                       | 127,71      | 0,3270  | 4,753 |

При кондуктометрическом определении констант диссоциации кислот могут возникнуть ошибки, вызванные присутствием в растворе посторонних веществ, проводящих электрический ток. Вторые константы диссоциации двухосновных кислот этим методом с достаточной точностью определить нельзя. При определении констант диссоциации слабых оснований необходимо предотвратить поглощение исследуемыми растворами углекислого газа из воздуха.

2. *Потенциометрический метод* основан на измерении  $pH$  растворов слабых кислот, буферных смесей, кислых или нормальных солей посредством стеклянного<sup>1</sup> электрода. Константы диссоциации находят, пользуясь ранее приведенными уравнениями:

$$pH = \frac{1}{2}pK - \frac{1}{2} \lg C_{\text{НА}}; \quad pH = \frac{pK_1 + pK_2}{2};$$

$$pH = pK + \lg \frac{C_C}{C_{\text{НА}}}; \quad pH = 7 + \frac{1}{2}pK + \frac{1}{2} \lg C_C.$$

Рассмотрим последовательность определения.

Сначала готовят растворы исследуемой кислоты и гидроксида натрия точно известных концентраций. Для этого

<sup>1</sup> Ранее для этой цели применяли водородный, сурьмяный и хингидронный электроды. Они менее удобны в работе и имеют существенные ограничения.



пользуются раствором щелочи, концентрация которого в 10 раз больше концентрации раствора исследуемой кислоты. Далее небольшими порциями приливают к определенному объему кислоты раствор NaOH, измеряя после прибавления каждой новой порции pH раствора. Полученные данные используют для вычисления  $pK$ . Последовательность определения константы диссоциации и результаты определения (для борной кислоты) приведены в табл. 13.

Таблица 13

Определение константы диссоциации борной кислоты

| 0,1 н.<br>раствор<br>NaOH, мл | pH    | Концентрация |                | $\lg \frac{[HA]}{[A^-]}$ | $pK^1$ |
|-------------------------------|-------|--------------|----------------|--------------------------|--------|
|                               |       | HA           | A <sup>-</sup> |                          |        |
| 0                             | 6,16  | 0,010        | 0              | —                        | —      |
| 0,5                           | 8,34  | 0,009        | 0,001          | 0,95                     | 9,29   |
| 1,0                           | 8,68  | 0,008        | 0,002          | 0,60                     | 9,28   |
| 1,5                           | 8,89  | 0,007        | 0,003          | 0,37                     | 9,26   |
| 2,0                           | 9,07  | 0,006        | 0,004          | 0,18                     | 9,25   |
| 2,5                           | 9,26  | 0,005        | 0,005          | 0,0                      | 9,26   |
| 3,0                           | 9,43  | 0,004        | 0,006          | -0,18                    | 9,25   |
| 3,5                           | 9,62  | 0,003        | 0,007          | -0,37                    | 9,25   |
| 4,0                           | 9,84  | 0,002        | 0,008          | -0,60                    | 9,24   |
| 4,5                           | 10,14 | 0,001        | 0,009          | -0,95                    | 9,19   |
| 5,0                           | 10,56 | —            | 0,010          | —                        | —      |

<sup>1</sup> Средняя величина равна 9,26.

*Константа*, найденная описанным методом, называется *смешанной*: в ее числителе — активность ионов водорода и концентрация анионов кислоты:

$$K^c = \frac{a_{H^+} [A^-]}{[HA]}. \quad (4)$$

В знаменателе уравнения (4) находится концентрация молекул HA, которые не имеют электрического заряда. Поэтому можно принять, что  $a_{HA} = [HA]$ .

Для того чтобы из экспериментально определенной смешанной константы найти термодинамическую константу, необходимо концентрацию анионов A<sup>-</sup> в уравнении (4) заменить активностью:

$$a_{A^-} = f_A [A^-], \quad (5)$$



тогда

$$K^T = \frac{a_{H^+} a_{A^-}}{a_{HA}} = \frac{a_{H^+} f_A [A^-]}{a_{HA}}, \quad (6)$$

откуда

$$pK^T = pK^C - \lg f_A. \quad (7)$$

Для разбавленных растворов кислоты коэффициент активности можно найти из упрощенного уравнения Дебая и Гюккеля:

$$\lg f = -0,5 \sqrt{\mu}, \quad (8)$$

после чего получим:

$$pK^T = pK^C + 0,5 \sqrt{\mu}. \quad (9)$$

Таким образом, для получения термодинамической константы диссоциации необходимо в числа последней колонки табл. 13 внести поправки в соответствии с уравнением (9). Так, ионная сила раствора 5 (см. табл. 13) равна:

$$\mu = \frac{0,005 + 0,005}{2} = 0,005,$$

тогда

$$pK^T = 9,26 + 0,5 \sqrt{50 \cdot 10^{-4}} = 9,26 + 0,035 = 9,29.$$

3. *Спектрофотометрический метод* применяют для определения констант диссоциации в тех случаях, когда ионная и молекулярная форма кислоты поглощают свет в какой-либо (видимой или ультрафиолетовой) области спектра.

Для определения констант диссоциации одноосновных кислот<sup>1</sup> готовят сначала смесь растворов исследуемой кислоты с 0,1—0,01 н. раствором какой-либо сильной кислоты, например, HCl, (первый раствор) и с 0,1—0,01 н. раствором гидроксида натрия или какого-либо другого сильного основания (второй раствор). Можно принять, что в первом растворе исследуемая кислота находится практически полностью в форме молекул HA, а во втором — в диссоциированном состоянии в виде анионов A<sup>-</sup>. Третий раствор готовят, смешивая исследуемую кислоту с буферным раство-

---

<sup>1</sup> Таким способом можно определять также константы диссоциации многоосновных кислот, если ступенчатые константы диссоциации разнятся не менее чем на пять порядков.



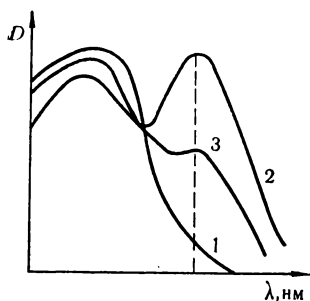


Рис. 2. Спектры поглощения молекулярной (1), ионной (2) форм кислоты и смеси обеих форм (3) при промежуточном значении pH.

ром с таким расчетом, чтобы в этом растворе часть кислоты находилась в недиссоциированном состоянии, а другая часть — в форме анионов  $A^-$ . Далее измеряют на спектрофотометре спектры поглощения всех трех растворов в широком интервале длин волн. На рис. 2 показан возможный вид спектров. Вертикальной штриховой линией обозначена длина волны света, при которой наблюдается наибольшая разница между оптической плотностью первого  $D_{HA}$  и второго  $D_A$  растворов кислот. Именно при этой длине волны лучше

всего измерять оптическую плотность растворов и использовать эти данные для определения величины константы диссоциации. Вычисление проводят по уравнению

$$pK = pH + \lg \frac{C_{HA}}{C_A}. \quad (10)$$

В первом растворе практически вся кислота находится в недиссоциированном состоянии, поэтому

$$D_{HA} = \epsilon_{HA} C. \quad (11)$$

Во втором растворе вся кислота находится в форме анионов  $A^-$ , тогда

$$D_A = \epsilon_A C. \quad (12)$$

Для третьего раствора (буферной смеси) оптическая плотность

$$D = \epsilon_{HA} C_{HA} + \epsilon_A C_A. \quad (13)$$

В этих уравнениях  $\epsilon_{HA}$  и  $\epsilon_A$  — молярные коэффициенты поглощения молекулярной и ионной форм кислоты.

Из уравнений (11)—(13) можно определить концентрации  $C_A$  и  $C_{HA}$ :

$$D - D_{HA} = \epsilon_{HA} C_{HA} + \epsilon_A C_A - \epsilon_{HA} C,$$

откуда

$$D - D_{HA} = \epsilon_A C_A - \epsilon_{HA} C_A,$$



следовательно,

$$C_A = \frac{D - D_{HA}}{\epsilon_A - \epsilon_{HA}}; \quad (14)$$

из уравнений (12) и (13):

$$D_A - D = \epsilon_A C_{HA} - \epsilon_{HA} C_{HA},$$

откуда

$$C_{HA} = \frac{D_A - D}{\epsilon_A - \epsilon_{HA}}. \quad (15)$$

Подставив выражения для  $C_A$  и  $C_{HA}$  из уравнений (14) и (15) в уравнение (10), получим:

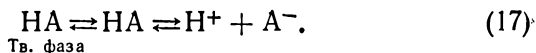
$$pK = pH + \lg \frac{D_A - D}{D - D_{HA}}. \quad (16)$$

В этом уравнении pH — это pH буферной смеси (третий раствор). Для большей точности определения целесообразно измерить оптическую плотность еще нескольких проб исследуемой кислоты в растворах буферных смесей с различными значениями pH при выбранной длине волны и из полученных по уравнению (16) результатов взять среднее значение.

4. *Метод растворимости* применяется для определения констант диссоциации слабых малорастворимых в воде кислот. Так, например, была определена константа диссоциации оксимной группы диметилглиоксима.

Метод основан на определении растворимости кислоты в воде и в нескольких буферных растворах с разными значениями pH.

В насыщенном растворе кислоты устанавливается следующее равновесие:



Растворимость кислоты в воде

$$S_{H_2O} = [HA] + [A^-]. \quad (18)$$

Принимая во внимание, что кислота очень слабая, можно пренебречь концентрацией анионов кислоты по сравнению с концентрацией ее молекул, тогда

$$S_{H_2O} = [HA]. \quad (19)$$

В буферных растворах с высокими значениями pH увеличивается растворимость кислоты, а также концентрация



анионов  $A^-$ , поэтому равновесие реакции (17) смещается вправо. В этих растворах

$$S = [HA] + [A^-], \quad (20)$$

откуда

$$[A^-] = S - [HA] = S - S_{H_2O}. \quad (21)$$

Константа диссоциации кислоты

$$K = \frac{[H^+][A^-]}{[HA]}.$$

Подставив в это уравнение значения  $[A^-]$  и  $[HA]$  из уравнений (21) и (19), получим:

$$K = \frac{[H^+](S - S_{H_2O})}{S_{H_2O}}. \quad (22)$$

Обычно определяют растворимость кислоты в воде и в нескольких буферных растворах с разными значениями рН и вычисляют величину константы по уравнению (22), после чего берут среднее значение из полученных результатов. Если

$$S = 2S_{H_2O}, \text{ то } K = [H^+], \quad (23)$$

т. е. константа диссоциации кислоты численно равна той концентрации ионов водорода, при которой растворимость кислоты увеличивается вдвое по сравнению с ее растворимостью в чистой воде.

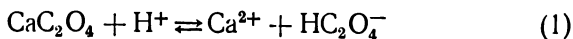
## **§ 11. Зависимость концентрации различных форм многоосновных кислот от рН раствора**

Ранее рассматривался вопрос о зависимости диссоциации кислот от их концентрации. На этом основании были выведены уравнения для вычисления рН растворов сильных и слабых кислот и их солей в зависимости от концентрации этих соединений в растворах. Однако иногда необходимо решить обратную задачу, т. е. определить концентрацию одного из анионов многоосновной кислоты как функцию концентрации водородных ионов. Такие данные нужны, например, при оценке растворимости осадков в кислотах и в ряде других важных для аналитической химии случаях.

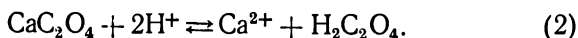
Чтобы рассчитать растворимость оксалата кальция в кислоте, необходимо правильно записать уравнение



реакции. Взаимодействие может проходить по двум реакциям:



и



Для первой реакции константа равновесия

$$K_{\text{равн}_1} = \frac{[\text{Ca}^{2+}][\text{HC}_2\text{O}_4^-]}{[\text{H}^+]} = \frac{\text{ПР}}{K_2}; \quad (3)$$

для второй реакции выражение константы равновесия имеет вид:

$$K_{\text{равн}_2} = \frac{[\text{Ca}^{2+}][\text{H}_2\text{C}_2\text{O}_4]}{[\text{H}^+]^2} = \frac{\text{ПР}}{K_1 K_2}. \quad (4)$$

Ход реакции зависит от величины концентрации ионов водорода. При высокой концентрации ионов  $\text{H}^+$  практически вся образующаяся щавелевая кислота будет находиться в растворе в виде недиссоциированных молекул  $\text{H}_2\text{C}_2\text{O}_4$ . Следовательно, растворимость следует рассчитывать по уравнению (2), принимая, что

$$[\text{Ca}^{2+}] = [\text{H}_2\text{C}_2\text{O}_4] = C_{\text{H}_2\text{C}_2\text{O}_4}. \quad (5)$$

При меньшей концентрации ионов  $\text{H}^+$  продуктом реакции в основном будут анионы  $\text{HC}_2\text{O}_4^-$ . Поэтому растворимость необходимо рассчитывать по уравнению (1), считая, что

$$[\text{Ca}^{2+}] = [\text{HC}_2\text{O}_4^-] = C_{\text{H}_2\text{C}_2\text{O}_4}. \quad (6)$$

В общем случае, при некоторых других значениях pH, в растворе могут быть в значительной концентрации не только ионы  $\text{HC}_2\text{O}_4^-$ , но и молекулы  $\text{H}_2\text{C}_2\text{O}_4$ , а также ионы  $\text{C}_2\text{O}_4^{2-}$ . Поэтому уравнения (5) и (6) для данного случая неправильные; концентрацию каждой формы кислоты надо рассчитывать в зависимости от pH раствора.

Рассмотрим в качестве примера диссоциацию двухосновной кислоты. При некотором значении pH в равновесии находятся все возможные формы этой кислоты, тогда

$$C_{\text{H}_2\text{A}} = [\text{H}_2\text{A}] + [\text{HA}^-] + [\text{A}^{2-}], \quad (7)$$

где  $C_{\text{H}_2\text{A}}$  — общая концентрация кислоты во всех формах.

Определим зависимость концентрации анионов  $\text{A}^{2-}$  от концентрации ионов водорода. Для этого запишем выра-



жения для первой и второй констант диссоциации кислоты:

$$K_1 = \frac{[H^+][HA^-]}{[H_2A]} \text{ и } K_2 = \frac{[H^+][A^{2-}]}{[HA^-]}. \quad (8)$$

Из выражения для  $K_2$  уравнения (8)

$$[HA^-] = \frac{[H^+][A^{2-}]}{K_2}, \quad (9)$$

а из выражений для  $K_1$  и  $[HA^-]$  уравнений (8) и (9)

$$[H_2A] = \frac{[H^+]^2[A^{2-}]}{K_1K_2}. \quad (10)$$

Подставив значения  $[HA^-]$  и  $[H_2A]$  из уравнений (9) и (10) в уравнение (7), получим:

$$C_{H_2A} = \frac{[H^+]^2}{K_1K_2}[A^{2-}] + \frac{[H^+]}{K_2}[A^{2-}] + [A^{2-}], \quad (11)$$

откуда

$$[A^{2-}] = \frac{C_{H_2A}}{\frac{[H^+]^2}{K_1K_2} + \frac{[H^+]}{K_2} + 1}.$$

Последнее уравнение после преобразований примет вид:

$$[A^{2-}] = \frac{C_{H_2A}K_1K_2}{[H^+]^2 + K_1[H^+] + K_1K_2}. \quad (12)$$

Аналогично можно вывести уравнения зависимости концентрации анионов  $HA^-$  и молекул  $H_2A$  от концентрации ионов водорода:

$$[HA^-] = \frac{C_{H_2A}K_1[H^+]}{[H^+]^2 + K_1[H^+] + K_1K_2} \quad (13)$$

и

$$[H_2A] = \frac{C_{H_2A}[H^+]^2}{[H^+]^2 + K_1[H^+] + K_1K_2}. \quad (14)$$

Во всех трех уравнениях (12), (13) и (14) знаменатель одинаковый, а в числителе находится произведение констант  $K_1K_2$  либо вместо одной или обеих констант — концентрация ионов водорода в соответствующей степени.

Аналогичные уравнения легко вывести для кислот другой основности. Так, для трехосновной кислоты получим:

$$[A^{3-}] = \frac{C_{H_3A}K_1K_2K_3}{[H^+]^3 + K_1[H^+]^2 + K_1K_2[H^+] + K_1K_2K_3}; \quad (15)$$



$$[\text{HA}^{2-}] = \frac{C_{\text{H}_2\text{A}} K_1 K_2 [\text{H}^+]}{[\text{H}^+]^3 + K_1 [\text{H}^+]^2 + K_1 K_2 [\text{H}^+] + K_1 K_2 K_3}; \quad (16)$$

$$[\text{H}_2\text{A}^-] = \frac{C_{\text{H}_2\text{A}} K_1 [\text{H}^+]^2}{[\text{H}^+]^3 + K_1 [\text{H}^+]^2 + K_1 K_2 [\text{H}^+] + K_1 K_2 K_3}; \quad (17)$$

$$[\text{H}_3\text{A}] = \frac{C_{\text{H}_2\text{A}} [\text{H}^+]^3}{[\text{H}^+]^3 + K_1 [\text{H}^+]^2 + K_1 K_2 [\text{H}^+] + K_1 K_2 K_3}. \quad (18)$$

По этим или аналогичным уравнениям легко найти концентрацию любой формы кислоты, если известны ее общая концентрация и соответствующие константы диссоциации.

В отдельных случаях приведенные уравнения можно упростить. Рассмотрим, например, уравнение (12).

Если  $[\text{H}^+] \ll K_2$ , то можно пренебречь первыми двумя членами в знаменателе уравнения (12), которое превращается при этом в следующее уравнение:

$$[\text{A}^{2-}] = C_{\text{H}_2\text{A}}, \quad (19)$$

т. е. практически вся кислота полностью диссоциирована.

Если  $[\text{H}^+] \gg K_1$ , то можно пренебречь последними двумя членами в знаменателе уравнения (12). Тогда получим:

$$[\text{A}^{2-}] = \frac{C_{\text{H}_2\text{A}} K_1 K_2}{[\text{H}^+]^2}. \quad (20)$$

При промежуточных значениях pH такие упрощения делать нельзя и следует применять полное уравнение.

Равновесие между различными формами многоосновных кислот в зависимости от pH удобно изображать в виде графиков. Для построения таких графиков используют выведенные выше уравнения (вычисления можно упростить).

Рассмотрим в качестве примера равновесия в растворах угольной кислоты, для которой  $pK_1 = 6,5$ , а  $pK_2 = 10,2$ .

Можно принять, что в кислых растворах в заметных количествах находятся только молекулы  $\text{H}_2\text{CO}_3$  и ионы  $\text{HCO}_3^-$ ; для этого случая

$$\text{pH} = pK_1 + \lg \frac{[\text{HCO}_3^-]}{[\text{H}_2\text{CO}_3]}. \quad (21)$$

В щелочных растворах практически нет свободной кислоты, поэтому

$$\text{pH} = pK_2 + \lg \frac{[\text{CO}_3^{2-}]}{[\text{HCO}_3^-]}. \quad (22)$$



Таблица 14

Соотношение различных форм угольной кислоты в зависимости от pH ее раствора

| pH  | $\lg \frac{[\text{HCO}_3^-]}{[\text{H}_2\text{CO}_3]}$ | $\frac{[\text{HCO}_3^-]}{[\text{H}_2\text{CO}_3]}$ | Количество<br>формы, %  |                  | pH   | $\lg \frac{[\text{CO}_3^{2-}]}{[\text{HCO}_3^-]}$ | $\frac{[\text{CO}_3^{2-}]}{[\text{HCO}_3^-]}$ | Количество<br>формы, % |                    |
|-----|--|--|-------------------------|------------------|------|---|---|------------------------|--------------------|
|     |  |  | $\text{H}_2\text{CO}_3$ | $\text{HCO}_3^-$ |      |   |   | $[\text{CO}_3^{2-}]$   | $[\text{HCO}_3^-]$ |
| 3,5 | -3,0   | $10^{-3}$  | 99,9                    | 0,1              | 8,2  | -2,0  | $10^{-2}$                                     | 1,0                    | 99,9               |
| 4,5 | -2,0   | $10^{-2}$  | 99,0                    | 1,0              | 9,2  | -1,0  | $10^{-1}$                                     | 10,0                   | 90,0               |
| 5,5 | -1,0   | $10^{-1}$  | 90,0                    | 10,0             | 10,2 | 0   | 0   | 50,0                   | 50,0               |
| 6,5 | 0  | 1  | 50,0                    | 50,0             | 11,2 | 1,0   | 10  | 90,0                   | 10,0               |
| 7,5 | 1,0  | 10   | 90,0                    | 10,0             | 12,2 | 2,0   | 100   | 99,0                   | 1,0                |
| 8,5 | 2,0  | 100  | 99,0                    | 1,0              |      |   |   |                        |                    |

Из уравнения (21)

$$\lg \frac{[\text{HCO}_3^-]}{[\text{H}_2\text{CO}_3]} = \text{pH} - \text{p}K_1 \quad (23)$$

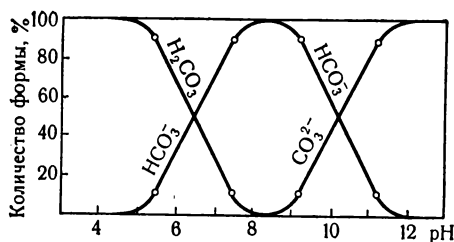


Рис. 3. Зависимость процентного содержания различных форм угольной кислоты от pH раствора.

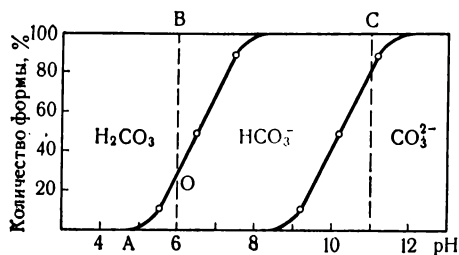


Рис. 4. Распределение различных форм угольной кислоты в зависимости от pH раствора.

и соответственно из уравнения (22)

$$\lg \frac{[\text{CO}_3^{2-}]}{[\text{HCO}_3^-]} = \text{pH} - \text{p}K_2. \quad (24)$$

По уравнениям (23) и (24) вычисляют соотношения между концентрациями различных форм угольной кислоты при разных значениях pH ее раствора. Такие вычисления сведены в табл. 14. Значения pH выбраны для удобства так, чтобы можно было легко найти соотношение форм кислоты по его логарифму.

Процентное содержание отдельных форм кислоты приведено в табл. 14 с округлением.

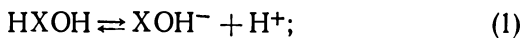


На рис. 3 показан график зависимости процентного содержания различных форм угольной кислоты от pH раствора. График построен на основании данных табл. 14.

Применяют и другой тип графика, изображающий равновесие между различными формами кислоты при ступенчатой ее диссоциации (рис. 4). Концентрации отдельных форм угольной кислоты можно найти по ординатам точки пересечения кривой с вертикальной секущей, отвечающей заданному значению pH. Например, при pH=6 таким способом можно найти, что  $\text{HCO}_3^- : \text{H}_2\text{CO}_3 = 3 : 7$ , а при pH = 11, что в растворе находится приблизительно 80% ионов  $\text{CO}_3^{2-}$  и 20% ионов  $\text{HCO}_3^-$  и т. д.

## § 12. Амфолиты (амфотерные электролиты)

*Амфолиты* — это электролиты, обладающие одновременно кислотными и основными свойствами и диссоциирующие с образованием ионов водорода или гидроксила. Общую схему диссоциации можно представить такими уравнениями:



Увеличение pH усиливает диссоциацию по уравнению [1], уменьшение же концентрации гидроксильных ионов смещает равновесие реакции вправо в соответствии с уравнением [2].

Растворы амфолитов в воде могут иметь нейтральную, щелочную или кислую реакцию в зависимости от соотношения констант, характеризующих диссоциацию по уравнениям (1) и (2).

Уравнение для вычисления pH растворов амфолитов можно вывести следующим образом.

Обозначим амфолит в молекулярной форме буквой А, анион  $\text{XOH}^-$  и катион  $\text{HX}^+$  амфолита соответственно  $\text{A}^-$  и  $\text{A}^+$ . Тогда константы кислотной и основной диссоциации амфолита будут равны:

$$K_K = \frac{[\text{H}^+][\text{A}^-]}{[\text{A}]} \text{ и } K_O = \frac{[\text{A}^+][\text{OH}^-]}{[\text{A}]} \quad (3)$$

Из принципа электронейтральности раствора следует, что

$$[\text{H}^+] + [\text{A}^+] = [\text{OH}^-] + [\text{A}^-], \quad (4)$$



т. е. суммарные концентрации анионов и катионов должны быть одинаковы.

Подставив в уравнение (4) значения  $[A^+]$  и  $[A^-]$  из выражений для  $K_K$  и  $K_O$  уравнения (3), получим:

$$[H^+] + \frac{K_O [A]}{[OH^-]} = [OH^-] + \frac{K_K [A]}{[H^+]}. \quad (5)$$

Если принять во внимание, что  $[OH^-] = \frac{K_{H_2O}}{[H^+]}$ , то уравнение (5) примет вид:

$$[H^+] + \frac{K_O [A] [H^+]}{K_{H_2O}} = \frac{K_{H_2O}}{[H^+]} + \frac{K_K [A]}{[H^+]}. \quad (6)$$

В первом приближении при незначительной диссоциации можно принять, что  $[A] = C$ . Тогда из уравнения (6) после несложных преобразований получим:

$$[H^+] = \sqrt{\frac{(K_{H_2O} + K_K C) K_{H_2O}}{K_{H_2O} + C K_O}}. \quad (7)$$

Уравнение (7) практически почти не приходится применять. Большее значение имеет рН изоэлектрической точки. У амфолитов рН изоэлектрической точки — это то значение рН, которое необходимо создать в растворе, чтобы диссоциация по кислотному и основному типу проходила в одинаковой степени, т. е. чтобы  $[A^-] = [A^+]$ .

Можно доказать, что в этом случае концентрация молекул А максимальна.

Выведем уравнение для вычисления рН изоэлектрической точки амфолитов. Из уравнений (3) можно записать равенства

$$\frac{[A^-]}{[A]} = \frac{K_K}{[H^+]} \text{ и } \frac{[A^+]}{[A]} = \frac{K_O [H^+]}{K_{H_2O}}. \quad (8)$$

В изоэлектрической точке

$$\frac{[A^-]}{[A]} = \frac{[A^+]}{[A]},$$

откуда

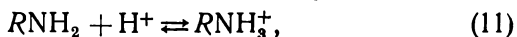
$$[H^+] = \sqrt{\frac{K_K K_{H_2O}}{K_O}}, \quad (9)$$

а после логарифмирования и преобразований

$$pH = 7 + \frac{1}{2}pK_K - \frac{1}{2}pK_O. \quad (10)$$



*Органические амфолиты* — это соединения, в состав которых входит амино- или иминогруппа, либо азот гетероцикла. Основные свойства этих групп связаны с их способностью протонизироваться, например:

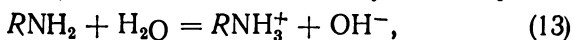


где  $R$  — какой-либо радикал, содержащий способную к кислотной диссоциации группу, например, группу  $—OH$ .

Протонизация по уравнению (11) описывается константой

$$K_a = \frac{[RNH_2][H^+]}{[RNH_3^+]}. \quad (12)$$

Уравнение (11) можно записать следующим образом:



откуда

$$K_o = \frac{[RNH_3^+][OH^-]}{[RNH_2]} = \frac{K_{H_2O}}{K_a} \quad (14)$$

и

$$pK_o = 14 - pK_a. \quad (15)$$

Подставляя  $pK_o$  из уравнения (15) в уравнение (10), получим:

$$pH = \frac{pK_K + pK_a}{2}. \quad (16)$$

По этому уравнению можно найти  $pH$  изоэлектрической точки органических амфолитов, основность которых характеризуют обычно константой  $K_a$ .

Как уже было сказано, в изоэлектрической точке концентрация недиссоциированных молекул амфолитов максимальна, что имеет значение для оценки способности амфолитов экстрагироваться органическими растворителями или образовывать нерастворимые соединения. Экстрагируются только недиссоциированные молекулы; заряженные частицы не переходят в органическую фазу. Поэтому экстракция органических амфолитов будет максимальной именно при  $pH$  изоэлектрической точки; растворимость же неорганических амфолитов при  $pH$  изоэлектрической точки минимальна. Эти зависимости характеризует рис. 5.

Далее подробно будут рассмотрены свойства неорганических и органических амфолитов.



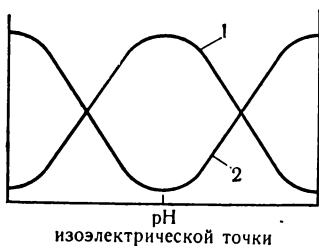


Рис. 5. Экстракция органических (1) и растворимость неорганических (2) амфолитов

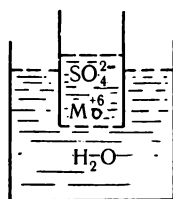
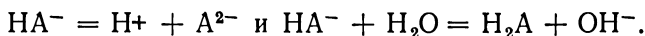
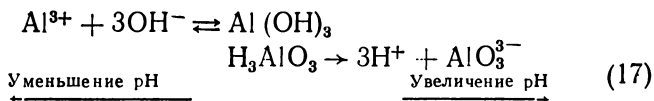


Рис. 6. Схема опыта по изучению скорости диффузии ионов.

**Неорганические амфолиты** — это амфотерные гидроксиды металлов, например,  $\text{Be}(\text{OH})_2$ ,  $\text{Al}(\text{OH})_3$ ,  $\text{Zn}(\text{OH})_2$ ,  $\text{Sn}(\text{OH})_4$ ,  $\text{As}(\text{OH})_3$ ,  $\text{MoO}_2(\text{OH})_2$  и т. д. Все эти соединения можно записать также в форме кислот:  $\text{H}_2\text{BeO}_2$ ,  $\text{H}_3\text{AlO}_3$ ,  $\text{H}_2\text{ZnO}_2$ ,  $\text{H}_4\text{SnO}_4$ ,  $\text{H}_2\text{MoO}_4$  и т. д. К неорганическим амфолитам можно также отнести анионы кислых солей, например,  $\text{HA}^-$ . Их кислотно-основные свойства описываются схемами:



Диссоциация неорганических амфолитов выше приведенного типа проходит с образованием ионов водорода или с отщеплением ионов гидроксила. Гидроксильная группа амфотерных электролитов, следовательно, является одновременно носителем кислотных и основных свойств. Уменьшение pH раствора приводит к увеличению диссоциации амфолита как основания; возрастание pH вызывает увеличение диссоциации амфолита как кислоты. Сказанное иллюстрируется следующей схемой, например, для гидроксида алюминия:

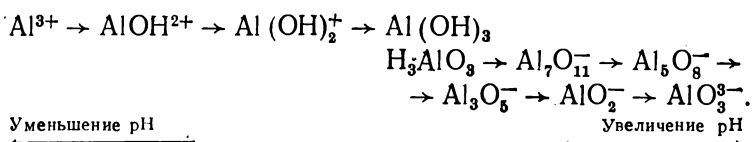


Эта элементарная схема не передает, однако, всей сложности происходящих в действительности процессов. Диссоциация в обоих направлениях сопровождается образованием различных промежуточных форм. Так, катионы алюминия не сразу превращаются при увеличении pH в нерастворимый гидроксид алюминия; аналогично гидро-



кисл алюминия при дальнейшем увеличении  $pH$  не сразу образует анионы  $AlO_3^{3-}$ . В первом случае образуются промежуточные гидролизованные катионные формы, во втором — сложные полимерные ионы с большой ионной массой.

Поэтому реакцию (17) правильнее передавать такой приближенной схемой:



Образование полимерных частичек с большой ионной массой было доказано экспериментально благодаря изучению скорости диффузии амфолитов через полупроницаемые мембраны при различных значениях  $pH$  растворов. Эти процессы широко исследовались Г. Бринцингером с сотрудниками.

Схема опытов была такова. Во внешний сосуд (рис. 6) наливали воду или раствор какого-либо электролита. Во внутренний цилиндр, дном которого служила полупроницаемая мембрана из целлофана, наливали раствор исследуемого амфолита, содержащий какие-либо стандартные ионы, не способные к полимеризации, например, анионы  $SO_4^{2-}$ . В находящемся во внутреннем цилиндре растворе создавали желаемую величину  $pH$  и через некоторое время определяли во внешнем сосуде концентрации исследуемого и стандартного ионов, которые продиффундировали через мембрану. Концентрации ионов во внешнем сосуде пропорциональны скорости диффузии, а скорость диффузии обратно пропорциональна ионным массам исследуемых веществ. Так, например, исследовалась полимеризация молибдатов. Ионную массу сложных ионов молибдена вычисляли по уравнению

$$\frac{[SO_4^{2-}]^{+6}}{[Mo]} = V \cdot \frac{\text{ионная масса } Mo^{+6}}{\text{ионная масса } SO_4^{2-}}. \quad (18)$$

Выражение в левой части уравнения — отношение концентраций ионов  $SO_4^{2-}$  и сложных ионов молибдена во внешнем сосуде через некоторое время после начала опыта.



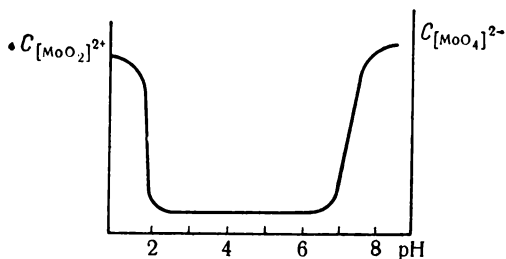


Рис. 7. Зависимость скорости диффузии молибдена от pH раствора.

На основании проведенных опытов строили диаграмму зависимости ионной массы сложных ионов молибдена от pH раствора. На оси ординат (рис. 7) откладывали концентрацию сложных ионов молибдена во внешнем сосуде через некоторое время после эксперимента. При  $\text{pH} \leq 2$  скорость диффузии (концентрация сложных ионов молибдена во внешнем сосуде) велика, а ионная масса, вычисленная по уравнению (18), соответствует иону  $[\text{MoO}_2]^{2+}$ . В области  $\text{pH} = 2 - 7$  скорость диффузии резко уменьшалась и соответствовала ионной массе полимерного аниона  $[\text{Mo}_6\text{O}_{20}]^{4-}$ . При  $\text{pH} \geq 7$  скорость диффузии снова увеличивалась и ионная масса была идентична массе аниона  $[\text{MoO}_4]^{2-}$ .

**Органические амфолиты.** К классу органических амфолитов принадлежат соединения, содержащие основную аминогруппу (или вообще азот) и кислотную группу (например, окси- или карбоксильную группу). В отличие от неорганических у органических амфолитов основные и кислотные свойства обусловлены наличием двух различных групп.

К органическим амфолитам можно отнести также соединения, содержащие несколько протонирующихся атомов, например,  $\text{RN}_2\text{H}^+$ . Такие соединения могут быть кислотами, отщепляя протоны, но могут и присоединять последние, превращаясь в  $\text{RN}_2\text{H}_2^{2+}$ .

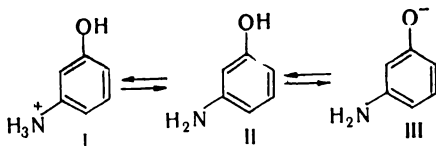
Одним из примеров органических амфолитов может служить 8-оксихинолин. Азот гетероцикла способен в кислом растворе протонизироваться с образованием катиона оксихинолиния; в щелочном же растворе азот непротонизирован, а ион водорода отщепляется от оксигруппы.

В кислых или щелочных растворах все органические ам-



фолиты находятся в одной из названных форм. Однако в промежуточной области рН состояние амфолитов может быть неодинаковым; по этому признаку их можно разделить на две большие группы.

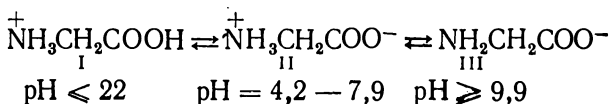
*Первая группа* — обычные амфолиты. Они находятся в промежуточной области рН в форме недиссоциированных молекул. Так, *м*-аминофенол характеризуется  $pK_a$  депротонизации, равным 4,6, а  $pK$  диссоциации оксигруппы равно 9,9. В соответствии с этим состояние *м*-аминофенола при разных значениях рН описывается таким равновесием:



При рН = 4,6 половина молекул *м*-аминофенола находится в форме I, а вторая половина — в форме II. В более кислой среде концентрация формы I постепенно увеличивается и, например, при рН = 2,6 молекулярной формы остается около 1%. При рН = 9,9 в равновесии в одинаковых концентрациях находятся формы II и III, а в щелочном растворе, например, при рН = 11,9, соотношение форм I и III равно приблизительно 1 : 100.

При рН = 5,5 — 7,5 почти весь *м*-аминофенол находится в форме II.

*Вторая группа* — это амфолиты, образующие так называемые Zwitter-ионы или биполярные ионы. К этой группе относятся многие аминокислоты. Так, для глицина (аминоуксусной кислоты)  $pK$  депротонизации аминогруппы и диссоциации карбоксильной группы равны соответственно 9,9 и 2,2. Поэтому в кислых растворах (рН < 2,2) глицин находится в форме катиона  $\overset{+}{N}H_3CH_2COOH$ ; в щелочных растворах (рН=9,9) основная форма — анионы  $NH_2CH_2COO^-$ . Однако в промежуточной области рН, в отличие от *м*-аминофенола, глицин находится в форме биполярного иона  $\overset{+}{N}H_3CH_2COO^-$  (Zwitter-иона). Равновесие между всеми этими формами можно представить следующей схемой:





Соотношение обеих констант (2,2 и 9,9) показывает, что аминокислотная кислота сравнительно легко диссоциирует с отщеплением протонов; протонизированные же аминокислоты диссоциируют очень слабо. Вследствие этого протоны, образующиеся при диссоциации карбоксильной группы, легко присоединяются к азоту аминокислоты. Следовательно, биполярные ионы образуют амфолиты, рК кислотной диссоциации которых меньше рК депротонизации основной группы.

Свойства обычных амфолитов и образующих биполярные ионы неодинаковы. Так, биполярные амфолиты имеют большие дипольные моменты, как правило, растворяются в воде лучше, чем в органических растворителях и т. д. Свойства же обычных амфолитов противоположны.

### **§ 13. Критерии применимости кисотно-основных реакций в объемном анализе**

Для того чтобы решить вопрос о возможности применения какой-либо кислотно-основной (или другого типа) реакции в титриметрическом анализе, необходимо сначала установить максимально достижимую точность определения веществ титрованием.

Точность титриметрического метода зависит, в частности, от точности измерительного прибора. Объем израсходованного на титрование рабочего раствора измеряют бюреткой, причем ошибка отсчета по шкале бюретки составляет 0,01 — 0,02 мл. В титриметрическом анализе стараются создать такие условия, при которых на титрование расходуется 20—25 мл рабочего раствора. Большее количество раствора применять неудобно, так как обычные бюретки имеют емкость 25—50 мл; при значительно меньшем объеме израсходованного раствора заметно увеличивается относительная погрешность определения. (В микро- и ультрамикроанализе пользуются микробюретками, следовательно, объемы растворов и относительные погрешности будут иными).

Таким образом, средняя погрешность титриметрического определения составит:

$$\text{П. Т.} = \frac{0,02 \cdot 100}{20} = 0,1 \, \%.$$

Поэтому в титриметрическом анализе не следует применять такие реакции, которые могут привести к погрешности, большей чем 0,1 %.



Критерием возможности применения какой-либо реакции может быть степень превращения образовавшихся веществ в исходные вещества. Исходя из этого в титриметрическом анализе целесообразно применять только такие реакции, которые проходят в обратном направлении не более чем на 0,1%.

Рассмотрим реакцию



где  $A$  — определяемое вещество (кислота, щелочь, соль и т. д.);  $B$  — титрованный раствор соляной кислоты или гидроксида натрия. Если  $C_A$  — исходная концентрация вещества  $A$ , а  $C_B$  — общая концентрация вещества  $B$  после достижения точки эквивалентности, то в точке эквивалентности

$$C_B = nC_A, \quad (2)$$

и соотношение между равновесными концентрациями веществ  $A$  и  $B$  равно:

$$[B] = n[A]. \quad (3)$$

В первом приближении можно принять, что в точке эквивалентности

$$AB_n = C_A. \quad (4)$$

Константа равновесия обратной реакции (1)

$$K = \frac{[A][B]^n}{[AB_n]} = \frac{[A]^{n+1}n^n}{C_A}. \quad (5)$$

Прологарифмируя уравнение (5), получим:

$$\lg K = (n+1) \lg [A] + n \lg n - \lg C_A, \quad (6)$$

откуда

$$\lg [A] = \frac{\lg C_A - pK - n \lg n}{n+1}, \quad (7)$$

где  $pK = -\lg K$ .

Отняв  $\lg C_A$  от левой и правой частей уравнения (7), получим:

$$\lg \frac{[A]}{C_A} = \frac{-pK - n \lg n}{n+1}, \quad (8)$$

но  $nC_A = C_B$  [см. уравнение (2)], поэтому

$$\lg \frac{[A]}{C_A} = \frac{-pK - n \lg C_B}{n+1}. \quad (9)$$



Отношение  $\frac{[A]}{C_A}$  в левой части уравнения (9) характеризует степень протекания обратной реакции (1). Как уже было сказано, это отношение не должно превышать 0,001 или 0,1%, если титрование желательно выполнить с относительной погрешностью 0,1%. Следовательно,

$$\frac{[A]}{C_A} \leq 10^{-3} \text{ или } \lg \frac{[A]}{C_A} \leq -3. \quad (10)$$

Подставив в уравнение (9) выражение (10), получим:

$$-3 \geq \frac{-pK - n \lg C_B}{n + 1} \quad (11)$$

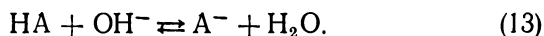
или окончательно:

$$pK + n \lg C_B \geq 3(n + 1). \quad (12)$$

Таким образом, определение веществ с точностью 0,1% возможно, если величина константы равновесия обратной реакции соответствует уравнению (12). Уравнение (12) показывает также, что титрование с заданной точностью зависит от концентрации рабочего раствора  $C_B$  и от стехиометрического коэффициента  $n$  уравнения (1).

Рассмотрим применение уравнения (12) к конкретным случаям титрования.

1. Титрование слабых кислот сильными основаниями



Константа равновесия обратной реакции — это константа гидролиза

$$K' = \frac{K_{H_2O}}{K_{HA}} \quad (14)$$

или

$$pK' = 14 - pK_{HA}.$$

Подставив в уравнение (12) значение  $pK'$  вместо  $pK$ , получим:

$$14 - pK_{HA} + \lg C_{OH^-} \geq 6. \quad (15)$$

При титровании 0,1 н. раствором NaOH, т. е. при  $C_{OH^-} = 0,1$

$$pK_{HA} \leq 7. \quad (16)$$



Следовательно, титрование слабых кислот 0,1 н. раствором NaOH с точностью 0,1% возможно только в том случае, если  $pK_{\text{HA}} \leq 7$  или

$$K_{\text{HA}} \geq 10^{-7}. \quad (17)$$

2. Титрование солей слабых кислот растворами сильных кислот



Константа равновесия обратной реакции — это константа диссоциации кислоты HA. Если титруют 0,1 н. раствором сильной кислоты, то  $C_{\text{B}} = 0,1$ ,  $n = 1$  и из уравнения (12)

$$pK_{\text{HA}} \geq 7.$$

Таким образом, титровать 0,1 н. раствором сильной кислоты с точностью 0,1% можно только такие соли слабых кислот, для которых  $pK_{\text{HA}} \geq 7$  или  $K_{\text{HA}} \leq 10^{-7}$ .

Аналогичные соображения, как будет показано далее, справедливы также при оценке возможности применения в титриметрическом анализе реакций других типов — реакций осаждения, образования комплексных соединений, окисления-восстановления.

### Список литературы

Адамович Л. П. Рациональные приемы составления аналитических прописей. Изд-во Харьк. ун-та, 1973.

Альберт А. и Сержент Е. Константы ионизации кислот и оснований. М.-Л., «Химия», 1964.

Бабко А. К., Михельсон П. Б. Растворимость и кислотные свойства диметилглиоксима. — «Журн. аналит. химии», 1951, т. 6, с. 267.

Бабко А. К., Пятницкий И. В. Количественный анализ. М., «Высшая школа», 1968.

Бейтс Р. Определение pH. Теория и практика. Л., «Химия», 1968.

Гуляницкий А. Реакции кислот и оснований в аналитической химии. М., «Мир», 1975.

Измайлов Н. А. Электрохимия растворов. Изд-во Харьк. ун-та, 1959.

Комарь Н. П. Основы качественного химического анализа. Изд-во Харьк. ун-та, 1955.

Тананаев Н. А. Теоретические основы аналитической химии. ч. 1. Изд-во УПИ, Свердловск, 1956.

Шатенштейн А. И. Теории кислот и оснований. М.-Л., Госхимиздат, 1949.

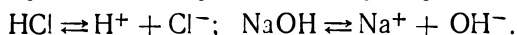
Яцимирский К. В. Термодинамические критерии применимости химических реакций в объемном анализе. — «Журн. аналит. химии», 1952, т. 7, с. 206.



### Глава 3. ВЛИЯНИЕ РАСТВОРИТЕЛЕЙ НА ДИССОЦИАЦИЮ КИСЛОТ

#### § 14. Теории кислот и оснований

Теория электролитической диссоциации Аррениуса была разработана применительно к водным растворам электролитов. По Аррениусу, кислоты — это электролиты, диссоциирующие в водных растворах с образованием ионов водорода; основания — электролиты, образующие в водных растворах ионы гидроксила, например:

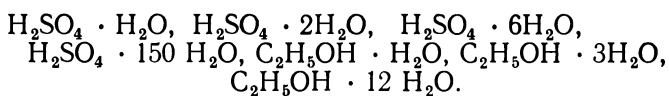


С. Аррениус считал, что в процессе диссоциации происходит также химическое взаимодействие растворенного вещества с растворителем. Вторая часть диссертации С. Аррениуса называлась «Химическая теория электролитов». Но в литературе после С. Аррениуса процесс диссоциации обычно описывали как чисто физический процесс, в котором не участвует растворитель, рассматривая последний как индифферентную среду. Это вызывало возражения со стороны многих химиков. Известно, что Д. И. Менделеев воздерживался от изложения теории электролитической диссоциации в «Основах химии», считая основным ее недостатком игнорирование химического взаимодействия между растворенным веществом и растворителем. Д. И. Менделеев создал химическую теорию растворов, придавая в ней большое значение химическим процессам, проходящим в этих растворах.

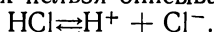
Д. И. Менделеев писал, что он «... укрепил в себе представление о природе растворов, сводящее их к обычным случаям химического взаимодействия и к определенным, атомным соединениям, подобным — быть может тождественным — с соединениями, содержащими кристаллизационную воду. . .» По Менделееву, «Растворы представляют жидкие диссоциационные системы, образованные частицами растворителя, растворенного тела и тех определенных нестойких, но экзотермических соединений, которые между ними происходят, одного или нескольких, смотря по природе составляющих начал».

При экспериментальном исследовании свойств растворов веществ по их плотности Д. И. Менделеев установил в растворах серной кислоты и спирта образования гидратов такого состава:

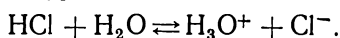




Таким образом, в теории Аррениуса и многих работах, посвященных изучению растворов, мало внимания было уделено химическим процессам, проходящим при растворении веществ. Уже тогда было ясно, что диссоциацию кислот в водных растворах нельзя описывать уравнением



Свободный протон, размеры которого во много раз меньше размеров других ионов, создает вокруг себя электрическое поле большой интенсивности, в которое втягиваются дипольные молекулы воды. Поэтому в водных растворах нет свободных протонов — они, реагируя с молекулами воды, образуют ионы гидроксония  $\text{H}_3\text{O}^+$ . Исходя из этих соображений диссоциацию кислот более правильно записывать таким уравнением:



В водных растворах существуют и более сложные частицы, например,  $\text{H}(\text{H}_2\text{O})_3^+$ ,  $\text{H}(\text{H}_2\text{O})_4^+$  и др.

Изучение свойств неводных растворов кислот выявило и другие недостатки теории Аррениуса. Так, растворы некоторых кислот в неводных растворителях, обладая кислотными свойствами, не содержат ионов водорода. Например, раствор хлороводорода в бензоле не проводит электрический ток, но взаимодействует с металлическим цинком, выделяя водород. Он характеризуется каталитической активностью и может быть нейтрализован основанием. Оказалось, что кислотные и основные свойства могут проявлять не только ионы водорода и гидроксила, но и другие ионы, например,  $\text{NH}_4^+$  и  $\text{NH}_2^-$  в жидком аммиаке и т. д.

Было создано много различных теорий кислот и оснований, большинство имеет сейчас только историческое значение. Все теории можно разделить на две группы. Одна группа — это теории, которые связывают кислотные свойства с присутствием в соединении водорода. Другая группа — это апротонные теории, не связывающие кислотные свойства с обязательным присутствием водорода в составе соединения. Согласно этой группе теорий, носителями кислотных свойств может быть не только свободный или сольватированный протон, но и любой другой катион или частица. Одна из апротонных теорий будет кратко рассмот-

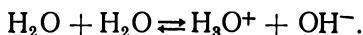


рена в разделе о комплексных соединениях. Ниже приводится характеристика некоторых протонных теорий кислот и оснований.

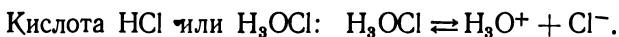
*Теория сольвосистем соединений.* Основное положение этой теории следующее. Каждому водоподобному растворителю соответствует своя система кислот и оснований. В соответствии с этой теорией *кислоты* — это химические соединения, образующие при диссоциации катионы, идентичные с катионами растворителя, а *основания* — химические соединения, образующие анионы, идентичные с анионами растворителя. Во всех случаях при реакции нейтрализации выделяются молекулы растворителя и образуются соли.

Теорию сольвосистем соединений могут иллюстрировать следующие примеры.

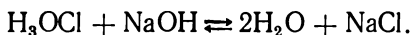
1. *Кислородная сольвосистема.* Растворитель — вода. Диссоциация воды проходит по уравнению



Следовательно, кислоты — это соединения, образующие при диссоциации ионы гидроксония, а основания — соединения, которые образуют ионы гидроксила.

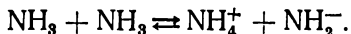


Реакция нейтрализации:

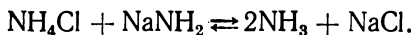


Кислота      Основание      Растворитель      Соль

2. *Аминосольвосистема.* Растворитель — жидкий аммиак. Диссоциация жидкого аммиака проходит по уравнению

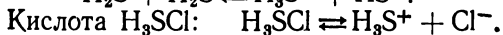
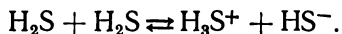


Реакция нейтрализации:



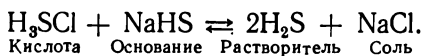
Кислота      Основание      Растворитель      Соль

3. *Тиосольвосистема.* Растворитель — жидкий сероводород. Диссоциация сероводорода проходит по уравнению





Реакция нейтрализации:



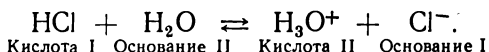
Теория сольвосистем соединений обратила внимание исследователей на важность проблемы исследования неводных растворов. Основной недостаток теории состоит в том, что определение понятий «кислота» и «основание» дается в зависимости от характера диссоциации растворителя, а не от свойств самого вещества.

## § 15. Теория Бренстеда

Эта теория имеет наиболее важное значение, в частности потому, что благодаря ей установлены количественные закономерности, характеризующие диссоциацию кислот в различных растворителях. Теория Бренстеда охватывает как водные, так и неводные растворы кислот и оснований и учитывает не только физические, но и химические факторы, влияющие на диссоциацию кислот.

По Бренстеду, *кислоты* — это вещества, которые способны отщеплять протон, а *основания* — соединения, способные его присоединять. Следовательно, значительно расширяется класс соединений, принадлежащих к основаниям.

Протон может выделяться только в том случае, если в системе есть основание, способное этот протон присоединить. Кисотно-основное взаимодействие рассматривается как двойное протолитическое равновесие, в котором принимает участие две пары сопряженных кислот и оснований. Например, диссоциация кислот рассматривается как процесс, который можно описать следующим уравнением:



Следовательно, по Бренстеду, кислотами могут быть такие соединения и ионы:

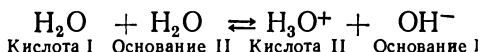
1. Нейтральные кислоты. Термин «нейтральные» не означает, что вещества в растворах имеют нейтральную реакцию. Нейтральность понимается как отсутствие электрического заряда. 2. Анионные кислоты  $\text{HSO}_3^-$ ,  $\text{HCO}_3^-$ ,  $\text{HPO}_4^{2-}$ . 3. Катионные кислоты [ониевые катионы  $\text{NH}_4^+$ ,  $\text{C}_6\text{H}_5\text{NH}^+$ , лиониевые ионы растворителя  $\text{H}_3\text{O}^+ \rightleftharpoons \text{H}_2\text{O} + \text{H}^+$ , аквакомплексы металлов  $\text{Al}(\text{H}_2\text{O})_6^{3+} \rightleftharpoons \text{Al}(\text{H}_2\text{O})_5\text{OH}^{2+} + \text{H}^+$ , комплексные ионы  $\text{Pt}(\text{NH}_3)_5\text{H}_2\text{O}^{4+} \rightleftharpoons \text{Pt}(\text{NH}_3)_5\text{OH}^{3+} + \text{H}^+$ ];



основаниями могут быть такие соединения и ионы:

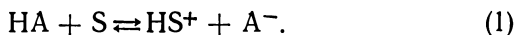
1. Нейтральные основания  $\text{H}_2\text{O}$ ,  $\text{NH}_3$ ,  $\text{C}_6\text{H}_5\text{NH}_2$ . 2. Анионные основания  $\text{Cl}^-$ ,  $\text{Br}^-$ ,  $\text{I}^-$ ,  $\text{CH}_3\text{COO}^-$ ,  $\text{OH}^-$ .

Многие соединения и ионы одновременно могут играть роль оснований и кислот, т. е. для них характерна амфотерность, например:



Основное преимущество теории Бренстеда — учет роли растворителя в кислотно-основном равновесии. Растворитель рассматривается не только как физическая среда с определенным значением диэлектрической проницаемости, но и как вещество, которое химически реагирует с кислотой или основанием.

При взаимодействии кислоты с растворителем  $S$  происходит реакция



Это взаимодействие является результатом двух сопряженных реакций:



Следовательно, суммарная константа двойного протолитического равновесия (1)

$$K = \frac{[\text{HS}^+][\text{A}^-]}{[\text{HA}][\text{S}]}$$

определяется отношением двух констант:

$$K = \frac{K_{\text{HA}}}{K_{\text{HS}^+}}.$$

Это означает, что способность кислот диссоциировать в данном растворителе зависит, с одной стороны, от способности кислоты отщеплять протон по уравнению (2), а с другой стороны, от способности растворителя присоединять этот протон по уравнению (3).

Количественная теория Бренстеда основана на следующих положениях. Как было сказано, двойное протолитическое равновесие характеризуется по этой теории уравнением (1).

Теория Бренстеда дает возможность сравнивать диссоциацию кислот и оснований в различных растворителях.



Для такого сравнения необходимо выбрать какую-либо среду в качестве стандартной. Дж. Н. Бренстед предложил принять стандартом гипотетическую среду (растворитель) с бесконечно большим значением диэлектрической проницаемости.

Обозначим активность компонентов кислотно-основного равновесия в гипотетическом растворителе так:

$$a_{\text{HA}}; a_{\text{S}}; a_{\text{HS}^+}; a_{\text{A}^-}.$$

Активность веществ изменяется при переходе из среды (растворителя) с бесконечно большим значением диэлектрической проницаемости в какую-либо другую среду (воду, спирт, ацетон и т. д.).

Обозначим активность веществ в данном растворителе как

$$a_{\text{HA}}^x; a_{\text{S}}^x; a_{\text{HS}^+}^x; a_{\text{A}^-}^x.$$

Константа двойного протолитического равновесия в данной среде

$$K_{\text{HAS}} = \frac{a_{\text{HS}^+}^x a_{\text{A}^-}^x}{a_{\text{HA}}^x a_{\text{S}}^x}. \quad (4)$$

Для равновесий в гипотетическом растворителе константы таковы:

$$\text{HA} \rightleftharpoons \text{H}^+ + \text{A}^-$$

$$a_{\text{HA}}; a_{\text{H}^+}; a_{\text{A}^-}; K_a = \frac{a_{\text{H}^+} a_{\text{A}^-}}{a_{\text{HA}}}. \quad (5)$$

$$\text{HS}^+ \rightleftharpoons \text{H}^+ + \text{S}$$

$$a_{\text{HS}^+}; a_{\text{H}^+}; a_{\text{S}}; K_s = \frac{a_{\text{H}^+} a_{\text{S}}}{a_{\text{HS}^+}}. \quad (6)$$

Здесь  $K_a$  и  $K_s$  — константы, характеризующие способность кислоты HA и  $\text{HS}^+$  отщеплять протоны в среде с бесконечно большой диэлектрической проницаемостью.

Из уравнений (5) и (6) записываем:

$$\frac{K_a}{K_s} = \frac{a_{\text{HS}^+} a_{\text{A}^-}}{a_{\text{HA}} a_{\text{S}}}. \quad (7)$$

Связь между активностью компонентов в гипотетическом и данном растворителе определяется уравнением,

$$a = f a^x, \quad (8)$$

где  $f$  — коэффициент активности.



Смысл коэффициента активности в теории Бренстеда следующий:  $f$  в уравнении (8) обозначает коэффициент активности бесконечно разбавленного раствора вещества в данном растворителе, отнесенный к гипотетическому растворителю с диэлектрической проницаемостью  $D = \infty$ , для которого коэффициент активности равен единице.

Из уравнений (8) и (4) находим:

$$K_{\text{HAS}} = \frac{a_{\text{HS}^+} a_{\text{A}^-} f_{\text{HA}} f_{\text{S}}}{a_{\text{HA}} a_{\text{S}} f_{\text{A}^-} f_{\text{HS}^+}} \quad (9)$$

или

$$K_{\text{HAS}} = \frac{K_a f_{\text{HA}} f_{\text{S}}}{K_s f_{\text{A}^-} f_{\text{HS}^+}}. \quad (10)$$

После логарифмирования

$$\lg K_{\text{HAS}} = \lg \frac{K_a}{K_s} + \lg \frac{f_{\text{HA}}}{f_{\text{A}^-}} - \lg \frac{f_{\text{HS}^+}}{f_{\text{S}}}. \quad (11)$$

Из курса электрохимии известна зависимость коэффициента активности  $f$  от величины заряда частички  $z$ , ее радиуса  $r$  и диэлектрической проницаемости среды  $D$ :

$$\lg f = \frac{e^2 N z^2}{4,6 R T D r}, \quad (12)$$

где  $e$ ,  $N$ ,  $R$  и  $T$  — соответственно заряд электрона, число Авогадро, газовая постоянная и абсолютная температура.

Подставив значение  $\lg f$  в уравнение (11), получим:

$$\lg K_{\text{HAS}} = \lg \frac{K_a}{K_s} + \frac{e^2 N}{4,6 R T D} \left( \frac{z_{\text{HA}}^2 - z_{\text{A}^-}^2}{r_{\text{A}^-}} - \frac{z_{\text{HS}^+}^2 - z_{\text{S}}^2}{r_{\text{S}}} \right). \quad (13)$$

Так как

$$z_{\text{A}^-} = z_{\text{HA}} - 1 \text{ и } z_{\text{S}} = z_{\text{HS}^+} - 1,$$

то

$$z_{\text{A}^-}^2 = z_{\text{HA}}^2 - 2z_{\text{HA}} + 1 \quad (14)$$

и

$$z_{\text{S}}^2 = z_{\text{HS}^+}^2 - 2z_{\text{HS}^+} + 1. \quad (15)$$

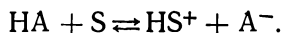
Подставив  $z_{\text{A}^-}^2$  и  $z_{\text{S}}^2$  из уравнений (14) и (15) в уравнение (13), получим *основное уравнение Бренстеда*:

$$\lg K_{\text{HAS}} = \lg \frac{K_a}{K_s} + \frac{e^2 N}{4,6 R T D} \left( \frac{2z_{\text{HA}} - 1}{r_{\text{A}^-}} - \frac{2z_{\text{HS}^+} - 1}{r_{\text{S}}} \right). \quad (16)$$



## § 16. Выводы из основного уравнения Бренстеда

Уравнение Бренстеда передает зависимость константы  $K_{\text{НАС}}$  от ряда параметров, которые входят в правую часть этого уравнения. Константа  $K_{\text{НАС}}$  является термодинамической константой (выраженной через активности), характеризующей процесс диссоциации кислоты в данном растворителе с участием последнего



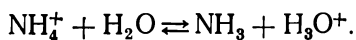
Следовательно, эта константа отличается от термодинамических констант диссоциации кислот, определенных обычными методами, на постоянную величину активности чистого растворителя.

Из уравнения (16) видно, что величина константы  $K_{\text{НАС}}$  зависит:

а) от соотношения констант  $K_a$  и  $K_s$ . Известно, что константа  $K_a$  характеризует способность кислоты отщеплять протоны, а константа  $K_s$  — способность растворителя присоединять протоны в гипотетическом растворителе с бесконечно большой диэлектрической проницаемостью. Таким образом, эти константы не изменяются в зависимости от растворителя. Соотношение  $K_a : K_s$  тем больше, чем больше способность кислоты  $\text{HA}$  к отщеплению протона, и тем меньше, чем больше способность растворителя к присоединению протона;

б) от величины диэлектрической проницаемости растворителя. Если  $D = \infty$ , то второй член правой части уравнения (16) превращается в нуль, и, следовательно, константа  $K_{\text{НАС}}$  зависит только от соотношения констант  $K_a : K_s$ . При прочих равных условиях чем меньше  $D$ , тем второй член уравнения (16) приобретает все более существенное значение;

в) от зарядного типа кислоты  $\text{HA}$  и  $\text{HS}^+$ . Так, для катионной кислоты  $\text{NH}_4^+$  процесс диссоциации описывается уравнением



Следовательно, зарядный тип обеих кислот  $\text{NH}_4^+$  и  $\text{H}_3\text{O}^+$  одинаковый, т. е.  $z = 1$ . Поэтому числители обеих дробей, стоящих в скобках уравнения (16), одинаковы, если радиусы  $r_A$  и  $r_S$  также одинаковы или мало отличаются, весь член в скобках приближается к нулю и поэтому



константа  $K_{\text{HAs}}$  для такого типа кислот не зависит от величины диэлектрической проницаемости растворителя:

$$\lg K_{\text{HAs}} = \lg \frac{K_a}{K_s}. \quad (17)$$

Представляет интерес зависимость  $K_{\text{HAs}}$  для кислот нейтрального типа, не имеющих заряда, например  $\text{HCl}$ ,  $\text{HNO}_3$  и др.

Уравнение Бренстеда для кислот нейтрального типа можно преобразовать так. В этом случае  $z_{\text{HA}} = 0$ , а  $z_{\text{HS}^+} = 1$ . В первом приближении принимают, что радиусы частичек  $\text{A}^-$  и  $\text{S}$  не сильно отличаются друг от друга, т. е., что  $r_{\text{A}} \approx r_{\text{S}}$ . Тогда уравнение (16) превращается в следующее:

$$\lg K_{\text{HAs}} = \lg \frac{K_a}{K_s} - \frac{e^2 N}{2,3RTDr}. \quad (18)$$

Следовательно, при увеличении диэлектрической проницаемости растворителя константа  $K_{\text{HAs}}$  и диссоциация кислоты нейтрального типа также увеличиваются. Принимая во внимание, что  $K_a : K_s$ , а также  $\frac{e^2 N}{2,3RTDr}$  для данной кислоты  $\text{HA}$  есть величины постоянные, уравнение (18) можно записать в такой форме:

$$\text{p}K_{\text{HAs}} = \text{const} + \frac{\text{A}}{D}. \quad (19)$$

Первое следствие из теории Бренстеда для незаряженных кислот состоит в том, что  $\text{p}K_{\text{HAs}}$  должно быть линейной функцией от  $1/D$ .

Примером, подтверждающим этот вывод, является зависимость  $\text{p}K$  хлорной кислоты от величин диэлектрических проницаемостей в неводных растворителях (карбоновых кислотах). Это видно из табл. 15.

Если отложить на оси ординат величины  $\text{p}K_{\text{HClO}_4}$  в различных растворителях, а на оси абсцисс —  $1/D$ , то отдельные точки будут находиться, в соответствии с уравнением (16), на прямой линии (рис. 8).

Второе следствие из теории Бренстеда выражает зависимость сил разных кислот от природы каких-либо двух растворителей. Речь идет о том, каким должно быть соотношение констант  $K_{\text{HAs}_1}$  и  $K_{\text{HAs}_2}$ .

Уравнение Бренстеда для кислоты  $\text{HA}$  в двух различных растворителях  $\text{S}_1$  и  $\text{S}_2$  имеет вид



Таблица 15

Зависимость  $pK$  хлорной кислоты от диэлектрической проницаемости неводных растворителей (карбоновых кислот)

| Растворитель  | HCOOH | CH <sub>2</sub> ClCOOH | CH <sub>3</sub> COOH | CCl <sub>3</sub> COOH | CH <sub>3</sub> (CH <sub>2</sub> ) <sub>2</sub> COOH |
|---------------|-------|------------------------|----------------------|-----------------------|--|
| $D$           | 57    | 20                     | 6,1                  | 4,5                   | 2,4  |
| $1/D$         | 0,02  | 0,05                   | 0,16                 | 0,22                  | 0,42   |
| $pK_{HClO_4}$ | 0,28  | 1,51                   | 5,8                  | 7,7                   | 12,1   |

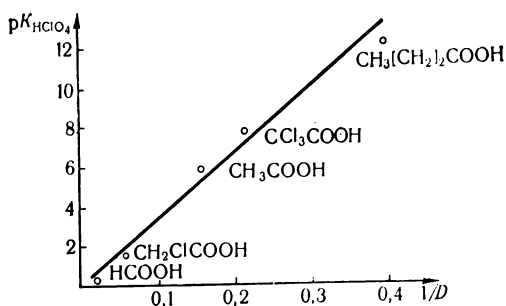


Рис. 8. Зависимость  $pK$  хлорной кислоты от обратной величины диэлектрической проницаемости неводных растворителей (карбоновых кислот).

для первого растворителя:

$$\lg K_{HAS_1} = \lg K_a - \lg K_{S_1} - \frac{e^2 N}{2,3RTD_1 r};$$

для второго растворителя:

$$\lg K_{HAS_2} = \lg K_a - \lg K_{S_2} - \frac{e^2 N}{2,3RTD_2 r}.$$

Отняв от второго уравнения первое, получим:

$$\lg \frac{K_{HAS_2}}{K_{HAS_1}} = \lg \frac{K_{S_1}}{K_{S_2}} + \frac{e^2 N}{2,3RT r} (1/D_1 - 1/D_2)$$

или

$$pK_{HAS_2} - pK_{HAS_1} = \lg \frac{K_{S_2}}{K_{S_1}} + \frac{e^2 N}{2,3RT r} (1/D_2 - 1/D_1). \quad (20)$$



Второй член правой части уравнения (20) для разных кислот отличается мало. В самом деле, разность  $(1/D_2 - 1/D_1)$  и отношение  $\frac{e^2 N}{2.3RT}$  величины постоянные. Следовательно, для разных кислот этот член зависит только от величины  $r$ . Если принять, что радиус  $r$  не сильно отличается для разных кислот в одном и том же или в разных растворителях, то в первом приближении можно считать  $r$  также величиной постоянной.

В этом случае разность величин  $pK$  незаряженных (нейтральных) кислот в двух разных растворителях должна быть величиной постоянной:

$$pK_{\text{HAs}}, - pK_{\text{HAs}_1} = \text{const.} \quad (21)$$

Следовательно, если представить величины  $pK_{\text{HAs}}$  в первом растворителе как функцию величин  $pK_{\text{HAs}_1}$  в другом растворителе, то между ними должна существовать линейная зависимость с углом наклона  $45^\circ$ .

Сформулированную закономерность подтверждают данные табл. 16 и 17.

Таблица 16

**$pK$  карбоновых кислот в воде и бутаноле**

| Кислота                  | $pK_{\text{H}_2\text{O}}$ | $pK_{\text{бут}}$ | $\Delta pK$ |
|--------------------------|---------------------------|-------------------|-------------|
| Трихлоруксусная          | 0,7                       | 6,3               | 5,6         |
| Дихлоруксусная           | 1,3                       | 7,3               | 6,0         |
| Монохлоруксусная         | 2,9                       | 8,5               | 5,6         |
| <i>m</i> -Нитробензойная | 3,5                       | 9,2               | 5,7         |
| Бензойная                | 4,2                       | 10,2              | 6,0         |
| Уксусная                 | 4,8                       | 10,4              | 5,7         |

Таблица 17

**$pK$  карбоновых кислот в воде и метаноле**

| Кислота                  | $pK_{\text{H}_2\text{O}}$ | $pK_{\text{мет}}$ | $\Delta pK$ |
|--------------------------|---------------------------|-------------------|-------------|
| Трихлоруксусная          | 0,7                       | 4,9               | 4,2         |
| Дихлоруксусная           | 1,3                       | 6,3               | 5,0         |
| Монохлоруксусная         | 2,9                       | 7,8               | 4,9         |
| <i>m</i> -Нитробензойная | 3,5                       | 8,3               | 4,8         |
| Бензойная                | 4,2                       | 9,4               | 5,2         |
| Уксусная                 | 4,8                       | 9,7               | 4,9         |

Так, в соответствии с уравнением (21) разность  $pK$  различных карбоновых кислот в воде и бутаноле или в воде и метаноле сохраняет приблизительно постоянное значение. Графики в координатах  $pK_{\text{H}_2\text{O}} - pK_{\text{бут}}$  или  $pK_{\text{H}_2\text{O}} - pK_{\text{мет}}$  действительно выражаются прямыми линиями с тангенсами углов наклона, близкими к единице (рис. 9).



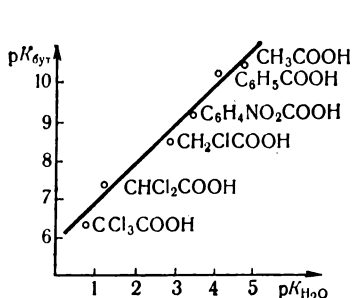


Рис. 9.  $pK$  карбоновых кислот в воде и бутаноле.

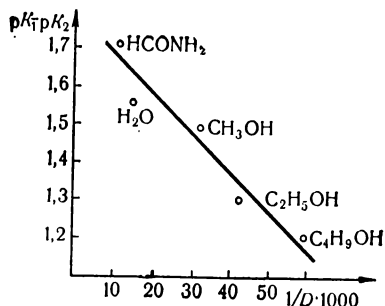


Рис. 10. Зависимость  $\Delta pK$  ( $pK_1$  —  $pK_2$ ) хлоруксусной и дихлоруксусной кислот от обратной величины диэлектрической проницаемости растворителей.

Третье следствие из теории Бренстеда выражает зависимость изменения относительной силы двух кислот от природы различных растворителей. Чтобы выяснить эту зависимость, запишем сначала основное уравнение Бренстеда (16) для двух различных кислот в одном растворителе.

Для первой кислоты:

$$\lg K_{HA_1S} = \lg K_{a_1} - \lg K_s + \frac{e^2 N}{4,6RTD} \left( \frac{2z_{HA_1} - 1}{r_{A_1}} - \frac{2z_{HS^+} - 1}{r_s} \right).$$

Для второй кислоты:

$$\lg K_{HA_2S} = \lg K_{a_2} - \lg K_s + \frac{e^2 N}{4,6RTD} \left( \frac{2z_{HA_2} - 1}{r_{A_2}} - \frac{2z_{HS^+} - 1}{r_s} \right). \quad (22)$$

Отняв от первого уравнения второе, получим:

$$\lg \frac{K_{HA_1S}}{K_{HA_2S}} = \lg \frac{K_{a_1}}{K_{a_2}} + \frac{e^2 N}{4,6RTD} (2z_{HA} - 1) (1/r_{A_1} - 1/r_{A_2}). \quad (23)$$

Уравнение (23) записано для двух кислот одинакового зарядного типа, т. е.  $z_{HA_1} = z_{HA_2}$ .

Следовательно, относительная сила двух кислот, в соответствии с уравнением (23), должна определяться: 1) отношением собственных констант кислотности, или разницей в способности двух кислот отщеплять протоны ( $K_{a_1}$  и  $K_{a_2}$ ); 2) величиной  $D$ . Действительно, в последнем члене правой части уравнения (23) величины  $e$ ,  $R$ ,  $T$  и разность  $1/r_{A_1} - 1/r_{A_2}$  постоянны;  $z_{HA}$  для данного зарядного типа



кислоты (нейтральной кислоты) также величина постоянная, поэтому уравнение (23) примет вид:

$$\lg \frac{K_{\text{HA}_1\text{S}}}{K_{\text{HA}_2\text{S}}} = \text{const} + \frac{\text{const}}{D}. \quad (24)$$

Это означает, что  $\lg \frac{K_{\text{HA}_1\text{S}}}{K_{\text{HA}_2\text{S}}}$  в разных растворителях линейно зависит от  $1/D$ .

Данные, приведенные в табл. 18, подтверждают эту зависимость.

Таблица 18

**Зависимость  $\Delta pK$  хлоруксусных кислот от диэлектрической проницаемости растворителей**

| Кислота        | pK в растворителях |       |         |        |         |
|----------------|--------------------|-------|---------|--------|---------|
|                | формамид           | вода  | метанол | этанол | бутанол |
| Хлоруксусная   | 4,56               | 2,86  | 7,8     | 8,5    | 8,5     |
| Дихлоруксусная | 2,85               | 1,30  | 6,3     | 7,14   | 7,3     |
| $pK_1 - pK_2$  | 1,71               | 1,56  | 1,5     | 1,3    | 1,2     |
| $D$            | 90                 | 78,5  | 31      | 24     | 17      |
| $1/D$          | 0,011              | 0,014 | 0,032   | 0,042  | 0,059   |

Как показывает рис. 10, зависимость разности  $pK_1 - pK_2$  от  $1/D$  выражается прямой линией.

Другой пример — зависимость отношения  $pK$  бензойной и уксусной кислот от  $1/D$  различных растворителей — подтверждается данными, приведенными в табл. 19.

Таблица 19

**Зависимость  $\Delta pK$  уксусной и бензойной кислот от диэлектрической проницаемости растворителей**

| Кислота       | pK в растворителях |             |        |         |        |         |        |
|---------------|--------------------|-------------|--------|---------|--------|---------|--------|
|               | вода               | ацетонитрил | ацетон | метанол | этанол | бутанол | аммиак |
| Уксусная      | 4,75               | 9,0         | 10,27  | 9,7     | 10,4   | 10,35   | 4,1    |
| Бензойная     | 4,2                | 8,5         | 9,8    | 9,4     | 10,1   | 10,24   | 3,8    |
| $pK_1 - pK_2$ | 0,55               | 0,5         | 0,47   | 0,3     | 0,3    | 0,11    | 0,3    |
| $D$           | 78,5               | 36,7        | 40,0   | 31,5    | 24,0   | 17,0    | 21,0   |
| $1/D$         | 0,014              | 0,027       | 0,025  | 0,032   | 0,042  | 0,059   | 0,048  |



И в этом случае существует прямолинейная зависимость между разностью  $pK_1 - pK_2$  и  $1/D$ .

Из приведенных примеров видно, что следствия из теории Бренстеда в ряде случаев хорошо согласуются с экспериментальными данными, характеризующими поведение кислот в различных неводных растворителях. Однако более подробное рассмотрение вопроса показывает, что есть много отклонений от теории, вызванных упрощениями, которые были сделаны при выводе уравнения Бренстеда. Так,

предполагалось, что анионы кислот — это сферические частицы с равномерно распределенным зарядом, в то время как для многих кислот (в частности, органических) это предположение не соответствует действительности. Анионы карбоновых кислот имеют вытянутую форму, а заряд фиксирован в определенном месте аниона. В основном уравнении Бренстеда не нашла отражения и сольватация растворенных частиц; кислотность растворов кислот в органических растворителях очень сильно зависит от специфической химической природы растворителя и т. д. Примеров отклонения от теории много. В табл. 20 приведены данные об изменении  $pK$  бензойной кислоты в растворителях различной химической природы (они размещены в таблице в порядке уменьшения величин диэлектрической проницаемости).

Из таблицы видно, что в отличие от данных табл. 15, закономерной зависимости между диэлектрическими проницаемостями растворителей и силой кислоты нет. Выраженная уравнением (19) зависимость оправдывается только в том случае, если сравнивают силу кислот в растворителях одинаковой химической природы. Для растворителей различной химической природы имеет значение не только диэлектрическая проницаемость, но и специфика химического взаимодействия, которую пока не удается характеризовать какими-либо количественными параметрами.

Таблица 20

**Влияние диэлектрической проницаемости на диссоциацию бензойной кислоты в растворителях различной химической природы**

| Растворитель | $D$  | $pK$ |
|--------------|------|------|
| Формамид     | 90   | 6,2  |
| Вода         | 78,5 | 4,0  |
| Ацетонитрил  | 36,7 | 8,5  |
| Метанол      | 31,5 | 9,4  |
| Этанол       | 24,0 | 10,1 |
| Ацетон       | 24,0 | 9,8  |
| (50%-ный)    |      |      |
| Аммиак       | 21,0 | 3,8  |
| Ацетон       | 19,1 | 12,0 |
| Бутанол      | 17,0 | 10,2 |
| Диоксан      | 15,3 | 8,6  |
| м-Крезол     | 13,0 | 10,3 |



Данные, приведенные в табл. 16 и 17, подтверждают правильность уравнения (21). Однако в некоторых случаях уравнение (21) не оправдывается. В самом деле,  $\Delta pK$  ряда кислот в двух различных растворителях не всегда сохраняет постоянное значение (табл. 21).

Таблица 21

**$pK$  кислот в воде и бутаноле, а также в воде и метаноле**

| Кислота              | $pK_{H_2O}$ | $pK_{бут}$ | $\Delta pK$ | Кислота | $pK_{H_2O}$ | $pK_{мет}$ | $\Delta pK$ |
|----------------------|-------------|------------|-------------|---------|-------------|------------|-------------|
| <i>n</i> -Нитрофенол | 7,16        | 12,65      | 5,49        | Соляная | 0,8         | 1,05       | 0,25        |
| 2,4-Динитрофенол     | 4,02        | 8,36       | 4,34        | Азотная | 0,2         | 3,17       | 2,97        |
| Пикриновая           | 0,8         | 4,5        | 3,70        |         |             |            |             |

Теория Бренстеда получила дальнейшее развитие в работах Н. А. Измайлова, в которых подробно рассмотрены причины отклонений от этой теории и разработана более совершенная и более общая теория электролитов. Для аналитической химии важное значение имеет классификация неводных растворителей по их химической природе и дифференцирующее действие растворителей на силу кислот.

## § 17. Классификация неводных растворителей и их дифференцирующее действие на силу кислот

Классифицировать неводные растворители можно на основании их способности к взаимодействию с протоном. По этому признаку все растворители делятся на апротонные (апротные) и протолитические.

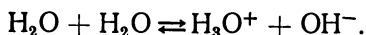
**Апротонные (апротные) растворители.** Молекулы этих растворителей не способны к отщеплению или присоединению протонов; они не ионизированы, и растворенные в апротонных растворителях кислоты и основания также не способны к диссоциации. Примером апротонных растворителей служит бензол.

**Протолитические растворители.** Молекулы этих растворителей могут присоединять или отщеплять протоны. Они в свою очередь делятся на группы.

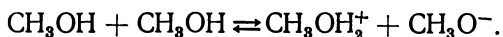
1. **Амфипротные (амфотерные) растворители.** Эти растворители амфотерного характера — они способны присоединять и отщеплять протоны. К ним относятся, напри-



мер, вода, метанол, этанол, фенолы. Диссоциация воды проходит по уравнению



В этом процессе проявляются амфотерные свойства воды. Аналогично диссоциирует метанол:



При диссоциации образуются катионы метоксония и анионы  $\text{CH}_3\text{O}^-$ .

В амфипротных растворителях, которые приблизительно в одинаковой степени являются акцепторами и донорами протонов, диссоциируют кислоты и основания.

2. *Протофильные (основные) растворители.* Молекулы этих растворителей очень легко присоединяют протоны, поэтому в растворителях этого типа диссоциация кислот усиливается. Примерами таких растворителей являются жидкий аммиак, гидразин, пиридин.

3. *Протогенные (кислые) растворители.* Молекулы этих растворителей мало склонны к присоединению протонов, но легко их отщепляют. В кислых растворителях легко диссоциируют основания, а диссоциация кислот незначительна. Примерами растворителей этого типа являются безводные карбоновые кислоты — уксусная, масляная, муравьиная.

Для аналитической химии важное значение имеет классификация растворителей по их способности нивелировать или дифференцировать силу кислот или оснований. По названному критерию все растворители можно в свою очередь разделить на две группы.

**Н и в е л и р у ю щ и е      р а с т в о р и т е л и** — это растворители, в которых сохраняется соотношение в силе кислот и оснований; характерное для водных растворов этих электролитов. К нивелирующим растворителям относятся в первую очередь химические соединения, содержащие гидроксильные группы — спирты, фенолы и т. д.

**Д и ф ф е р е н ц и р у ю щ и е   р а с т в о р и т е л и** — это растворители, в которых проявляется значительное различие в силе кислот и оснований. В этих растворителях соотношение в силе электролитов иное, чем в водных растворах. Обычно такие растворители не обладают четко выраженным свойством донора или акцептора протонов. Наиболее важны для аналитической химии дифференци-



рующие растворители, принадлежащие к альдегидам, кетонам и нитрилам.

Н. А. Измайлов установил несколько типов дифференцирующего действия растворителей.

*Основной тип* дифференцирующего действия растворителей — это изменение относительной силы кислот различной химической природы. По отношению к кислотам различной химической природы дифференцирующее действие проявляют практически все растворители.

Наиболее яркие примеры — изменение относительной силы бензойной кислоты и 2,6-динитрофенола, соляной кислоты и моно- или дихлоруксусной кислот.

Бензойная кислота и фенол (или производные фенола) являются кислотами, но по своему химическому характеру это соединения, принадлежащие к различным классам. Кислотность растворов бензойной кислоты обусловлена наличием карбоксильной группы, а кислотность растворов фенола — наличием оксигруппы. Соляная и хлоруксусная кислоты также сильно отличаются по своей химической природе: HCl — минеральная кислота, хлоруксусная кислота принадлежит к классу карбоновых кислот.

Дифференцирующее действие растворителей на силу названных пар кислот характеризуется данными, приведенными в табл. 22.

Таблица 22

**Дифференцирующее действие растворителей на диссоциацию бензойной кислоты и 2,6-динитрофенола**

| Растворитель             | $D$  | $pK$ бензойной кислоты | $pK$ 2,6-динитрофенола | $\Delta pK$ |
|--------------------------|------|------------------------|------------------------|-------------|
| Формамид                 | 90   | 6,2                    | 4,6                    | 1,6         |
| Вода                     | 78,5 | 4,2                    | 4,0                    | 0,2         |
| Ацетонитрил              | 36,7 | 8,5                    | 6,6                    | 1,9         |
| Метанол                  | 31,5 | 9,4                    | 7,9                    | 1,5         |
| Этанол                   | 24,0 | 10,1                   | 8,2                    | 1,9         |
| Ацетон                   | 24,0 | 12,0                   | 8,7                    | 3,3         |
| Ацетон (90%-ный)         | 19,0 | 9,8                    | 6,5                    | 3,3         |
| Дихлорэтан + 25% этанола | 18,0 | 8,2                    | 5,0                    | 3,2         |

Данные табл. 22 подтверждают, что в воде бензойная кислота и 2,6-динитрофенол являются кислотами приблизительно одинаковой силы, в формамиде между  $pK$  обеих кислот возникает уже значительная разница. В этаноле



бензойная кислота приблизительно в десять раз слабее 2,6-динитрофенола. Наибольшее дифференцирующее действие проявляет ацетон — в нем сила обеих кислот отличается приблизительно в 45 раз.

Таблица 23

Дифференцирующее действие растворителей на диссоциацию соляной и хлоруксусных кислот

| Растворитель             | $K_{\text{HCl}} : K_{\text{CH}_2\text{ClCOOH}}$ | $K_{\text{HCl}} : K_{\text{CCl}_3\text{COOH}}$ |
|--------------------------|---|--|
| Вода                     | $6,3 \cdot 10^2$                                | 3,3  |
| Метанол                  | $5,0 \cdot 10^3$                                | —  |
| Этанол                   | $1,5 \cdot 10^5$                                | —  |
| Ацетон                   | $9,0 \cdot 10^5$                                | $6,0 \cdot 10^3$                               |
| Метилэтилкетон           | $1,0 \cdot 10^6$                                | $5,0 \cdot 10^4$                               |
| Дихлорэтан + 25% этанола | —   | $1,5 \cdot 10^4$                               |

Из данных табл. 23 видно, что соляная кислота в воде диссоциирует в  $\sqrt[3]{630}$  раз сильнее хлоруксусной и в  $\sqrt[3]{3,3}$  раза сильнее трихлоруксусной кислоты. В ацетоне соотношение констант HCl и  $\text{CH}_2\text{ClCOOH}$ , а также HCl и  $\text{CCl}_3\text{COOH}$  составляет уже  $9 \cdot 10^5$  и  $6 \cdot 10^3$  соответственно; аналогичное дифференцирующее действие проявляют другие растворители.

Второй тип дифференцирующего действия растворителей — изменение относительной силы минеральных кислот в протогенных растворителях. Так, в воде приведенные ниже кислоты являются сильными кислотами и диссоциируют приблизительно в одинаковой степени (практически полностью).

Величины  $pK$  минеральных кислот в уксусной кислоте (как растворителе) приведены в табл. 24.

Таблица 24

$pK$  минеральных кислот в уксусной кислоте

| Кислота | $\text{HClO}_4$ | $\text{HBr}$ | $\text{H}_2\text{SO}_4$ | $\text{HCl}$ | $\text{HNO}_3$ |
|---------|-----------------|--------------|-------------------------|--------------|----------------|
| $pK$    | 5,8             | 6,4          | 8,2                     | 8,9          | 9,4            |

Диэлектрическая проницаемость уксусной кислоты равна 6,1. Следовательно, диссоциация сильных кислот



должна ослабляться при переходе от воды к растворам в уксусной кислоте. Протогенные свойства уксусной кислоты (как растворителя) также должны обуславливать ослабление диссоциации кислот. Но из данных табл. 24 видно, что кроме ослабления диссоциации происходит также дифференциация силы кислот. В уксусной кислоте разность значений  $pK$   $HClO_4$  и  $HNO_3$  составляет 3,6, т. е. эти кислоты отличаются по своей способности к диссоциации приблизительно в 65 раз.

*Третий тип дифференцирующего действия растворителей* — изменение относительной силы минеральных кислот в основных (протофильных) растворителях с низкими значениями диэлектрической проницаемости. Примером является изменение силы минеральных кислот в пиридине (табл. 25).

Таблица 25

$pK$  минеральных кислот в пиридине ( $D = 12,5$ )

| Кислота | HI  | $HClO_4$ | $HBr$ | $HNO_3$ | HCl | HF  |
|---------|-----|----------|-------|---------|-----|-----|
| $pK$    | 2,5 | 3,2      | 4,0   | 4,3     | 5,4 | 8,5 |

В воде все перечисленные в таблице кислоты, за исключением HF, сильные. Пиридин ослабляет силу кислот. Здесь проявляется влияние диэлектрической проницаемости растворителя. Но сила кислот в пиридине ослабляется меньше, чем в уксусной кислоте. Это объясняется различием химической природы уксусной кислоты и пиридина как растворителей. Уксусная кислота — протогенный растворитель, мало склонный к присоединению протонов. Пиридин принадлежит к группе протофильных растворителей, легко присоединяющих протоны, и, следовательно, усиливающих диссоциацию растворенных в нем кислот.

Характерно, что сила кислот уменьшается неодинаково: пиридин проявляет дифференцирующее действие.

Представляет интерес последовательность изменений значений  $pK$  в ряду  $HF-HCl-HBr-HI$ . В пиридине самая сильная кислота — HI, самая слабая — HF;  $pK$  кислот HCl и HBr имеют промежуточные значения. Здесь четко проявляется влияние радиусов анионов кислот на их диссоциацию, о чем было сказано в § 1.



## § 18. Аналитическое применение неводных растворителей

Кислотно-основное титрование в неводных растворителях целесообразно применять в следующих случаях:

1) если необходимо увеличить точность определения слабых кислот или слабых оснований;

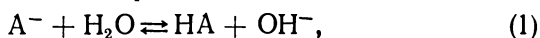
2) если необходимо отдельно определить в смеси кислоты или основания, которые в водных растворах диссоциируют приблизительно одинаково;

3) для определения концентрации неводных растворов кислот или оснований без их предварительного извлечения в водный раствор.

Рассмотрим подробнее первые два случая.

1. Точность титрования кислот (или оснований) зависит в первую очередь от их способности к электролитической диссоциации. Сильные кислоты титруются с высокой точностью. Точность определения слабых кислот тем больше, чем больше константа диссоциации кислоты. Известно, что погрешность определения концентрации соляной кислоты в растворе при оптимальных условиях составляет приблизительно 0,01%; при определении уксусной кислоты с  $pK = 4,76$  погрешность увеличивается до 0,1%, а слабую борную кислоту ( $pK = 9,2$ ) вообще нельзя оттитровать точно — погрешность может достигать до 10—12%. Причиной является увеличение степени гидролиза продуктов реакции с уменьшением константы диссоциации кислоты.

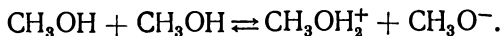
Уравнение реакции гидролиза имеет вид:



откуда константа гидролиза

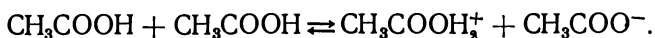
$$K' = \frac{[HA][OH^-]}{[A^-]} = \frac{K_{H_2O}}{K_{HA}}. \quad (2)$$

Из этого выражения видно, что гидролиз, величина которого определяется константой гидролиза, увеличивается с уменьшением константы диссоциации кислоты. Степень гидролиза аниона  $A^-$  кислоты  $HA$ , как видно из уравнения (2), можно уменьшить, если взять вместо воды растворитель с ионным произведением, меньшим чем у воды. Уже отмечалось, что неводные растворители также способны к диссоциации. Так, метиловый спирт диссоциирует по уравнению

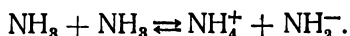




Диссоциация уксусной кислоты как растворителя описывается уравнением



Уравнение диссоциации жидкого аммиака имеет вид:



Приведенные процессы количественно характеризуются ионными произведениями — *константами автопротолиза*. Величины констант автопротолиза некоторых растворителей даны в табл. 26.

Таблица 26

**Ионные произведения (константы автопротолиза)  
некоторых растворителей**

| Растворитель       | Формульное выражение<br>ионного произведения                          | Константа<br>автопротолиза |
|--------------------|---|----------------------------|
| Вода               | $[\text{H}_3\text{O}^+][\text{OH}^-]$                                 | $1 \cdot 10^{-14}$         |
| Муравьиная кислота | $[\text{HCOOH}_2^+][\text{HCOO}^-]$                                   | $5 \cdot 10^{-7}$          |
| Уксусная кислота   | $[\text{CH}_3\text{COOH}_2^+][\text{CH}_3\text{COO}^-]$               | $2,5 \cdot 10^{-13}$       |
| Серная кислота     | $[\text{H}_3\text{SO}_4^+][\text{HSO}_4^-]$                           | $1,0 \cdot 10^{-8}$        |
| Метанол            | $[\text{CH}_3\text{OH}_2^+][\text{CH}_3\text{O}^-]$                   | $2,0 \cdot 10^{-17}$       |
| Этанол             | $[\text{C}_2\text{H}_5\text{OH}_2^+][\text{C}_2\text{H}_5\text{O}^-]$ | $8,0 \cdot 10^{-20}$       |
| Гидразин           | $[\text{N}_2\text{H}_5^+][\text{N}_2\text{H}_3^-]$                    | $2,0 \cdot 10^{-25}$       |
| Аммиак             | $[\text{NH}_4^+][\text{NH}_2^-]$                                      | $3,0 \cdot 10^{-33}$       |

Обычно при переходе от воды к неводному растворителю изменяется не только константа автопротолиза, но и константа диссоциации кислоты. Поэтому в общем случае неправильным будет вывод, что при переходе от воды к растворителю с меньшей константой автопротолиза точность титрования увеличивается. Точность титрования определяется не абсолютной величиной константы автопротолиза, а изменением соотношения  $K_s : K_{\text{HA}}$ ; а именно: чем меньше это соотношение, тем в меньшей степени проходит гидролиз (в воде) или сольволиз (в неводном растворителе) и тем точнее определение. Другими словами, точность титрования увеличивается с возрастанием разности  $\text{p}K_s - \text{p}K_{\text{HA}}$  при переходе от одного растворителя к другому.



Сильные кислоты можно титровать с достаточной точностью в водных растворах; но в метаноле или этаноле титрование будет более точным. Так, соотношение  $K_{H_2O}:K_{HCl}$  в воде равно  $10^{-14}$ , а в этаноле  $K_{C_2H_5OH}:K_{HCl} = 10^{-17}$  (разность  $pK_{C_2H_5OH} - pK_{HCl}$  в этаноле составляет  $19,3 - 2,0 = 17,3$ , а в воде —  $14,0$ ). Поэтому точность определения возрастает —

увеличивается скачок изменения pH вблизи точки эквивалентности. Рис. 11 иллюстрирует титрование соляной кислоты в воде (1), этаноле (2) и метилэтилкетоне (3).

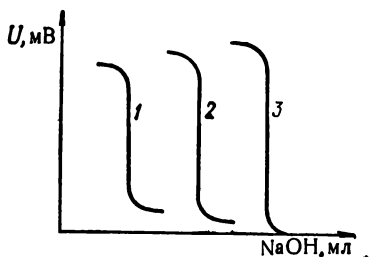


Рис. 11. Кривые титрования соляной кислоты в воде (1), этаноле (2) и метилэтилкетоне (3).

Сероводород в водных растворах является слабой кислотой с  $pK_1 = 7$ . Разность  $pK_{H_2O} - pK_{H_2S} = 14 - 7 = 7$  недостаточна для точного определения. Точное титрование становится возможным, если применить как растворитель жидкий аммиак ( $pK_{NH_3} = 30,5$ , а  $pK_{H_2S}$  в аммиаке равно  $2,3$ ). Поскольку разность  $pK_{NH_3} - pK_{H_2S} = 28,2$ , точное титрование возможно. Жидким аммиаком не пользуются в аналитической практике, однако этот пример дает представление о возможностях, открывающихся в результате применения неводных растворителей.

Большое практическое значение имеет титрование аминокислот и белковых веществ в безводной уксусной кислоте. Титрование основных групп этих амфотерных электролитов возможно вследствие сильного уменьшения соотношения  $K_S:K_B$  (в уксусной кислоте увеличивается  $K_B$ ).

2. Раздельное титрование смеси двух (или нескольких) кислот с достаточной точностью часто становится возможным в неводных растворителях, проявляющих дифференцирующее действие. Например, можно титровать смесь сильных минеральных кислот с сильными карбоновыми кислотами. Приведенные в табл. 27 данные дают представление о возможностях метода.

Из данных таблицы следует, что смесь соляной и монохлоруксусной кислот можно титровать с достаточной точностью не только в кетонах, но и спиртах (метаноле и бутаноле). Смесь соляной и дихлоруксусной кислот можно



Таблица 27

Разность  $\Delta pK = pK_2 - pK_1$  для хлоруксусных ( $pK_2$ ) и соляной ( $pK_1$ ) кислот в неводных растворителях. Точность титрования

| Растворитель     | Кислоты                |                        |                        |                        |                       |                        |
|------------------|------------------------|------------------------|------------------------|------------------------|-----------------------|------------------------|
|                  | CH <sub>2</sub> ClCOOH |                        | CHCl <sub>2</sub> COOH |                        | CCl <sub>3</sub> COOH |                        |
|                  | $\Delta pK$            | Точность титрования, % | $\Delta pK$            | Точность титрования, % | $\Delta pK$           | Точность титрования, % |
| Вода             | 2,8                    | 3,0                    | 1,3                    | —                      | 0,5                   | —                      |
| Метанол          | 5,7                    | 0,16                   | —                      | —                      | —                     | —                      |
| Этанол           | 5,2                    | 0,26                   | 4,1                    | 0,7                    | —                     | —                      |
| Бутанол          | 5,9                    | 0,13                   | —                      | —                      | —                     | —                      |
| Ацетон           | 6,8                    | 0,07                   | 5,8                    | 0,15                   | 3,8                   | 1,0                    |
| Метилэтилкетон   | 7,0                    | 0,06                   | 6,1                    | 0,11                   | 4,7                   | 0,5                    |
| Метилпропилкетон | —                      | —                      | —                      | —                      | 4,9                   | 0,4                    |

определять, применяя в качестве растворителя ацетон или другие кетоны.

В ацетоне можно также определять смеси органических кислот, которые принадлежат к разным классам соединений, например, смеси пикриновой и салициловой кислот, пикриновой и хлоруксусной кислот.

Необходимо иметь в виду, что раздельное титрование смеси двух кислот возможно, если разность  $pK$  этих кислот не меньше трех.

Из данных табл. 28 следует, что в воде раздельное титрование смеси названных кислот проводить нельзя; аналогичный вывод справедлив для 50%-ного водного раствора ацетона, хотя для этого растворителя характерно уже небольшое дифференцирующее действие.

Таблица 28

Величины  $pK$  кислот в ацетоне и его смесях с водой

| Кислоты          | Растворители |                  |                  |        |
|------------------|--------------|------------------|------------------|--------|
|                  | Вода         | Ацетон (50%-ный) | Ацетон (90%-ный) | Ацетон |
| Пикриновая       | 0,8          | 1,84             | 2,18             | 3,17   |
| Салициловая      | 2,97         | 4,18             | 7,22             | 9,53   |
| Монохлоруксусная | 2,87         | 4,23             | 7,60             | —      |
| Трихлоруксусная  | 0,7          | 2,2              | —                | —      |

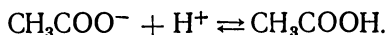


В 90%-ном водном или в чистом ацетоне можно оттитровать смесь пикриновой и салициловой кислот или смесь пикриновой и монохлоруксусной кислот, так как разность  $pK$  для этих двух пар кислот составляет уже около пяти.

Раздельное титрование смеси двух сильных минеральных кислот возможно в безводной уксусной кислоте, как растворителе. Известно, что  $pK$  хлорной, соляной и серной кислот имеют в этом растворителе соответственно значения 5,8, 8,5 и 8,2, следовательно, возможно определение смеси хлорной и соляной или хлорной и серной кислот. Для титрования применяют раствор диметиланилина или пиридина в безводной уксусной кислоте.

Неводные растворители дифференцируют также силу двухосновных кислот, увеличивая разность между последовательными константами диссоциации, что особенно важно для органических кислот. Это дает возможность получить при титровании два четких перегиба кривых, соответствующих нейтрализации первого и второго иона водорода двухосновной кислоты, т. е. становится возможным титрование до образования кислой соли. В табл. 29 приведены разности  $pK_2 - pK_1$  некоторых двухосновных органических кислот.

В неводных растворителях легко определять соли слабых кислот, не поддающихся определению с достаточной точностью в водных растворах. Рассмотрим титрование ацетата натрия:



В водном растворе  $pH$  точки эквивалентности определяется из уравнения

$$pH = \frac{1}{2}pK - \frac{1}{2} \lg C_K.$$

Если  $pK$  уксусной кислоты равно 4,8, то  $pH$  точки эквивалентности при 0,1 н. концентрации кислоты равно 2,9, а погрешность титрования составит около 10%. Но уже в 70%-ном водном растворе ацетона диссоциация уксусной

Таблица 29

Влияние ацетона на диссоциацию двухосновных кислот

| Содержание ацетона в воде, % | Кислоты                   |           |            |
|------------------------------|---------------------------|-----------|------------|
|                              | о-фталевая                | фумаровая | малеиновая |
|                              | $\Delta pK = pK_2 - pK_1$ |           |            |
| 0                            | 2,2                       | 1,6       | 4,6        |
| 50                           | 4,0                       | 3,4       | 6,1        |
| 90                           | 4,5                       | 4,9       | 7,5        |
| 100                          | 5,4                       | —         | —          |



кислоты значительно уменьшается. Поэтому рН точки эквивалентности увеличивается и в этих условиях можно титровать не только ацетат натрия, но также соли почти всех слабых карбоновых кислот.

### **Список литературы**

Измайлов Н. А. Электрохимия растворов. Изд-во Харьк. ун-та, 1955.

Крешков А. П., Быкова Л. Н., Казарян Н. А. Кислотно-основное титрование в неводных растворах. М., «Химия», 1967.

Шанти Р. Палит, Мехр Натх Дас, Сомаяджулу Г. Р. Неводное титрование. М., Госхимиздат, 1958.

Шатенштейн А. И. Теории кислот и оснований. М.-Л., Госхимиздат, 1949.

## **Раздел II. РЕАКЦИИ ОСАЖДЕНИЯ**

### **Глава 4. РАСТВОРИМОСТЬ ОСАДКОВ**

#### **§ 19. Типы фазовых равновесий**

Реакции осаждения принадлежат к одному из типов гетерогенных равновесий, устанавливающихся между двумя фазами. Извлечение вещества из одной фазы в другую применяют в анализе для отделения этого вещества с целью его дальнейшего количественного определения.

Существуют такие типы равновесий между фазами:

1) жидкость — газ (Ж—Г); 2) твердое вещество — газ (Т—Г); 3) жидкость — жидкость (Ж—Ж); 4) жидкость — твердое вещество (Ж—Т).

Выделение веществ в газовую фазу (равновесия 1 и 2) часто используют в анализе. Но так как газообразных веществ известно немного, методы, основанные на фазовых равновесиях Ж—Г и Т—Г, отличаются большей специфичностью в сравнении с другими методами.

Известны следующие методы этих типов равновесий:

а) выделение определяемого элемента в виде летучих соединений с кислородом; б) выделение элементов в виде летучих соединений с галогенами; в) выделение элементов в виде летучих соединений с водородом; г) выделение элементов в виде свободных галогенов, эфиров и т. д.

К методам «а» относятся методы определения воды, углекислого газа и серы (в виде  $\text{SO}_2$  или  $\text{SO}_3$ ).



Вода в соединениях может быть гигроскопической, кристаллизационной и конституционной.

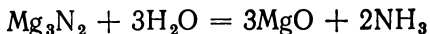
Гигроскопическую воду определяют: 1) высушиванием вещества при 105—110° С и определением количества воды по разности массы; 2) отгонкой воды с ксилолом или другой летучей жидкостью с температурой кипения выше 100° С; метод применяется, если высушивание вещества при 105—110° С сопровождается химическими процессами, связанными с изменением массы. Определение основано на измерении объема отогнанной воды; 3) высушиванием при комнатной температуре в эксикаторе, наполненном осушающим веществом. Так же можно определять и кристаллизационную воду.

Для определения кристаллизационной или конституционной воды применяют следующие методы: 1) прокаливание при температуре 500—600° С. Определение пригодно, если уменьшение массы анализируемого материала вызвано главным образом потерей воды. Так, например, определяют воду в силикатных материалах, не содержащих карбонатных пород. В этих случаях «потеря при прокаливании» приблизительно соответствует содержанию воды в пробе; 2) поглощение выделенной при прокаливании воды хлоридом кальция, серной кислотой или другим осушающим веществом и определение по увеличению массы поглощающего вещества.

Содержание воды в различных органических жидкостях определяют: 1) взаимодействием воды с карбидом кальция

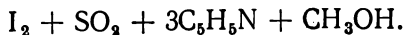


и измерением объема образовавшегося при реакции ацетилена; 2) взаимодействием воды с нитридом магния



и измерением объема выделившегося аммиака или определением последнего другим методом; 3) применением реактива Фишера. Это определение не основано на фазовых переходах, но его уместно рассмотреть в данном разделе, посвященном методам определения воды.

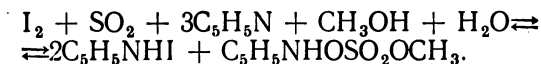
Реактив Фишера — это раствор иода и сернистого ангидрида в метанольном растворе пиридина. Молярные соотношения отдельных составных частей в реактиве следующие:





Иод не реагирует с сернистым ангидридом до тех пор, пока в растворе нет воды. Содержащийся в реактиве иод окрашивает его в желто-бурый цвет.

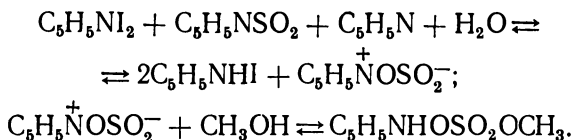
При титровании реактивом Фишера органического соединения или другого вещества, содержащего воду, происходит следующая реакция:



При титровании реактив взаимодействует с водой и обесцвечивается. Точку эквивалентности можно определить различными методами, проще всего по желтому окрашиванию оттитрованного раствора небольшим избытком реактива.

Пиридин в реактиве Фишера необходим для связывания HI и  $\text{H}_2\text{SO}_4$ , образующихся в процессе реакции; без пиридина равновесие реакции было бы значительно смещено влево.

Приведенное выше уравнение реакции является суммарным. В действительности реакция проходит в две стадии:



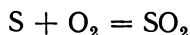
Метанол связывает промежуточное соединение, образующееся в первой стадии реакции. В отсутствие пиридина с этим промежуточным соединением могло бы реагировать другое, содержащее воду, вещество — стехиометрия реакции была бы нарушена. Кроме того, реактив, приготовленный без метанола, быстро разлагается, поэтому переход окраски становится нечетким.

Углекислый газ находится в соединениях преимущественно в виде карбонатов металлов. Существуют такие методы его определения: 1) прокаливание образца при 900—1000° С. Метод применяется для приблизительного определения содержания  $\text{CO}_2$  в карбонатных породах (известняках, доломитах), почти не содержащих воды; 2) прокаливание образца при высокой температуре, поглощение  $\text{CO}_2$  раствором NaOH и определение содержания  $\text{CO}_2$  по увеличению веса раствора щелочи; 3) разложение образца сильной кислотой в специальном приборе, выделение обра-

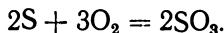


зовавшегося углекислого газа нагреванием и определение содержания  $\text{CO}_2$  по уменьшению веса прибора с пробой; 4) разложение образца кислотой, выделение  $\text{CO}_2$  и измерение его объема в специальной газовой бюретке; 5) сжигание образца (стали, чугуна) в атмосфере кислорода, поглощение  $\text{CO}_2$  раствором щелочи и определение содержания  $\text{CO}_2$  по уменьшению объема газовой смеси, выделяющейся из печи.

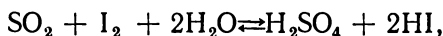
Серу в виде  $\text{SO}_2$  и  $\text{SO}_3$  определяют в основном при анализе чугунов и сталей. Навеску металла сжигают в токе кислорода. В зависимости от химического состава анализируемого материала сера может превратиться в  $\text{SO}_2$  по реакции



или частично образовать также  $\text{SO}_3$ :

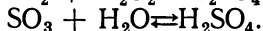
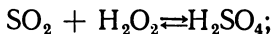


В первом случае  $\text{SO}_2$  поглощается раствором иода:



после чего избыток иода оттитровывают раствором тиосульфата натрия.

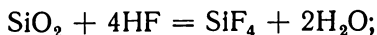
Во втором случае смесь  $\text{SO}_2$  и  $\text{SO}_3$  поглощается раствором пероксида водорода:



Серную кислоту титруют раствором гидроксида натрия.

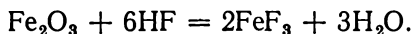
К методам «б» относятся определения кремния, олова и других металлов, способных образовывать летучие галогениды.

*Определение  $\text{SiO}_2$ .* При анализе силикатов кремний выделяют в виде нерастворимой  $\text{H}_2\text{SiO}_3$ . Осадок  $\text{H}_2\text{SiO}_3$  прокаливают и взвешивают образовавшуюся  $\text{SiO}_2$ . Однако такой способ определения не точен, так как  $\text{H}_2\text{SiO}_3$  вследствие соосаждения всегда содержит некоторое количество примесей — солей железа, титана, алюминия, которые после прокаливания превращаются в оксиды  $\text{Fe}_2\text{O}_3$ ,  $\text{Al}_2\text{O}_3$ ,  $\text{TiO}_2$ . Чтобы получить точные результаты, прокаленный и взвешенный осадок  $\text{SiO}_2$  обрабатывают в платиновом тигле плавиковой кислотой и осторожно выпаривают:

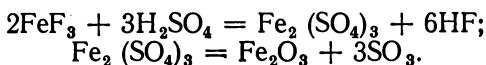




оксиды металлов превращаются при этом во фториды, например,

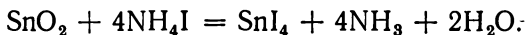


Далее в тигель добавляют серную кислоту, выпаривают и прокаливают:



Прокаленный осадок  $\text{Fe}_2\text{O}_3 (\text{Al}_2\text{O}_3 \cdot \text{TiO}_2)$  взвешивают. Точное содержание  $\text{SiO}_2$  находят по разности в весе загрязненного осадка и оставшихся в тигле оксидов металлов.

*Определение  $\text{SnO}_2$ .* При анализе сплавов, содержащих олово, навеску растворяют в азотной кислоте. Образуется оловянная кислота, адсорбирующая из раствора посторонние ионы. После прокаливания получают загрязненный примесями  $\text{SnO}_2$ . Для получения точных результатов загрязненный осадок взвешивают, затем смешивают с иодидом (или бромидом) аммония и осторожно нагревают. При этом проходит следующая реакция:



Иодное олово улетучивается, а примеси других элементов остаются в тигле. Точное содержание  $\text{SnO}_2$  находят по разности массы тигля до и после обработки осадка иодидом аммония.

*Отделение летучих галогенидов металлов.* В колбу Вюрца помещают исследуемый раствор, в который добавляют хлорную кислоту, либо смесь хлорной и фосфорной кислот или серную кислоту. В капельную воронку, вставленную в горло колбы, наливают соляную или бромистоводородную кислоту. Смесь в колбе нагревают, постепенно приливая из капельной воронки соляную или бромистоводородную кислоту. При этом некоторые элементы постепенно переходят в приемник в виде галогенидов, другие остаются в колбе Вюрца.

Данные, приведенные в табл. 30,— это количество элементов в процентах от общего количества каждого элемента (20—100 мг), которое переходит в приемник после отгонки.

Совсем не летучи в виде галогенидов и поэтому остаются в перегонной колбе: Ag, Al, Ba, Be, Ca, Cd, Co, Cs, Cu, Fe, Ga, Hf, In, Ir, K, Li, Mg, Na, Nb, Ni, Pb, Pd, Pt, Rb, Rh, Si, Ta, Th, Ti, U, W, Zn, Zr, PЗЭ.

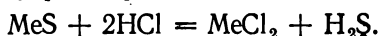


## Летучесть галогенидов металлов

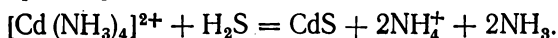
| Кислота<br>в капельной<br>воронке | HCl               | HBr               | HCl  | HBr  | HCl                            | HBr                            |
|-----------------------------------|-------------------|-------------------|--|--|--------------------------------|--------------------------------|
| Кислота<br>в колбе<br>Вюрца       | HClO <sub>4</sub> | HClO <sub>4</sub> | HClO <sub>4</sub> +<br>+H <sub>3</sub> PO <sub>4</sub> | HClO <sub>4</sub> +<br>+H <sub>3</sub> PO <sub>4</sub> | H <sub>2</sub> SO <sub>4</sub> | H <sub>2</sub> SO <sub>4</sub> |
| As <sup>3+</sup><br>+5            | 30                | 100               | 30   | 100  | 100                            | 100                            |
| As                                | 5                 | 100               | 5  | 100  | 5                              | 100                            |
| Cr <sup>3+</sup><br>+4            | 99,7              | 40                | 99,8   | 40   | 0                              | 0                              |
| Ge                                | 50                | 70                | 10   | 90   | 90                             | 95                             |
| Hg <sup>+</sup>                   | 75                | 75                | 75   | 75   | 75                             | 90                             |
| Hg <sup>2+</sup>                  | 75                | 75                | 75   | 75   | 75                             | 90                             |
| Sb <sup>3+</sup><br>+5            | 2                 | 99,8              | 2  | 99,8   | 33                             | 99,8                           |
| Sb                                | 2                 | 99,8              | 2  | 99,8   | 2                              | 98                             |
| Sn <sup>2+</sup>                  | 99,8              | 100               | 0  | 99,8   | 1                              | 100                            |
| Sn <sup>4+</sup>                  | 100               | 100               | 0  | 100  | 30                             | 100                            |

Методы «в» — это методы определения серы в виде сероводорода, мышьяка (сурьмы) в виде AsH<sub>3</sub>, азота в виде NH<sub>3</sub> и т. д.

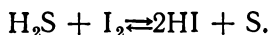
*Определение серы.* В некоторых сортах чугунов и сталей сера практически полностью находится в виде сульфидов металлов. Пробу растворяют в соляной кислоте:



Раствор кипятят, отгоняя при этом сероводород в приемник с раствором аммиаков цинка или кадмия:



Далее осадок растворяют в кислоте и титруют сероводород раствором иода:



*Определение мышьяка.* Образец помещают в колбу, наливая раствор серной кислоты и бросают туда несколько кусочков металлического цинка, не содержащего мышьяка. Мышьяк восстанавливается при этом до AsH<sub>3</sub>. Превращение мышьяка в AsH<sub>3</sub> обычно бывает неполным, однако метод можно применять для количественного определения этого элемента, используя серию стандартных растворов с известным содержанием мышьяка. Выделяющийся из



стандартных и исследуемого растворов  $\text{AsH}_3$  пропускают через трубку с ватой, смоченной раствором ацетата свинца. При этом поглощается сероводород, который может образоваться при взаимодействии серной кислоты и цинка. Выделяющийся  $\text{AsH}_3$  действует на бумажки, смоченные раствором  $\text{AgNO}_3$ . При взаимодействии  $\text{AsH}_3$  и  $\text{AgNO}_3$  образуется металлическое серебро, и бумажки чернеют. Степень почернения пропорциональна количеству  $\text{AsH}_3$ . Сравнение степени почернения бумажек дает возможность определить процентное содержание мышьяка в исследуемой пробе.

Методы, основанные на фазовом равновесии между двумя жидкостями,— это экстракция и электролиз с ртутным катодом. Оба метода подробно рассматриваются в специальных курсах.

## **§ 20. Равновесие между раствором и твердой фазой**

Равновесие между раствором и твердой фазой (осадком) является основанием гравиметрических методов анализа. Существенное значение имеет зависимость растворимости осадков от их состава и внешних условий.

Растворение веществ обусловлено разрушением кристаллической решетки под влиянием гидратации (сольватации) ионов, входящих в кристалл. Растворимость зависит от отношения величин энергии кристаллической решетки и энергии гидратации (сольватации) ионов. Разрушение кристаллической решетки — это процесс, требующий затраты определенного количества энергии. Гидратация ионов является, наоборот, процессом, при котором происходит уменьшение свободной энергии. Следовательно, кристаллическое вещество будет растворяться в том случае, если это уменьшение превышает энергию кристаллической решетки. При обратном соотношении этих величин вещество растворяться не будет.

Для ионных кристаллов существуют теоретические методы вычисления энергии кристаллической решетки. В этих методах принимается во внимание электростатическое взаимодействие ионов между собой и отталкивание электронов, находящихся на внешних оболочках.

Энергией кристаллической решетки называют работу, которую необходимо затратить для разрушения решетки,



т. е. для разведения ионов решетки на бесконечно большое расстояние, где практически не наблюдается взаимодействие между ними. Эту энергию относят обычно к 1 молю вещества и выражают в килоджоулях.

Рассмотрим в качестве примера вычисление энергии кристаллической решетки хлорида натрия.

Сила взаимодействия между двумя одновалентными ионами противоположного заряда по закону Кулона

$$F = -\frac{e^2}{r^2}.$$

Энергия этого взаимодействия равна интегралу силы по пути:

$$-\int_{\infty}^{\infty} \frac{e^2}{r^2} dr = -\frac{e^2}{r}. \quad (1)$$

В кристалле хлорида натрия хлорид-ионы и ионы натрия находятся в вершинах куба. При такой структуре каждый ион (натрия или хлора) окружен шестью ионами противоположного знака на расстоянии  $r$ , двенадцатью ионами одинакового заряда на расстоянии  $r\sqrt{2}$ , восемью ионами противоположного заряда на расстоянии  $r\sqrt{3}$ , шестью ионами одинакового заряда на расстоянии  $2r$  и т. д. Следовательно, энергию электростатического взаимодействия какого-либо иона со всеми остальными ионами решетки можно записать как сумму энергий этих взаимодействий:

$$-\frac{6e^2}{r} + \frac{12e^2}{r\sqrt{2}} - \frac{8e^2}{r\sqrt{3}} + \frac{6e^2}{2r} \dots \quad (2)$$

или

$$-\frac{e^2}{r} \left( \frac{6}{\sqrt{1}} - \frac{12}{\sqrt{2}} + \frac{8}{\sqrt{3}} - \frac{6}{\sqrt{4}} \dots \right). \quad (3)$$

Сумма членов этого бесконечного ряда называется постоянной Маделунга  $A$ . Для данного случая ряд сходится к значению 1,747558. . . , для кристаллов других структур постоянная Маделунга имеет другое значение.

Следовательно, из уравнения (3) можно записать:

$$-\frac{Ae^2}{r}. \quad (4)$$



Чтобы вычислить энергию, отнесенную к 1 молю вещества, необходимо умножить уравнение (4) на число Авогадро  $N$ :

$$-\frac{ANe^2}{r}. \quad (5)$$

Однако кроме электростатического притяжения и отталкивания ионов между собой существуют еще силы отталкивания орбитальных электронов обоих ионов. Энергию отталкивания оценить трудно. М. Борн показал, что ее можно представить в виде члена  $\frac{B}{r^n}$ , где  $B$  — постоянная величина, а  $n$  — показатель степени, который имеет значение приблизительно равное 9. Поэтому полная энергия равна:

$$-\frac{ANe^2}{r} + \frac{B}{r^n}. \quad (6)$$

Уравнение (6) характеризует энергию взаимодействия ионов на любом расстоянии  $r$  между ними. Ионы в кристалле находятся в состоянии равновесия, которое соответствует минимуму энергии, т. е.  $\frac{dE}{dr} = 0$ .

Дифференцируя уравнение (6), получаем;

$$\frac{dE}{dr} = \frac{ANe^2}{r^2} - \frac{nB}{r^{n+1}}. \quad (7)$$

В состоянии равновесия

$$\frac{ANe^2}{r_0^2} = \frac{nB}{r_0^{n+1}}, \quad (8)$$

откуда

$$B = \frac{ANe^2 r_0^{n-1}}{n}. \quad (9)$$

Подставляя  $B$  из уравнения (9) в уравнение (6), получаем уравнение для вычисления энергии кристаллической решетки:

$$E = -\frac{ANe^2}{r_0} + \frac{ANe^2}{nr_0} \quad (10)$$

или окончательно

$$E = -\frac{ANe^2}{r_0} \left(1 - \frac{1}{n}\right). \quad (11)$$



В этом уравнении  $r_0$  — расстояние между ионами в кристалле, равное сумме радиусов отдельных ионов.

К сожалению, такое теоретическое вычисление можно провести только для ионных кристаллов. Большинство же малорастворимых соединений — осадков, с которыми приходится иметь дело в аналитической химии, являются соединениями с ковалентным типом связи. Следовательно, описанный способ имеет ограниченное значение.

Значительные трудности возникают также при теоретическом вычислении энергии гидратации (сольватации) ионов. Такое вычисление требует учета многих энергетических эффектов, характерных для перехода ионов из кристалла в раствор. Вода является жидкостью с определенной упорядоченностью внутренней структуры, возникающей вследствие проявления водородной связи между отдельными молекулами воды. Переход ионов в воду нарушает эту упорядоченность, что связано с затратой определенного количества энергии. Сложным является вопрос о количестве молекул воды, которые гидратируют данный ион. Полагают, что чаще всего координационное число (число гидратации) равно четырем, хотя иногда координируется шесть или восемь молекул воды. По Реми, катионы щелочных металлов — калия, рубидия и цезия — гидратированы четырьмя молекулами воды, однако для катионов натрия и лития это число увеличивается до 8—9 и 13 соответственно. Гидратированные ионы поляризуют находящиеся во внешнем окружении молекулы воды. Этот процесс также сопровождается определенным энергетическим эффектом. Различные методы вычисления энергии гидратации подробно изложены в специальных руководствах. Их применение нередко приводит к результатам, сильно отклоняющимся от экспериментальных данных. Таким образом, вопрос о растворимости веществ в теоретическом отношении нельзя считать окончательно решенным.

В ряде исследований разработаны частные закономерности, объясняющие растворимость отдельных групп малорастворимых соединений. Одна из таких закономерностей была установлена на основании термодинамических соображений А. Ф. Капустинским и К. Б. Яцимирским. Было показано, что для ионных соединений энергия кристаллической решетки максимальна в том случае, если кристалл образован из ионов приблизительно одинакового размера и одинакового заряда. Поэтому следует ожидать, что именно такие соединения будут характеризоваться наименьшей



Таблица 31

Растворимость солей катионов второй аналитической группы

| Соль              | рПР <sup>1</sup> | Соль               | рПР  | Соль                               | рПР  | Соль               | рПР | Соль  | рПР  |
|-------------------|------------------|--------------------|------|------------------------------------|------|--------------------|-----|---|------|
| —                 | —                | —                  | —    | Mg (IO <sub>3</sub> ) <sub>2</sub> | 2,5  | —                  | —   | Mg <sub>3</sub> (PO <sub>4</sub> ) <sub>2</sub> | 13,0 |
| CaSO <sub>4</sub> | 4,63             | —                  | —    | Ca (IO <sub>3</sub> ) <sub>2</sub> | 6,15 | —                  | —   | Ca <sub>3</sub> (PO <sub>4</sub> ) <sub>2</sub> | 28,7 |
| SrSO <sub>4</sub> | 6,49             | —                  | 4,44 | Sr (IO <sub>3</sub> ) <sub>2</sub> | 6,48 | SrMoO <sub>4</sub> | 6,7 | Sr <sub>3</sub> (PO <sub>4</sub> ) <sub>2</sub> | 31,0 |
| BaSO <sub>4</sub> | 9,97             | SrCrO <sub>4</sub> | 9,93 | Ba (IO <sub>3</sub> ) <sub>2</sub> | 8,82 | BaMoO <sub>4</sub> | 7,4 | Ba <sub>3</sub> (PO <sub>4</sub> ) <sub>2</sub> | 38,2 |
|                   |                  | BaCrO <sub>4</sub> |      |                                    |      |                    |     |   |      |
|                   |                  |                    |      |                                    |      |                    |     | MgSeO <sub>3</sub>                              | 4,9  |
|                   |                  |                    |      |                                    |      |                    |     | CaSeO <sub>3</sub>                              | 5,5  |
|                   |                  |                    |      |                                    |      |                    |     | SrSeO <sub>3</sub>                              | 6,1  |
|                   |                  |                    |      |                                    |      |                    |     | —   | —    |

<sup>1</sup> рПР — логарифм величины произведения растворимости (ПР), взятый с обратным знаком.

растворимостью, либо будут менее растворимыми, чем соединения, образованные сочетанием ионов различного размера. Так, однозарядные катионы щелочных металлов имеют следующие радиусы (в ангстремах): литий — 0,78, натрий — 0,98, калий — 1,33, рубидий — 1,49, цезий — 1,65. Следовательно, катионы последних трех металлов имеют наибольшие размеры, образуя поэтому, в отличие от катионов лития и натрия, малорастворимые соединения с большими анионами, например, анионом пикриновой кислоты, анионами ClO<sub>4</sub><sup>-</sup>, HC<sub>4</sub>H<sub>4</sub>O<sub>6</sub><sup>-</sup>, [PtCl<sub>6</sub>]<sup>2-</sup>, [PtI<sub>6</sub>]<sup>2-</sup>, [Bi (S<sub>2</sub>O<sub>3</sub>)<sub>3</sub>]<sup>3-</sup>, [Co (NO)<sub>6</sub>]<sup>3-</sup>. Катионы рубидия и цезия осаждаются также крупными анионами BiI<sub>4</sub><sup>-</sup>, SbI<sub>4</sub><sup>-</sup>, AuCl<sub>4</sub><sup>-</sup>, MnO<sub>4</sub><sup>-</sup>, SnCl<sub>2</sub><sup>2-</sup>. Эти анионы образуют также малорастворимые соединения со многими протонизированными органическими основаниями типа AmH<sup>+</sup>, например, с катионами уротропина, пиридина, хинолина, нафтиламина и т. д. Известно, что многие гетерополикислоты образуют осадки с алкалоидами, с крупными катионами щелочных металлов и т. д.

Крупные двухзарядные катионы с радиусами больше единицы образуют малорастворимые соединения с крупными двухзарядными анионами, например, CrO<sub>4</sub><sup>2-</sup>, WO<sub>4</sub><sup>2-</sup>, SO<sub>4</sub><sup>2-</sup>, S<sub>2</sub>O<sub>3</sub><sup>2-</sup> и т. д. Так, хроматы и сульфаты бария, стронция, свинца малорастворимы, а соли этих анионов



с катионами магния, бериллия, марганца, железа, кобальта, никеля ( $r_K < 1,0$ ) растворяются хорошо.

Этой же закономерности подчиняется изменение растворимости ряда солей катионов второй аналитической группы. В табл. 31 приведены данные, характеризующие изменение растворимости при переходе от магния и кальция к бария.

Анионы  $\text{SO}_4^{2-}$ ,  $\text{CrO}_4^{2-}$ ,  $\text{IO}_3^-$ ,  $\text{MoO}_4^{2-}$ ,  $\text{PO}_4^{3-}$  и  $\text{SeO}_3^{2-}$  являются крупными и по своим размерам больше всего соответствуют крупному катиону бария. Катионы магния и кальция имеют значительно меньшие радиусы и, следовательно, равенство  $r_K = r_A$  в этом случае нарушается больше, чем для бария. В соответствии с этим растворимость солей уменьшается от магния к бария.

Обратная зависимость наблюдается для малорастворимых соединений названных выше металлов с маленькими анионами, например, анионами фтора, гидроксидов и др. Эти анионы по своим размерам больше соответствуют маленьким катионам магния и кальция, чем катионам стронция и бария, поэтому растворимость уменьшается в направлении от бария к кальцию и магнию. Соответствующие данные приведены в табл. 32.

Однако есть и отклонения, например, растворимость карбонатов и оксалатов катионов второй группы. Еще больше отклонений наблюдается при рассмотрении растворимости осадков катионов третьей и четвертой аналитических групп. Ионы никеля, железа (II), цинка, кобальта, меди имеют почти одинаковые радиусы (0,78, 0,83, 0,83, 0,82 и 0,82 Å соответственно), но растворимость сульфидов этих металлов различается очень сильно. Так, сульфид цинка легко растворяется в разбавленном растворе соляной кислоты, в то время как сульфид меди практически нерастворим в ней. Объясняется это тем, что сульфиды металлов и многие другие нерастворимые соединения не принадлежат к соединениям ионного типа, в них в большей или меньшей степени проявляется тенденция к образованию ковалентных связей, поэтому простые электростатические

Таблица 32

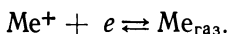
Растворимость гидроксидов и фторидов катионов второй аналитической группы

| Соль             | рПР  | Соль                 | рПР  |
|------------------|------|----------------------|------|
| —                | —    | Mg (OH) <sub>2</sub> | 9,22 |
| CaF <sub>2</sub> | 10,4 | Ca (OH) <sub>2</sub> | 5,26 |
| SrF <sub>2</sub> | 8,6  | Sr (OH) <sub>2</sub> | 3,50 |
| BaF <sub>2</sub> | 6,0  | Ba (OH) <sub>2</sub> | 2,30 |



характеристики (заряды и радиусы ионов) не могут объяснить различий в растворимости таких соединений.

Интерпретация растворимости соединений с ковалентной связью была дана К. Б. Яцимирским. Он предложил использовать для характеристики тенденции данного иона к образованию ковалентных связей так называемую *ковалентную характеристику* ( $k$ ), т. е. разность между энергией ионизации атома и теплотой гидратации образующегося при этом иона. Эта разность характеризует изменение энергии при переходе от гидратированного иона в растворе к атому, находящемуся в газовой фазе.



По Яцимирскому, для этого процесса характерна определенная энергетическая аналогия с процессом образования комплексного иона или кристалла с преобладающей ковалентной связью, так как в обоих случаях происходит дегидратация иона и заполнение его внешней орбитали электронами.

Рассмотрим, например, образование малорастворимого соединения  $\text{MeA}$  с ковалентной связью из ионов  $\text{Me}^+$  и  $\text{A}^-$ .

Первым процессом должна быть дегидратация иона  $\text{Me}^+$ . Для этого необходимо затратить определенное количество энергии, численно равное энергии (теплоте), выделяющейся при гидратации данного иона. Далее дегидратированный ион реагирует с анионом  $\text{A}^-$ , причем происходит заполнение электронной оболочки иона  $\text{Me}^+$  электроном, который отдает анион  $\text{A}^-$ . Процесс проходит с выделением энергии, величина которой должна коррелироваться с энергией, затрачиваемой на ионизацию атома  $\text{Me}$ , т. е. на отрыв от него электрона.

Следовательно, чем больше энергия ионизации атома, тем больше энергии выделяется при обратном процессе и тем больше тенденция к переходу  $\text{Me}$  из раствора в твердую фазу  $\text{MeA}$ . Наоборот, чем больше теплота гидратации иона  $\text{Me}^+$ , тем больше энергии необходимо затратить на обратный процесс дегидратации и тем меньше тенденция иона  $\text{Me}^+$  к переходу в твердую фазу  $\text{MeA}$ .

Высказанные положения подтверждают данные о растворимости галогенидов и роданидов некоторых металлов. Галогенид- и роданид-ионы  $\text{I}^-$ ,  $\text{Br}^-$ ,  $\text{Cl}^-$ ,  $\text{SCN}^-$  в связи со сравнительно небольшим электронным сродством характеризуются значительной тенденцией к утрате электронов



и к образованию ковалентных связей. Поэтому среди галогенидов металлов следует ожидать наименее растворимые соединения в том случае, если ионы этих металлов имеют большие значения ковалентной характеристики.

В табл. 33 приведены ковалентные характеристики, а также растворимость галогенидов некоторых металлов.

Таблица 33

**Ковалентная характеристика и растворимость галогенидов некоторых металлов**

| Катионы                       | $r_K$ | Энергия<br>ионизации,<br>кДж/моль | Теплота гид-<br>ратации,<br>кДж/моль | $k$ ,<br>кДж/моль | Растворимость<br>галогенидов |
|-------------------------------|-------|-----------------------------------|--------------------------------------|-------------------|------------------------------|
| Rb <sup>+</sup>               | 1,49  | 401,8                             | 306,7                                | 95,1              | Растворимы                   |
| Cs <sup>+</sup>               | 1,65  | 374,5                             | 281,9                                | 92,6              | »                            |
| Ag <sup>+</sup>               | 1,13  | 729,0                             | 488,1                                | 240,9             | Нерастворимы                 |
| Tl <sup>+</sup>               | 1,49  | 587,4                             | 338,1                                | 249,3             | »                            |
| Pb <sup>2+</sup>              | 1,32  | 2159,9                            | 1504,6                               | 655,3             | »                            |
| Hg <sub>2</sub> <sup>2+</sup> | 1,12  | 2808,5                            | 1852,4                               | 956,1             | »                            |

Из данных таблицы видно, что растворимость соединений с ковалентной связью в большей степени определяется величиной ковалентной характеристики, чем соотношениями радиусов катиона и аниона. Так, разность между радиусами хлорид-иона (1,8 Å) и катиона цезия незначительна, но хлорид цезия хорошо растворим. Наоборот, разность между радиусами хлорид-иона и катиона ртути довольно значительна, но хлорид ртути в воде нерастворим. Следовательно, нерастворимые соли можно ожидать в этом случае для катионов с большой ковалентной характеристикой; хлориды рубидия и цезия растворимы, так как их катионы отличаются сравнительно небольшими ковалентными характеристиками. Наоборот, хлориды серебра, таллия, свинца и ртути нерастворимы вследствие большой тенденции этих ионов к образованию ковалентных связей.

Сопоставление растворимости сульфидов катионов третьей и четвертой аналитических групп также подтверждает в основном правильность описанных выше положений (табл. 34).

Радиус аниона серы равен 1,84 Å, т. е. приблизительно в два раза больше радиусов большинства приведенных в таблице катионов. Поэтому нерастворимость сульфидов



Таблица 34

Растворимость сульфидов  
и ковалентная характеристика

| Катионы     | $r_K$ | $k \cdot 4,19,$<br>кДж/моль | рПР  |
|-------------|-------|-----------------------------|------|
| $Mn^{2+}$   | 0,91  | 85                          | 9,6  |
| $Fe^{2+}$   | 0,83  | 86                          | 17,3 |
| $Ni^{2+}$   | 0,78  | 97                          | 18,5 |
| $Co^{2+}$   | 0,82  | 93                          | 20,4 |
| $Zn^{2+}$   | 0,83  | 135                         | 23,8 |
| $Pb^{2+}$   | 1,32  | 156                         | 26,6 |
| $Cd^{2+}$   | 1,03  | 159                         | 26,1 |
| $Cu^{2+}$   | 0,80  | 137                         | 35,2 |
| $Hg_2^{2+}$ | 1,12  | 228                         | 51,8 |

нельзя объяснить близостью размеров катионов и аниона серы. Однако между величинами ковалентной характеристики и растворимостью сульфидов наблюдается удовлетворительная корреляция: катионы с большей ковалентной характеристикой образуют менее растворимые сульфиды и относятся к четвертой группе катионов; наоборот, растворимость сульфидов металлов с меньшими значениями ковалент-

ной характеристики больше — такие металлы относятся к третьей группе катионов.

Корреляция между ковалентной характеристикой и растворимостью за небольшими исключениями наблюдается также в пределах третьей и четвертой аналитических групп.

## § 21. Переменный состав твердой фазы и растворимость

В большинстве случаев состав твердой фазы, в частности состав малорастворимых солей, можно заблаговременно предсказать исходя из стехиометрических расчетов и величин зарядов катионов и анионов, реагирующих между собой. Так, при взаимодействии катиона серебра и хлорид-иона образуется осадок  $AgCl$ , продуктами реакции между ионами  $Ba^{2+}$  и  $SO_4^{2-}$  является соединение  $BaSO_4$  и т. д.

В приведенных примерах не имеет значения, раствор какого хлорида ( $LiCl$ ,  $NaCl$  или  $HCl$ ) взят для осаждения ионов серебра в форме хлорида, поскольку продукт реакции будет один и тот же, а именно  $AgCl$ . Осадок  $BaSO_4$  образуется при осаждении ионов бария любым из растворов сульфата (серной кислоты, сульфата калия или другого растворимого сульфата).

Однако иногда состав твердой фазы зависит от химического состава веществ, взятых для осаждения, а также от соотношения концентраций реагирующих веществ.

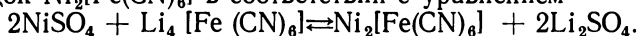
Так, в реакции между ионами свинца и сульфат-ионами осадок  $PbSO_4$  образуется только тогда, когда осадителем



служит раствор серной кислоты или сульфата лития. При осаждении раствором сульфата натрия или калия образуются осадки переменного состава или двойные соли: небольшой избыток раствора  $K_2SO_4$  вызывает образование осадка  $K_2SO_4 \cdot 6PbSO_4$ , большой избыток приводит к выделению двойной соли  $K_2SO_4 \cdot PbSO_4$ . Возможно также образование промежуточных соединений с различным стехиометрическим соотношением  $K_2SO_4$  и  $PbSO_4$ .

Такое явление в основном характерно для взаимодействия катионов металлов с анионами многоосновных кислот. И. В. Тананаев исследовал методом физико-химического анализа состав осадков, образованных катионами тяжелых металлов (никеля, кобальта, меди, кадмия и др.) с анионами  $[Fe(CN)_6]^{4-}$ . В системе  $NiSO_4 - Me_4[Fe(CN)_6]$  состав осадка зависит от катиона металла в феррате.

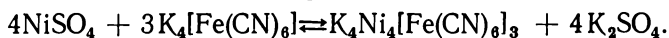
При взаимодействии  $NiSO_4$  с  $Li_4[Fe(CN)_6]$  образуется осадок  $Ni_2[Fe(CN)_6]$  в соответствии с уравнением



Однако  $NiSO_4$  и  $Na_4[Fe(CN)_6]$  или  $K_4[Fe(CN)_6]$  реагируют значительно сложнее в три стадии.

При постепенном добавлении раствора  $Na_4[Fe(CN)_6]$  к раствору  $NiSO_4$  сначала выделяется осадок  $Ni_2[Fe(CN)_6]$ . При увеличении в системе содержания растворимого гексациано-(II)феррата натрия образуется твердая фаза, которую можно рассматривать как твердые растворы  $Na_4[Fe(CN)_6]$  в  $Ni_2[Fe(CN)_6]$  переменного состава. При введении большого избытка  $Na_4[Fe(CN)_6]$  образуется двойная соль  $Na_2Ni_3[Fe(CN)_6]_2$ , или  $3Ni_2[Fe(CN)_6] \times \times Na_4[Fe(CN)_6]$ .

При осаждении раствором  $K_4[Fe(CN)_6]$  первые две стадии такие же, как при осаждении  $Na_4[Fe(CN)_6]$ . Последний этап осаждения проходит по такому уравнению:



Исследование состава твердой фазы при постепенном осаждении раствора  $CoSO_4$  раствором  $K_4[Fe(CN)_6]$  показало, что этот процесс также проходит в три стадии с образованием двух двойных солей  $5Co_2[Fe(CN)_6] \times \times K_4[Fe(CN)_6]$ ,  $4Co_2[Fe(CN)_6] \cdot 3K_4[Fe(CN)_6]$  и твердых растворов переменного состава.

Исследование других аналогичных систем также показало, что состав осадков зависит от концентрационных соотношений реагирующих компонентов и характера металла  $Me$  в соли  $Me_4[Fe(CN)_6]$ , взятой для осаждения.



## § 22. Производство активности и производство растворимости

Из изложенного в предыдущем параграфе можно сделать вывод, что растворимость осадков зависит от химического состава твердой фазы. Однако на величину растворимости влияют также внешние условия. Зависимость растворимости от температуры рассматривалась в общем курсе количественного анализа. Влияние давления на растворимость малорастворимых соединений практически можно не принимать во внимание, так как в условиях анализа оно не вызывает каких-либо заметных эффектов.

Наибольшее значение имеет зависимость растворимости от концентрационных соотношений компонентов взаимодействия. Количественно эта зависимость описывается правилом произведения активности или произведения растворимости.

Эти правила можно вывести, применяя закон действующих масс к равновесию между твердой фазой и раствором. Можно также исходить из кинетических закономерностей.

Предположим, что кристаллы малорастворимой соли  $Me_m A_n$ , образованной из катионов  $Me^{n+}$  и анионов  $A^{m-}$ , внесены в воду. Под влиянием дипольных молекул воды находящиеся на поверхности кристаллической решетки ионы отрываются от ее поверхности и переходят в раствор.

Обозначим общее количество ионов (катионов и анионов) на поверхности осадка буквой  $b$ . Количество катионов в общем случае может быть не эквивалентным количеству анионов вследствие побочных процессов (адсорбции, гидролиза и др.), которые проходят между осадком и раствором.

Обозначим долю катионов  $X$ , тогда доля анионов составляет  $1-X$ , а количество катионов и анионов соответственно равно  $bX$  и  $b(1-X)$ .

Скорость перехода ионов с поверхности осадка в раствор пропорциональна общему количеству ионов на этой поверхности:

$$\vec{v}_{Me^{n+}} = K_1 bX; \quad (1)$$

$$\vec{v}_{A^{m-}} = K_2 b(1-X). \quad (2)$$

Перешедшие в раствор ионы сталкиваются с поверхностью осадка и задерживаются на ней, причем скорость этого обратного перехода, очевидно, пропорциональна количе-



ству ионов противоположного знака на поверхности осадка и активности ионов в растворе в степенях, соответствующих стехиометрическим коэффициентам  $m$  и  $n$ :

$$\overleftarrow{v}_{Me^{n+}} = K_3 b (1 - X) a_{Me^{n+}}^m; \quad (3)$$

$$\overleftarrow{v}_{A^{m-}} = K_4 b X a_{A^{m-}}^n. \quad (4)$$

В состоянии равновесия скорости прямого и обратного процессов равны:

$$\overrightarrow{v}_{Me^{n+}} = \overleftarrow{v}_{Me^{n+}} \quad \text{и} \quad \overrightarrow{v}_{A^{m-}} = \overleftarrow{v}_{A^{m-}},$$

следовательно,

$$K_1 b X = K_3 b (1 - X) a_{Me^{n+}}^m \quad (5)$$

и

$$K_2 b (1 - X) = K_4 b X a_{A^{m-}}^n. \quad (6)$$

Сократив  $b$  в уравнениях (5) и (6) и перемножив их, после преобразований получим:

$$K_1 K_2 = K_3 K_4 a_{Me^{n+}}^m a_{A^{m-}}^n \quad (7)$$

или

$$a_{Me^{n+}}^m a_{A^{m-}}^n = \frac{K_1 K_2}{K_3 K_4} = K = \text{ПА}. \quad (8)$$

Выражение (8) формулируется в виде такого правила: *в насыщенном растворе малорастворимого соединения произведение активностей ионов, взятых в степенях, соответствующих стехиометрическим коэффициентам  $m$  и  $n$ , есть величина постоянная при постоянной температуре.*

При малорастворимых соединениях в растворе в равновесии с осадком находится небольшое количество ионов. Для таких разбавленных растворов количественной мерой активности может быть их концентрация, т. е. без большой погрешности можно принять, что

$$a_{Me^{n+}} = [Me^{n+}] \quad \text{и} \quad a_{A^{m-}} = [A^{m-}].$$

Тогда уравнение (8) примет вид:

$$[Me^{n+}]^m [A^{m-}]^n = \text{ПР}, \quad (9)$$

где ПР — произведение растворимости.



Таким образом, *произведение концентрации ионов насыщенного раствора малорастворимого соединения есть величина постоянная при постоянной температуре*; необходимо, чтобы концентрация посторонних электролитов, присутствующих в растворе, была также постоянной. При увеличении концентрации ионов (осадка или постороннего электролита) в насыщенном растворе величина произведения растворимости увеличивается, так как в этих условиях концентрация не может быть количественной мерой активности.

Связь между активностью и концентрацией выражается уравнением

$$a_{Me^{n+}} = f_{Me^{n+}} [Me^{n+}] \text{ и } a_{A^{m-}} = f_{A^{m-}} [A^{m-}], \quad (10)$$

где  $f$  — коэффициент активности.

Подставив в уравнение (8) вместо активности выражения уравнения (10), получим:

$$[Me^{n+}]^m [A^{m-}]^n f_{Me^{n+}}^m f_{A^{m-}}^n = \text{ПА}. \quad (11)$$

В первом приближении считают, что  $f_{Me^{n+}} = f_{A^{m-}} = f$ , тогда

$$\text{ПР} f^{m+n} = \text{ПА} \quad (12)$$

или

$$\text{ПР} = \frac{\text{ПА}}{f^{m+n}}. \quad (13)$$

Уравнение (13) передает зависимость между произведением растворимости и произведением активности.

Из общего курса количественного анализа известно, что правило произведения растворимости дает возможность решать ряд практических задач.

Существует три основных типа таких задач на вычисление растворимости осадков: 1) в воде; 2) в присутствии общих ионов; 3) при химических реакциях.

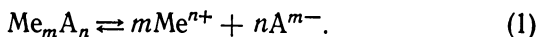
Самые простые задачи названных типов рассматривались в общем курсе. Однако растворение осадков часто проходит значительно сложнее, сопровождаясь побочными процессами гидролиза ионов, образования комплексных соединений, реакциями окисления-восстановления и т. д.

Ниже подробнее рассматриваются такие более сложные случаи.



### § 23. Растворимость осадков в воде, сопровождающаяся гидролизом ионов малорастворимого соединения

В отсутствие гидролиза вычисление растворимости не вызывает затруднений. Оно основано на применении двух уравнений с двумя неизвестными:



Применяя правило произведения растворимости, записываем:

$$[\text{Me}^{n+}]^m [\text{A}^{m-}]^n = \text{ПР}. \quad (2)$$

Из уравнения (1) видно, что

$$n [\text{Me}^{n+}] = m [\text{A}^{m-}]. \quad (3)$$

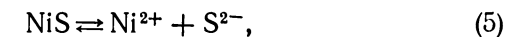
Решая уравнения (2) и (3) по отношению к  $[\text{Me}^{n+}]$  или  $[\text{A}^{m-}]$ , находим концентрацию одного из ионов и растворимость  $S$ :

$$[\text{Me}^{n+}] = \sqrt[n+m]{\frac{\text{ПР} m^n}{n^m}} \text{ и } S = \frac{[\text{Me}^{n+}]}{m}. \quad (4)$$

Если ионы  $\text{Me}^{n+}$  и  $\text{A}^{m-}$  или один из них способны к гидролизу, уравнение (3) перестает быть справедливым.

Рассмотрим в качестве примера вычисление растворимости осадка сульфида никеля  $\text{NiS}$ .

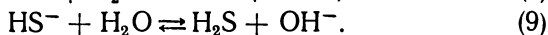
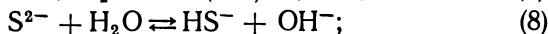
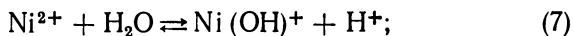
Как и в предыдущем случае, можно записать, что



Тв. фаза

$$[\text{Ni}^{2+}] [\text{S}^{2-}] = \text{ПР}. \quad (6)$$

Однако  $[\text{Ni}^{2+}] \neq [\text{S}^{2-}]$ , так как эти ионы подвергаются гидролизу:



В этом случае концентрация никеля в растворе во всех его формах равна общей концентрации серы также во всех ее формах, т. е.

$$C_{\text{Ni}} = C_{\text{S}} = S, \quad (10)$$

где  $S$  — растворимость.

$$C_{\text{Ni}} = [\text{Ni}^{2+}] + [\text{NiOH}^+]; \quad (11)$$

$$C_{\text{S}} = [\text{S}^{2-}] + [\text{HS}^-] + [\text{H}_2\text{S}]. \quad (12)$$



Для того чтобы найти концентрацию свободных (негидролизированных) ионов никеля, необходимо знать константу гидролиза  $K'$ :

$$\frac{[\text{NiOH}^+][\text{H}^+]}{[\text{Ni}^{2+}]} = K'. \quad (13)$$

Из уравнения (13)

$$[\text{NiOH}^+] = K' \frac{[\text{Ni}^{2+}]}{[\text{H}^+]}. \quad (14)$$

Объединив уравнения (11) и (14), после некоторых преобразований получим:

$$[\text{Ni}^{2+}] = \frac{C_{\text{Ni}} [\text{H}^+]}{K' + [\text{H}^+]}. \quad (15)$$

Концентрация свободных ионов серы равна (см. § 11)

$$[\text{S}^{2-}] = \frac{C_{\text{H}_2\text{S}} K_1 K_2}{[\text{H}^+]^2 + K_1 [\text{H}^+] + K_1 K_2}, \quad (16)$$

где  $K_1$  и  $K_2$  — первая и вторая константы диссоциации сероводорода.

Подставив концентрации  $[\text{Ni}^{2+}]$  и  $[\text{S}^{2-}]$  из уравнений (15) и (16) в уравнение (6), получим:

$$\frac{C_{\text{Ni}} [\text{H}^+]}{K' + [\text{H}^+]} \cdot \frac{C_{\text{H}_2\text{S}} K_1 K_2}{[\text{H}^+]^2 + K_1 [\text{H}^+] + K_1 K_2} = \text{ПР}. \quad (17)$$

Найти растворимость  $\text{NiS}$  — это значит определить общую концентрацию ионов никеля  $C_{\text{Ni}}$  или серы  $C_{\text{H}_2\text{S}}$  в растворе. Объединяя уравнения (10) и (17), после некоторых преобразований приходим к уравнению

$$S = \sqrt{\frac{\text{ПР} [[\text{H}^+]^2 + K_1 [\text{H}^+] + K_1 K_2] [K' + [\text{H}^+]]}{K_1 K_2 [\text{H}^+]}}. \quad (18)$$

В уравнении (18) два неизвестных —  $S$  и  $[\text{H}^+]$ . Концентрация ионов водорода воды и насыщенного раствора  $\text{NiS}$  разная, так как переход некоторой части осадка в раствор изменяет рН воды вследствие процессов, которые проходят по уравнениям (7—9). Существуют специальные методы вычисления рН растворов малорастворимых соединений. Мы ограничимся вычислением растворимости при некоторой заданной концентрации ионов водорода, например, при  $\text{pH}=7$ , которое имеет чистая вода.

Из таблиц находим, что  $\text{ПР} = 1 \cdot 10^{-24}$ ,  $K_1 = 10^{-7}$ ,  $K_2 = 1,2 \cdot 10^{-15}$ ,  $K' = 5 \cdot 10^{-8}$ .



Подставив эти данные в уравнение (18), получим:

$$S = C_{Ni} = C_{H_2S} = 1,7 \cdot 10^{-8} \text{ г-ион/л.}$$

Если не принимать во внимание гидролиз ионов, то для вычисления нужно применить уравнение (4):

$$S = [Ni^{2+}] = [S^{2-}] = \sqrt{PP} = 10^{-12}.$$

Из соотношения этих чисел видно, что пренебрежение гидролизом приводит к результату, который в 17000 раз отличается от действительной растворимости осадка.

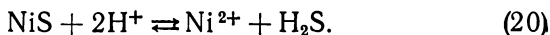
Уравнение (18) можно также применить для вычисления растворимости при любом значении концентрации ионов водорода в растворе, т. е. для определения растворимости осадков в кислотах.

Если концентрация ионов водорода в растворе достаточно высока, т. е. если  $K' \ll [H^+]$ ,  $K_1 \ll [H^+]$  и  $K_1 K_2 \ll [H^+]^2$ , то гидролиз можно не принимать во внимание и пользоваться для вычисления растворимости уравнением

$$S = \sqrt{\frac{PP [H^+]^2}{K_{H_2S}}}, \quad (19)$$

которое при сделанных допущениях вытекает из уравнения (18).

Уравнение (19) соответствует случаю, когда растворение протекает по уравнению



Из этого уравнения

$$K_{\text{равн}} = \frac{[Ni^{2+}] [H_2S]}{[H^+]^2} = \frac{PP}{K_{H_2S}}. \quad (21)$$

В отсутствие заметного гидролиза можно принять, что  $[Ni^{2+}] = [H_2S]$ , тогда

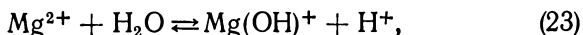
$$S = [Ni^{2+}] = [H_2S] = \sqrt{\frac{PP [H^+]^2}{K_{H_2S}}}. \quad (22)$$

При наличии гидролиза решение обратной задачи — вычисление произведения растворимости осадка из экспериментально определенной растворимости — необходимо проводить, учитывая гидролиз. Рассмотрим в качестве примера вычисление произведения растворимости осадка магния-аммония фосфата  $MgNH_4PO_4$ , исходя из таких данных.



Экспериментально определено, что растворимость этой соли в растворе ( $\text{pH} = 8$ ), содержащем  $0,2$  г-моль/л  $\text{NH}_4\text{OH}$  и  $0,02$  г-ион/л фосфат-ионов, равна:  $S = 3,3 \cdot 10^{-6}$  г-моль/л.

Из таблиц находим, что константа гидролиза ионов магния, протекающего по уравнению



равна:

$$K' = \frac{[\text{Mg}(\text{OH})^+][\text{H}^+]}{[\text{Mg}^{2+}]} = 3 \cdot 10^{-2}, \quad (24)$$

константа диссоциации гидроксида аммония  $K_{\text{NH}_4\text{OH}} = 2 \cdot 10^{-5}$ , а константы диссоциации фосфорной кислоты  $K_1$ ,  $K_2$  и  $K_3$  равны соответственно  $7,6 \cdot 10^{-3}$ ,  $6,2 \cdot 10^{-8}$  и  $4,4 \cdot 10^{-13}$ .

Найденная экспериментальным путем растворимость — это суммарная концентрация магния в растворе во всех его формах, т. е.

$$S = C_{\text{Mg}^{2+}} = [\text{Mg}^{2+}] + [\text{MgOH}^+], \quad (25)$$

откуда после преобразований

$$[\text{Mg}^{2+}] = \frac{S [\text{H}^+]}{[\text{H}^+] + K'}. \quad (26)$$

Общая концентрация аммиака в растворе — это сумма концентраций двух его форм:

$$C_{\text{NH}_4\text{OH}} = [\text{NH}_4^+] + [\text{NH}_4\text{OH}], \quad (27)$$

откуда после преобразований находим, что

$$[\text{NH}_4^+] = \frac{C_{\text{NH}_4\text{OH}} K_{\text{NH}_4\text{OH}}}{K_{\text{NH}_4\text{OH}} + [\text{OH}^-]}. \quad (28)$$

Концентрация анионов

$$[\text{PO}_4^{3-}] = \frac{C_{\text{H}_3\text{PO}_4} K_1 K_2 K_3}{[\text{H}^+]^3 + K_1 [\text{H}^+]^2 + K_1 K_2 [\text{H}^+] + K_1 K_2 K_3}. \quad (29)$$

Следовательно, произведение растворимости  $\text{MgNH}_4\text{PO}_4$

$$\begin{aligned} \text{ПР} &= \frac{S [\text{H}^+]}{([\text{H}^+] + K')} \times \\ &\times \frac{C_{\text{NH}_4\text{OH}} K_{\text{NH}_4\text{OH}}}{(K_{\text{NH}_4\text{OH}} + [\text{OH}^-])} \cdot \frac{C_{\text{H}_3\text{PO}_4} K_1 K_2 K_3}{[\text{H}^+]^3 + K_1 [\text{H}^+]^2 + K_1 K_2 [\text{H}^+] + K_1 K_2 K_3}. \end{aligned} \quad (30)$$

Подставляя соответствующие числовые данные, находим:  $\text{ПР} = 1,2 \cdot 10^{-11}$ .



## § 24. Растворимость осадков в присутствии избытка одноименных ионов

Вычисление растворимости осадков в присутствии избытка одноименных ионов не вызывает затруднений, если процесс растворения не осложнен побочными реакциями. Так, растворимость сульфата бария в 0,01 н. растворе серной кислоты можно найти из выражения произведения растворимости

$$[\text{Ba}^{2+}][\text{SO}_4^{2-}] = \text{ПР} = 10^{-10}, \quad (1)$$

откуда

$$S = [\text{Ba}^{2+}] = \frac{\text{ПР}}{[\text{SO}_4^{2-}]} = \frac{10^{-10}}{10^{-2}} = 10^{-8} \text{ г-ион/л.} \quad (2)$$

Однако во многих случаях одноименные ионы способны образовывать с другими ионами осадка комплексные соединения. Возможны также другие побочные процессы, например, реакции окисления-восстановления и т. д.

Влияние комплексообразования на растворимость осадков изображают посредством диаграмм, на оси абсцисс которых откладывают молярное соотношение реагирующих компонентов, а на оси ординат — растворимость. В зависимости от характера этого влияния различают несколько типов осадков, которым соответствуют характерные формы диаграмм «состав — свойство».

1. Отсутствие комплексообразования между ионами осадка. Избыток одноименных ионов уменьшает растворимость осадков в соответствии с правилом произведения растворимости. Для осадков состава  $\text{BA}$  обе части кривой симметричны (рис. 12, а). При составе  $\text{BA}_2$  избыток анионов уменьшает растворимость сильнее, чем избыток катионов (рис. 12, б). В отсутствие избытка одного из ионов в обоих случаях растворимость осадка максимальна.

2. Ионы осадка способны реагировать между собой с образованием комплексных соединений. Здесь следует различать такие случаи:

а) сильно выраженное комплексообразование (образующиеся комплексы характеризуются большой устойчивостью); осадок — соединение координационно-ненасыщенное (тип  $\text{HgI}_2$ , рис. 12, в). Минимум растворимости соответствует отсутствию избытка одноименных ионов. Избыток каждого иона осадка увеличивает растворимость вследствие образования анионных или катионных комп-



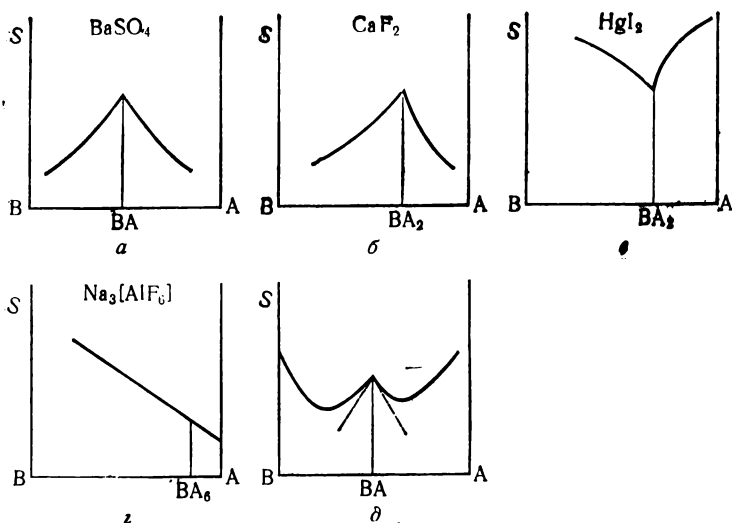
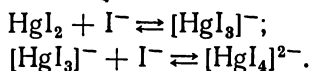
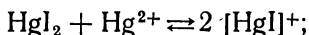


Рис. 12. Влияние одноименных ионов на растворимость осадков.

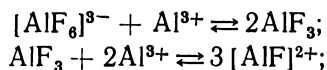
лексных групп. Так, увеличение растворимости  $\text{HgI}_2$  с введением избытка иодид-ионов обусловлено реакциями:



Увеличение растворимости при избытке ионов ртути вызвано образованием катионных комплексных групп:



б) сильно выраженное комплексобразование; осадок — соединение координационно-насыщенное (тип  $\text{Na}_3[\text{AlF}_6]$ ; рис. 12, г). Избыток анионов уменьшает растворимость в соответствии с правилом произведения растворимости, избыток катионов, входящих в состав комплексной группы  $[\text{AlF}_6]^{3-}$ , вызывает увеличение растворимости. Так, для криолита  $\text{Na}_3[\text{AlF}_6]$  это объясняется реакциями:



в) ионы осадка способны образовывать комплексные соединения небольшой устойчивости. Большинство осадков относятся именно к этому типу. Введение небольшого



избытка одного из ионов сначала уменьшает растворимость (рис. 12, б), но в меньшей степени, чем это наблюдалось бы в отсутствие комплексообразования (штриховые линии). При большом избытке одноименных ионов растворимость начинает увеличиваться и может даже превысить растворимость осадка в воде.

Растворимость осадков при комплексообразовании можно найти, если известны константы нестойкости (стойкости) образующихся комплексов. Рассмотрим, например, растворимость хлорида серебра при избытке хлорид-ионов. Известно, что между ионами серебра и хлорид-ионами могут образоваться комплексные (малодиссоциированные) группы  $\text{AgCl}$ ,  $[\text{AgCl}_2]^-$ ,  $[\text{AgCl}_3]^{2-}$  и  $[\text{AgCl}_4]^{3-}$ .

Устойчивость этих комплексных групп характеризуется такими константами стойкости:

$$\beta_1 = \frac{[\text{AgCl}]}{[\text{Ag}^+][\text{Cl}^-]} = 5 \cdot 10^3; \quad (3)$$

$$\beta_2 = \frac{[\text{AgCl}_2^-]}{[\text{Ag}^+][\text{Cl}^-]^2} = 5,6 \cdot 10^4; \quad (4)$$

$$\beta_3 = \frac{[\text{AgCl}_3^{2-}]}{[\text{Ag}^+][\text{Cl}^-]^3} = 2,5 \cdot 10^5; \quad (5)$$

$$\beta_4 = \frac{[\text{AgCl}_4^{3-}]}{[\text{Ag}^+][\text{Cl}^-]^4} = 8 \cdot 10^5. \quad (6)$$

Растворимость хлорида серебра равна сумме концентраций свободных ионов серебра и всех комплексных групп:

$$S = [\text{Ag}^+] + [\text{AgCl}] + [\text{AgCl}_2^-] + [\text{AgCl}_3^{2-}] + [\text{AgCl}_4^{3-}]. \quad (7)$$

Выражение  $[\text{AgCl}]$  в уравнениях (3) и (7) обозначает концентрацию молекул  $\text{AgCl}$  в насыщенном растворе, находящихся в равновесии с твердой фазой осадка.

Подставив в уравнение (7) вместо концентраций отдельных комплексных групп их значение из уравнений (3)—(6), а вместо концентрации  $[\text{Ag}^+]$  — его значение из произведения растворимости хлорида серебра, получим:

$$S = \frac{\text{ПР}}{[\text{Cl}^-]} (1 + \beta_1 [\text{Cl}^-] + \beta_2 [\text{Cl}^-]^2 + \beta_3 [\text{Cl}^-]^3 + \beta_4 [\text{Cl}^-]^4). \quad (8)$$

По этому уравнению можно вычислить растворимость осадка при любой концентрации хлорид-ионов. Так, раство-



римость хлорида серебра в 0,01 н. растворе HCl (т. е. при  $C_{Cl^-} = 0,01$  г-ион/л) равна:

$$S = \frac{10^{-10}}{10^{-2}} (1 + 5 \cdot 10^3 \cdot 10^{-2} + 5,6 \cdot 10^4 \cdot 10^{-4} + 2,5 \cdot 10^5 \cdot 10^{-6} + 8 \cdot 10^5 \cdot 10^{-8}) = 1,2 \cdot 10^{-7} \text{ г-ион/л.}$$

Аналогичное вычисление растворимости в 1 н. растворе HCl дает следующий результат:

$$S = 1,1 \cdot 10^{-4} \text{ г-ион/л.}$$

Из приведенных вычислений видно, что без учета комплексообразования результаты были бы соответственно такими:  $1 \cdot 10^{-8}$  и  $1 \cdot 10^{-10}$  г-ион/л.

Этот пример показывает, что только небольшой избыток хлорид-ионов уменьшает растворимость осадка по сравнению с его растворимостью в чистой воде; при значительной концентрации хлорид-ионов растворимость осадка становится больше, чем его растворимость в воде в отсутствие одноименных ионов.

Известно, что осадок  $\text{CaC}_2\text{O}_4$  используется в гравиметрическом анализе для количественного определения кальция. Произведение растворимости этого осадка  $\text{ПР} = 2,3 \cdot 10^{-9}$ . Ионы кальция и  $\text{C}_2\text{O}_4^{2-}$  не образуют между собой комплексных соединений, поэтому растворимость можно найти непосредственно из произведения растворимости. Для количественного осаждения кальция, т. е. для того, чтобы концентрация его ионов в растворе после осаждения не превышала  $10^{-6}$  г-ион/л, необходимо создать в растворе следующую концентрацию оксалат-ионов:

$$[\text{C}_2\text{O}_4^{2-}] = \frac{\text{ПР}}{[\text{Ca}^{2+}]} = \frac{2,3 \cdot 10^{-9}}{10^{-6}} = 2,3 \cdot 10^{-3} \text{ г-ион/л.}$$

Осадок  $\text{ZnC}_2\text{O}_4$  характеризуется приблизительно такой же величиной произведения растворимости, как оксалат кальция:  $\text{ПР} = 1,5 \cdot 10^{-9}$ . Может создаться впечатление, что этот осадок, как и оксалат кальция, можно использовать для гравиметрического определения ионов цинка. Однако ионы цинка способны к образованию комплексных групп  $\text{ZnC}_2\text{O}_4$  и  $[\text{Zn}(\text{C}_2\text{O}_4)_2]^{2-}$ , константы стойкости которых

$$\beta_1 = \frac{[\text{ZnC}_2\text{O}_4]}{[\text{Zn}^{2+}][\text{C}_2\text{O}_4^{2-}]} = 8 \cdot 10^4 \text{ и } \beta_2 = \frac{[\text{Zn}(\text{C}_2\text{O}_4)_2^{2-}]}{[\text{Zn}^{2+}][\text{C}_2\text{O}_4^{2-}]^2} = 4 \cdot 10^7.$$



Таким образом, растворимость осадка следует находить аналогично рассмотренному выше случаю:

$$S = \frac{\text{ПР}}{[\text{C}_2\text{O}_4^{2-}]} (1 + \beta_1 [\text{C}_2\text{O}_4^{2-}] + \beta_2 [\text{C}_2\text{O}_4^{2-}]^2), \quad (9)$$

По этому уравнению растворимость осадка, например, в 1 М растворе оксалата аммония ( $[\text{C}_2\text{O}_4^{2-}] = 1$ ) равна:

$$S = 1,5 \cdot 10^{-9} (1 + 8 \cdot 10^4 + 4 \cdot 10^7) = 6 \cdot 10^{-2} \text{ г-моль/л.}$$

Следовательно, количественное осаждение цинка в данных условиях невозможно.

Из уравнения (9) можно найти, при какой концентрации ионов  $[\text{C}_2\text{O}_4^{2-}]$  растворимость осадка  $\text{ZnC}_2\text{O}_4$  минимальна. В этот момент производная  $\frac{dS}{d[\text{C}_2\text{O}_4^{2-}]}$  равна нулю. Таким образом, для решения поставленной задачи необходимо продифференцировать уравнение (9) по  $[\text{C}_2\text{O}_4^{2-}]$ , приравнять производную нулю и найти из полученного уравнения концентрацию ионов  $[\text{C}_2\text{O}_4^{2-}]$ .

Итак,

$$\frac{dS}{d[\text{C}_2\text{O}_4^{2-}]} = 0 = -\frac{\text{ПР}}{[\text{C}_2\text{O}_4^{2-}]^2} + \text{ПР}\beta_2, \quad (10)$$

откуда

$$[\text{C}_2\text{O}_4^{2-}] = \sqrt{\frac{1}{\beta_2}} = \sqrt{\frac{1}{4 \cdot 10^7}} = 1,6 \cdot 10^{-4} \text{ г-ион/л.}$$

Теперь легко найти по уравнению (9) растворимость осадка при оптимальной концентрации ионов  $[\text{C}_2\text{O}_4^{2-}]$ .

$$\begin{aligned} S &= \frac{1,5 \cdot 10^{-9}}{1,6 \cdot 10^{-4}} [1 + 8 \cdot 10^4 \cdot 1,6 \cdot 10^{-4} + 4 \cdot 10^7 (1,6 \cdot 10^{-4})^2] = \\ &= 1,4 \cdot 10^{-4} \text{ г-ион/л.} \end{aligned}$$

Из результата видно, что даже при оптимальных условиях осаждения растворимость осадка в 140 раз больше максимальной растворимости, допустимой в гравиметрическом анализе, т. е. больше  $10^{-6}$  г-ион/л. Поэтому осадок  $\text{ZnC}_2\text{O}_4$  не пригоден для гравиметрического определения цинка.

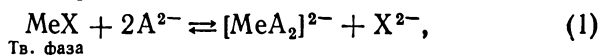


## § 25. Растворимость осадков при образовании комплексных соединений

В предыдущем параграфе рассматривался способ вычисления растворимости осадков при избытке одноименных ионов, способных образовывать комплексные соединения с другими ионами осадка.

Растворимость осадков увеличивается также тогда, когда один из ионов твердой фазы (чаще всего катион) реагирует с каким-либо находящимся в растворе лигандом, образуя растворимые комплексные соединения  $\text{MeA}$ ,  $\text{MeA}_2$  и т. д.

Твердая фаза может быть малорастворимой солью сильной или слабой кислоты. Пусть  $\text{X}^{2-}$  — анион слабой двухосновной кислоты (например, анион  $\text{S}^{2-}$ ) и катион металла образуют с лигандом две комплексные группы  $\text{MeA}$  и  $\text{MeA}_2$ . Тогда уравнение реакции можно записать:



откуда

$$K_{\text{равн}} = \frac{[\text{MeA}_2^{2-}][\text{X}^{2-}]}{[\text{A}^{2-}]^2} = \frac{\text{пр}}{K_{\text{H}}}, \quad (2)$$

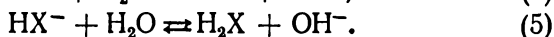
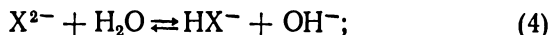
где  $K_{\text{H}}$  — общая константа нестойкости комплекса  $[\text{MeA}_2]^{2-}$ .

$$K_{\text{H}} = \frac{[\text{Me}^{2+}][\text{A}^{2-}]^2}{[\text{MeA}_2^{2-}]}.$$

Растворимость — это суммарная концентрация ионов металла (или анионов  $\text{X}^{2-}$ ) в насыщенном растворе во всех формах. Следовательно, растворимость

$$S = C_{\text{Me}^{2+}} = [\text{Me}^{2+}] + [\text{MeA}] + [\text{MeA}_2^{2-}]. \quad (3)$$

С другой стороны, анионы  $\text{X}^{2-}$  гидролизуют по уравнениям



Поэтому

$$S = C_{\text{H}_2\text{X}} = [\text{X}^{2-}] + [\text{HX}^-] + [\text{H}_2\text{X}]. \quad (6)$$

Из изложенного выше известно, что уравнение для определения концентрации анионов слабой двухосновной кислоты следующее:

$$[\text{X}^{2-}] = \frac{C_{\text{H}_2\text{X}} K_1 K_2}{[\text{H}^+]^2 + K_1 [\text{H}^+] + K_1 K_2}. \quad (7)$$



В разделе о комплексных соединениях будет показано, что концентрацию комплекса  $[\text{MeA}_2]^{2-}$  можно найти по уравнению

$$[\text{MeA}_2^{2-}] = \frac{C_{\text{Me}^{2+}} [\text{A}^{2-}]^2}{[\text{A}^{2-}]^2 + K_{\text{H}_1} [\text{A}^{2-}] + K_{\text{H}_1} K_{\text{H}_2}}, \quad (8)$$

где  $K_{\text{H}_1}$  и  $K_{\text{H}_2}$  — ступенчатые константы нестойкости комплексов  $\text{MeA}$  и  $[\text{MeA}_2]^{2-}$  соответственно

$$K_{\text{H}_1} = \frac{[\text{Me}^{2+}] [\text{A}^{2-}]}{[\text{MeA}]} \quad \text{и} \quad K_{\text{H}_2} = \frac{[\text{MeA}] [\text{A}^{2-}]}{[\text{MeA}_2^{2-}]}.$$

Подставив значения  $[\text{X}^{2-}]$  и  $[\text{MeA}_2^{2-}]$  из уравнений (7) и (8) в уравнение (2), получим:

$$\frac{C_{\text{Me}^{2+}} + C_{\text{H}_2\text{X}} K_1 K_2}{([\text{A}^{2-}]^2 + K_{\text{H}_1} [\text{A}^{2-}] + K_{\text{H}_1} K_{\text{H}_2}) ([\text{H}^+]^2 + K_1 [\text{H}^+] + K_1 K_2)} = \frac{\text{пр}}{K_{\text{H}}}, \quad (9)$$

где  $K_{\text{H}}$  — общая константа нестойкости, равная произведению ступенчатых констант

$$K_{\text{H}} = K_{\text{H}_1} K_{\text{H}_2}. \quad (10)$$

Из уравнения (9) растворимость ( $S = C_{\text{Me}^{2+}} = C_{\text{H}_2\text{X}}$ )

$$S = \sqrt{\frac{\text{пр} ([\text{A}^{2-}]^2 + K_{\text{H}_1} [\text{A}^{2-}] + K_{\text{H}_1} K_{\text{H}_2}) ([\text{H}^+]^2 + K_1 [\text{H}^+] + K_1 K_2)}{K_{\text{H}} K_1 K_2}}. \quad (11)$$

Нередко уравнение (11) упрощают. Так, если  $\text{X}^{2-}$  является анионом сильной кислоты (гидролиз отсутствует), концентрация лиганда  $[\text{A}^{2-}]$  в растворе достаточно высока и в основном образуется только комплекс  $[\text{MeA}_2^{2-}]$ , а концентрации  $[\text{Me}^{2+}]$  и  $[\text{MeA}]$  очень малы, то в числителе подкоренного выражения уравнения (11) члены  $K_{\text{H}_1} [\text{A}^{2-}]$  и  $K_{\text{H}_1} K_{\text{H}_2}$  малы по сравнению с членом  $[\text{A}^{2-}]^2$ . Следовательно, уравнение (11) приобретает следующий вид:

$$S = \sqrt{\frac{\text{пр}}{K_{\text{H}}} [\text{A}^{2-}]^2}. \quad (12)$$

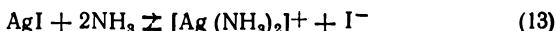
Если константа равновесия реакции (1) невелика, т. е. равновесие смещено влево, то можно принять, что равновесная концентрация лиганда  $\text{A}^{2-}$  мало отличается от его общей концентрации и  $[\text{A}^{2-}] = C_{\text{A}^{2-}}$ .



Рассмотрим несколько примеров.

Пример 1. Найти растворимость  $\text{AgI}$  в 0,1 М растворе гидроксида аммония. Дано, что  $\text{ПР} = 1 \cdot 10^{-16}$ , ступенчатые константы нестойкости аммиака серебра  $K_{\text{H}_1} = \frac{[\text{Ag}^+][\text{NH}_3]}{[\text{AgNH}_3^+]} = 6,3 \cdot 10^{-4}$  и  $K_{\text{H}_2} = \frac{[\text{AgNH}_3^+][\text{NH}_3]}{[\text{Ag}(\text{NH}_3)_2^+]} = 5 \cdot 10^{-4}$ .

Уравнение реакции растворения имеет вид:



Осадок является солью сильной кислоты, следовательно, гидролиз отсутствует. Но так как  $[\text{NH}_3]^2 \gg K_{\text{H}_1}[\text{NH}_3] \gg K_{\text{H}_1}K_{\text{H}_2}$ , то ступенчатую диссоциацию аммиака серебра можно не принимать во внимание. Поэтому растворимость можно вычислить по упрощенному уравнению (12), которое для рассматриваемого случая можно записать как

$$S = \sqrt{\frac{\text{ПР}}{K_{\text{H}}}} [\text{NH}_3]^2. \quad (14)$$

Константа равновесия реакции (13)

$$K_{\text{равн}} = \frac{\text{ПР}}{K_{\text{H}}} = \frac{1 \cdot 10^{-16}}{9,3 \cdot 10^{-8}} = 1,1 \cdot 10^{-9}. \quad (15)$$

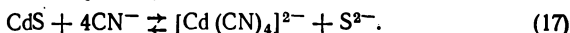
Она очень мала, поэтому можно считать, что  $[\text{NH}_3] = C_{\text{NH}_3}$ , тогда

$$S = \sqrt{\frac{10^{-16} \cdot 10^{-2}}{9,3 \cdot 10^{-8}}} = 3,3 \cdot 10^{-6} \text{ г-ион/л.} \quad (16)$$

Растворимость незначительна, однако в воде она еще меньше ( $S = 10^{-8}$  г-ион/л), т. е. в 0,1 М растворе аммиака растворимость увеличивается в 330 раз.

Пример 2. Найти растворимость  $\text{CdS}$  в 0,1 н. растворе цианида калия. Дано, что  $\text{ПР} = 1 \cdot 10^{-28}$ ,  $K_{\text{HCN}} = 6,3 \cdot 10^{-10}$ ,  $\text{p}K = 9,2$ ,  $K_{\text{H}} = \frac{[\text{Cd}^{2+}][\text{CN}^-]^4}{[\text{Cd}(\text{CN})_4^{2-}]} = 1,4 \cdot 10^{-19}$ , константы диссоциации  $\text{H}_2\text{S}$   $K_1 = 10^{-7}$ ,  $K_2 = 1,2 \cdot 10^{-15}$ . Анионы  $\text{CN}^-$  образуют с катионами кадмия комплексные группы  $[\text{CdCN}]^+$ ,  $\text{Cd}(\text{CN})_2$ ,  $\text{Cd}(\text{CN})_3^-$  и  $\text{Cd}(\text{CN})_4^{2-}$ , константы нестойкости которых соответственно равны  $K_{\text{H}_1} = 2,9 \cdot 10^{-6}$ ,  $K_{\text{H}_2} = 8,7 \cdot 10^{-6}$ ,  $K_{\text{H}_3} = 2 \cdot 10^{-5}$  и  $K_{\text{H}_4} = 2,8 \cdot 10^{-4}$ .

Уравнение реакции растворения имеет вид:



Из ступенчатых констант видно, что при 0,1 М концентрации ионов  $\text{CN}^-$ :  $[\text{CN}^-]^4 \gg K_{\text{H}_4}[\text{CN}^-]^3 \gg K_{\text{H}_4}K_{\text{H}_3}[\text{CN}^-]^2$  и т. д., т. е. можно не принимать во внимание образование комплексных групп  $[\text{CdCN}]^+$ ,  $\text{Cd}(\text{CN})_2$  и  $[\text{Cd}(\text{CN})_3]^-$ . Однако  $\text{S}^{2-}$  — анион слабой кислоты,



и в растворе гидролизует. Поэтому уравнение (11) для данного конкретного случая можно записать так:

$$S = \sqrt{\frac{PP [CN^-]^4 ([H^+]^2 + K_1 [H^+] + K_1 K_2)}{K_H K_1 K_2}}. \quad (18)$$

Концентрацию ионов водорода находим из уравнения, по которому вычисляют pH раствора соли:

$$pH = 7 + \frac{1}{2} pK + \frac{1}{2} \lg C_C = 7 + 4,6 - 0,5 = 11,1,$$

откуда

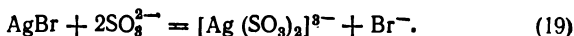
$$S = 5,95 \cdot 10^{-6} \text{ г-ион/л.}$$

Пример 3. Найти растворимость  $AgBr$  в 0,01 М растворе  $Na_2SO_3$  ( $pH = 10$ ). Дано, что  $PP = 5,3 \cdot 10^{-13}$ . В растворе образуются сульфитные комплексы серебра, ступенчатые константы нестойкости

которых равны:  $K_{H_1} = \frac{[Ag^+][SO_3^{2-}]}{[AgSO_3^-]} = 5 \cdot 10^{-6}$  и

$$K_{H_2} = \frac{[AgSO_3^-][SO_3^{2-}]}{[Ag(SO_3)_2^{2-}]} = 8,9 \cdot 10^{-3},$$

Уравнение реакции можно записать как



Осадок  $AgBr$  — соль сильной кислоты, поэтому анион  $Br^-$  не гидролизует. Однако в данном случае следует учитывать образование комплекса  $[AgSO_3^-]$ , так как вторым членом  $K_{H_2}[SO_3^{2-}]$  [см. уравнение (11)] нельзя пренебрегать по сравнению с первым членом  $[SO_3^{2-}]^2$ .

Поэтому растворимость находим по уравнению

$$\begin{aligned} S &= \sqrt{\frac{PP ([SO_3^{2-}]^2 + K_{H_2}[SO_3^{2-}] + K_{H_1}K_{H_2})}{K_H}} = \\ &= \sqrt{\frac{5,3 \cdot 10^{-13} (10^{-4} + 8,9 \cdot 10^{-3} \cdot 10^{-2} + 5,5 \cdot 10^{-8})}{4,5 \cdot 10^{-8}}} = \\ &= 4,9 \cdot 10^{-5} \text{ г-ион/л.} \end{aligned}$$

Растворимость незначительна, но она больше растворимости осадка в воде ( $S = \sqrt{PP} = 7,3 \cdot 10^{-7}$ ) приблизительно в 70 раз.

Пример 4. Найти растворимость  $HgO \cdot H_2O$  в 0,1 М растворе  $KI$ .

Дано, что  $PP = 3 \cdot 10^{-26}$ ,  $K_H = \frac{[Hg^{2+}][I^-]^4}{[HgI_4^{2-}]} = 1,5 \cdot 10^{-30}$ ,  $K_{H_1} =$

$$= \frac{[Hg^{2+}][I^-]}{[HgI^+]} = 1,35 \cdot 10^{-13}, \quad K_{H_2} = \frac{[HgI^+][I^-]}{[HgI_2]} = 1,12 \cdot 10^{-11},$$

$$K_{H_3} = \frac{[HgI_2][I^-]}{[HgI_3^-]} = 1,66 \cdot 10^{-4}, \quad K_{H_4} = \frac{[HgI_3^-][I^-]}{[HgI_4^{2-}]} = 5,9 \cdot 10^{-3}.$$



Уравнение реакции имеет вид:



откуда

$$K_{\text{равн}} = \frac{[\text{HgI}_4^{2-}][\text{OH}^-]^2}{[\text{I}^-]^4} = \frac{\text{ПР}}{K_{\text{H}}} = 2 \cdot 10^4. \quad (21)$$

В этом случае  $[\text{I}^-]^4 \gg K_{\text{H}}$ ,  $[\text{I}^-]^3 \gg K_{\text{H}}K_{\text{H}}$ ,  $[\text{I}^-]^2$  и т. д. Следовательно, концентрация  $[\text{HgI}_4^{2-}]$  практически равна общей концентрации ртути в растворе:

$$S = C_{\text{Hg}} = [\text{HgI}_4^{2-}]. \quad (22)$$

Из уравнения (20) следует также, что концентрация гидроксильных ионов в растворе должна быть в два раза больше концентрации ионов  $[\text{HgI}_4]^{2-}$ , т. е.

$$2[\text{HgI}_4^{2-}] = [\text{OH}^-]. \quad (23)$$

Объединяя уравнения (21), (22) и (23), находим:

$$[\text{HgI}_4^{2-}] = S = \sqrt[3]{\frac{\text{ПР}[\text{I}^-]^4}{K_{\text{H}} \cdot 4}} = \sqrt[3]{\frac{3 \cdot 10^{-26} \cdot 10^{-4}}{1,5 \cdot 10^{-30} \cdot 4}} = 0,8 \text{ г-ион/л.}$$

В последнем примере существует противоречие.

Так, из уравнения (20) следует, что если бы все находящиеся в растворе иодид-ионы связались в комплекс  $[\text{HgI}_4]^{2-}$ , его концентрация не могла бы превышать 0,025 г-ион/л, потому что из четырех иодид-ионов может образоваться только один комплексный анион:  $4[\text{HgI}_4^{2-}] = [\text{I}^-]$ . Однако получен ответ, что  $[\text{HgI}_4^{2-}] = 0,8$  г-ион/л, т. е. значительно больше той концентрации, которую можно получить по стехиометрическим расчетам. Это противоречие объясняется следующим образом. Во всех предыдущих примерах концентрация продуктов реакции была значительно меньше начальной концентрации лигандов, поэтому принимали, что  $[A] = C_A$ , т. е. что равновесная концентрация лиганда практически не отличается от его общей (исходной) концентрации. В нашем случае константа равновесия реакции [уравнение (20)] равна  $2 \cdot 10^4$ , т. е. равновесие практически полностью смещено вправо. Следовательно, равновесную концентрацию иодид-ионов нельзя отождествлять с его исходной концентрацией.

Чтобы правильно вычислить растворимость, следует подставить в знаменатель левой части уравнения (21) вместо  $[\text{I}^-]$  равновесную (а не общую) концентрацию иодид-ионов:

$$[\text{I}^-] = C_{\text{I}} - 4[\text{HgI}_4^{2-}].$$

Вычисление станет значительно сложнее, так как необходимо решить уравнение пятой степени по отношению к  $[\text{HgI}_4^{2-}]$ .

Полученный ответ (0,8 г-ион/л) следует понимать так. Концентрация ионов  $[\text{HgI}_4]^{2-}$  в состоянии равновесия действительно была бы 0,8 г-ион/л, если все время поддерживать постоянную концентрацию иодид-ионов, равную 0,1 г-ион/л, прибавляя взамен израсходованных лигандов новые порции раствора, содержащего лиганд.



## § 26. Влияние сильных электролитов на растворимость осадков

Введенные в раствор посторонние сильные электролиты, не имеющие одноименных ионов с ионами осадка, увеличивают его растворимость. Увеличение растворимости связано с образованием ионной атмосферы вокруг ионов осадка за счет ионов, образующихся при диссоциации постороннего сильного электролита.

Рассмотрим этот вопрос подробнее.

Равновесие между твердой фазой осадка МА и насыщенным раствором характеризуется уравнением



Из этого уравнения можно записать выражения для произведения растворимости (произведения активности) осадка:

$$^* \quad [M^+][A^-] = \text{ПР} \quad (2)$$

и

$$a_{M^+} a_{A^-} = \text{ПА}. \quad (3)$$

В насыщенном растворе малорастворимого соединения концентрация ионов  $M^+$  и  $A^-$  очень мала, поэтому можно не проводить различия между концентрацией и активностью ионов; в этом случае обычно принимают, что  $[M^+] = a_{M^+}$  и  $[A^-] = a_{A^-}$ , следовательно,  $\text{ПР} = \text{ПА}$ .

После введения в насыщенный раствор МА сильного электролита КL, диссоциирующего с образованием ионов  $K^+$  и  $L^-$ , общее количество ионов в растворе сильно увеличивается. Катионы  $K^+$  и анионы  $L^-$  образуют вокруг каждого аниона  $A^-$  и катиона  $M^+$  за счет сил электростатического взаимодействия оболочки — ионные атмосферы.

В первый момент после введения электролита КL активность ионов  $M^+$  и  $A^-$  вследствие создания вокруг каждого из них ионной атмосферы уменьшается, их движение замедляется, количество столкновений между ними и поверхностью осадка за единицу времени становится меньше и скорость перехода ионов  $M^+$  и  $A^-$  из раствора в твердую фазу уменьшается. Наоборот, с поверхности осадка в раствор ионы  $M^+$  и  $A^-$  переходят с такой же скоростью, как до введения постороннего электролита. Поэтому равновесие реакции (1) смещается вправо и растворимость осадка увеличивается. Это продолжается до тех пор, пока активность ионов  $M^+$  и  $A^-$  в растворе станет такой же, как до



введения постороннего электролита, т. е. скорости прямого и обратного процессов снова станут одинаковыми. После этого устанавливается новое состояние равновесия между осадком и раствором, когда общее количество вещества в насыщенном растворе становится больше, чем в насыщенном растворе, не содержащем ионов  $K^+$  и  $L^-$  и, следовательно, величина произведения растворимости увеличивается. Произведение активности ионов в обоих случаях имеет одинаковое значение.

Связь между произведением растворимости и произведением активности передается уравнением

$$ПР = \frac{ПА}{f^2}, \quad (4)$$

где  $f$  — средний коэффициент активности ионов  $M^+$  и  $A^-$ .

Растворимость осадков в присутствии сильных посторонних электролитов вычисляют по уравнению (4). Коэффициенты активности ионов находят из уравнений, связывающих эти коэффициенты активности с ионной силой растворов (см. § 9).

Рассмотрим примеры вычисления растворимости осадков в присутствии сильных электролитов.

**Пример 1.** Найти растворимость  $BaSO_4$  в 0,05 н. растворе хлорида натрия. Дано, что  $ПА = 10^{-10}$ .

Ионная сила раствора

$$\mu = \frac{0,05 \cdot 1^2 + 0,05 \cdot 1^2}{2} = 0,05.$$

Коэффициенты активности ионов бария и сульфат-ионов находим по уравнению (10) (см. § 9):

$$\lg f = - \frac{0,5 \cdot 2^2 \sqrt{5 \cdot 10^{-2}}}{1 + \sqrt{5 \cdot 10^{-2}}} = -0,36,$$

откуда  $f = 0,45$ .

Тогда  $ПР = \frac{ПА}{f^2} = \frac{10^{-10}}{0,45^2} = 5 \cdot 10^{-10}$ , а растворимость  $S = [Ba^{2+}] = [SO_4^{2-}] = \sqrt{ПР} = \sqrt{5 \cdot 10^{-10}} = 2,2 \cdot 10^{-5}$ .

Растворимость  $BaSO_4$  в 0,05 н. растворе  $NaCl$  в 2,2 раза больше растворимости в воде.

**Пример 2.** Найти растворимость  $AgCl$  в 0,05 М растворе сульфата магния. Дано, что  $ПА = 10^{-10}$ .

Ионная сила 0,05 М раствора сульфата магния

$$\mu = \frac{0,05 \cdot 2^2 + 0,05 \cdot 2^2}{2} = 0,2.$$



Коэффициенты активности ионов серебра и хлорид-ионов находим по уравнению (11) (см. § 9):

$$\lg f = -0,5 \left( \frac{\sqrt{0,2}}{1 + \sqrt{0,2}} - 0,2 \cdot 0,2 \right) = -0,18,$$

откуда  $f = 0,74$ .

Тогда  $PR = \frac{PA}{f^2} = \frac{10^{-10}}{0,74^2} = 1,8 \cdot 10^{-10}$ , а растворимость  $S = \sqrt{1,8 \cdot 10^{-10}} = 1,4 \cdot 10^{-5}$ , т. е. в 1,4 раза больше растворимости в воде.

**Пример 3.** Вычислить произведение растворимости осадка  $\text{Th}(\text{IO}_3)_4$  в 0,1 н. растворе нитрата натрия. Дано, что  $PA = 2,5 \times 10^{-18}$ , ионная сила раствора равна 0,1.

Из данных табл. 10 видно, что параметр ионного размера тория равен 11; поэтому для вычисления коэффициента активности иона тория следует применить уравнение (8) (см. § 9):

$$\lg f = -\frac{Az^2 \sqrt{\mu}}{1 + Ba \sqrt{\mu}} = -\frac{8 \cdot \sqrt{10^{-1}}}{1 + 11 \cdot 0,33 \sqrt{10^{-1}}} = -1,2,$$

откуда  $f_{\text{Th}^{4+}} = 0,063$ .

Коэффициент активности ионов  $\text{IO}_3^-$  можно вычислить по более простому уравнению (10) (см. § 9):

$$\lg f = -\frac{0,5 \sqrt{\mu}}{1 + \sqrt{\mu}} = -\frac{0,5 \cdot \sqrt{10^{-1}}}{1 + \sqrt{10^{-1}}} = -0,124,$$

откуда  $f_{\text{IO}_3^-} = 0,76$ .

$$\text{Тогда } PR = \frac{PA}{f_{\text{Th}^{4+}}^4 f_{\text{IO}_3^-}^4} = \frac{2,5 \cdot 10^{-18}}{6,3 \cdot 10^{-2} \cdot 0,76^4} = 1,2 \cdot 10^{-13}.$$

Таким образом, произведение растворимости осадка в этих условиях приблизительно в 50 раз больше произведения активности.

Из сопоставления значений полученных коэффициентов активности и помещенных в табл. 11 видно, что можно было использовать данные таблицы.

## § 27. Методы определения произведения растворимости

Произведения растворимости большинства важных для анализа соединений определены экспериментально, а соответствующие данные приведены в справочниках. В настоящее время эти константы экспериментально определяют очень редко.

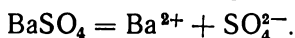


Для определения произведений растворимости применяют описанные ниже методы.

1. Определение растворимости осадков в воде. Получают насыщенный раствор соединения, нерастворившуюся твердую фазу отфильтровывают, фильтрат выпаривают досуха и сухой остаток взвешивают. Далее вычисляют концентрацию соли в молях на литр, а из этой величины находят произведение растворимости. Так, например, было найдено, что в 1 л воды растворяется 0,0023 г  $\text{BaSO}_4$ . Молярную концентрацию  $\text{BaSO}_4$  (количество грамм-молей в литре) находят делением найденной растворимости на молекулярную массу сульфата бария:

$$\frac{0,0023}{233} = 10^{-5} \text{ г-моль/л.}$$

Сульфат бария — соль сильной кислоты и сильного основания. Такие соли в растворах (особенно в очень разбавленных растворах, каким является насыщенный раствор  $\text{BaSO}_4$ ) диссоциированы практически полностью:



Следовательно, концентрации ионов бария и сульфат-ионов в насыщенном растворе  $\text{BaSO}_4$  равны молярной концентрации  $\text{BaSO}_4$ , т. е.

$$[\text{Ba}^{2+}] = [\text{SO}_4^{2-}] = 10^{-5} \text{ г-ион/л,}$$

откуда произведение растворимости равно  $10^{-5} \cdot 10^{-5} = 10^{-10}$ .

Описанный метод можно применять только в том случае, если растворенная часть осадка находится в полностью диссоциированном состоянии. Тогда молярная концентрация численно равна концентрации ионов, образующихся при диссоциации. Растворимость можно определять не только весовым методом, но и любым другим методом (например, фотометрическим).

Нередко насыщенный раствор содержит не только ионы осадка, но и недиссоциированные молекулы, т. е. диссоциация растворенной части осадка проходит неполностью. Так, насыщенный раствор  $\text{AgCl}$  содержит, кроме ионов  $\text{Ag}^+$  и  $\text{Cl}^-$ , еще некоторое количество недиссоциированных молекул  $\text{AgCl}$ . Общая концентрация хлорида серебра в насыщенном растворе больше концентрации ионов, поэтому описанный метод определения произведения растворимости применить нельзя. Для определения концентрации



ионов серебра можно использовать потенциометрический метод: в насыщенный раствор  $\text{AgCl}$  погружают серебряный электрод и измеряют его потенциал. Далее находят концентрацию (точнее — активность) ионов серебра по уравнению Нернста:

$$E = E^0 + 0,058 \lg [\text{Ag}^+].$$

Метод имеет ограниченное значение, так как существует мало металлических электродов, изменяющих потенциал в точном соответствии с уравнением Нернста.

Вообще метод определения произведений растворимости, основанный на измерении растворимости осадков в воде, применим только тогда, когда не проходят какие-либо побочные процессы (например, гидролиз ионов, образование комплексных соединений и др.).

2. Определение растворимости осадков в кислотах. Этот метод более распространен, поскольку в подкисленных растворах, как правило, ионы металла гидролизуют очень незначительно. Экспериментально определяют растворимость соединения при нескольких различных значениях pH. Метод применим для малорастворимых солей слабых кислот, растворимость которых в кислых растворах увеличивается. Особое значение этот метод имел при определении произведений растворимости сульфидов металлов (Л. Брунер и Г. Завадский). Изучалось равновесие



для которого

$$K_{\text{равн}} = \frac{[\text{Me}^{2+}] [\text{H}_2\text{S}^-]}{[\text{H}^+]^2} = \frac{\text{ПР}}{K_{\text{H}_2\text{S}}}, \quad (2)$$

а

$$\text{ПР} = \frac{[\text{Me}^{2+}] [\text{H}_2\text{S}] K_{\text{H}_2\text{S}}}{[\text{H}^+]^2}. \quad (3)$$

Концентрацию металла в насыщенном растворе определяли каким-либо методом: в кислых растворах можно было принять, что

$$[\text{Me}^{2+}] = [\text{H}_2\text{S}] = S,$$

а

$$\text{ПР} = \frac{S^2 K_{\text{H}_2\text{S}}}{[\text{H}^+]^2}. \quad (4)$$

Аналогичный метод применялся для определения произведений растворимости фосфатов металлов и некоторых других малорастворимых солей слабых кислот.



3. Определение произведений растворимости по термодинамическим данным.

Известно, что между изменением свободной энергии химической реакции и константой равновесия этой реакции существует зависимость

$$\Delta G_0 = -RT \ln K, \quad (5)$$

где  $R$  — газовая постоянная (8,29 Дж),  $T$  — абсолютная температура (25° С соответствует  $T = 298^\circ$ ),  $K$  — константа равновесия (для комплексных соединений — это константа стойкости комплекса). Заменяя  $R$  и  $T$  численными значениями и учтя модуль перехода от натуральных логарифмов к десятичным (2,30), получим:

$$\Delta G_0 = -5716,4 \lg K. \quad (6)$$

Константой равновесия в этом случае является произведение растворимости, поэтому уравнение (6) превращается в следующее:

$$\Delta G_0 = 5716,4 \lg \text{ПР}. \quad (7)$$

Изменение свободной энергии химической реакции равно сумме изменений свободной энергии образования продуктов реакции минус сумма изменений свободной энергии образования исходных веществ.

Чтобы найти произведение растворимости, необходимо знать  $\Delta G_0$  для реакции



Для этого в таблицах термодинамических функций находят значения свободных энергий образования ионов  $\text{Me}^{2+}$  и  $\text{A}^{2-}$  и соединения  $\text{MeA}$ . Из найденных значений вычисляют  $\Delta G_0$  для реакции (8). Рассмотрим конкретный пример — определение произведения растворимости сульфида кобальта. Таким методом А. Ф. Капустинский определил произведение растворимости многих сульфидов металлов.

Из таблиц находим значения свободной энергии образования отдельных компонентов реакции:





$\Delta G_{0S^{2-}} = 92,6$  кДж,  $\Delta G_{0Co^{2+}} = -53,6$  кДж (для гидратированного иона  $Co^{2+}$ ),  $\Delta G_{0CoS} = -82,9$  кДж. Тогда для реакции (9)

$$\Delta G_0 = -82,9 - (-53,6) - 92,6 = -121,9 \text{ кДж,}$$

а

$$\lg \text{ПР} = -\frac{121,9}{5,7} = -21,3,$$

откуда

$$\text{ПР} = 10^{-21,3} = 5 \cdot 10^{-22}.$$

Найденное значение хорошо согласуется с произведением растворимости сульфида кобальта, полученным методом растворимости в кислотах, а именно  $4 \cdot 10^{-21}$  (для  $\alpha$ -модификации).

## **§ 28. Критерии применимости реакций осаждения в титриметрическом [объемном] анализе**

Этот вопрос применительно к кислотно-основным реакциям был рассмотрен ранее (см. § 13). Реакции осаждения иногда применяются в объемном анализе. Известен, например, метод определения хлорид-ионов по Мору, основанный на образовании осадка  $AgCl$ . Соединения другого состава также можно применять для определения катионов или анионов осадка, если существует хороший метод установления точки эквивалентности при титровании. Однако применимость малорастворимых соединений для таких определений зависит еще и от величины произведения растворимости осадка и от желаемой точности титрования. Было отмечено (см. § 13), что средняя погрешность титриметрического определения, обусловленная точностью измерения объема рабочего раствора посредством бюретки, составляет 0,1%. Следовательно, для титриметрического определения металлов по методу осаждения применимы только такие малорастворимые соединения, использование которых будет приводить к погрешности, не превышающей 0,1%.

Критерием возможности применения данной реакции осаждения может служить процент превращения образовавшегося малорастворимого соединения в исходные вещества. Поэтому в методе осаждения следует применять только такие реакции (как и в методе кислотно-основного титро-



вания), которые проходят в обратном направлении не больше чем на 0,1 %.

Рассмотрим определение катионов  $Me^{n+}$  с помощью титрования раствором, содержащим анионы  $A^{m-}$ . В результате реакции



образуется малорастворимое соединение, произведение растворимости которого равно:

$$ПР = [Me^{n+}]^m [A^{m-}]^n. \quad (2)$$

В точке эквивалентности

$$m[A^{m-}] = n[Me^{n+}]. \quad (3)$$

Объединив уравнения (2) и (3), получим:

$$ПР = \left(\frac{n}{m}\right)^n [Me^{n+}]^{n+m}. \quad (4)$$

После логарифмирования уравнения (4) и некоторых преобразований

$$\lg [Me^{n+}] = \frac{-\text{p}ПР - n \lg n + n \lg m}{n + m}. \quad (5)$$

Отняв от левой и правой части уравнения (5)  $\lg C_{Me^{n+}}$  (где  $C_{Me^{n+}}$  — исходная концентрация определяемых ионов  $Me^{n+}$ ), получим:

$$\lg \frac{[Me^{n+}]}{C_{Me^{n+}}} = \frac{-\text{p}ПР - n \lg n + n \lg m - n \lg C_{Me^{n+}} - m \lg C_{Me^{n+}}}{n + m}. \quad (6)$$

В точке эквивалентности

$$nC_{Me^{n+}} = mC_{A^{m-}} \text{ и } \lg nC_{Me^{n+}} = \lg m + \lg C_{A^{m-}}, \quad (7)$$

поэтому можно записать, что

$$\lg \frac{[Me^{n+}]}{C_{Me^{n+}}} = \frac{-\text{p}ПР - n \lg C_{A^{m-}} - m \lg C_{Me^{n+}}}{n + m}. \quad (8)$$

Точность титриметрического определения не может превышать 0,1 %, поэтому

$$\lg \frac{[Me^{n+}]}{C_{Me^{n+}}} < -3. \quad (9)$$



В этом случае из уравнения (8) и (9) следует:

$$-3(n+m) \geq -p\text{ПР} - n \lg C_{A^{m-}} - m \lg C_{Me^{n+}} \quad (10)$$

или окончательно

$$p\text{ПР} + n \lg C_{A^{m-}} + m \lg C_{Me^{n+}} \geq 3(n+m). \quad (11)$$

По этому уравнению можно найти величину произведения растворимости, при которой погрешность титрования, обусловленная растворимостью соединения, равна (или больше) 0,1%.

Предположим, что  $m = 1$  и что исходная концентрация титруемых ионов металла равна  $C_{Me^{n+}} = 0,1$ , а реагента (рабочего раствора) —  $n \cdot 0,1$ , тогда из уравнения (11) получим:

$$p\text{ПР} + n \lg n \geq 4(n+1). \quad (12)$$

Если состав осадка  $MeA_1$  ( $n = 1$ ), тогда  $p\text{ПР} \geq 8$ , т. е. титрование с точностью 0,1% можно осуществить, если  $\text{ПР} \leq 10^{-8}$ .

Если состав осадка  $MeA_2$  ( $n = 2$ ), тогда из уравнения (12) следует, что  $p\text{ПР} \geq 11,4$ , т. е. титрование с точностью 0,1% возможно, если  $\text{ПР} \leq 10^{-11,4} \leq 4 \cdot 10^{-12}$ .

Титрование по методу осаждения можно осуществить, например, используя следующие малорастворимые соединения (в скобках приведены значения  $p\text{ПР}$ ):

$\text{AgCl}$  (9,8),  $\text{AgBr}$  (12,1),  $\text{AgI}$  (15,8),  $\text{BaSO}_4$  (10,0),  $\text{PbCrO}_4$  (13,7),  $\text{Hg}_2\text{Cl}_2$  (18,0),  $\text{Hg}_2\text{Br}_2$  (22,3),  $\text{Hg}_2(\text{SCN})_2$  (19,5),  $\text{Pb}(\text{IO}_3)_2$  (12,5). Однако соли  $\text{SrSO}_4$  (6,55),  $\text{TiCl}$  (3,7),  $\text{PbBr}_2$  (5,2),  $\text{PbI}_2$  (8,0) не пригодны для этой цели.

### Список литературы

Бабко А. К. Растворимость осадков в присутствии общих ионов. — «Журн. аналит. химии», 1952, т. 7, с. 3.

Комарь Н. П. Основы качественного химического анализа. Изд-во Харьк. ун-та, 1955.

Коттон Ф., Уилкинсон Дж. Современная неорганическая химия, т. 1. М., «Мир», 1969.

Тананаев И. В., Левина М. И. Физико-химический анализ систем, имеющих значение в аналитической химии. — «Журн. аналит. химии», 1948, т. 3, с. 31.

Яцимирский К. Б. Классификация аналитических реакций и реактивов на основе энергетических характеристик ионов. — «Журн. аналит. химии», 1951, т. 6, с. 211.

Яцимирский К. Б. Термодинамические критерии применимости химических реакций в объемном анализе. — «Журн. аналит. химии», 1952, т. 7, с. 206.



### § 29. Закономерности образования твердой фазы

Образование твердой фазы — это сложный процесс, состоящий из нескольких стадий. Основные закономерности этого процесса были подробно рассмотрены в общем курсе количественного анализа.

*Стадии образования твердой фазы (осадка) следующие:*

1) дегидратация ионов, образующих осадок. Ионы в растворе гидратированы, твердая фаза во многих случаях не содержит воды, поэтому ионы перед образованием кристалла должны утратить гидратную воду;

2) образование первичных центров кристаллизации. Два иона противоположного знака, объединяясь в молекулу, не образуют еще кристаллической формы. Для того чтобы образовался первичный кристаллик, в какой-либо точке раствора должны объединиться между собой по крайней мере по четыре иона противоположного знака. Только в этом случае может образоваться первичный кристаллик, например, кубической формы;

3) образовавшиеся первичные кристаллы не образуют еще твердой фазы (твердая фаза характеризуется поверхностью раздела). Следующая стадия — рост первичных центров кристаллизации за счет осаждения на них все большего количества ионов, в результате чего образуются кристаллы большего размера, объединяющиеся между собой в более крупные агрегаты, не способные, однако, ещеделиться из раствора в виде осадка. Это — коллоидная стадия образования нерастворимого соединения;

4) образование через некоторое время в растворе настолько крупных кристаллов или их агрегатов, что они не могут более удерживаться в растворе, и, наконец, выделение твердой фазы (осадка).

Большое значение в аналитической химии имеет соотношение между скоростью образования первичных центров кристаллизации (стадия 2) и скоростью роста первичных кристаллов. Здесь различают: а) образование первичных центров кристаллизации с большой скоростью. Прибавление каждой новой порции осадителя вызывает появление новых центров кристаллизации, которые затем слипаются между собой в крупные агрегаты, выделяясь из раствора в виде аморфного осадка; б) медленное образование первичных центров кристаллизации (вещество способно образо-



вывать пересыщенные растворы). Прибавление новых порций осадителя приводит к появлению новых первичных кристаллов, а главное — к росту уже образовавшихся кристаллов. При этом из раствора выделяются отдельные кристаллы довольно больших размеров — образуется кристаллический осадок.

Свойства кристаллических и аморфных осадков подробно рассматривались в общем курсе. Там же было сказано, что процесс образования твердой фазы сопровождается соосаждением, т. е. захватом твердой фазой посторонних веществ, присутствующих в растворе, которые в данных условиях не образуют нерастворимых соединений. Соосаждение в гравиметрическом анализе нежелательно, поэтому обычно принимают меры к его уменьшению или устранению (способы уменьшения соосаждения рассматривались в курсе количественного анализа).

Соосаждение часто используют для концентрирования и тогда оно играет положительную роль в аналитической химии. Рассмотрим подробно закономерности соосаждения.

*Соосаждение* — это явление, состоящее в том, что осадок в процессе своего образования захватывает из раствора посторонние вещества. При соосаждении различают *микрокомпонент* (вещество, находящееся в растворе в очень незначительной концентрации и переходящее вследствие соосаждения в твердую фазу) и *макрокомпонент* (вещество, из которого состоит твердая фаза и количество которого значительно превышает количество микрокомпонента).

Соосаждение с кристаллическими осадками, при котором микрокомпонент распределяется по всему объему твердой фазы, принимая участие в построении кристаллической решетки макрокомпонента, называют *сокристаллизацией*. Соосаждение микрокомпонента на поверхности твердой фазы макрокомпонента, включая также внутреннюю поверхность, называют *адсорбцией*.

### **§ 30. Закономерности адсорбции на аморфных осадках**

Адсорбция вещества на поверхности осадка определяется многими факторами.

1. Количество адсорбированного вещества зависит от общей поверхности осадка: чем эта поверхность больше, тем больше адсорбция.



2. Количество адсорбированного вещества зависит от его концентрации в растворе, возрастая не прямо пропорционально этой концентрации. Зависимость описывается изотермой адсорбции. Сначала увеличение концентрации микрокомпонента в растворе приводит к увеличению количества адсорбированного вещества, после чего наступает насыщение: кривая переходит в прямую, идущую параллельно оси абсцисс.

3. Элемент, находящийся в растворе в виде катионов, адсорбируется поверхностью осадка тем больше, чем

Таблица 35

Зависимость адсорбции радиоактивного изотопа свинца от растворимости соответствующих солей свинца

| Адсорбент                                     | Растворимость солей, образованных катионом свинца и анионом осадка, моль/л | Степень адсорбции, % |
|---|--|----------------------|
| AgBr  | $2 \cdot 10^{-3}$  | 1,8                  |
| AgI   | $1 \cdot 10^{-3}$  | 2,1                  |
| AgIO <sub>3</sub>                             | $5 \cdot 10^{-5}$  | 43,3                 |
| Ag <sub>2</sub> C <sub>2</sub> O <sub>4</sub> | $3 \cdot 10^{-5}$  | 81,1                 |
| Ag <sub>2</sub> CrO <sub>4</sub>              | $2 \cdot 10^{-7}$  | 97,9                 |

меньше растворимость соединения, образующегося из этих катионов и анионов осадка. Справедлива и обратная зависимость: элемент, находящийся в растворе в виде анионов, адсорбируется тем больше, чем меньше растворимость соединения, образующегося из этих анионов и катионов осадка.

Эта зависимость называется *правилом Панета — Фаянса* (она была установлена методом радиоактивных индикаторов).

Данные, характеризующие эту зависимость, приведены в табл. 35.

4. Адсорбция ионов элементов-микрокомпонентов подчиняется закону Гана. Ионы радиоактивного элемента адсорбируются на полярных кристаллах, если поверхность кристалла имеет заряд, противоположный знаку заряда ионов. Закон Гана справедлив также для нерадиоактивных элементов, так как химические свойства радиоактивных и нерадиоактивных элементов идентичны.

Так, при осаждении ионов кальция в присутствии ионов изотопа свинца  $\text{ThB}^{2+}$  избытком раствора серной кислоты, когда поверхность осадка  $\text{CaSO}_4$  заряжена отрицательно, адсорбция ионов  $\text{ThB}^{2+}$  увеличивается по мере возрастания избытка прибавленной серной кислоты. Наоборот, осаждение сульфат-ионов избытком раствора хлорида кальция (при образовании осадка с положительно заряженной



поверхностью) приводит к уменьшению адсорбции ионов  $\text{ThB}^{2+}$  с увеличением избытка раствора хлорида кальция. Такая же зависимость наблюдается при адсорбции ионов  $\text{ThB}^{2+}$  на осадке  $\text{AgI}$ .

Закон Гана характеризуется данными табл. 36.

Таблица 36

Адсорбция ионов  $\text{ThB}^{2+}$  на осадках  $\text{CaSO}_4$  и  $\text{AgI}$

| Осадок          | Осадитель               | Избыток осадителя, % | Степень адсорбции, % |
|-----------------|-------------------------|----------------------|----------------------|
| $\text{CaSO}_4$ | $\text{H}_2\text{SO}_4$ | 5                    | 88,0                 |
| »               | $\text{H}_2\text{SO}_4$ | 10                   | 92,2                 |
| »               | $\text{H}_2\text{SO}_4$ | 10-кратный           | 98,4                 |
| »               | $\text{CaCl}_2$         | 10                   | 5,2                  |
| »               | $\text{CaCl}_2$         | 7-кратный            | 1,7                  |
| $\text{AgI}$    | $\text{KI}$             | 5                    | 73,1                 |
| »               | $\text{KI}$             | 10                   | 76,9                 |
| »               | $\text{AgNO}_3$         | 10                   | 4,5                  |
| »               | $\text{AgNO}_3$         | 100                  | 2,0                  |

5. Высокозарядные ионы адсорбируются сильнее, чем ионы с меньшим зарядом. Примером является адсорбция катионов некоторых элементов на осадке  $\text{AgI}$ . Эта адсорбция зависит также от концентрации водородных ионов:

|                          |                  |       |                |      |
|--------------------------|------------------|-------|----------------|------|
| $[\text{H}^+]$ , г-ион/л |                  | 0,005 | 0,05           | 0,10 |
| Степень адсорбции, %     | $\text{Ra}^{2+}$ | 7,9   | незначительная | 0,0  |
|                          | $\text{Ac}^{3+}$ | 75,5  | 25,1           | 7,0  |
|                          | $\text{Th}^{4+}$ | 100,0 | 100,0          | 50,5 |

6. Соосаждение зависит от свойств макрокомпонента, образующего осадок. Исследование соосаждения микрокомпонентов на гидроксидах тяжелых металлов показало, что степень соосаждения обусловлена кислотно-основными свойствами гидроксидов, которые зависят от величины ионного потенциала катионов, образующих эти гидроксиды. Так, соосаждение катионов цезия или таллия возрастает в ряду гидроксидов таких металлов:

|                                      |   |      |      |      |      |      |
|--------------------------------------|---|------|------|------|------|------|
| катион металла, образующий гидроксид | $\text{Mg}^{2+} < \text{La}^{3+} < \text{Th}^{4+} < \text{Zr}^{4+} < \text{Fe}^{3+} < \text{Ti}^{4+}$ |      |      |      |      |      |
| ионный потенциал $\frac{z}{r}$       | 2,56  | 3,66 | 4,55 | 6,63 | 8,45 | 8,77 |

На гидроксиде магния соосаждение цезия составляет 5% от взятого количества цезия, а на гидроксиде титана —



85%. Это объясняется тем, что усиление кислотных свойств гидроксидов с увеличением ионного потенциала ослабляет связь водородного и кислородного атомов гидроксила, облегчая замещение этого водорода катионами цезия.

Для анионов наблюдается обратная зависимость. Так, соосаждение ионов  $\text{CrO}_4^{2-}$  возрастает в ряду гидроксидов таких металлов:

|                                      |  |      |      |      |      |       |
|--------------------------------------|--|------|------|------|------|-------|
| катион металла, образующий гидроксид | $\text{Ti}^{4+} < \text{Fe}^{3+} < \text{Zr}^{3+} < \text{Th}^{4+} < \text{Cd}^{2+} < \text{Y}^{3+}$ |      |      |      |      |       |
| ионный потенциал $\frac{z}{r}$       | 8,77   | 8,45 | 6,63 | 4,55 | 3,95 | 4,69. |

Приведенные экспериментальные данные объясняют, почему по отношению к катионам микрокомпонента адсорбционная способность больше у гидроксидов, образованных катионами с более высоким значением ионного потенциала. Это обусловлено качественным изменением внутренней структуры гидроксида, ослаблением связи водорода с кислородом, что облегчает замещение иона водорода сорбирующимся элементом.

### § 31. Закономерности соосаждения на кристаллических осадках

Как уже было сказано, при кристаллических осадках соосаждающийся микрокомпонент распределен по всему объему твердой фазы и принимает участие в построении кристаллической решетки макрокомпонента. Такой характер соосаждения часто обусловливается явлением изоморфизма.

Изоморфизм был открыт Э. Митчерлихом в 1819 г. *Явление изоморфизма* заключается в том, что аналогичные по химическому составу вещества сходных по химическим свойствам элементов способны кристаллизоваться в одинаковых или близких формах. Например, изоморфными являются кристаллы:  $\text{ZnCO}_3$ ,  $\text{MgCO}_3$ ,  $\text{FeCO}_3$ ,  $\text{MnCO}_3$ ,  $\text{CdCO}_3$ ,  $\text{CaCO}_3$ . Ромбоэдрические кристаллы этих солей имеют угол  $\alpha$ , соответственно равный  $103^\circ 26'$ ,  $103^\circ 21'$ ,  $103^\circ 04'$ ,  $102^\circ 50'$ ,  $102^\circ 30'$ ,  $101^\circ 55'$ ,  $101^\circ 55'$ .

Изоморфные вещества способны поэтому к совместной кристаллизации и образуют фазы переменного состава — твердые растворы (смешанные кристаллы). Изоморфизм характерен для веществ с одинаковой кристаллической структурой, имеющих одинаковое количество атомов, ана-



логично связанных в молекуле. Аналогия кристаллической структуры зависит от числа частичек в соединении, близости их размеров и поляризационных свойств, а также однотипности химической связи. Так,  $\text{NaCl}$  и  $\text{CuCl}$  не изоморфны, потому что при одинаковых размерах обоих катионов их поляризационные свойства неодинаковы.

По Гольдшмидту, изоморфизм возможен в таких случаях:

если у обоих соединений сумма зарядов атомов, входящих в их состав, и распределение зарядов одинаковы, например,  $\overset{+2}{\text{Sr}}\overset{+6}{\text{S}}\overset{-2}{\text{O}_4}$  и  $\overset{+2}{\text{Ra}}\overset{+6}{\text{S}}\overset{-2}{\text{O}_4}$ ;

если у обоих соединений сумма зарядов атомов, входящих в их состав, одинакова, но их распределение неодинаково, например,  $\overset{+2}{\text{Sr}}\overset{+6}{\text{S}}\overset{-2}{\text{O}_4}$  и  $\overset{+1}{\text{K}}\overset{+7}{\text{Cl}}\overset{-2}{\text{O}_4}$ ;

если сумма зарядов атомов, входящих в состав обоих соединений, разная, но число атомов одинаковое, например  $\overset{+4}{\text{Ti}}\overset{-2}{\text{O}_2}$  и  $\overset{+2}{\text{Mg}}\overset{-1}{\text{F}_2}$ .

Изоморфное соосаждение подчиняется *закону Хлопина*: если два вещества являются изоморфными и концентрация одного из них очень мала, тогда распределение микрокомпонента между кристаллической фазой и раствором при постоянной температуре характеризуется постоянной величиной и не зависит от количественного соотношения фаз

$$\frac{X}{Y} = D \frac{X_0 - X}{Y_0 - Y}, \quad (1)$$

где  $X_0$  и  $X$  — соответственно количества микрокомпонента в системе и кристаллах,  $Y_0$  и  $Y$  — количество макрокомпонента в системе и кристаллах,  $D$  — коэффициент кристаллизации.

Из уравнения (1) следует, что

$$\frac{X}{X_0 - X} = D \frac{Y}{Y_0 - Y}. \quad (2)$$

Рассмотрим случай, когда количество макрокомпонента в системе остается постоянным, а изменяется только количество микрокомпонента. Тогда правая часть уравнения (2) есть величина постоянная. Обозначив ее буквой  $K$ , запишем уравнение (2) следующим образом:

$$X = KX_0 - KX, \quad (3)$$

откуда

$$X = \frac{K}{1+K} X_0. \quad (4)$$



Следовательно, при изоморфном соосаждении количество соосажденного вещества прямо пропорционально общему количеству микрокомпонента  $X_0$  в системе: чем больше это количество, тем больше микрокомпонента  $X$  переходит в твердую фазу макрокомпонента.

Соосаждение на кристаллических осадках может быть также вызвано внутренней адсорбцией, т. е. адсорбцией микрокомпонента на внутренней поверхности растущих кристаллов. Внутренняя адсорбция была детально рассмотрена в общем курсе количественного анализа. Целесообразно отметить, что внутренняя адсорбция подчиняется описанным в предыдущем параграфе закономерностям. Следовательно, для нее характерно явление насыщения, описываемое изотермой адсорбции. Этим соосаждение в результате внутренней адсорбции отличается от изоморфного соосаждения, подчиняющегося закону Хлопина, т. е. при постоянном количестве макрокомпонента описывается уравнением (4).

### § 32. Использование соосаждения в аналитической химии

Соосаждение в гравиметрическом анализе явление нежелательное. Его стараются уменьшить или устранить, применяя методы, рассмотренные в общем курсе количественного анализа. Однако соосаждение можно использовать для концентрирования микрокомпонентов, находящихся в растворе в таких незначительных концентрациях, при которых их нельзя непосредственно определить каким-либо методом. Таким концентрированием иногда одновременно отделяют микрокомпонент от основы — макрокомпонента, мешающего определению. Соосаждение используют также в химической технологии, например, для разделения радиоактивных элементов, и в других случаях.

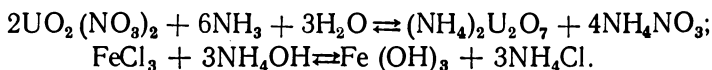
При соосаждении применяют *коллекторы* — вещества, способные захватывать из раствора микрокомпоненты. Как коллекторы обычно применяют вещества, легко отделяющиеся после соосаждения от микрокомпонентов. Коллекторами могут быть неорганические и органические соединения (легко удаляются сжиганием).

Описанные ниже примеры соосаждения характеризуют его значение в химии.

1. При радиоактивном распаде основного изотопа урана  $^{238}_{92}\text{U}$  образуется изотоп тория  $^{234}_{90}\text{UX}$ , причем на 1 г исходного урана приходится всего  $10^{-11}$  г  $^{234}_{90}\text{UX}$ . Разделение



этих двух элементов можно провести так. К раствору соли  $\text{UO}_2(\text{NO}_3)_2$  прибавляют растворы  $\text{FeCl}_3$  и  $\text{NH}_4\text{OH}$ . Образуются нерастворимые осадки диураната аммония и гидроксида железа:



Изотоп тория  $^{234}_{90}\text{Ux}$  превращается в  $\text{Th}(\text{OH})_4$  и адсорбируется гидроксидом железа. Затем добавляют избыток раствора  $(\text{NH}_4)_2\text{CO}_3$ , причем  $(\text{NH}_4)_2\text{U}_2\text{O}_7$  растворяется вследствие образования хорошо растворимого двойного карбоната уранила  $\text{UO}_2\text{CO}_3 \cdot 2(\text{NH}_4)_2\text{CO}_3$ , а гидроксид тория остается в осадке. Если бы гидроксида тория было много, он также растворился бы в растворе карбоната аммония. Однако его микроколичества настолько сильно адсорбированы гидроксидом железа, что не переходят в раствор при обработке карбонатом аммония.

2. Для отделения нептуния от продуктов распада используют натрийуранилацетатный метод. Шестивалентный нептуний соосаждается с натрийуранилацетатом. Метод применяется для отделения индикаторных количеств солей нептуния из растворов солей облученного урана. Раствор соли облученного урана при нагревании обрабатывают  $\text{SO}_2$  (нептуний восстанавливается до четырехвалентного), а затем осаждают натрийуранилацетат. В осадок переходит приблизительно 90—95% солей урана. Из фильтра, содержащего остаток солей урана, соли нептуния и других продуктов распада, осаждают диуранат аммония, который растворяют в азотной кислоте, после чего окисляют нептуний броматом калия. При повторном осаждении натрийуранилацетата  $\text{NaUO}_2(\text{CH}_3\text{COO})_3$  соли нептуния соосаждаются, отделяясь таким способом от продуктов распада.

3. Для отделения плутония от урана массу урана с примесями плутония растворяют в азотной кислоте, причем образуются  $\text{UO}_2(\text{NO}_3)_2$  и  $\text{PuO}_2(\text{NO}_3)_2$ . Далее плутоний восстанавливают до четырехвалентного, обрабатывая  $\text{SO}_2$ , и осаждают в виде  $\text{PuF}_4$ , добавляя в качестве коллектора смесь солей редкоземельных элементов (РЗЭ). Чтобы отделить плутоний от фторидов РЗЭ, его снова окисляют до шестивалентного.

4. Добывание радия основано на процессе соосаждения. Урановые руды обрабатывают серной кислотой и добавляют коллектор — соли бария. Радий соосаждается вместе с сульфатом бария и таким способом отделяется от



5. Применяя в качестве коллектора хлорид индулина, можно извлечь из 6 н. раствора HCl микроколичества галлия, в то время как алюминий в концентрации в  $10^9$  раз большей, чем галлий, остается в растворе.

*Органические соосаждители* — это малорастворимые в воде соединения, способные практически полностью извлекать из очень разбавленных растворов микрокомпоненты. Основой такого извлечения является соосаждение. Распределение микрокомпонента между осадком и раствором зависит в первую очередь от степени гидрофобности соединения, в виде которого соосаждается микрокомпонент. Соосаждение тем более полное, чем больше гидрофобность такого соединения. Гидрофобность обусловлена величиной органической части, входящей в состав соединения, в виде которого данный компонент соосаждается. Для того чтобы обеспечить полное соосаждение, необходимо прибавить к раствору реагент, способный перевести микрокомпонент в малодиссоциированное или малорастворимое соединение, содержащее большую органическую составную часть.

Органические соосадители-коллекторы можно разделить на такие основные группы.

Различают такие три типа солевых соосадителей:

$$\left[ \begin{array}{c} \text{NH}-\text{C}_6\text{H}_5 \\ \text{C}=\text{NH}_2^+ \\ \text{NH}-\text{C}_6\text{H}_5 \end{array} \right]$$

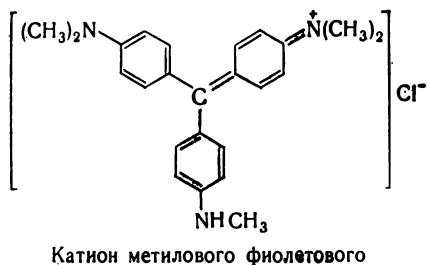
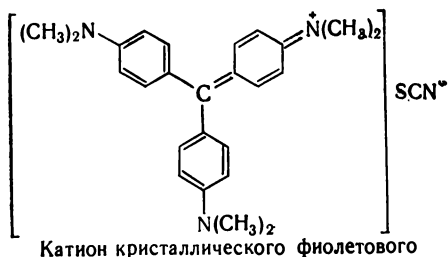
Катион  
дифенилгуанидиния

$$\left[ \begin{array}{c} \text{HO} \quad \text{O} \\ | \quad || \\ \text{C}_6\text{H}_2\text{C}_2\text{O}_2 \\ | \quad || \\ \text{O}_3\text{S} \end{array} \right]$$

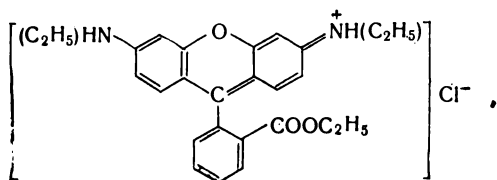
Анион ализарина S



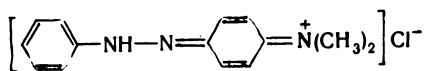
б) в состав соосадителя входит сложный органический катион и неорганический анион, например, катион кристаллического фиолетового, малахитового зеленого, родамина Б или 6Ж, *n*-диметиламиноазобензола, а также анион  $\text{SCN}^-$  или  $\text{Cl}^-$ :





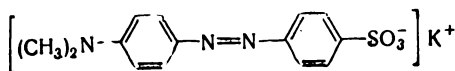


Катион родамина 6ж

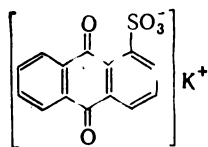


Катион *m*-диметиламиноазобензола

в) в состав соосадителя входит сложный органический анион и неорганический катион, например:



Анион метилового оранжевого



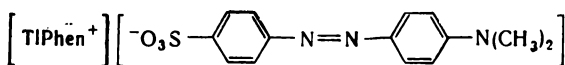
Анион

антрахинон- $\alpha$ -сульфокислоты

С коллекторами типа рассмотренных солевых соосадителей можно извлекать из раствора микроколичества элементов после переведения их в соединения, содержащие одну или две составных органических части, идентичные с органическими катионами или анионами, входящими в состав соосадителя.

Возможны такие случаи: 1) соосаждаемый элемент является катионом. Необходимо его утяжелить, присоединив предварительно в качестве лиганда какую-либо нейтральную органическую молекулу, содержащую донорные атомы азота, кислорода или серы. Для этой цели можно использовать пиридин, *o*-фенантролин (Phen), хинолин, сульфоксид, тиомочевину и др.

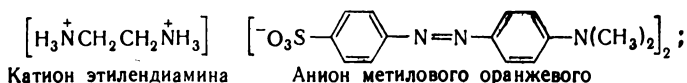
Например, при соосаждении таллия в виде соединения



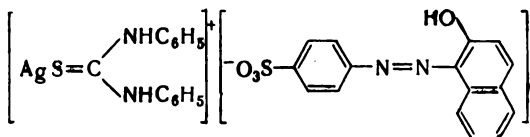
Анион метилового оранжевого



коллектором-соосадителем является соединение

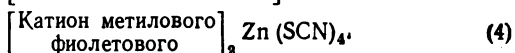
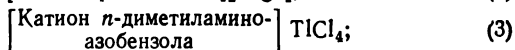
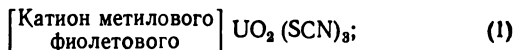


при соосаждении серебра в виде соединения



соосадителем следут выбрать соединение, содержащее тот же анион, который входит в состав соосаждающегося соединения серебра;

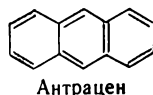
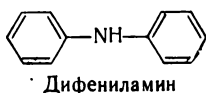
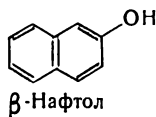
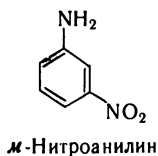
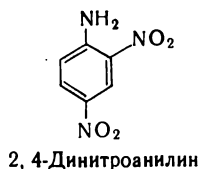
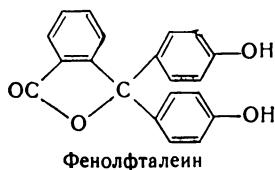
2) соосаждаемый элемент входит в состав аниона, например, переведен в ацидокомплекс с роданидом или хлоридом, иодидом и т. д. Чтобы перевести его в соосаждающееся соединение, можно использовать катионы кристаллического фиолетового, родамина Б, *n*-диметиламиноазобензола и др. Так, уран, ртуть, таллий соосаждаются в виде соединений



Для названных выше соединений (1), (2), (3) и (4) коллекторами-соосаждителями может быть соответственно роданид метилового фиолетового, иодид родамина Б, хлорид *n*-диметиламиноазобензола и роданид метилового фиолетового.

*Индифферентные соосаждители.* Соосаждение с этими коллекторами рассматривается как экстракция твердыми экстрагентами. К индифферентным соосаждителям принадлежат, например, такие соединения:



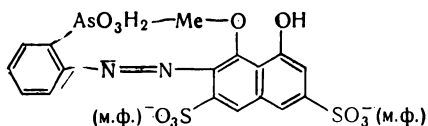


С названными и некоторыми другими индифферентными коллекторами сосаждаются элементы, связанные в нерастворимые внутрикомплексные соединения, например, оксифинолинаты, купферонаты и др. При таком сосаждении между сосаждающимся веществом и коллектором нет химического сходства, однако сосаждение происходит хорошо. Соединения, в виде которых те или иные элементы сосаждаются с солевыми или индифферентными сосаждителями, сами по себе также нерастворимы. Это относится к оксифинолинатам или купферонатам металлов, к соединениям роданида цинка с метиловым фиолетовым и т. д. Однако в очень разбавленных растворах они не образуют осадков, поскольку произведение концентрации ионов этих соединений не достигает величины произведения растворимости. Несмотря на их крайне незначительную концентрацию, присутствие коллектора-сосаждителя вызывает все же переход названных соединений в твердую фазу. Так, цинк практически полностью сосаждается с роданидом метилового фиолетового в виде соединения роданида цинка с катионом названного красителя даже из растворов, содержащих 0,1 мкг цинка в 1 л.

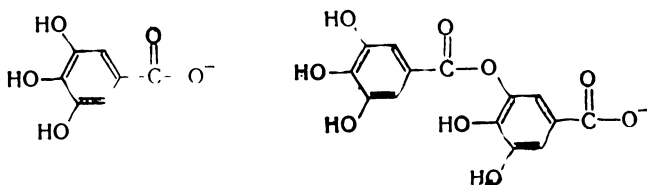
Растворимые внутрикомплексные соединения также могут сосаждаться с индифферентными или солевыми сосаждителями. Однако при таком сосаждении необходимо участие веществ, в состав которых входят тяжелые органические катионы. Элементы сосаждаются в виде солей, образующихся при взаимодействии растворимых внутрикомплексных соединений с этими тяжелыми катионами. Так,



внутрикомплексное соединение металла с арсеназо можно извлечь из раствора в виде соли с катионами метилового фиолетового (м. ф.), например:



*Коллоидно-химические соосадители* состоят из двух частей — основного красителя типа метилового фиолетового, кристаллического фиолетового, родамина и других, и коллоидного ингредиента, чаще всего танина. Эти два соединения, реагируя между собой, образуют малорастворимое соединение. Таннины — не индивидуальные соединения. Это смесь веществ близкого строения, которые можно рассматривать как эфиры глюкозы и галловой, дигалловой или тригалловой кислот, т. е. соединения, содержащие остатки.



Таннины обладают способностью осаждать или коагулировать многие соединения, находящиеся в коллоидных растворах: коллоидные частицы гидроксидов, полиядерные частично гидролизованные ионы и др. В присутствии основных красителей (кристаллического фиолетового и др.) коагулирующая или осаждающая способность их таннинов усиливается. Выделение же твердой фазы — танната основного красителя — вызывает соосаждение названных частичек. Так, при подкислении разбавленных растворов вольфраматов вольфрам осаждается неполностью. После прибавления таннина осаждение проходит более полно, а при добавлении основного красителя вольфрам соосаждается количественно из очень разбавленных растворов. Таннин вместе с метиловым фиолетовым выделяет ниобий из растворов при разбавлении 1 : 10<sup>13</sup>.

С коллекторами разных типов могут соосаждаться также неионизированные формы элементов, например,  $\text{GeCl}_4$ ,  $\text{OsO}_4$ , элементарные I, S, Se и др.



Чтобы достигнуть селективности соосаждения, применяют следующие способы:

а) использование соосаждителей, на которых сосаждаются только катионные или анионные формы элементов. Так, с роданидом кристаллического фиолетового или другого основного красителя сосаждаются элементы, образующие анионные роданидные комплексы, например,  $Zn(SCN)_4^{2-}$ , а элементы, не способные к образованию таких анионных комплексов, остаются в растворе. Наоборот, если взять в качестве коллектора, например, соль фенантролина с антрахинон- $\alpha$ -сульфонатом натрия, то сосаждаются элементы, способные к образованию фенантролиновых комплексов (например, серебро, кобальт, никель, медь и другие), алюминий же, не реагирующий с фенантролином, не сосаждается;

б) регулирование рН раствора. Внутрикислотные соединения различных элементов (например, оксидинолины) осаждаются при различных значениях рН. Так, оксидинолинат железа осаждается в довольно кислом растворе, а оксидинолинат алюминия при рН = 5. Поэтому способность к соосаждению зависит от величины рН, при которой образуется внутрикислотное соединение данного элемента.

### **Список литературы**

Алимарин И. П., Золотов Ю. А. Аналитическая химия непуния. — «Успехи химии», 1957, т. 26, с. 625.

Кузнецов В. И., Акимова Т. Г. Концентрирование актиноидов соосаждением с органическими соосаждителями. М., Атомиздат, 1968.

Несмеянов Ан. Н. Радиохимия. М., «Химия», 1972.

## **Раздел III. РЕАКЦИИ КОМПЛЕКСООБРАЗОВАНИЯ**

### **Глава 6. УСТОЙЧИВОСТЬ КОМПЛЕКСОВ И ПОЛОЖЕНИЕ ЭЛЕМЕНТОВ В ПЕРИОДИЧЕСКОЙ СИСТЕМЕ**

#### **§ 33. Комплексные соединения и их значение в аналитической химии**

Известно много определений понятия «комплексное», или «координационное», соединение. По Гринбергу, комплексные соединения — это молекулярные соединения, при



сочетании компонентов которых образуются положительно или отрицательно заряженные сложные ионы, способные к существованию как в кристаллах, так и в растворах. Следует подчеркнуть две характерные особенности этого определения: 1) комплексные соединения — это молекулярные соединения, т. е. такие, которые образовались за счет сочетания двух или нескольких различных молекул, например:



2) к комплексным соединениям относятся такие соединения, которые существуют не только в растворах, но и в кристаллическом виде. Эти ограничения исключают из комплексных соединений те, которые не отвечают двум сформулированным требованиям. Другие авторы не связывают понятие комплекса или комплексного соединения с названными особенностями. Так, Ф. Россоти и Х. Россоти считают, что «комплекс может быть определен как форма, образованная ассоциацией двух или более простых форм, каждая из которых способна существовать независимо». По Коттону и Уилкинсону, комплекс или координационное соединение образуется, если центральный атом или ион М объединяется с одним или несколькими лигандами  $L'$ ,  $L''$  и т. д. с образованием частицы типа  $ML'_jL''_i$ , причем атом или ион М, лиганды и образующиеся комплексы — все могут нести электрический заряд. К. Б. Яцимирский определяет комплексные соединения так: «К комплексным соединениям относятся соединения, образующие изолированные группы атомов (ионы или молекулы), характеризующиеся наличием координации, неполной диссоциацией по гетеролитическому типу в растворе (или в вакууме) и сложностью состава (несовпадение координационного числа и степени окисления)». Существуют и другие определения. Несмотря на кажущееся различие приведенных формулировок, все они подчеркивают главную особенность комплексов — их сложный состав по сравнению с частицами, из которых эти комплексы образовались.

По Бабко, комплекс — это всякая сложная группа, которая существует в растворе как одно целое, отличающееся по свойствам от компонентов, образующих ее. Последнее определение подчеркивает два наиболее существенных для аналитической химии свойства комплекса — это изменение свойств частиц вследствие комплексообразования, и их способность существовать в растворах. Так, в аналитиче-



ской химии качественное и количественное определение элементов во многих случаях основано именно на изменении свойств частиц вследствие их связывания в комплекс, причем очень часто взаимодействие, обуславливающее изменение этих свойств, проходит именно в водных растворах. Исходя из этих соображений, в дальнейшем изложении будет принято определение комплекса по Бабко. В этом определении сказано еще об одной существенной особенности комплексов, а именно, об их малой склонности к диссоциации на составные части. Комплекс — это группа, находящаяся в равновесии в растворе с теми частицами, из которых она образовалась. Диссоциация комплексной группы может изменяться в очень широких пределах, однако нередко она проходит в незначительной степени, причем именно комплексы с малой склонностью к диссоциации наиболее важны для анализа.

Комплексные соединения имеют очень большое значение в аналитической химии. Современную аналитическую химию нельзя себе представить без использования комплексных соединений различных классов. Важно отметить следующие области применения комплексов в анализе.

*Гравиметрические методы анализа* основаны на том, что многие комплексные соединения трудно растворимы и применяются для весового определения элементов. Особенно большое значение имеют внутрикомплексные соединения металлов с органическими реагентами. К таким труднорастворимым соединениям относятся, например, купферонаты, оксихинолинаты, нитрозофталаты металлов.

*Титриметрические методы анализа* основаны на применении этилендиаминтетрауксусной кислоты (ЭДТА) и многих аналогичных соединений для комплексонометрического титрования катионов металлов. Определение хлоридов титрованием раствором нитрата ртути основано на образовании хлоридных комплексов ртути. Известны методы фторометрии, в которых используется свойство фторид-ионов образовывать с катионами металлов прочные комплексы.

*Фотометрический и спектрофотометрический методы анализа.* Измерение интенсивности окраски комплексов (многие комплексные соединения окрашены) является основой этих методов определения многих элементов, особенно их микроколичеств. Здесь применяются гетерополи-кислоты, галогенидные и роданидные комплексы, комп-



лексы металлов с пероксидом водорода, многочисленные комплексные соединения металлов с органическими реагентами — пирокатехиновым фиолетовым, ализаринном, пиридилазорезорцином и др.

*Экстракционные методы разделения* основаны главным образом на извлечении в органическую фазу комплексов различного состава. Широко применяется экстракция внутрикомплексных соединений — оксихинолинов, дитизонатов, диэтилдитиокарбаминатов металлов. Экстракты часто окрашены и могут быть использованы для фотометрического определения. Галогенидные комплексы многих металлов извлекаются кислородсодержащими органическими растворителями, что используется для различных разделений.

*Электрохимические методы анализа.* При электролитическом выделении металлов осадок на электроде получается более компактным, если вести электролиз из растворов комплексных соединений. В этом случае можно устранить влияние посторонних элементов и выделение на электроде вместо чистого металла сплава двух или нескольких металлов. В полярографическом анализе связывание ионов металлов в комплексы является эффективным способом определения двух металлов с близкими потенциалами полуволн; последние сдвигаются в более отрицательную область потенциалов в зависимости от прочности образующих комплексных соединений, вследствие чего можно получить раздельные полярографические волны двух или нескольких металлов.

*Применение маскирующих средств* (винной, лимонной и других оксикислот; комплексонов и некоторых органических соединений). Маскирование основано на связывании элементов в прочные комплексные соединения, другие элементы при этом не связываются вовсе либо образуют менее устойчивые комплексы.

### **§ 34. Ступенчатая диссоциация и устойчивость комплексов в растворах**

Комплексы в растворах во многих случаях образуются и диссоциируют ступенчато. Центральным ион металла способен присоединять несколько лигандов, в зависимости от их дентатности и величины координационного числа элемента-комплексобразователя.



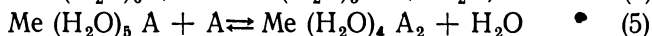
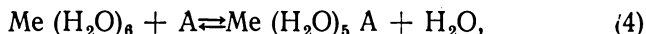
Рассмотрим ступенчатое образование комплексов в растворе при добавлении раствора лиганда к раствору хорошо диссоциированной соли металла, например, нитрата или хлората. Обозначим центральный ион<sup>1</sup> металла Me, лиганд A, тогда процесс ступенчатого образования комплексов выразится уравнениями



и т. д.

Комплексы с большим числом координированных лигандов будут появляться в растворе с увеличением концентрации прибавляемого лиганда.

Уравнения (1) — (3) описывают образование комплексов схематически. Следует помнить, что ионы металлов в растворе гидратированы, поэтому образование комплексов в растворе заключается в вытеснении молекул гидратной воды из внутренней сферы ионов металла и замене их лигандами, например:



и т. д.

В дальнейшем изложении мы будем пользоваться схемами (1) — (3), имея в виду, что образование комплексов проходит по уравнениям (4), (5) и т. д.

Способность ионов металлов к присоединению лигандов (или способность комплексов металла к отщеплению лигандов), т. е. *устойчивость комплексов*, количественно характеризуется *константами нестойкости* или обратными величинами — *константами стойкости* (более распространенная характеристика).

Различают ступенчатые и общие константы стойкости (нестойкости). Ступенчатые константы стойкости комплексов, образование которых описывается уравнениями (1) — (3), записывают следующим образом:

$$K_1 = \frac{[\text{MeA}]}{[\text{Me}][\text{A}]}; \quad (6)$$

---

<sup>1</sup> В приводимых ниже схемах образования комплексов заряды центрального иона, лигандов и образующихся комплексов для простоты опущены.



$$K_2 = \frac{[\text{MeA}_2]}{[\text{MeA}][\text{A}]}; \quad (7)$$

$$K_3 = \frac{[\text{MeA}_3]}{[\text{MeA}_2][\text{A}]} \quad (8)$$

Во многих случаях вместо констант (6)—(8) пользуются общими константами стойкости:

$$\beta_1 = \frac{[\text{MeA}]}{[\text{Me}][\text{A}]}; \quad (9)$$

$$\beta_2 = \frac{[\text{MeA}_2]}{[\text{Me}][\text{A}]^2}; \quad (10)$$

$$\beta_3 = \frac{[\text{MeA}_3]}{[\text{Me}][\text{A}]^3} \quad (11)$$

Если известны, например, константы  $K_1$ ,  $K_2$ ,  $K_3$  и др., то можно вычислить константы  $\beta_1$ ,  $\beta_2$ ,  $\beta_3$ . Наоборот, из общих констант  $\beta$  можно найти ступенчатые константы  $K$ :

$$\beta_1 = \frac{[\text{MeA}]}{[\text{Me}][\text{A}]} = \frac{[\text{MeA}][\text{MeA}_2][\text{MeA}_3]}{[\text{Me}][\text{A}][\text{MeA}][\text{A}][\text{MeA}_2][\text{A}]} = K_1 K_2 K_3 \quad (12)$$

аналогично

$$\beta_2 = \frac{[\text{MeA}_2]}{[\text{Me}][\text{A}]^2} = \frac{[\text{MeA}][\text{MeA}_2]}{[\text{Me}][\text{A}][\text{MeA}][\text{A}]} = K_1 K_2 \quad (13)$$

В аналитической химии обычно пользуются *концентрационными константами*, т. е. константами, выраженными через концентрации соответствующих частиц [см. уравнения (6) — (11)]. Величины концентрационных констант зависят от ионной силы растворов, о чем следует помнить, применяя концентрационные константы.

Связь между концентрационными и термодинамическими (выраженными через активности) константами можно установить следующим образом.

Активность частиц в растворе равна концентрации, помноженной на коэффициент активности:

$$a = fC.$$

Для комплекса  $\text{MeA}_3$

$$a_{\text{Me}} = f_{\text{Me}} [\text{Me}], \quad (14)$$

$$a_{\text{A}} = f_{\text{A}} [\text{A}], \quad (15)$$

$$a_{\text{MeA}_3} = f_{\text{MeA}_3} [\text{MeA}_3], \quad (16)$$

где выражения в квадратных скобках обозначают концентрации соответствующих частиц.



Тогда из уравнений (11), (14) — (16) следует:

$$\beta_3 = \frac{[MeA_3]}{[Me] [A]^3} = \frac{a_{MeA_3}}{a_{Me} a_A^3} \cdot \frac{f_{Me} f_A^3}{f_{MeA_3}}, \quad (17)$$

но, так как  $\beta_3^T = \frac{a_{MeA_3}}{a_{Me} a_A^3}$ , где  $\beta_3^T$  — термодинамическая константа стойкости, то

$$\beta_3 = \beta_3^T \frac{f_{Me} f_A^3}{f_{MeA_3}} \quad (18)$$

или

$$\beta_3^T = \beta_3 \frac{f_{MeA_3}}{f_{Me} f_A^3}. \quad (19)$$

Если известны концентрационные константы, отвечающие различным значениям ионной силы, методом экстраполяции можно найти значение термодинамической константы.

Константы стойкости (нестойкости) являются фундаментальными количественными характеристиками прочности связи между атомами металлов или их ионами и лигандами в растворе подобно тому, как константы диссоциации кислот или произведения растворимости малорастворимых соединений характеризуют соответственно прочность связи аниона кислоты с протоном или аниона кислоты с катионом металла в осадке.

*Физический смысл констант нестойкости* можно объяснить, записав, например, общую константу нестойкости комплекса  $MeA_3$

$$K_H = \frac{[Me] [A]^3}{[MeA_3]} \quad (20)$$

и, если общая концентрация связанных в комплексе ионов металла равна единице, а равновесная концентрация лиганда также равна единице, то

$$K_H = [Me], \quad (21)$$

т. е. при указанных стандартных условиях константа нестойкости численно равна концентрации свободных ионов металла в растворе комплекса. Чем меньше константа нестойкости, тем меньше концентрация ионов  $Me$  и тем прочнее связь ионов металла с лигандом  $A$ .



При слишком малых значениях констант нестойкости понятие концентрации свободных ионов металла в растворе комплекса теряет смысл. Так, константа нестойкости иодидного комплекса ртути  $[\text{HgI}_4]^{2-}$

$$K_H = \frac{[\text{Hg}^{2+}][\text{I}^-]^4}{[\text{HgI}_4^{2-}]} = 10^{-30}. \quad (22)$$

При  $[\text{I}^-] = 1$  и  $[\text{HgI}_4^{2-}] = 1$   $[\text{Hg}^{2+}] = K_H = 10^{-30}$  г-ион/л.

Известно, что число ионов в 1 г-ионе равно  $6 \cdot 10^{23}$  (число Авогадро), тогда при такой устойчивости комплекса один свободный ион металла содержится в  $1,4 \cdot 10^6$  л воды, т. е. диссоциация комплексов с константами нестойкости порядка  $10^{-30}$  (вообще константами  $K_H \leq 6 \cdot 10^{-23}$ ) в водных растворах практически не происходит.

*Физический смысл ступенчатых констант нестойкости* можно выяснить, записав, например, константу нестойкости комплекса  $\text{MeA}_2$

$$K_H = \frac{[\text{MeA}][\text{A}]}{[\text{MeA}_2]} \quad (23)$$

и, если  $[\text{A}] = K_H$ , то  $[\text{MeA}] = [\text{MeA}_2]$ . Иными словами ступенчатая константа нестойкости комплекса численно равна такой равновесной концентрации лиганда, при которой одна половина общего количества ионов металла находится в форме комплекса  $\text{MeA}$ , а другая половина — в форме  $\text{MeA}_2$ , т. е. такой концентрации лиганда, при которой комплекс ионов металла наполовину перешел в другую форму, присоединив (или утратив) один лиганд.

Из термодинамики известно наиболее общее выражение, которое характеризует физический смысл констант стойкости:

$$\Delta G_0 = -RT \ln K_{\text{ст}}, \quad (24)$$

где  $K_{\text{ст}}$  — константа стойкости,  $\Delta G_0$  — изменение свободной энергии (изобарно-изотермического потенциала) при образовании комплекса. Таким образом, образование прочных комплексов связано со значительным изменением свободной энергии системы; для сравнительно непрочных комплексов это изменение невелико. Уравнение (24) показывает, что константа нестойкости (стойкости) является наиболее объективной количественной характеристикой прочности комплексов в растворе или энергии химической связи между частицами, составляющими комплекс.



### **§ 35. Зависимость устойчивости комплексов в растворах от свойств катиона-комплексобразователя**

В настоящее время накоплен большой экспериментальный материал, который позволяет выяснить основные факторы, определяющие прочность комплексов в растворах. Прочность комплексов зависит прежде всего от свойств центрального иона металла. Далее подробно рассматривается влияние этого фактора.

Свойства катионов металлов как комплексобразователей зависят от электронной конфигурации этих катионов, а следовательно, и от положения соответствующих элементов в периодической системе. Выделяют три группы катионов.

1. Катионы с электронной конфигурацией типа инертного газа, у которых во внешней электронной оболочке находится 2 или 8 электронов. К ним принадлежат однозарядные катионы лития, натрия, калия, рубидия и цезия, двухзарядные катионы бериллия, магния, кальция, стронция и бария, трехзарядные катионы алюминия, скандия, иттрия и лантана, четырехзарядные катионы титана, циркония и гафния, а также катионы  $[\text{NbO}]^{3+}$  и  $[\text{TaO}]^{3+}$ .

2. Катионы с недостроенным  $d$ -подуровнем. К ним относятся катионы V (IV) и (III), Cr (III), Mn (II), Fe (II) и (III), Co (II) и (III), Ni (II), Cu (II), а также катионы платиновых металлов (рутения, родия, палладия, осмия, иридия и платины).

3. Катионы, у которых во внешней электронной оболочке находится 18 или  $18 + 2$  электронов. К ним принадлежат катионы Zn (II), Cd (II), Hg (II), Ga (III), In (III), Tl (III), Ge (IV), Sn (IV), As (V) и Sb (V). У катионов Tl (I), Sn (II), Pb (II), As (III), Sb (III) и Bi (III) во внешней электронной оболочке находится  $18 + 2$  электронов.

Строение внешней электронной оболочки сильно влияет на свойства образующихся комплексных соединений. Катионы с двумя или восемью электронами во внешней электронной оболочке образуют комплексы со значительной долей электростатической связи. Устойчивость оболочек типа инертных газов определяет малую поляризуемость и малую деформацию внешних электронов при взаимодействии с различными лигандами. Поэтому катионы названного типа можно в первом приближении рассматривать как жесткие шарики с положительным зарядом в центре, вза-



имодельствующие с лигандами в результате электростатического притяжения, сила которого определяется по закону Кулона:

$$F = - \frac{Nne^2}{r^2}.$$

Прочность комплексов, образованных такими катионами, в значительной степени определяется зарядом и радиусом этих частиц. Можно пользоваться и объединенной величиной (т. е. отношением заряда к радиусу  $\frac{z}{r}$ ), которая называется *ионным потенциалом*. Ионный потенциал характеризует интенсивность электрического поля вокруг данного иона.

В табл. 37 приведены данные о зависимости устойчивости комплексов простейшего состава MeA от величины заряда и радиуса катионов изоэлектронной конфигурации.

Таблица 37

**Зависимость устойчивости комплексов состава MeA от радиусов катионов с электронной конфигурацией типа инертного газа (приведены логарифмы констант стойкости)**

| Ионы             | Радиусы,<br>Å | Лиганды |       |                      |                                     |                          | Ацетил-ацетон     |
|------------------|---------------|---------|-------|----------------------|-------------------------------------|--------------------------|-------------------|
|                  |               | ОН—     | ЭДТА  | CH <sub>3</sub> COO— | N(CH <sub>2</sub> COO) <sub>3</sub> | CH <sub>3</sub> CHОНCOO— |                   |
| Be <sup>2+</sup> | 0,34          | 7,5     | —     | —                    | —                                   | —                        | 8,0<br>6,4<br>5,1 |
| Mg <sup>2+</sup> | 0,78          | 2,6     | —     | —                    | —                                   | —                        |                   |
| Ca <sup>2+</sup> | 1,06          | 1,3     | 10,96 | 0,77                 | 8,18                                | 0,82                     |                   |
| Sr <sup>2+</sup> | 1,27          | 0,82    | 8,63  | 0,44                 | 6,73                                | 0,70                     |                   |
| Ba <sup>2+</sup> | 1,43          | 0,64    | 7,76  | 0,41                 | 6,41                                | 0,55                     |                   |
| Sc <sup>3+</sup> | 0,83          | 12,3    | 23,1  | —                    | —                                   | —                        |                   |
| Y <sup>3+</sup>  | 1,06          | —       | 18,1  | —                    | —                                   | —                        |                   |
| La <sup>3+</sup> | 1,22          | 3,3     | 15,5  | —                    | —                                   | —                        |                   |

Из данных таблицы видно, что комплексы кальция, стронция и бария с ионами гидроксидов, ЭДТА, нитрилтриуксусной, уксусной и молочной кислот тем прочнее, чем меньше радиус катиона. Аналогичные зависимости наблюдаются для комплексов щелочноземельных элементов со многими другими кислородсодержащими лигандами. В ряду скандий—иттрий—лантан изменение устойчивости также связано с размерами катионов-комплексобразователей.



Из данных табл. 37 следует, что при равных радиусах катионов-комплексобразователей устойчивость комплексов тем больше, чем больше заряд катиона. Так, радиусы ионов кальция и иттрия одинаковы, но устойчивость комплексов иттрия с ЭДТА значительно выше, чем комплекса кальция с этим же лигандом. Такие соотношения справедливы и для комплексов ЭДТА со стронцием и лантаном, катионы которых почти не различаются по размерам, но имеют неодинаковые заряды.

При разных зарядах и радиусах существует хорошая корреляция между величинами ионных потенциалов и устойчивостью комплексов, образованных катионами одинаковой электронной конфигурации, если даже они принадлежат к различным группам периодической системы (табл. 38).

Таблица 38

**Зависимость устойчивости гидрокомплексов  $Me(OH)_n$ , образованных катионами различного заряда и радиуса, от величины ионного потенциала**

| Ионы             | Ради-<br>ус,<br>Å | Заряд<br>$z$ | Ион-<br>ный потен-<br>циал<br>$\frac{z}{r}$ | $\lg K_{ст}$ | Ионы             | Ради-<br>ус,<br>Å | Заряд<br>$z$ | Ион-<br>ный потен-<br>циал<br>$\frac{z}{r}$ | $\lg K_{ст}$ |
|------------------|-------------------|--------------|---|--------------|------------------|-------------------|--------------|---|--------------|
| Li <sup>+</sup>  | 0,78              | 1            | 1,28  | 0,3          | Be <sup>2+</sup> | 0,34              | 2            | 5,90  | 7,0          |
| Ca <sup>2+</sup> | 1,06              | 2            | 1,89  | 1,5          | Al <sup>3+</sup> | 0,57              | 3            | 5,25  | 9,0          |
| Y <sup>3+</sup>  | 1,06              | 3            | 2,82  | 7,0          | Th <sup>4+</sup> | 1,10              | 4            | 3,62  | 10,0         |
| Th <sup>4+</sup> | 1,10              | 4            | 3,62  | 10,0         |                  |                   |              |   |              |

Из данных правой части таблицы следует, что при разных зарядах и радиусах ионов металлов устойчивость комплексов не всегда коррелируется с величинами ионных потенциалов; прочность гидроксокомплексов увеличивается в ряду бериллий — алюминий — торий несмотря на уменьшение ионного потенциала в этом ряду. Заряды ионов и устойчивость лучше коррелируются несмотря на различия в размерах ионов.

Для катионов с недостроенным  $d$ -подуровнем характерно образование комплексов двух типов. Одни из них, а именно двухзарядные катионы элементов четвертого периода, образуют обычные так называемые лабильные комплексы, у которых равновесие между частицами в растворе устанавливается очень быстро, как и у рассмотрен-



ных выше комплексов катионов с оболочкой типа инертного газа. Трехзарядные катионы платиновых металлов, хрома и кобальта часто образуют стабильные или инертные комплексы. Стабильность в данном случае — это не термодинамическая устойчивость, а кинетическая инертность, вследствие чего находящиеся в растворе комплексы существуют в неравновесном состоянии. Истинное равновесие устанавливается нередко очень медленно, в течение нескольких суток или месяцев. Поэтому константы стойкости комплексов этой группы металлов определены только для небольшого числа соединений, что затрудняет выяснение закономерностей устойчивости. В дальнейшем рассматриваются только комплексы элементов четвертого периода, а именно комплексы катионов марганца, железа, кобальта, никеля, меди и цинка. Катионы цинка имеют 18-электронную внешнюю оболочку, однако устойчивость его комплексов интересно сравнить с прочностью комплексов катионов предыдущих элементов.

Для катионов с недостроенной 18-электронной оболочкой в меньшей степени применимы простые электростатические представления, основанные на законе Кулона. Такие электронные оболочки при действии электроотрицательных лигандов деформируются значительно больше, чем 8-электронные оболочки катионов, и доля ковалентности химической связи металл—лиганд сильно возрастает. Изменение устойчивости комплексов элементов четвертого периода можно объяснить с позиций усовершенствованной электростатической теории, которая принимает во внимание не только чисто кулоновское взаимодействие между частицами, но и форму орбиталей *d*-электронов. Речь идет о теории кристаллического поля, созданной еще в 30-х годах этого столетия физиками Г. Бете и Ван-Флекум и позже примененной химиками для объяснения спектров поглощения и магнитных свойств комплексов переходных металлов.

Рассмотрим экспериментальные данные о константах стойкости комплексов переходных *d*-элементов.

В основном, устойчивость комплексов изменяется следующим образом:



Это так называемый ряд устойчивости Ирвинга — Вильямса. Приведенные в табл. 39 константы стойкости комплексов ( $\lg K_{\text{ст}}$ ) подтверждают указанную закономерность.



Таблица 39

Устойчивость комплексов MeA переходных элементов  
(ряд Ирвинга — Вильямса)

| Лиганды   | Ионы металлов    |                  |                  |                  |                  |                  |
|---|------------------|------------------|------------------|------------------|------------------|------------------|
|   | Mn <sup>2+</sup> | Fe <sup>2+</sup> | Co <sup>2+</sup> | Ni <sup>2+</sup> | Cu <sup>2+</sup> | Zn <sup>2+</sup> |
| OH <sup>-</sup>   | 3,3              | 3,9              | 4,4              | 4,6              | 6,5              | 4,4              |
| C <sub>2</sub> O <sub>4</sub> <sup>2-</sup>                     | 3,9              | 4,7              | 4,7              | 5,3              | 6,2              | 4,9              |
| NH <sub>3</sub>   | 0,8              | 1,4              | 2,1              | 2,8              | 4,2              | 2,4              |
| NH <sub>2</sub> CH <sub>2</sub> COO <sup>-</sup>                | 3,4              | —                | 5,2              | 5,9              | 8,4              | 5,5              |
| NH <sub>2</sub> CH <sub>2</sub> CH <sub>2</sub> NH <sub>2</sub> | 2,7              | 4,3              | 5,9              | 7,7              | 10,6             | 5,7              |
| ЭДТА  | 13,5             | 14,5             | 16,1             | 18,5             | 18,9             | 16,6             |
| CH <sub>3</sub> COSCH <sub>2</sub> COSCH <sub>3</sub>           | 4,2              | —                | 5,4              | 6,1              | 8,3              | 5,1              |

Из данных таблицы следует, что величины констант стойкости увеличиваются при переходе от марганца к железу, кобальту и никелю, достигают максимального значения у комплексов меди и снова уменьшаются при переходе от меди к цинку. Такие соотношения характерны и для комплексов этих металлов со многими другими лигандами.

Объяснить закономерности, выраженные рядом Ирвинга — Вильямса, можно с позиций теории кристаллического поля. Эта электростатическая теория не принимает во внимание особенности строения электронных оболочек лигандов, а рассматривает последние как точечные отрицательные заряды, располагающиеся в определенной геометрической конфигурации вокруг центрального катиона с положительным зарядом. В отличие от обычной электростатической теории, рассматривающей взаимодействие между частицами на основании закона Кулона, она учитывает энергетические изменения в системе, связанные с формой орбиталей *d*-электронов. Под этим термином обычно понимают геометрическую модель пространственных областей наиболее вероятного нахождения электронов.

После взаимодействия центрального иона с лигандами образовавшийся комплекс имеет меньший запас энергии, чем отдельно взятые компоненты. В соответствии с обычной электростатической теорией уменьшение энергии

$$\Delta E = - \frac{Nne^2}{r},$$

где *N* и *n* — заряды центрального иона и лигандов, *e* — заряд электрона, *r* — расстояние между центрами положительно и отрицательно заряженных частиц.



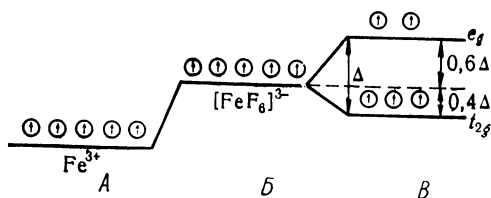


Рис. 13. Энергетические уровни  $d$ -электронов: ионов  $\text{Fe}^{3+}$  (А),  $[\text{FeF}_6]^{3-}$  (Б) и после расщепления кристаллическим полем (В).

Это уравнение не учитывает изменения энергии электронов центрального иона под влиянием сил отталкивания, возникающих между этими электронами и отрицательно заряженными лигандами. В результате отталкивания энергия  $d$ -электронов увеличивается. На рис. 13 в качестве примера горизонтальной чертой А показан энергетический уровень  $d$ -электронов свободного центрального иона  $\text{Fe}^{3+}$  до взаимодействия с лигандами, а горизонтальной чертой Б — этот же уровень после образования комплекса, например,  $[\text{FeF}_6]^{3-}$ .

В этой схеме не учтена форма  $d$ -орбиталей. Предполагается, что заряд  $d$ -электронов в комплексе равномерно распределен на поверхности сферы, представляющей катион центрального атома. В действительности отдельные электроны центрального иона в комплексе располагаются на различных энергетических уровнях. Известно, что орбитали  $d$ -электронов, или конфигурации электронных облаков, имеют форму, изображенную на рис. 14.

Без внешних воздействий (например, в свободном ионе металла) все орбитали являются вырожденными, т. е. они энергетически равноценны. Электроны на таких орбиталях имеют одинаковый запас энергии. Однако под влиянием

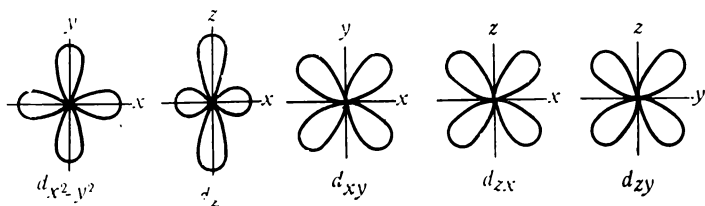


Рис. 14. Конфигурации электронных облаков  $d$ -электронов.



зарядов лигандов вырождение снимается, и электроны, занимающие различные  $d$ -орбитали, становятся в энергетическом отношении неравноценными. Одни из них характеризуются более высоким энергетическим уровнем, другие — более низким. Комплекс железа с шестью ионами фтора имеет октаэдрическую конфигурацию. Шесть лигандов занимают места в вершинах октаэдра, т. е. на осях координат  $x$ ,  $y$  и  $z$ , вдоль которых вытянуты электронные облака  $d_{x^2-y^2}$  и  $d_{z^2}$ . Энергия электронов, находящихся на этих орбиталях, возрастает по сравнению с энергией, которую имели бы эти электроны в комплексе, если бы их заряд был распределен равномерно на поверхности сферы (уровень  $B$ ; см. рис. 13). Наоборот, энергия  $d_{xy}$ -,  $d_{zx}$ - и  $d_{zy}$ -электронов уменьшается по сравнению с энергией, показанной на рис. 13 уровнем  $B$ , так как их электронные облака находятся в пространстве между осями координат и испытывают меньшее отталкивание под влиянием отрицательно заряженных лигандов — фторид-ионов. Вследствие этого энергетический уровень  $B$  (заряд электронов равномерно распределен на поверхности сферы) расщепляется на два подуровня, один из которых (более низкий) занимают электроны с конфигурацией  $d_{xy}$ ,  $d_{xz}$  и  $d_{zy}$ , а другой (более высокий) занимают электроны с конфигурацией  $d_{x^2-y^2}$  и  $d_{z^2}$  (уровень  $B$ ; см. рис. 13). Более высокий и более низкий энергетические уровни принято обозначать символами  $e_g$  и  $t_{2g}$ .

Согласно теории химической связи, если разность уровней  $e_g$  и  $t_{2g}$  обозначить как  $\Delta$ , то  $e_g$ -уровень будет расположен на  $0,6\Delta$  выше, а  $t_{2g}$ -уровень — на  $0,4\Delta$  ниже, чем гипотетический уровень  $d$ -электронов, расположенных на поверхности сферы ( $B$ -уровень). Переход электронов на уровни  $e_g$  и  $t_{2g}$  под влиянием взаимодействия с лигандами называется *расщеплением кристаллическим полем*, а величина  $0,4\Delta$  — *энергией стабилизации кристаллическим полем*.

В рассмотренном примере расщепление кристаллическим полем не приводит к какому-либо выигрышу энергии. Выигрыш энергии при переходе трех электронов на уровень  $t_{2g}$  составляет  $0,4\Delta \cdot 3 = 1,2\Delta$ . Однако проигрыш энергии вследствие перехода двух электронов на уровень  $e_g$  равен также  $0,6\Delta \cdot 2 = 1,2\Delta$ , т. е. эти противоположные эффекты компенсируются. Так бывает не всегда. В табл. 40 сведены данные об энергии стабилизации кристаллическим полем октаэдрических комплексов катионов элементов четвертого периода.



Таблица 40

**Энергия стабилизации кристаллическим полем комплексов переходных металлов**

| Катионы                                      | Mn <sup>2+</sup> | Fe <sup>2+</sup> | Co <sup>2+</sup> | Ni <sup>2+</sup> | Cu <sup>2+</sup> | Zn <sup>2+</sup> |
|--|------------------|------------------|------------------|------------------|------------------|------------------|
| Количество <i>d</i> -электронов              | 5                | 6                | 7                | 8                | 9                | 10               |
| Энергетический уровень <i>e<sub>g</sub></i>  |                  |                  |                  |                  |                  |                  |
| Энергетический уровень <i>t<sub>2g</sub></i> |                  |                  |                  |                  |                  |                  |
| Энергия стабилизации                         | 0                | 0,4              | 0,8              | 1,2              | 0,6              | 0                |

На каждой *d*-орбитали может расположиться не более двух электронов с противоположными спинами. Заполнение орбиталей электронами происходит в соответствии с правилом Гунда: для электронов энергетически выгоднее занимать свободные орбитали, чем орбитали, занятые электронами. Однако, если отрицательно заряженные лиганды создают сильное поле, последовательность размещения может быть иной.

Из данных табл. 40 следует, что энергия стабилизации максимальна у никеля и уменьшается в обе стороны от него, т. е. комплексы никеля должны быть прочнее, чем комплексы марганца, железа и кобальта, а также меди и цинка. Однако наиболее прочные комплексы образует медь (см. табл. 39), что объясняется искажением октаэдрической структуры комплексов меди. Выводы из данных табл. 39 основаны на предположении, что все комплексы имеют строго октаэдрическую конфигурацию, т. е. лиганды расположены в вершинах октаэдра, совпадающих с электронными орбиталями  $d_{x^2-y^2}$  и  $d_{z^2}$ , которые вытянуты вдоль осей координат.

Для третьей группы катионов (во внешней электронной оболочке находится 18 или  $18 + 2$  электронов) характерны иные зависимости. Большое число электронов во внешней оболочке способствует их сравнительно легкой деформируемости и поляризуемости. Жесткость электронной оболочки не так велика, как у катионов первой группы. В комплексах третьей группы катионов преобладает ковалентная



связь, осуществляемая парой электронов, находящихся в совместном владении катиона металла и лиганда. Поэтому во многих случаях изменение устойчивости комплексов катионов элементов одной и той же группы периодической системы хорошо коррелируется со способностью этих катионов к образованию ковалентной связи. С количественной стороны способность к образованию ковалентных связей можно характеризовать величиной *ковалентной характеристики*, предложенной К. Б. Яцимирским для объяснения растворимости некоторых малорастворимых соединений. Как уже указывалось (§ 25), ковалентная характеристика представляет собой разность между энергией ионизации атома и теплотой гидратации образующегося иона. Чем больше энергия ионизации, тем больше энергии выделяется при обратном процессе — присоединении к иону электронов, которые отдает лиганд при образовании комплексного иона. С другой стороны, чем меньше теплота гидратации, тем меньше энергии необходимо затратить на дегидратацию иона и тем легче лиганду вытеснить воду из внутренней сферы иона металла и соединиться с ним.

Несмотря на преобладание ковалентной связи в комплексах катионов третьей группы имеют значение также факторы, определяющие прочность комплексов с преимущественно электростатическим характером связи, в частности заряды и радиусы частиц. Поэтому ярко выраженной зависимости от какой-либо одной из названных характеристик обычно не наблюдается.

В табл. 41 сопоставляется устойчивость комплексов ( $\lg K_{ст.}$ ) некоторых катионов третьей группы.

Таблица 41

**Устойчивость комплексов MeA и ковалентная характеристика**

| Ионы             | $r_K$ | $k \cdot 4,19,$<br>кДж/моль | $\lg K_{ст.}$ |      |      |      |      |
|------------------|-------|-----------------------------|---------------|------|------|------|------|
|                  |       |                             | F—            | Cl—  | I—   | ЭДТА | ОН—  |
| Zn <sup>2+</sup> | 0,83  | 135                         | —             | —0,2 | —1,3 | 16,5 | 4,4  |
| Cd <sup>2+</sup> | 1,03  | 159                         | —             | 1,3  | 2,3  | 16,5 | 2,3  |
| Hg <sup>2+</sup> | 1,12  | 228                         | —             | 5,3  | 12,9 | 21,8 | 10,3 |
| Ga <sup>3+</sup> | 0,62  | 219                         | 5,1           | —    | —    | 20,3 | 10,6 |
| In <sup>3+</sup> | 0,81  | 226                         | 3,7           | —    | —    | 24,9 | 10,3 |



Из данных таблицы следует, что устойчивость комплексов цинка, кадмия и ртути с хлорид-, иодид-ионами и ЭДТА, а также комплексов галлия и индия с ЭДТА хорошо согласуется с величиной ковалентной характеристики. Несмотря на увеличение радиусов катионов устойчивость комплексов возрастает. Это показывает, что степень ковалентности связи имеет большее значение, чем размеры ионов. Однако устойчивость гидроксокомплексов не подчиняется уже сформулированному правилу. Прочность фторидных комплексов галлия и индия также изменяется в обратной последовательности, т. е. определяется в большей степени размерами ионов, чем ковалентной характеристикой.

### **§ 36. Зависимость устойчивости комплексов в растворах от свойств лигандов**

В предыдущем параграфе было рассмотрено влияние свойств катионов-комплексобразователей на устойчивость комплексных соединений. Большую роль играют также свойства лигандов, вступающих во взаимодействие с ионами металлов. Из многих свойств лигандов можно выделить основные, от которых в значительной степени зависит прочность комплексов: 1) размеры лигандов и способность к образованию ковалентных связей; 2) положение донорного атома лиганда в периодической системе; 3) способность к образованию замкнутых циклов — хелатный эффект; 4) стерические факторы.

Донорными атомами у лигандов бывают чаще всего атомы

|    |    |    |
|----|----|----|
| N  | O  | F  |
| P  | S  | Cl |
| As | Se | Br |
| Sb | Te | I  |

Чаще всего приходится иметь дело с галогенидными комплексами и с комплексами лигандов, содержащих донорно-активные атомы кислорода, серы и азота.

1. Размеры лигандов и способность к образованию ковалентных связей. Влияние этих факторов наиболее ярко проявляется у галогенидных комплексов металлов, однако однозначной зависимости устойчивости комплексов от названных факторов не существует. Кроме того, имеет



значение то, с каким металлом образуется галогенидный комплекс.

Для комплексов катионов металлов первой группы (во внешней электронной оболочке находится 2 или 8 электронов) и для некоторых переходных металлов (с недостроенным *d*-подуровнем) основным фактором являются размеры лигандов. Фторидные комплексы прочнее, чем хлоридные, а хлоридные прочнее бромидных и иодидных. Так, бериллий, магний, алюминий, лантан, цирконий образуют прочные фторидные комплексы (логарифмы констант стойкости равны соответственно 4,3; 1,3; 6,1; 2,8; 8,8); устойчивость же комплексов названных элементов с хлорид-, бромид- и иодид-ионами невелика или они вообще не образуются. Из переходных металлов такая же закономерность наблюдается, например, для железа и марганца: устойчивость фторидных, хлоридных и бромидных комплексов этих металлов характеризуется соответственно числами 5,3; 1,5 и —0,3 (железо), а также 5,5 и 0,96 (марганец).

Катионы металлов третьей группы с количеством электронов на внешней оболочке, равным 18 или  $18 + 2$ , склонны образовывать комплексы с преимущественно ковалентной связью. Поэтому здесь преобладающей является ковалентная характеристика, а также способность галогенид-ионов к потере электронов, наиболее ярко выраженная у иодид-ионов. Поэтому иодидные комплексы прочнее бромидных и хлоридных, а фторидные комплексы наименее прочны или вообще не существуют. Известны случаи обратной последовательности (табл. 42).

Таблица 42

Влияние ковалентности связи и размеров лигандов на прочность комплексов  $MeX$  (приведены  $\lg K_{ст.}$ )

| Ионы   | $Cd^{2+}$ | $Hg^{2+}$ | $Bi^{3+}$ | $Zn^{2+}$ | $In^{3+}$ | $Sn^{2+}$ |
|--------|-----------|-----------|-----------|-----------|-----------|-----------|
| $F^-$  | —         | —         | —         | —         | 3,7       | —         |
| $Cl^-$ | 1,3       | 5,3       | 2,5       | —0,25     | 1,4       | 1,1       |
| $Br^-$ | 1,7       | 9,1       | 4,3       | —0,6      | 1,1       | 0,7       |
| $I^-$  | 2,3       | 12,8      |           | —1,3      | 0,3       |           |

Из данных табл. 42 следует, что катионы кадмия, ртути и висмута (элементов, в наибольшей степени склонных к образованию ковалентных связей) дают самые прочные



иодидные комплексы. Однако для катионов цинка, индия и олова в большей степени проявляется зависимость от размеров лигандов — в этой группе прочнее всего фторидные комплексы, а наименее устойчивы иодидные.

2. Лиганды, содержащие донорно-активные атомы кислорода, серы и азота, чаще всего принадлежат к органическим реагентам, образующим хелатные или внутрикомплексные соединения. Свойства таких лигандов рассматриваются подробнее в последующих параграфах.

Однако можно указать на следующую закономерность. Для катионов металлов с электронной оболочкой типа инертного газа (2 или 8 электронов) комплексы с кислородсодержащими лигандами обычно более устойчивы, чем комплексы, содержащие лиганды с донорными атомами серы. Наоборот, катионы металлов, на электронной оболочке которых 18 или  $18 + 2$  электронов, дают более устойчивые комплексы с серусодержащими лигандами, чем комплексы, образованные лигандами с донорными атомами кислорода.

3. Хелатный эффект. Хелаты металлов (комплексы с замкнутыми циклами) устойчивее, чем комплексы с аналогичными монодентатными лигандами. Это явление получило название *хелатного эффекта*. Так, аммиачные комплексы металлов менее устойчивы, чем комплексы этих же металлов с этилендиамином, несмотря на то, что координированные частицы содержат одинаковое число атомов азота, присоединенных к металлу. Хелатный эффект подтверждается данными табл. 43.

Две молекулы аммиака по количеству донорных атомов азота равноценны одной молекуле этилендиамина, но устойчивость комплексов разная.

Известно, что константы стойкости связаны с изменением свободной энергии реакции комплексообразования уравнением

$$\Delta G_0 = -RT \ln K.$$

Таблица 43

Устойчивость аммиачных и этилендиаминных комплексов никеля (en — этилендиамин)

| Комплекс                          | lg $\beta$ | Комплекс                        | lg $\beta$ |
|-----------------------------------|------------|---------------------------------|------------|
| $[\text{Ni}(\text{NH}_3)_2]^{2+}$ | 5,0        | $[\text{Nien}]^{2+}$            | 7,5        |
| $[\text{Ni}(\text{NH}_3)_4]^{2+}$ | 7,9        | $[\text{Ni}(\text{en})_2]^{2+}$ | 13,9       |
| $[\text{Ni}(\text{NH}_3)_6]^{2+}$ | 8,6        | $[\text{Ni}(\text{en})_3]^{2+}$ | 18,3       |



Из термодинамики известно следующее уравнение:

$$\Delta G = \Delta H - T\Delta S,$$

где  $H$  — энтальпия, или теплота, поглощенная при изобарическом процессе,  $S$  — энтропия.

Сопоставляя оба уравнения, можно записать:

$$RT \ln K = Q + T \Delta S,$$

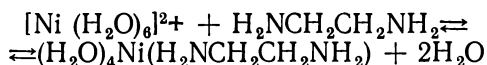
где  $Q$  — тепловой эффект реакции при постоянном давлении. Комплекс тем более устойчив, чем больше тепловой эффект реакции и чем больше изменение энтропии.

По тепловому эффекту реакции присоединение двух молекул аммиака приблизительно равноценно присоединению одной молекулы этилендиамина. Однако из данных табл. 43 следует, что устойчивость комплексов никеля с аммиаком и этилендиамином различна, причина этого заключается в неодинаковом изменении энтропии в обоих случаях. Действительно, энтропия характеризует степень упорядоченности системы, которая зависит от общего количества частиц в этой системе. При координировании двух молекул аммиака проходит реакция



т. е. количество частиц в системе не увеличивается.

Реакция



сопровождается увеличением числа частиц в системе, что приводит к большему ее беспорядку и соответственно к большему увеличению энтропии, чем в случае аммиачных комплексов никеля.

Объяснить хелатный эффект (большее возрастание энтропийного члена при координировании одного бидентатного лиганда по сравнению с двумя монодентатными) можно иначе, основываясь на том, что энтропия является мерой вероятности состояния системы, она возрастает при переходе системы из менее вероятного состояния в более вероятное. Замыкание цикла при координировании бидентатного лиганда происходит в две стадии. Сначала бидентатный лиганд присоединяется к иону металла посредством одного донорного атома. Более вероятно, что вместо присоединения второго лиганда цикл будет замыкаться, что



обусловлено присоединением к иону металла второго донорного атома той же молекулы лиганда. Вероятность второй стадии больше, так как второй донорный атом закрепленного одним концом лиганда свободен меньше, чем незакрепленного, и находится значительно ближе к иону металла, чем незакрепленные молекулы лигандов, находящиеся в растворе. Большая вероятность процесса обуславливает большее возрастание энтропии, а следовательно, и образование более прочного комплекса.

Устойчивость хелатов зависит также от количества атомов в цикле. Наиболее устойчивы пятичленные циклы; комплексы с меньшим или большим числом

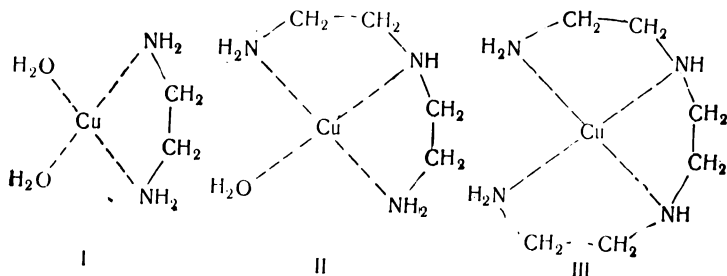
Таблица 44

Влияние количества атомов в цикле на устойчивость комплексов (*pn*-пропилендиамин)

| Комплексы                       | $\lg \beta$ | Комплексы                       | $\lg \beta$ |
|---------------------------------|-------------|---------------------------------|-------------|
| $[\text{Cu}(\text{en})]^{2+}$   | 10,7        | $[\text{Cu}(\text{pn})]^{2+}$   | 10,0        |
| $[\text{Cu}(\text{en})_2]^{2+}$ | 20,0        | $[\text{Cu}(\text{pn})_2]^{2+}$ | 17,2        |

атомов в кольце характеризуются меньшей прочностью. Например, у комплекса меди с этилендиамином  $\text{H}_2\text{NCH}_2\text{CH}_2\text{NH}_2$  в цикле находится пять атомов (вместе с атомом металла), а с пропилендиамином  $\text{H}_2\text{NCH}_2\text{CH}_2\text{CH}_2\text{NH}_2$  — шесть. В соответствии с этим устойчивость комплексов с этилендиамином выше, чем с пропилендиамином. Влияние количества атомов в цикле на устойчивость комплексов видно из данных табл. 44.

На устойчивость циклов влияет также их количество: возрастание числа циклов приводит к увеличению прочности. Приведем в качестве примера комплексы меди с этилендиамином  $\text{H}_2\text{NCH}_2\text{CH}_2\text{NH}_2$  (I), диэтилентриамином  $\text{H}_2\text{NCH}_2\text{CH}_2\text{NHCH}_2\text{CH}_2\text{NH}_2$  (II) и триэтилететраамином  $\text{H}_2\text{NCH}_2\text{CH}_2\text{NHCH}_2\text{CH}_2\text{NHCH}_2\text{CH}_2\text{NH}_2$  (III):





Во всех трех случаях медь координирует по одному лиганду, но-этилендиамин присоединяется к меди двумя атомами азота, образуя один пятичленный цикл; диэтилентриамин координируется тремя атомами азота, образуя два пятичленных цикла, а триэтилететрамин связан с медью четырьмя атомами азота и замыкает три пятичленных цикла. В соответствии с этим наиболее устойчив комплекс (III), а наименее — комплекс (I). Их прочность характеризуется такими значениями констант стойкости: 10,72 (I); 15,9 (II); 20,5 (III).

4. Стерические факторы. Введение в молекулу лиганда радикалов большого объема нередко затрудняет координирование лиганда и уменьшает прочность комплекса. Так, этилендиамин образует с металлами более устойчивые комплексы, чем тетраметилэтилендиамин  $(\text{CH}_3)_2\text{NCH}_2\text{CH}_2\text{N}(\text{CH}_3)_2$ . Метильные радикалы создают стерические затруднения и ослабляют связь атомов азота с ионом металла.

### **§ 37. Принцип жестких и мягких кислот и оснований (ЖМКО)**

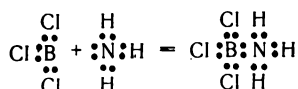
Как было сказано (§ 14), теории кислот и оснований можно разделить на две группы. К одной из них относятся протонные теории, согласно которым принимают, что кислотные свойства соединений обусловлены ионами (атомами) водорода, входящими в их состав. Другая группа теорий — это так называемые апротонные теории. Они не связывают кислотно-основные свойства с обязательным присутствием водорода и утверждают, что такие свойства присущи любым катионам или анионам. Это теории Усановича и Льюиса. Теорию Льюиса и ее дальнейшее развитие целесообразно рассмотреть более подробно.

По Льюису, кислотно-основные процессы могут проходить и без участия ионов водорода или ионов гидроксила. К таким процессам относятся все реакции с перераспределением электронов между взаимодействующими частицами. Действительно, все кислотно-основные реакции характеризуются обменом электронов. Так, вода — это соединение, в котором связь между кислородом и водородом осуществляется парой электронов, находящихся в совместном владении атомов названных элементов. При диссоциации воды образуются ионы водорода и гидроксила, причем, водород, отщепляющийся от молекулы воды, теряет электрон, а группа ОН его приобретает.



При диссоциации слабой кислоты, например уксусной, проходит аналогичный процесс. В молекуле уксусной кислоты водород связан с кислородом карбоксильной группы ковалентной связью — парой электронов, которая находится в совместном владении атомов кислорода и водорода. Диссоциация связана с полной потерей электрона атомом водорода и превращением его в протон (точнее, в ион гидроксония  $\text{H}_3\text{O}^+$ ) и полным переходом этого электрона к кислороду карбоксильной группы.

Таким образом, любое кислотно-основное взаимодействие можно рассматривать как процесс, в результате которого происходит перераспределение электронов между частицами, участвующими в данной реакции. Это дало основание Г. Льюису обобщить понятие о кислотах и основаниях для тех случаев, когда равновесие не связано с участием водородных или гидроксильных ионов. По Льюису, кислота — это частица (ион или молекула), являющаяся акцептором пары электронов, а основание — частица (ион или молекула), являющаяся донором пары электронов. Поэтому аммиак следует рассматривать (как и в протонной теории кислот и оснований) как основание — азот молекулы аммиака имеет свободную электронную пару, которая обобщается при взаимодействии аммиака с какой-либо другой частицей, например, с хлоридом бора:



В этой реакции  $\text{BCl}_3$  рассматривается как кислота, потому что хлорид бора приобретает в совместное владение с азотом аммиака пару электронов. В образовавшемся соединении оба реагирующих атома (бор и азот) имеют на внешних электронных оболочках по восемь электронов, т. е. приобретают устойчивую электронную конфигурацию типа инертного газа.

В соответствии с теорией Льюиса к классу кислот относятся катионы металлов, ион водорода, а также атомы металлов, свободные галогены и другие частицы, способные быть акцепторами электронов. Класс оснований включает, кроме ионов гидроксила, также анионы кислот, аммиак, органические амины и другие частицы, способные быть донорами электронов.



Теория Льюиса получила дальнейшее развитие в работах Пирсона, предложившего различать в классах кислот и оснований жесткие кислоты и жесткие основания. По Пирсону, жесткие кислоты характеризуются следующими признаками: они трудно поляризуются, имеют большой положительный заряд или высокое состояние окисления, малый радиус и образуют с основаниями соединения, у которых преимущественно ионный тип связи. Жесткие кислоты, как правило, не имеют неподеленной пары валентных электронов. Мягкие кислоты характеризуются противоположными признаками: они легко поляризуются, имеют небольшой положительный заряд или низкую степень окисления, большие размеры. Преобладающий тип связи с основаниями — ковалентный. В своей валентной оболочке они содержат неподеленные пары электронов (*p*- или *d*-электроны).

Признаки мягких и жестких оснований противоположны признакам, характерным для кислот. Так, жесткие основания плохо поляризуются, имеют большой отрицательный заряд, высокую электроотрицательность, малые размеры и дают с кислотами соединения с ионным типом связи. Мягкие основания имеют противоположные признаки.

Перечислим некоторые жесткие и мягкие кислоты и основания.

Жесткие кислоты:  $H^+$ ,  $Li^+$ ,  $Na^+$ ,  $K^+$ ,  $Be^{2+}$ ,  $Mg^{2+}$ ,  $Ca^{2+}$ ,  $Sr^{2+}$ ,  $Mn^{2+}$ ,  $Al^{3+}$ ,  $Sc^{3+}$ ,  $Ga^{3+}$ ,  $In^{3+}$ ,  $La^{3+}$ ,  $Cr^{3+}$ ,  $Co^{3+}$ ,  $Fe^{3+}$ ,  $Ti^{4+}$ ,  $Zr^{4+}$ ,  $Hf^{4+}$ ,  $Sn^{4+}$ ,  $Th^{4+}$ .

Мягкие кислоты:  $Cu^+$ ,  $Ag^+$ ,  $Au^+$ ,  $Tl^+$ ,  $Hg^+$ ,  $Pd^{2+}$ ,  $Cd^{2+}$ ,  $Hg^{2+}$ ,  $Pt^{4+}$ ,  $Tl^{3+}$ ,  $BH_3$ ,  $I^+$ ,  $Br^+$ ,  $I_2$ ,  $Br_2$ .

Промежуточное положение между жесткими и мягкими кислотами занимают следующие частицы:  $Fe^{2+}$ ,  $Co^{2+}$ ,  $Ni^{2+}$ ,  $Cu^{2+}$ ,  $Zn^{2+}$ ,  $Sn^{2+}$ ,  $Sb^{3+}$ ,  $Bi^{3+}$ ,  $Ir^{3+}$ ,  $SO_2$ ,  $Os^{2+}$  и др.

Жесткие основания:  $H_2O$ ,  $OH^-$ ,  $F^-$ ,  $CH_3COO^-$ ,  $PO_4^{3-}$ ,  $SO_4^{2-}$ ,  $Cl^-$ ,  $CO_3^{2-}$ ,  $ClO_4^-$ ,  $NO_3^-$ ,  $NH_3$ ,  $RNH_2$ ,  $N_2H_4$ .

Мягкие основания:  $R_2S$ ,  $RHS$ ,  $I^-$ ,  $SCN^-$ ,  $S_2O_3^{2-}$ ,  $CN^-$ ,  $CO$ .

Промежуточными свойствами характеризуются основания  $C_6H_5NH_2$ ,  $Br^-$ ,  $NO_2^-$ ,  $SO_3^{2-}$ ,  $N_2$  и др.

Концепция жестких и мягких кислот и оснований — это качественная концепция. Жесткость и мягкость определяются, как это видно из сказанного, многими факторами, поэтому не всегда можно установить четкие количествен-

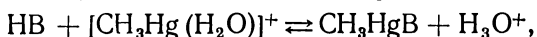


ные критерии этих терминов. Если бы была известна стабильность всех возможных соединений, образованных в результате многочисленных сочетаний самых разнообразных льюисовских кислот и оснований, принцип ЖМКО утратил бы свое значение и был бы излишним. Однако поскольку определить устойчивость соединений (константы стойкости) не всегда легко и просто, возникает необходимость в приблизительном качественном правиле, позволяющем предвидеть возможность взаимодействия между различными кислотами и основаниями и качественно оценить относительную стабильность образующихся соединений. Такое правило дает принцип ЖМКО; его формулируют следующим образом:

*жесткие кислоты в основном связываются с жесткими основаниями, а мягкие кислоты — с мягкими основаниями.*

Это правило имеет свое обоснование в теории химической связи. Однако выведено оно как обобщение многочисленных известных фактов и экспериментальных данных. Очень важно установить ряды относительной мягкости или жесткости кислот и оснований. Тогда можно было бы предсказать вероятность образования стабильных соединений между отдельными кислотами и основаниями. Так, зная эти ряды, например, для десяти кислот и десяти оснований, можно было бы прогнозировать стабильность соединений, образованных при их сочетании.

Принцип, который лежит в основе размещения кислот и оснований в ряды по возрастающей или убывающей жесткости или мягкости, можно объяснить на следующем примере. Выбирают две эталонные кислоты с противоположными свойствами, одну из них (например, ион водорода) принимают за эталон жесткости, а другую (например, катион метилртути  $\text{CH}_3\text{Hg}^+$ ) считают эталоном мягкости. Чтобы знать относительную степень жесткости различных оснований, определяют константы равновесия реакции



где В — основания различной химической природы.

Если равновесие данной реакции сдвинуто практически полностью вправо, т. е. константа равновесия велика, то основание В является мягким, так как склонно соединяться с мягкой кислотой  $\text{CH}_3\text{Hg}^+$  и почти не связываться с жесткой  $\text{H}^+$ . Наоборот, если реакция практически не проходит, т. е. основание В остается связанным с жесткой кислотой  $\text{H}^+$ , концентрация  $\text{CH}_3\text{HgB}$ , а следовательно,



и константа равновесия реакции очень малы, то можно сделать вывод, что основание является жестким, практически не реагирующим с мягкой кислотой.

В табл. 45 приведены некоторые константы равновесия.

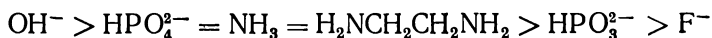
Таблица 45

Константы равновесия в воде при 25° С для реакции  
 $\text{HB} + [\text{CH}_3\text{Hg}(\text{H}_2\text{O})]^+ = \text{CH}_3\text{HgB} + \text{H}_3\text{O}^+$

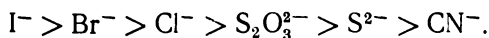
| Основание           | $\lg K_{\text{равн}}$ | Основание                                      | $\lg K_{\text{равн}}$ |
|---------------------|-----------------------|--|-----------------------|
| $\text{F}^-$        | -1,35                 | $\text{S}^{2-}$                                | 7,0                   |
| $\text{Cl}^-$       | 12,25                 | $\text{SCN}^-$                                 | 6,7                   |
| $\text{Br}^-$       | 15,62                 | $\text{SO}_3^{2-}$                             | 1,3                   |
| $\text{I}^-$        | 18,1                  | $\text{S}_2\text{O}_3^{2-}$                    | 9,0                   |
| $\text{OH}^-$       | -6,3                  | $\text{NH}_3$                                  | -1,8                  |
| $\text{HPO}_4^{2-}$ | -1,8                  | $\text{H}_2\text{NCH}_2\text{CH}_2\text{NH}_2$ | -1,8                  |
| $\text{HPO}_3^{2-}$ | -1,6                  | $\text{CN}^-$                                  | 5,0                   |

Из данных таблицы следует, что основания с отрицательными значениями  $\lg K_{\text{равн}}$  нужно отнести к жестким, а основания с положительными значениями  $\lg K_{\text{равн}}$  — к мягким основаниям.

В пределах этих двух групп основания можно расположить в ряды, например, в порядке увеличения жесткости:

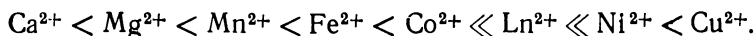


и в порядке увеличения мягкости:



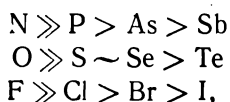
Из данных, приведенных в таблице, видно, что основания с донорными атомами N, O или F являются жесткими и преимущественно координируются с жесткой кислотой (протоном). Основания же, содержащие  $\text{S}^{2-}$ ,  $\text{I}^-$ ,  $\text{Br}^-$  или  $\text{Cl}^-$ , следует рассматривать как мягкие, так как они в основном связываются с мягкой кислотой  $\text{CH}_3\text{Hg}^+$ .

Аналогичным способом можно расположить в ряд кислоты. Так, по возрастающей степени мягкости некоторые кислоты располагаются следующим образом:



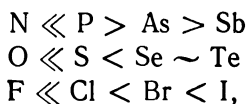


Жесткие кислоты координируются с основаниями, содержащими разные донорные атомы, в такой последовательности:



т. е. жесткие кислоты образуют более прочные комплексы с лигандами, содержащими донорные атомы азота, чем с лигандами, содержащими донорные атомы фосфора, мышьяка или сурьмы. Аналогичные зависимости наблюдаются и в приведенных рядах с донорными атомами шестой и седьмой групп периодической системы.

Мягкие же кислоты в основном координируются с донорными атомами в такой последовательности:



т. е. наиболее прочные комплексы с лигандами, содержащими донорные атомы верхнего ряда, образуются с фосфорсодержащими лигандами. Серусодержащие лиганды образуют с мягкими кислотами более прочные комплексы, чем кислородсодержащие. Фторидные комплексы мягких кислот оказываются наименее прочными по сравнению с хлоридными, бромидными и иодидными.

Концепция ЖМКО во многом сходна с рассмотренными в предыдущих параграфах положениями о зависимости устойчивости комплексов от свойств катионов-комплексобразователей и лигандов. Жесткие кислоты — это преимущественно катионы класса «а», или катионы с электронной конфигурацией типа инертного газа. К классу мягких кислот относятся катионы с 18-электронной внешней оболочкой или катионы с недостроенным *d*-подуровнем.

Ряды прочности, например, галогенидных комплексов, найденные на основании принципа ЖМКО, согласуются с такими же рядами, установленными на основании рассмотрения размеров этих анионов и их способности к образованию ковалентных связей.

Таким образом, оба подхода к оценке устойчивости комплексов приводят к практически одинаковым выводам.



## **Список литературы**

Ба б к о А. К. Физико-химический анализ комплексных соединений в растворах. К., Изд-во АН УССР, 1955.

Бек М. Химия равновесий реакций комплексообразования. М., «Мир», 1973.

Пирсон Р. Дж. Жесткие и мягкие кислоты и основания. «Успехи химии», 1971, т. 11, с. 1199.

Умланд Ф., Янсен А., Тириг Д., Вюнш Г. Комплексные соединения в аналитической химии. М., «Мир», 1975.

## **Глава 7. МЕТОДЫ ОПРЕДЕЛЕНИЯ СОСТАВА И УСТОЙЧИВОСТИ КОМПЛЕКСОВ В РАСТВОРАХ**

### **§ 38. Ступенчатая диссоциация комплексов. Соотношения между ступенчатыми константами нестойкости**

Ранее были рассмотрены схемы ступенчатого образования и диссоциации комплексов (см. § 34). Этот процесс характерен для всех комплексных соединений, содержащих во внутренней сфере несколько одинаковых или различных лигандов. Нередко комплексы образуются сочетанием центрального иона и одного лиганда; это бывает при очень малой прочности связи между реагирующими частицами. Такие комплексы используются в анализе редко. Исключением являются комплексы металлов с этилендиаминтетрауксусной кислотой и некоторыми другими лигандами сходной химической природы.

Экспериментальные методы определения ступенчатых констант нестойкости имеют большое значение для характеристики прочности таких соединений и описания равновесий между отдельными формами комплексов. Однако существуют методы и теоретического расчета ступенчатых констант нестойкости, применение которых нередко облегчает решение поставленной задачи.

Основными факторами, определяющими способность комплексов к ступенчатой диссоциации, являются: электростатические и статистические факторы; конфигурация электронных оболочек центрального иона комплекса; геометрическое расположение лигандов вокруг центрального атома; стерические факторы.

*Электростатические факторы.* Рассмотрим ступенчатое образование комплексов с преобладающим типом ионной связи. В этом случае можно принять, что центральный ион и лиганды представляют жесткие шарики, в центре



которых сконцентрированы положительные или отрицательные заряды. Между центральным ионом и лигандами существуют силы электростатического взаимодействия, описываемые законом Кулона. Центральный ион и лиганды притягиваются друг к другу, а одноименно заряженные лиганды отталкиваются. Каждый последующий лиганд должен быть связан в комплексе менее прочно, чем предыдущий вследствие их расталкивания. В соответствии с этим последовательность ступенчатых констант нестойкости такова:

$$K_1 < K_2 < K_3 < \dots < K_n,$$

где  $K_1 = \frac{[Me][A]}{[MeA]}$ ,  $K_2 = \frac{[MeA][A]}{[MeA_2]}$  и. т. д.

Количественные соотношения между ступенчатыми константами нестойкости можно найти следующим образом. Ранее было показано (см. § 1), что потенциальная энергия образования какого-либо комплекса описывается уравнением

$$E = \frac{e^2 g}{rD} (-KNn + a_K n^2), \quad (1)$$

где  $e$  — заряд электрона,  $g$  — число Авогадро,  $r$  — расстояние между центрами центрального иона и лигандов,  $D$  — диэлектрическая проницаемость растворителя,  $K$  — количество координированных лигандов,  $N$  — заряд центрального иона,  $n$  — заряд лиганда,  $a_K$  — коэффициент, величина которого зависит от количества и геометрической конфигурации координированных лигандов. Выражение в скобках называется косселевским коэффициентом и может быть вычислено по способу, рассмотренному в § 1. Значения косселевских коэффициентов для комплексов различного состава были помещены в табл. 1.

Обозначим выражение в скобках (косселевский коэффициент) буквой  $p$ . Предположим, что какая-либо комплексная форма переходит из состояния, характеризующегося значением косселевского коэффициента  $p_1$ , в состояние со значением этого коэффициента  $p_2$ . Иными словами, предположим, что какой-либо комплекс  $MeA_n$  присоединяет еще один лиганд и превращается в комплекс  $MeA_{n+1}$ . Изменение потенциальной энергии в таком процессе

$$\Delta E = \frac{e^2 g}{rD} (p_2 - p_1). \quad (2)$$

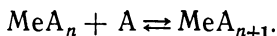


С другой стороны, известно, что изменение свободной энергии при образовании комплекса

$$\Delta G_0 = RT \ln K_N, \quad (3)$$

где  $K_N$  — константа нестойкости комплекса.

Оба уравнения описывают изменение энергии при реакции



Поэтому правые части уравнений (2) и (3) равны:

$$\frac{e^2 g}{rD} (p_2 - p_1) = RT \ln K_N. \quad (4)$$

Казалось бы, что по уравнению (4) можно вычислить константу нестойкости комплекса, если известно расстояние между ионами, которое равно сумме радиусов катиона и лиганда, так как остальные величины в уравнении (4) также известны. Однако следует помнить, что уравнение (4) выведено в предположении, что комплекс образовался в результате взаимодействия ионов, представляющих жесткие шарики, при отсутствии явления поляризации, деформации электронных оболочек, причем ковалентный тип связи не принимался во внимание.

Для вычисления абсолютных значений констант нестойкости уравнение (4) применять нельзя, что подтверждается следующим примером. Радиусы ионов стронция и ртути (II) практически одинаковы. Отсюда следует, что хлоридные комплексы стронция и ртути одного и того же состава должны иметь одинаковые константы нестойкости, так как остальные параметры уравнения (4) для них одинаковы. Однако известно, что ртуть образует прочные хлоридные комплексы, а хлорид стронция в водном растворе полностью диссоциирован.

Следовательно, уравнение (4) нельзя применять для вычисления абсолютных значений констант нестойкости. А. К. Бабко предложил использовать уравнение (4) для вычисления соотношения между показателями ступенчатых констант нестойкости. Если одна из констант известна из эксперимента, можно вычислить все остальные константы. Предложенный А. К. Бабко способ вычисления неоднократно подвергался экспериментальной проверке, показавшей, что результаты вычисления вполне удовлетворительно согласуются с экспериментом.



Способ вычисления А. К. Бабко заключается в следующем. Преобразуем уравнение (4), записав его как

$$p_1 - p_2 = \frac{RT r D_{2,3026}}{e^2 g} pK_N, \quad (5)$$

где 2,3026 — модуль перехода от натуральных логарифмов к десятичным, а  $pK_N = -\lg K_N$ .

Если необходимо вычислить ступенчатые константы нестойкости комплексов одного и того же металла с одинаковыми лигандами, то расстояние  $r$  остается постоянным, остальные величины в правой части уравнения (5), кроме  $pK_N$ , также постоянны. Поэтому

$$p_1 - p_2 = C pK_1$$

или в общем виде

$$p_{i-1} - p_i = C pK_1, \quad (6)$$

где

$$C = \frac{RT r D_{2,3026}}{e^2 g},$$

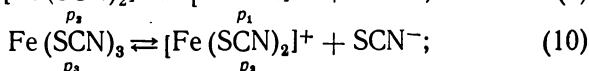
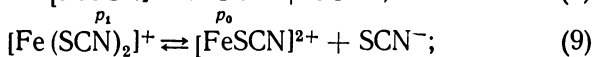
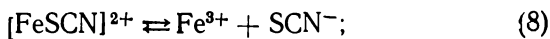
откуда

$$C = \frac{p_{i-1} - p_i}{pK_1}. \quad (7)$$

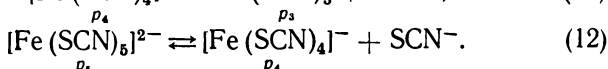
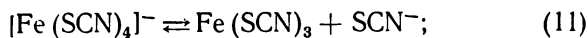
Рассмотрим вычисление ступенчатых констант по уравнениям (6) и (7) на примере роданидных комплексов железа. В этом случае заряд центрального иона  $N = 3$ , заряд лиганда  $n = 1$ ; из табл. 1 находим значения косселевских коэффициентов  $p$  для различного количества координированных лигандов:

| Число лигандов $i$ | $p_i$ |
|--------------------|-------|
| 1                  | —3,00 |
| 2                  | —5,50 |
| 3                  | —7,27 |
| 4                  | —8,33 |
| 5                  | —8,58 |

Уравнения ступенчатой диссоциации роданидных комплексов железа:







Под формулой каждой комплексной частицы записаны косселевские коэффициенты с индексами, соответствующими количеству координированных лигандов.

Из эксперимента известно, что  $pK_1 = 2,3$ . Тогда из уравнения (7) находим:

$$C = \frac{0 - (-3,0)}{2,3} = 1,31.$$

Следовательно, из уравнения (6)

$$pK_2 = \frac{p_1 - p_2}{C} = \frac{-3,0 - (-5,5)}{1,31} = 1,90.$$

Аналогично находим:  $pK_3 = 1,35$ ,  $pK_4 = 0,81$ ,  $pK_5 = 0,15$ .

Полученные значения констант удовлетворительно согласуются с найденными экспериментально.

Существуют и другие способы вычисления ступенчатых констант. Так, Ван Панталеон ван Эк предложил эмпирическое уравнение

$$\lg K_n = \lg K_1 - \lambda(n - 1), \quad (13)$$

где  $K_1$  и  $K_n$  — константы стойкости комплексов  $\text{MeA}$  и  $\text{MeA}_n$  соответственно,  $\lambda$  — постоянная. Применение этого уравнения дает удовлетворительные результаты главным образом для комплексов ионов металлов с оболочкой типа инертного газа и для таких лигандов, как  $\text{F}^-$ ,  $\text{Cl}^-$ ,  $\text{NH}_3$ .

Чтобы вычислить константы стойкости, необходимо иметь по крайней мере две экспериментально найденные константы, например,  $K_1$  и  $K_2$ ; это позволяет вычислить постоянную  $\lambda$  для уравнения (11) и все остальные константы.

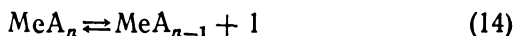
Так, для фторидных комплексов алюминия найдены экспериментально все шесть констант стойкости:  $\lg K_1 = 6,13$ ;  $\lg K_2 = 5,02$ ;  $\lg K_3 = 3,85$ ;  $\lg K_4 = 2,75$ ;  $\lg K_5 = 1,62$  и  $\lg K_6 = 0,47$ . Из уравнения (13) следует, что  $\lg K_2 = \lg K_1 - \lambda$ , откуда  $\lambda = 1,1$ . Это дает возможность вычислить остальные константы, а именно:  $\lg K_3 = 6,13 - 2,2 = 3,93$ ;  $\lg K_4 = 6,13 - 3,3 = 2,83$ ;  $\lg K_5 = 6,13 - 4,4 = 1,75$ ;  $\lg K_6 = 6,13 - 5,5 = 0,63$ .



Существенное расхождение между экспериментально найденной и вычисленной константой наблюдается только для  $K_6$ ; во всех остальных случаях значения их совпадают.

*Статистические факторы.* Ступенчатые константы нестойкости должны отличаться одна от другой даже в том случае, если не учитывать электростатического взаимодействия между реагирующими частицами. Соответствующие количественные соотношения можно вывести на основании таких соображений.

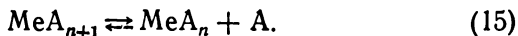
Вероятность отщепления лиганда от комплекса  $MeA_n$ , т. е. вероятность реакции диссоциации



будет тем больше, чем большее количество лигандов координировано центральным ионом металла, или чем больше число  $n$ .

Вероятность обратного процесса, т. е. вероятность присоединения лиганда  $A$  к комплексу  $MeA_{n-1}$ , возрастает с увеличением числа свободных мест у центрального иона металла (с увеличением числа мест, не занятых лигандами). Если координационное число иона металла равно  $N$ , тогда вероятность обратного процесса пропорциональна  $N - (n - 1) = N - n + 1$ . Следовательно, относительная вероятность протекания реакции (14) слева направо пропорциональна  $\frac{N - n + 1}{n}$ .

Рассмотрим диссоциацию комплекса



Рассуждая аналогично, находим, что вероятность процесса диссоциации пропорциональна  $n + 1$ , вероятность обратной реакции пропорциональна числу незанятых мест  $N - n$  у комплекса  $MeA_n$ , поэтому относительная вероятность реакции (15) равна  $\frac{N - n}{n + 1}$ .

Из сказанного следует, что отношение констант

$$\frac{K_{n+1}}{K_n} = \frac{\frac{N - n}{n + 1}}{\frac{N - n + 1}{n}}$$

или

$$\frac{K_{n+1}}{K_n} = \frac{(N - n) n}{(n + 1)(N - n + 1)}. \quad (16)$$



Интересно сопоставить результаты вычисления по уравнению (16) с экспериментально найденными значениями констант. В табл. 46 приведены соответствующие данные для аммиачных комплексов никеля.

Таблица 46

Ступенчатые константы стойкости и их соотношение для аммиачных комплексов никеля

| Экспериментально найденные значения констант  | Соотношения констант       |                               |
|---|----------------------------|-------------------------------|
|   | Экспериментально найденные | Вычисленные по уравнению (16) |
| $K_1 = \frac{[\text{NiNH}_3^{2+}]}{[\text{Ni}^{2+}][\text{NH}_3]} = 6,3 \cdot 10^3$                 | $\frac{K_2}{K_1} = 0,28$   | 0,42                          |
| $K_2 = \frac{[\text{Ni}(\text{NH}_3)_2^{2+}]}{[\text{NiNH}_3^{2+}][\text{NH}_3]} = 1,75 \cdot 10^3$ | $\frac{K_3}{K_2} = 0,31$   | 0,53                          |
| $K_3 = \frac{[\text{Ni}(\text{NH}_3)_3^{2+}]}{[\text{Ni}(\text{NH}_3)_2^{2+}][\text{NH}_3]} = 54$   | $\frac{K_4}{K_3} = 0,29$   | 0,56                          |
| $K_4 = \frac{[\text{Ni}(\text{NH}_3)_4^{2+}]}{[\text{Ni}(\text{NH}_3)_3^{2+}][\text{NH}_3]} = 16$   | $\frac{K_5}{K_4} = 0,36$   | 0,53                          |
| $K_5 = \frac{[\text{Ni}(\text{NH}_3)_5^{2+}]}{[\text{Ni}(\text{NH}_3)_4^{2+}][\text{NH}_3]} = 5,7$  | $\frac{K_6}{K_5} = 0,20$   | 0,42                          |
| $K_6 = \frac{[\text{Ni}(\text{NH}_3)_6^{2+}]}{[\text{Ni}(\text{NH}_3)_5^{2+}][\text{NH}_3]} = 1,8$  |                            |                               |

Как видно из данных таблицы, полного совпадения экспериментально найденного и вычисленного по уравнению (16) соотношения между константами нет. Между ионами никеля и молекулами аммиака действуют силы электростатического взаимодействия. Однако статистические факторы также оказывают свое влияние. Действительные соотношения должны быть результатом наложения факторов различной природы.

*Конфигурация электронных оболочек центрального иона комплекса.* Иногда обычную последовательность ступенчатых констант нестойкости может нарушать резкое изменение характера электронной оболочки центрального иона металла. Примером могут служить фенантролиновые или дипиридилатные (Dур) комплексы двухвалентного



железа. Так, в ряду комплексов с различным количеством координированных лигандов устойчивость изменяется следующим образом:

$$K_1 = \frac{[\text{FeDyp}^{2+}]}{[\text{Fe}^{2+}][\text{Dyp}]} = 1,6 \cdot 10^4;$$

$$K_2 = \frac{[\text{FeDyp}_2^{2+}]}{[\text{FeDyp}^{2+}][\text{Dyp}]} = 1 \cdot 10^5;$$

$$K_3 = \frac{[\text{FeDyp}_3^{2+}]}{[\text{FeDyp}_2^{2+}][\text{Dyp}]} = 2,4 \cdot 10^8.$$

Обращает внимание резкое возрастание устойчивости при переходе от комплекса с двумя лигандами к комплексу с тремя координированными молекулами дипиридила. При обычной последовательности устойчивость должна не возрастать, а уменьшаться. Объяснить этот факт можно на основании различия в магнитных свойствах комплексов. Моно- и дипиридилатные комплексы железа парамагнитны (они содержат неспаренные электроны), трискомплекс диамагнитен (в нем неспаренных электронов нет). В соответствии с этим электронную конфигурацию центрального иона железа в свободном состоянии и связанного в комплекс можно передать такой схемой:

|                             | 3d  | 4s                   | 4p   |
|-----------------------------|---|----------------------|--|
| Свободный ион железа        | $\uparrow\downarrow \uparrow \uparrow \uparrow \uparrow$                      | $\square$            | $\square \square \square$                                  |
| Монодипиридилатный комплекс | $\uparrow\downarrow \uparrow \uparrow \uparrow \uparrow$                      | $\uparrow\downarrow$ | $\uparrow\downarrow \square \square$                       |
| Дидипиридилатный комплекс   | $\uparrow\downarrow \uparrow \uparrow \uparrow \uparrow$                      | $\uparrow\downarrow$ | $\uparrow\downarrow \uparrow\downarrow \uparrow\downarrow$ |
| Трисдипиридилатный комплекс | $\uparrow\downarrow \uparrow\downarrow \uparrow\downarrow \uparrow\downarrow$ | $\uparrow\downarrow$ | $\uparrow\downarrow \uparrow\downarrow \uparrow\downarrow$ |

С присоединением первого и второго лигандов свободные электронные пары атомов азота размещаются на 4s- и 4p-орбиталях иона  $\text{Fe}^{2+}$ , а 3d-электроны остаются при этом неспаренными. Присоединение третьего лиганда изменяет расположение d-электронов: они спариваются, а освободившиеся d-орбитали занимают электронные пары атомов азота третьего лиганда. Поэтому связь последнего лиганда с ионом  $\text{Fe}^{2+}$  прочнее, чем двух предыдущих.

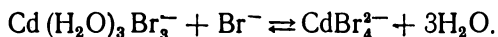
Аналогичные соотношения наблюдаются для фенантролиновых комплексов железа и в некоторых других случаях.



*Геометрическое расположение лигандов вокруг центрального атома.* Иногда последующие лиганды связываются центральным ионом металла прочнее предыдущих, так как изменяется координационное число, а следовательно, и геометрическая конфигурация внутренней сферы комплекса. Так, устойчивость бромидных комплексов кадмия характеризуется следующими константами стойкости:

|                 |                 |                 |                   |                      |
|-----------------|-----------------|-----------------|-------------------|----------------------|
|                 | $\text{CdBr}^+$ | $\text{CdBr}_2$ | $\text{CdBr}_3^-$ | $\text{CdBr}_4^{2-}$ |
| $K_{\text{ст}}$ | $2 \cdot 10^2$  | 6,0             | 0,6               | 1,2                  |

С присоединением второго и третьего лигандов наблюдается нормальное изменение устойчивости, четвертый же ион брома связан с ионом кадмия сильнее, чем третий. Такое нарушение обычной последовательности приписывают изменению координационного числа центрального иона, вызванного четвертым лигандом:



Один, два и три лиганда размещаются в вершинах октаэдра, а свободные места заняты молекулами воды. Четвертый лиганд вызывает перестройку внутренней сферы: молекулы воды отщепляются, а четыре иона брома размещаются теперь в вершинах тетраэдра. Переход от октаэдрической к тетраэдрической конфигурации обуславливает упрочнение связи между центральным ионом и четвертым лигандом.

Устойчивость бромидных комплексов ртути изменяется следующим образом:

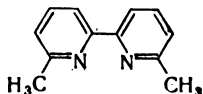
|                 |                  |                  |                   |                      |
|-----------------|------------------|------------------|-------------------|----------------------|
|                 | $\text{HgBr}^+$  | $\text{HgBr}_2$  | $\text{HgBr}_3^-$ | $\text{HgBr}_4^{2-}$ |
| $K_{\text{ст}}$ | $1,1 \cdot 10^9$ | $1,9 \cdot 10^6$ | 26                | 18                   |

Это нормальный ряд изменения устойчивости, т. е. каждая последующая ступенчатая константа меньше предыдущей. Однако третий и четвертый ионы брома связаны с ионами ртути во много раз слабее, чем первый и второй. Эта аномалия также объясняется изменением характера координации лигандов: молекула  $\text{HgBr}_2$  линейна, в то время, как ион  $\text{HgBr}_4^{2-}$  имеет тетраэдрическую конфигурацию.

*Стерические факторы.* Введение объемистых заместителей в молекулы лигандов затрудняет образование вы-



сокоординированных комплексов с большим числом лигандов во внутренней сфере. Так, для ионов многих металлов известны моно-, ди- и трискомплексы с дипиридил, однако 6,6'-диметил-2,2'-дипиридил



образует только моно- или дикомплексы.

### § 39. Классификация экспериментальных методов определения состава и устойчивости комплексов

Экспериментальные методы исследования комплексобразования в растворах разнообразны. Все они основаны на измерении изменения какого-либо физического параметра свойства системы при варьировании концентрационных соотношений компонентов, составляющих комплекс. Классифицировать методы можно по различным критериям, например, положить в основу классификации измеряемое свойство системы. Тогда классификация будет иметь вид:

| <i>Измеряемое свойство</i>  | <i>Метод</i>                               |
|-----------------------------|--|
| Оптическая плотность        | спектрофотометрический или фотометрический |
| потенциал электрода         | потенциометрический,                       |
| потенциал полуволны         | полярографический,                         |
| электрическое сопротивление | кондуктометрический,                       |
| коэффициент распределения   | метод экстракции,                          |
| растворимость               | метод растворимости.                       |

Другая классификация основана на том, какой именно метод математической обработки результатов эксперимента применен для определения состава и устойчивости комплексов. Обычно такой метод носит имя исследователя, впервые применившего его. Так, известны методы Бьеррума, Ледена, Стáрика и Барбанеля, Асмуса, Бабко, Комаря, Адамовича, Ридберга и др.

Все известные методы можно классифицировать также в зависимости от способа постановки эксперимента. В одном случае измеряют параметр какого-либо свойства серии растворов, в которых суммарная концентрация центрального



иона металла и лиганда остается постоянной, а изменяется только соотношение их концентраций. Это так называемый *метод изомолярных серий*, который часто называют по имени исследователей, впервые применивших его, методом Остромысленского — Жоба. В другом случае измеряют параметр свойства серии растворов, содержащих постоянную концентрацию центрального иона металла и переменную концентрацию лиганда. Можно также оставлять концентрацию лиганда в серии растворов постоянной, но варьировать концентрацией центрального иона металла.

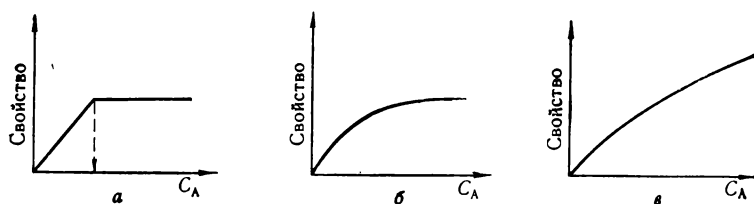


Рис. 15. Типы кривых при исследовании комплексов методом сдвига равновесия.

Эти методы обычно называют *методом сдвига равновесия*. Наибольшее значение имеет второй способ постановки эксперимента, когда в серии растворов сохраняют постоянную концентрацию центрального иона металла, изменяя концентрацию лиганда.

Следует различать методы, применяющиеся для исследования состава и устойчивости комплекса, если в системе образуется только одно комплексное соединение, а ступенчатой диссоциации нет, и методы исследования ступенчатого комплексообразования.

Изучение комплексов различной устойчивости обычно приводят разными методами. С этой целью все комплексные соединения разделяют на такие три группы: очень устойчивые комплексы; комплексы средней устойчивости; малоустойчивые комплексы.

При использовании метода сдвига равновесия, когда концентрация центрального иона металла постоянна, а концентрация лиганда переменна, в зависимости от степени устойчивости комплекса получают три типа кривых (рис. 15).

На оси абсцисс всех трех кривых откладывают концентрацию лиганда  $C_A$ , а на оси ординат — свойство системы, связанное функциональной зависимостью с концентрацией



образующегося комплекса. На оси ординат можно откладывать также выход комплекса, т. е. его концентрацию в серии растворов.

Проще всего установить состав очень прочных комплексов, образование которых описывается графиком первого типа: резкий излом прямой происходит тогда, когда весь центральный ион связан в комплекс. Абсцисса точки излома соответствует концентрации лиганда, при которой достигается связывание всех ионов металла, например,



Количество координированных лигандов в этом случае равно отношению:

$$n = \frac{C_{\text{A}}}{C_{\text{Me}}}, \quad (2)$$

где  $C_{\text{Me}}$  — концентрация центрального иона металла в серии растворов,  $C_{\text{A}}$  — концентрация лиганда, при которой весь металл связан в комплекс. Такой метод определения состава называется *методом молярных отношений*. Чаще всего он применяется при определении состава устойчивых окрашенных комплексов. Если, например, ионы металла и лиганда не окрашены, а окрашен только комплекс  $\text{MeA}_n$ , то зависимость оптической плотности раствора от концентрации лиганда выразится графиком (рис. 15, а); состав комплекса находят по уравнению (2).

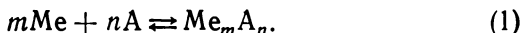
Второй тип кривых (рис. 15, б) характерен для комплексов средней устойчивости. В этом случае для полного связывания ионов металла в комплекс недостаточно прибавить стехиометрическое количество лиганда; горизонтальный участок кривой, соответствующий полному связыванию ионов металла в комплекс, достигается только при значительном избытке лиганда по отношению к концентрации ионов металла, причем этот избыток будет тем больше, чем менее устойчив комплекс. Нередко для очень неустойчивых комплексов кривая ни при какой концентрации лиганда не становится параллельной оси абсцисс, тогда наблюдается переход к третьему типу кривой, которая требует обработки специальными методами (рис. 15, в).

Остановимся подробнее на главных методах обработки результатов эксперимента при втором типе кривых.



## § 40. Комплексы средней устойчивости

Предположим, что в системе образуется только один окрашенный комплекс  $Me_mA_n$ , причем ион металла и лиганды не окрашены<sup>1</sup>:



Тогда удобнее всего измерить оптическую плотность растворов, которая связана с концентрацией комплекса  $C_k$  уравнением

$$D = \epsilon l C_k, \quad (2)$$

где  $\epsilon$  — молярный коэффициент поглощения,  $l$  — толщина слоя,  $D$  — оптическая плотность.

Для определения  $m$  и  $n$  в комплексе применим метод обработки результатов эксперимента, предложенный И. Е. Стáриком и Ю. А. Барбанелем.

*Постановка эксперимента.* Готовят две серии растворов. В растворах первой серии концентрация ионов металла  $C_{Me}$

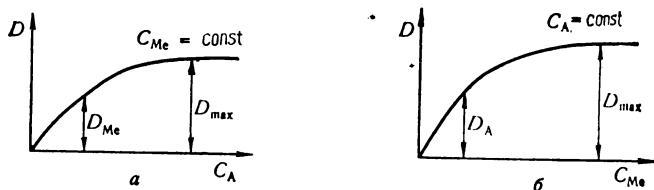


Рис. 16. Зависимость оптической плотности растворов комплекса от концентрации лиганда при постоянной концентрации ионов металла (а) и от концентрации ионов металла при постоянной концентрации лиганда (б).

остается постоянной, а концентрация лиганда  $C_A$  — переменна. В растворах второй серии постоянна концентрация лиганда  $C_A$ , а концентрация ионов металла переменна. Затем измеряют оптическую плотность каждого раствора обеих серий и строят графики зависимости оптической плотности от концентрации лиганда ( $C_{Me} = \text{const}$ ) и от концентрации ионов металла ( $C_A = \text{const}$ ). Графики показаны на рис. 16, а и 16, б. Необходимо, чтобы при этом на кривых

<sup>1</sup> Если окрашены ионы  $Me$  и  $A$ , измеряют оптическую плотность при такой длине волны, при которой поглощает только продукт реакции  $Me_mA_n$ .



при некоторой концентрации лиганда или ионов металла достигалась постоянная оптическая плотность.

*Обработка результатов.* Из первого графика видно, что при  $l = 1$

$$D_{\max} = \epsilon \frac{C_{\text{Me}}}{m}, \quad (3)$$

где  $\frac{C_{\text{Me}}}{m}$  — максимально достижимая концентрация комплекса, в  $m$  раз меньшая, чем исходная концентрация ионов металла [см. уравнение (1)].

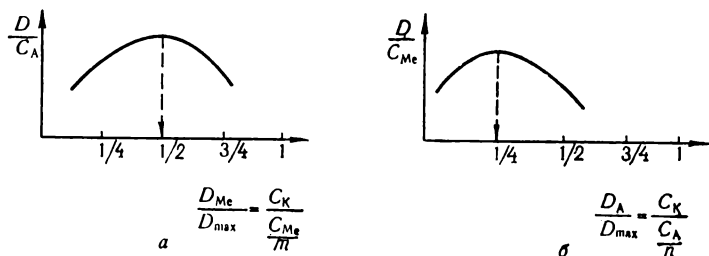


Рис. 17. Кривые относительного выхода комплексов при постоянных концентрациях ионов металла (а) и лиганда (б).

Для растворов, в которых не все ионы металла связаны в комплекс,

$$D_{\text{Me}} = \epsilon C_K, \quad (4)$$

где  $C_K$  — концентрация комплекса в растворе.

Аналогично из рис. 16, б следует:

$$D_{\max} = \epsilon \frac{C_A}{n}; \quad (5)$$

$$D_A = \epsilon C_K. \quad (6)$$

Используя уравнения (3)—(6), строят два новых графика. В одном из них (рис. 17, а) на оси ординат откладывают отношение  $\frac{D}{C_A}$ , а на оси абсцисс — отношение

$\frac{D_{\text{Me}}}{D_{\text{max}}} = \frac{C_K}{C_{\text{Me}}}$ . В другом графике рис. 17, б на оси ординат



откладывают отношение  $\frac{D}{C_{Me}}$ , а на оси абсцисс — отношение  $\frac{D_A}{D_{max}} = \frac{C_K}{\frac{C_A}{n}}$ .

В результате такой обработки получают обычно две кривые с максимумами. Предположим, что абсцисса максимума кривой на рис. 17, а равна  $1/2$ , а на рис. 17, б —  $1/4$ , тогда

$$\frac{n-1}{m+n-1} = \frac{C_K}{\frac{C_{Me}}{m}} = 1/2; \quad (7)$$

$$\frac{m-1}{m+n-1} = \frac{C_K}{\frac{C_A}{n}} = 1/4. \quad (8)$$

Решая эти два уравнения с двумя неизвестными, находим  $n$  и  $m$ . Так, для данного примера из уравнений (7) и (8) получаем:

$$\begin{aligned} 2n-2 &= m+n-1 \quad \text{или} \quad n=m+1, \\ 4m-4 &= m+n-1 \quad \text{или} \quad n=3m-3, \end{aligned}$$

откуда

$$3m-3 = m+1; \quad 2m=4; \quad m=2; \quad n=m+1=2+1=3.$$

**Вывод уравнений (7) и (8).** Выражение константы нестойкости комплекса

$$K_H = [A]^n [Me]^m C_K^{-1}. \quad (9)$$

Равновесные концентрации  $[A]$  и  $[Me]$  равны соответственно:

$$[A] = C_A - nC_K; \quad (10)$$

$$[Me] = C_{Me} - mC_K. \quad (11)$$

После подстановки значений  $[A]$  и  $[Me]$  из уравнений (10) и (11) в уравнение (9) последнее примет вид:

$$(C_A - nC_K)^n (C_{Me} - mC_K)^m C_K^{-1} = K_H. \quad (12)$$

Разделив и помножив левую часть уравнения (12) на  $C_A^{n+m-1} = C_A^n C_A^m C_A^{-1}$ , получим:

$$C_A^{n+m-1} \left(1 - n \frac{C_K}{C_A}\right)^n \left(\frac{C_{Me}}{C_A} - m \frac{C_K}{C_A}\right)^m \left(\frac{C_K}{C_A}\right)^{-1} = K_H. \quad (13)$$



Прологарифмируем уравнение (13):

$$(n + m - 1) \ln C_A + n \ln \left(1 - n \frac{C_K}{C_A}\right) + \\ + m \ln \left(\frac{C_{Me}}{C_A} - m \frac{C_K}{C_A}\right) - 1 \cdot \frac{C_K}{C_A} = \ln K_H. \quad (14)$$

В точке максимума кривой (см. рис. 17, а) производная от  $\frac{D}{C_A}$  по  $C_A$  равна нулю. Но  $D = \epsilon C_K$ , поэтому в точке

максимума производная от  $\frac{C_K}{C_A}$  по  $C_A$  также равна нулю.

Принимая это во внимание, продифференцируем уравнение (14) по  $C_A$ . После дифференцирования получим:

$$\frac{n + m - 1}{C_A} + \frac{n \left[ -n \left( \frac{C_K}{C_A} \right)' \right]}{1 - n \frac{C_K}{C_A}} + \\ + \frac{m \left[ -\frac{C_{Me}}{C_A^2} - m \left( \frac{C_K}{C_A} \right)' \right]}{\frac{C_{Me}}{C_A} - m \frac{C_K}{C_A}} - \frac{\left( \frac{C_K}{C_A} \right)'}{\frac{C_K}{C_A}} = 0. \quad (15)$$

В этом уравнении  $\left( \frac{C_K}{C_A} \right)'$  — производная, равная в точке максимума нулю. Следовательно, второй и четвертый члены уравнения (15), а также последний член числителя третьего члена также равны нулю, тогда

$$\frac{n + m - 1}{C_A} = \frac{m \frac{C_{Me}}{C_A^2}}{\frac{C_{Me}}{C_A} - m \frac{C_K}{C_A}}. \quad (16)$$

После сокращения  $C_A$  находим:

$$n + m - 1 = \frac{m C_{Me}}{C_{Me} - m C_K}, \quad (17)$$

откуда после некоторых преобразований получаем уравнение (7):

$$\frac{C_K}{\frac{C_{Me}}{m}} = \frac{n - 1}{n + m - 1}.$$



Аналогично можно показать, что в точке максимума кривой (см. рис. 17, б) справедливо уравнение (8).

Возможен и другой способ обработки кривых (см. рис. 16, а и 16, б). Предположим, что окрашенный комплекс образуется из неокрашенных компонентов по реакции



Тогда из уравнения (3) (при  $m = 1$ ) следует:

$$D_{\max} = \varepsilon C_{\text{Me}} \quad (19)$$

и

$$D = \varepsilon C_{\text{K}}. \quad (20)$$

Запишем выражение константы нестойкости окрашенного комплекса:

$$\frac{[\text{Me}] [\text{A}]^n}{[\text{MeA}_n]} = K_{\text{H}}. \quad (21)$$

Из уравнений (19) и (20) следует, что

$$D_{\max} - D = \varepsilon (C_{\text{Me}} - C_{\text{K}}) = \varepsilon [\text{Me}] \quad (22)$$

и

$$\frac{[\text{Me}]}{[\text{MeA}_n]} = \frac{[\text{Me}]}{C_{\text{K}}} = \frac{D_{\max} - D}{D}. \quad (23)$$

Подставив в уравнение (21) вместо  $\frac{[\text{Me}]}{[\text{MeA}_n]}$  его значение из уравнения (23), получим:

$$\frac{D_{\max} - D}{D} [\text{A}]^n = K_{\text{H}}. \quad (24)$$

После логарифмирования и преобразований

$$\lg \frac{D}{D_{\max} - D} = n \lg [\text{A}] - \lg K_{\text{H}}. \quad (25)$$

Это — уравнение прямой линии. Если построить график, на оси ординат которого отложить  $\lg \frac{D}{D_{\max} - D}$ , а на оси абсцисс —  $\lg [\text{A}]$ , то получим прямую, тангенс угла наклона которой равен  $n$ .

При втором типе кривых можно принять, что  $[\text{A}] \cong C_{\text{A}}$ , и откладывать на оси абсцисс  $\lg C_{\text{A}}$ .

Такой способ обработки пригоден и в тех случаях, когда в системе образуется в различных интервалах концентрации лиганда не одно, а, например, два различных соеди-



нения:  $\text{MeA}$  и  $\text{MeA}_2$ . Если константы нестойкости этих двух соединений отличаются значительно одна от другой, то на графике зависимости  $\lg \frac{D}{D_{\max} - D}$  от  $\lg C_A$  могут быть зафиксированы две прямых с различным наклоном, переходящих одна в другую через резкий излом, как показано на рис. 18, а. При близких константах нестойкости резкого излома нет, и обе прямые соединены плавной кривой (рис. 18, б).

Если известен состав комплекса, т. е. число  $n$ , то легко вычислить по уравнению (24) константу нестойкости.

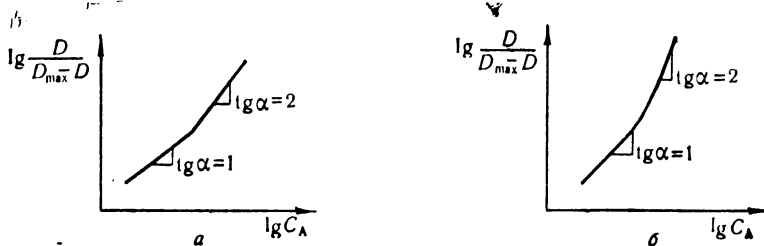


Рис. 18. Логарифмическая обработка результатов определения состава комплексов методом сдвига равновесия.

Удобнее всего это сделать по той точке кривой (см. рис. 16), где  $D = \frac{D_{\max}}{2}$  (в которой оптическая плотность достигает половины максимального значения). Тогда

$$\frac{D_{\max} - D}{D} = 1 \text{ и } [A]^n = K_N.$$

Равновесная концентрация

$$[A] = C_A - nC_K, \quad (26)$$

но в точке, где  $D = \frac{D_{\max}}{2}$ ,  $C_K = \frac{C_{\text{Me}}}{2}$ , откуда

$$[A] = C_A - n \frac{C_{\text{Me}}}{2}. \quad (27)$$

Объединив уравнения (27) и (25), получим:

$$K_N = \left( C_A - n \frac{C_{\text{Me}}}{2} \right)^n, \quad (28)$$



где  $C_A$  — общая концентрация лиганда, при которой половина общего количества ионов металла связана в комплекс, т. е.

$$[Me] = [MeA_n] \text{ или } D = \frac{D_{\max}}{2}. \quad (29)$$

## § 41. Метод изомолярных серий

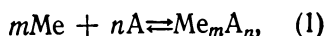
Метод изомолярных серий был предложен независимо один от другого И. Остромысленским и П. Жобом. Широкое распространение метода связано, главным образом, с работами А. К. Бабко по исследованию состава и устойчивости многих комплексных соединений, а также с работами Н. П. Комаря, регламентировавшими возможности и условия применения этого метода.

Принцип метода заключается в следующем.

Готовят серию растворов, в которой суммарная концентрация лиганда и ионов металла остается постоянной, изменяется только соотношение концентраций этих компонентов. В каждом растворе серии измеряют концентрацию образовавшегося комплекса или какой-либо параметр физического свойства его, связанный линейной зависимостью с концентрацией комплекса. Чтобы приготовить серию растворов, смешивают в различных объемных соотношениях растворы лиганда и соли металла одинаковой концентрации ( $C_A = C_{Me}$ ), оставляя общий объем каждого раствора серии постоянным. Пусть, например, объем раствора лиганда равен  $X$ , тогда при общем объеме, равном единице, объем раствора соли металла равен  $1 - X$ .

Зависимость концентрации комплекса или параметра физического свойства его, связанного с концентрацией комплекса, от соотношения объемов растворов лиганда и соли металла выражается кривой с максимумом (рис. 19).

Если, например, комплекс образуется по уравнению



то можно доказать, что соотношение объемов растворов лиганда и соли металла в точке максимума равно:

$$\frac{X_{\max}}{1 - X_{\max}} = \frac{n}{m}. \quad (2)$$

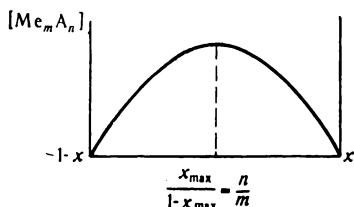


Рис. 19. Кривая метода изомолярных серий.



Из уравнения (1) следует:

$$\beta [\text{Me}]^m [\text{A}]^n = [\text{Me}_m \text{A}_n], \quad (3)$$

где общая константа стойкости комплекса

$$\beta = \frac{[\text{Me}_m \text{A}_n]}{[\text{Me}]^m [\text{A}]^n}.$$

Концентрация лиганда  $[\text{A}]$  в каждом растворе изомолярной серии равна:

$$\begin{aligned} CX &= [\text{A}] + n [\text{Me}_m \text{A}_n], \\ [\text{A}] &= CX - n [\text{Me}_m \text{A}_n], \end{aligned} \quad (4)$$

где  $C$  — суммарная концентрация лиганда и ионов металла в каждом растворе серии.

Концентрация ионов металла  $[\text{Me}]$  в каждом растворе изомолярной серии равна:

$$\begin{aligned} C(1 - X) &= [\text{Me}] + m [\text{Me}_m \text{A}_n], \\ [\text{Me}] &= C - CX - m [\text{Me}_m \text{A}_n]. \end{aligned} \quad (5)$$

Подставив в уравнение (3) значения концентраций  $[\text{A}]$  и  $[\text{Me}]$  из уравнений (4) и (5), получим:

$$\beta (C - CX - m [\text{Me}_m \text{A}_n])^m (CX - n [\text{Me}_m \text{A}_n])^n = [\text{Me}_m \text{A}_n]. \quad (6)$$

После логарифмирования уравнение (6) примет вид:

$$\ln \beta + m \ln (C - CX - m [\text{Me}_m \text{A}_n]) + n \ln (CX - n [\text{Me}_m \text{A}_n]) = \ln [\text{Me}_m \text{A}_n]. \quad (7)$$

Чтобы найти объем лиганда  $X_{\max}$ , при котором концентрация комплекса максимальна, продифференцируем уравнение (7) по  $X$ :

$$\frac{m \left( -C - m \frac{d [\text{Me}_m \text{A}_n]}{dX} \right)}{C - CX - m [\text{Me}_m \text{A}_n]} + \frac{n \left( C - n \frac{d [\text{Me}_m \text{A}_n]}{dX} \right)}{CX - n [\text{Me}_m \text{A}_n]} = \frac{\frac{d [\text{Me}_m \text{A}_n]}{dX}}{[\text{Me}_m \text{A}_n]}. \quad (8)$$

В точке максимума кривой производная  $\frac{d [\text{Me}_m \text{A}_n]}{dX} = 0$ , поэтому

$$\frac{n}{CX_{\max} - n [\text{Me}_m \text{A}_n]} = \frac{m}{C - CX_{\max} - m [\text{Me}_m \text{A}_n]}, \quad (9)$$

откуда

$$nC - nCX_{\max} - nm [\text{Me}_m \text{A}_n] = mCX_{\max} - mn [\text{Me}_m \text{A}_n]$$



или

$$n(1 - X_{\max}) = mX_{\max}, \quad (10)$$

а

$$\frac{X_{\max}}{1 - X_{\max}} = \frac{n}{m}, \quad (11)$$

т. е. отношение объемов растворов лиганда и соли металла, соответствующее максимуму кривой, равно отношению индексов  $n$  и  $m$  в уравнении (1).

Метод изомолярных серий часто применяется для определения состава окрашенных комплексов. Тогда на оси ординат графика откладывают вместо концентрации комплекса оптическую плотность растворов изомолярной серии, линейно связанную с ней:

$$D = \epsilon [Me_m A_n].$$

Если окрашен не только комплекс, но и лиганд  $A$  и ионы металла  $Me$ , то на оси ординат откладывают не измеренную оптическую плотность, а отклонение от аддитивности

$$\Delta D = D - D_A - D_{Me},$$

где  $D_A$  и  $D_{Me}$  — соответственно оптические плотности растворов лиганда и соли металла с концентрациями, равными их концентрациям в исследуемом растворе изомолярной серии.

Главное ограничение метода изомолярных серий состоит в том, что его можно применять с высокой степенью надежности, если в системе образуется только одно комплексное соединение. Методом изомолярных серий можно иногда определить состав нескольких комплексов, сосуществующих в равновесии, однако для этого необходимо применять специальные способы обработки результатов, которые здесь не рассматриваются.

Положение максимума на кривой (см. рис. 19) не зависит от устойчивости комплекса, а только от его состава. Устойчивость комплекса влияет на общий вид кривых. На рис. 20 схематически показаны кривые метода изомолярных серий для комплексов одного и того же состава, но различной устойчивости.

Диаграмма *а* — комплекс высокой устойчивости с резким максимумом. Диаграммы *б* и *в* — соответственно комплексы средней устойчивости и очень мало устойчивые.

По диаграммам рис 20, *б* и 20, *в* можно определить состав комплексов и их константы нестойкости.



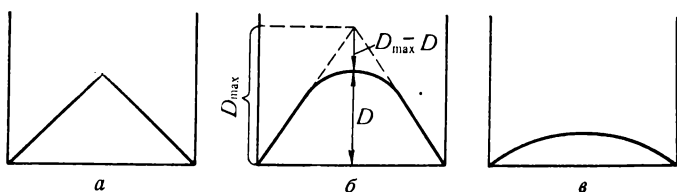


Рис. 20. Кривые метода изомольных серий для комплексов различной устойчивости.

Рассмотрим наиболее простой случай. Пусть состав комплекса средней устойчивости (диаграмма 20, б) соответствует формуле  $\text{MeA}$ , причем окрашен только комплекс, а  $\text{Me}$  и  $\text{A}$  — бесцветны.

Комплекс диссоциирует по схеме:



Если бы комплекс был очень устойчивым, диссоциации по уравнению (12) практически не было бы и оптическая плотность раствора комплекса в точке максимума кривой соответствовала бы  $D_{\max}$  (см. рис. 20, б). В действительности, вследствие диссоциации комплекса оптическая плотность меньше, она равна  $D$ . Разность  $D_{\max} - D$  обусловлена частичной диссоциацией комплекса, поэтому

$$D_{\max} = \epsilon C_{\text{Me}}, \quad (13)$$

где  $C_{\text{Me}}$  — общая концентрация ионов металла, равная при полном связывании максимально возможной концентрации комплекса.

Если

$$D = \epsilon [\text{MeA}], \quad (14)$$

откуда

$$D_{\max} - D = \epsilon (C_{\text{Me}} - [\text{MeA}]) = \epsilon [\text{Me}], \quad (15)$$

а отношение  $\frac{[\text{Me}]}{C_{\text{Me}}}$  равно степени диссоциации, то из уравнений (13)—(15) следует, что

$$\frac{[\text{Me}]}{C_{\text{Me}}} = \alpha = \frac{D_{\max} - D}{D_{\max}}. \quad (16)$$

Но степень диссоциации связана с константой нестойкости комплекса следующим простым уравнением:

$$K_{\text{H}} = \frac{\alpha^2 C}{1 - \alpha}. \quad (17)$$



Вычислив по уравнению (16) степень диссоциации  $\alpha$ , можно найти по уравнению (17) константу нестойкости комплекса.

Для вычисления константы нестойкости существуют и другие методы обработки кривых изомолярных серий.

## **§ 42. Ступенчатая диссоциация комплексов. Метод Бьеррума**

При образовании в системе нескольких комплексных соединений  $\text{MeA}$ ,  $\text{MeA}_2$ ,  $\text{MeA}_3$  рассмотренные ранее методы определения состава и устойчивости комплексов непригодны. Одним из наиболее распространенных методов исследования ступенчатого комплексообразования является метод Бьеррума.

Известны разнообразные варианты этого метода. Ниже рассмотрен принцип метода и один из распространенных его вариантов — *метод соответственных растворов*.

В методе Бьеррума постулируется образование в растворе, в зависимости от концентрации лиганда, непрерывного ряда всех возможных комплексных форм, например,  $\text{MeA}$ ,  $\text{MeA}_2$ ,  $\text{MeA}_N$ , где  $N$  — максимальное количество лигандов, координированное ионом металла и соответствующее его координационному числу.

Ступенчатые константы стойкости всех указанных комплексов определяют следующим образом. Готовят серию растворов с постоянной концентрацией ионов металла и переменной концентрацией лиганда и измеряют в каждом растворе серии равновесную концентрацию лиганда  $A$ . Из полученных данных вычисляют так называемую *функцию образования*

$$\bar{n} = \frac{C_A - [A]}{C_{\text{Me}}}, \quad (1)$$

которая является отношением концентрации связанного с ионом металла в комплексе лиганда к общей концентрации ионов металла, т. е. значение функции образования показывает среднее число лигандов, приходящееся на один ион металла в комплексе. Функция образования может изменяться от нуля до максимального значения координационного числа. Так, если  $C_A = [A]$ , то  $\bar{n} = 0$ , следовательно в растворе нет комплексообразования. При  $\bar{n} = N$ , где  $N$  — координационное число, в растворе находится только один комплекс состава  $\text{MeA}_N$ . Функция образования имеет



дробное значение, если в растворе сосуществуют несколько комплексов различного состава.

Экспериментально определив в серии растворов равновесные концентрации лиганда, можно вычислить по уравнению (1) соответствующие этим концентрациям функции образования и затем построить график зависимости  $\bar{n}$  от  $[A]$  (или  $-\lg [A]$ ).

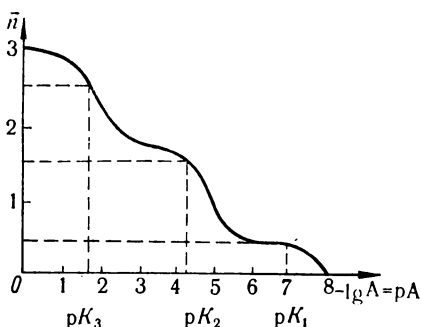


Рис. 21. Кривая образования метода Бьеррума.

Полученная таким образом кривая называется *кривой образования* (рис. 21). По ней можно найти ступенчатые константы стойкости комплексов.

Из рисунка видно, что в данном примере максимальное значение  $\bar{n} = 3$ , т. е. в растворе самый высококоординированный комплекс имеет состав  $MeA_3$ . Определение ступенчатых констант стойкости по кривой образования основано на предположении, что при данной концентрации лиганда в растворе находятся в равновесии в значительных количествах только две комплексные формы, а концентрация остальных комплексных форм настолько незначительна, что ими в первом приближении можно пренебречь. Это предположение достаточно точно и соответствует действительности, если ступенчатые константы стойкости значительно отличаются одна от другой.

Предположим, что при некоторой незначительной концентрации лиганда в растворе находятся только свободные (не связанные в комплекс) ионы металла и простейший комплекс  $MeA$ , для которого

$$K_1 = \frac{[MeA]}{[Me][A]}. \quad (2)$$

Если  $[Me] = [MeA]$ , то из уравнения (2) следует, что

$$K_1 = \frac{1}{[A]}, \text{ а } -\lg [A] = p[A] = \lg K_1 = pK_1,$$

где,  $pK_1$  — отрицательный логарифм константы нестойкости.



При равенстве концентраций  $[Me]$  и  $[MeA]$  функция образования  $\bar{n}$  должна быть равна 0,5 (на каждые два иона металла приходится один лиганд). Следовательно, найденное по кривой образования значение  $p[A]$ , соответствующее  $\bar{n} = 0,5$ , численно равно  $pK_1$  (см. рис. 21).

При большей концентрации лиганда в растворе свободные ионы металла практически отсутствуют; в равновесии находятся комплексы  $MeA$  и  $MeA_2$ . При некоторой концентрации лиганда концентрации этих двух комплексных форм будут равны:

$$[MeA] = [MeA_2].$$

Запишем выражение для константы стойкости:

$$K_2 = \frac{[MeA_2]}{[MeA][A]}. \quad (3)$$

При равенстве концентраций обеих форм функция образования равна 1,5 (на каждые два иона металла приходится три лиганда, т. е. в среднем на один ион металла — полтора лиганда), тогда

$$K_2 = \frac{1}{[A]}, \text{ а } -\lg [A] = p[A] = pK_2.$$

Чтобы определить  $pK_2$ , находим по кривой образования значение  $p[A]$ , соответствующее  $\bar{n} = 1,5$  (оно численно равно  $pK_2$ ).

Аналогично определяем, что значение  $p[A]$ , соответствующее  $\bar{n} = 2,5$ , численно равно  $pK_3$ .

Согласно описанному способу, предполагается, что в каждой из серии растворов экспериментально определена равновесная концентрация лиганда  $A$ . Равновесную концентрацию лиганда можно определять и непосредственно. Однако чаще приходится применять косвенные методы, при которых измеряют параметр какого-либо свойства системы, связанный функциональной зависимостью с равновесной концентрацией лиганда, а последнюю вычисляют из соответствующего уравнения связи.

Рассмотрим вычисление равновесной концентрации лиганда из результатов измерения оптической плотности растворов окрашенного комплекса. Это метод соответственных растворов, заключающийся в следующем. Пусть в системе образуются окрашенные комплексы  $MeA$ ,  $MeA_2$ ,  $MeA_3$  и т. д. ( $Me$  и  $A$  не окрашены). Готовят две серии растворов, отличающихся общей концентрацией ионов металла  $C_{Me}$ :



в одной серии растворов эта концентрация равна  $C'_{Me}$ , а в другой —  $C''_{Me}$ . В каждой серии концентрация  $C_{Me}$  постоянна, а концентрация лиганда  $C_A$  переменна. Измерив в каждом растворе обеих серий оптическую плотность  $D$ , вычисляют кажущийся (условный) молярный коэффициент поглощения, равный частному от деления оптической плотности на общую концентрацию ионов металла:

$$\bar{\epsilon} = \frac{D}{C_{Me}}. \quad (4)$$

*Истинный молярный коэффициент поглощения* индивидуального комплекса — величина постоянная. Он характеризует интенсивность поглощения света раствором комплекса какого-либо одного состава. В отличие от истинного молярного коэффициента поглощения *кажущийся (условный) молярный коэффициент поглощения* смеси является величиной переменной: в числителе уравнения (4) находится суммарная оптическая плотность растворов комплексов различного состава, в знаменателе — суммарная концентрация ионов металла (концентрация свободных ионов металла и концентрации всех комплексных форм, находящихся в растворе). С изменением общей концентрации лиганда меняется соотношение концентраций отдельных комплексных форм, что приводит к изменению значения кажущегося (условного) молярного коэффициента поглощения.

По найденным в сериях растворов значениям  $\bar{\epsilon}$  строят график, на оси ординат которого откладывают кажущийся (условный) молярный коэффициент поглощения каждой серии, а на оси абсцисс — общую концентрацию лиганда  $C_A$  (рис. 22).

Растворы с различными концентрациями ионов металла  $C'_{Me}$  и  $C''_{Me}$ , но с одинаковыми значениями условного молярного коэффициента поглощения называются *соответственными растворами*. На рис. 22 показано несколько кривых, отвечающих таким соответственным растворам, обозначенным одинаковыми цифрами. По графику можно найти общие концентрации лиганда, соответствующие каждой паре соответственных растворов. Равновесные концентрации лиганда и отвечающие им

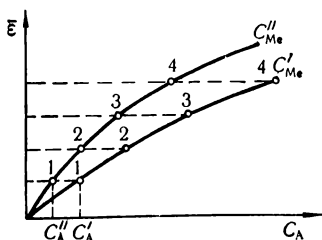


Рис. 22. Кривые метода соответственных растворов.



значения функции образования находят следующим образом.

Запишем уравнение (4) в другой форме, учитывая, что оптическая плотность  $D$  является суммарной оптической плотностью всех комплексов, находящихся в растворе:

$$D = \epsilon_1 [\text{MeA}] + \epsilon_2 [\text{MeA}_2] + \epsilon_3 [\text{MeA}_3] + \dots, \quad (5)$$

где  $\epsilon_1, \epsilon_2, \epsilon_3$  — истинные молярные коэффициенты поглощения комплексных форм  $\text{MeA}$ ,  $\text{MeA}_2$ ,  $\text{MeA}_3$  и т. д.

Общие константы устойчивости комплексов имеют вид:

$$\beta_1 = \frac{[\text{MeA}]}{[\text{Me}][\text{A}]}; \beta_2 = \frac{[\text{MeA}_2]}{[\text{Me}][\text{A}]^2}; \beta_3 = \frac{[\text{MeA}_3]}{[\text{Me}][\text{A}]^3}. \quad (6)$$

Подставив значения концентраций всех комплексных форм из уравнения (6) в уравнение (5), находим:

$$D = \epsilon_1 \beta_1 [\text{Me}][\text{A}] + \epsilon_2 \beta_2 [\text{Me}][\text{A}]^2 + \epsilon_3 \beta_3 [\text{Me}][\text{A}]^3 + \dots. \quad (7)$$

В знаменателе уравнения (4) записана общая концентрация ионов металла во всех формах:

$$C_{\text{Me}} = [\text{Me}] + [\text{MeA}] + [\text{MeA}_2] + [\text{MeA}_3] + \dots. \quad (8)$$

После подстановки вместо концентраций всех комплексов их значений из уравнения (6) получаем:

$$C_{\text{Me}} = [\text{Me}] + \beta_1 [\text{Me}][\text{A}] + \beta_2 [\text{Me}][\text{A}]^2 + \beta_3 [\text{Me}][\text{A}]^3 + \dots. \quad (9)$$

Объединив уравнения (7) и (9), имеем:

$$\bar{\epsilon} = \frac{D}{C_{\text{Me}}} = \frac{\epsilon_1 \beta_1 [\text{A}] + \epsilon_2 \beta_2 [\text{A}]^2 + \epsilon_3 \beta_3 [\text{A}]^3 + \dots}{1 + \beta_1 [\text{A}] + \beta_2 [\text{A}]^2 + \beta_3 [\text{A}]^3 + \dots}. \quad (10)$$

Как уже было сказано, соответственные растворы — это растворы с разной концентрацией  $C_{\text{Me}}$ , но с одинаковыми значениями  $\bar{\epsilon}$ . Но если два раствора имеют одинаковые значения  $\bar{\epsilon}$ , то, как видно из уравнения (10), в этих растворах равновесные концентрации лиганда также одинаковы.

Запишем в другой форме уравнение (1). В числителе уравнения стоит разность между общей и равновесной концентрациями лиганда, численно равная концентрации лиганда, связанного в комплекс. Следовательно,

$$C_{\text{A}} - [\text{A}] = [\text{MeA}] + 2[\text{MeA}_2] + 3[\text{MeA}_3] + \dots. \quad (11)$$

Заменив концентрации комплексных форм в уравнении (11) их значениями из уравнений (6), а концентрацию ионов



металла ее значением из уравнения (9), после сокращений получим:

$$\bar{n} = \frac{C_A - [A]}{C_{Me}} = \frac{\beta_1 [A] + 2\beta_2 [A]^2 + 3\beta_3 [A]^3 + \dots}{1 + \beta_1 [A] + \beta_2 [A]^2 + \beta_3 [A]^3 + \dots}. \quad (12)$$

Соответственные растворы имеют одинаковые равновесные концентрации лиганда. Из уравнения (12) видно, что при этом условии функции образования соответственных растворов также одинаковы. Следовательно, определение соответственных растворов можно уточнить: *соответственными называются такие растворы, у которых общие концентрации металла различны ( $C'_{Me}$  и  $C''_{Me}$ ), но равновесные концентрации лиганда, условные молярные коэффициенты поглощения и функции образования одинаковы.*

Для двух соответственных растворов можно записать:

$$\bar{n} = \frac{C'_A - [A]}{C'_{Me}} \text{ и } \bar{n} = \frac{C''_A - [A]}{C''_{Me}}. \quad (13)$$

Из этих уравнений легко найти равновесную концентрацию лиганда:

$$\frac{C'_A - [A]}{C'_{Me}} = \frac{C''_A - [A]}{C''_{Me}}, \quad (14)$$

откуда

$$C'_A C''_{Me} - C''_{Me} [A] = C''_A C'_{Me} - C'_{Me} [A] \quad (15)$$

и

$$[A] = \frac{C''_A C'_{Me} - C'_A C''_{Me}}{C'_{Me} - C''_{Me}}. \quad (16)$$

Из уравнения (13) следует, что

$$[A] = C'_A - \bar{n} C'_{Me} \text{ и } [A] = C''_A - \bar{n} C''_{Me}, \quad (17)$$

тогда

$$C'_A - \bar{n} C'_{Me} = C''_A - \bar{n} C''_{Me}, \quad (18)$$

а

$$\bar{n} = \frac{C''_A - C'_A}{C''_{Me} - C'_{Me}}. \quad (19)$$

Таким образом, из рис. 22 и уравнений (16) и (19) легко найти серию значений  $\bar{n}$  и соответствующих им значений  $[A]$ . Это дает возможность построить кривую образования и по описанному выше способу найти ступенчатые константы стойкости.



### § 43. Ступенчатая диссоциация комплексов. Метод Ледена

Метод Ледена удобно применять, если есть возможность экспериментально определить равновесную концентрацию свободных ионов металла в комплексах, например, потенциометрическим методом измеряя потенциал металлического индикаторного электрода, погруженного в раствор, содержащий ионы исследуемого металла. По уравнению Нернста

$$E_x = E_0 + \frac{0,058}{n} \lg [Me]$$

легко вычислить равновесную концентрацию (точнее — активность) ионов металла.

Метод Ледена в описанном варианте имеет ограниченное применение, поскольку существует сравнительно небольшое число металлических электродов, обратимо реагирующих на изменение концентрации ионов металла. Пригодны, например, серебряный и медный электроды, нередко применяют амальгамные электроды (растворы металлических кадмия, свинца, цинка, висмута в ртути). Этими примерами ограничиваются возможности данного варианта метода.

Существуют и другие варианты, при которых концентрацию ионов металла находят из экспериментов по экстрагированию, определению растворимости и др. Они рассматриваются подробно в специальных руководствах.

Эксперимент в методе Ледена состоит в следующем. Готовят серию растворов с постоянной концентрацией ионов металла и переменной концентрацией лиганда и измеряют во всех растворах серии концентрацию свободных ионов металла, применяя подходящий металлический или амальгамный электроды. Затем из полученных экспериментальных данных вычисляют функцию закомплексованности  $\Phi$ . Закомплексованностью называется отношение общей концентрации ионов металла к его равновесной концентрации

$$\Phi = \frac{C_{Me}}{[Me]}. \quad (1)$$

Функция закомплексованности изменяется от единицы до бесконечности. Если в растворе нет комплексобразования, тогда  $C_{Me} = [Me]$  и  $\Phi = 1$ . При сильном связывании ионов металла в комплекс концентрация свободных



ионов металла очень мала, следовательно,  $\Phi \rightarrow \infty$ .

Подставив в уравнение (1) вместо  $C_{\text{ме}}$  его значение из уравнения (9) (§ 42), получим:

$$\Phi = 1 + \beta_1 [A] + \beta_2 [A]^2 + \beta_3 [A]^3 + \dots \quad (2)$$

Из известных значений  $\Phi$  и  $A$  (в первом приближении принимают, что  $[A] = C_A$ ) находят константы стойкости.

Для этого уравнение (2) записывают в виде:

$$\frac{\Phi - 1}{[A]} = \beta_1 + \beta_2 [A] + \beta_3 [A]^2 + \dots \quad (3)$$

Предел выражения левой части уравнения (3) при  $[A] \rightarrow 0$  равен:

$$\lim_{[A] \rightarrow 0} \frac{\Phi - 1}{[A]} = \beta_1. \quad (4)$$

Чтобы найти  $\beta_1$ , строят график зависимости  $\frac{\Phi - 1}{[A]}$  от  $[A]$  и экстраполируют полученную кривую на нулевое значение  $[A]$ , как показано на рис. 23. Отрезок, отсекаемый кривой на оси ординат, численно равен  $\beta_1$ .

Далее преобразуют уравнение (3) следующим образом:

$$\frac{\frac{\Phi - 1}{[A]} - \beta_1}{[A]} = \beta_2 + \beta_3 [A]. \quad (5)$$

Предел выражения левой части уравнения (5) при  $[A] \rightarrow 0$  равен:

$$\lim_{[A] \rightarrow 0} \frac{\frac{\Phi - 1}{[A]} - \beta_1}{[A]} = \beta_2. \quad (6)$$

Чтобы найти  $\beta_2$ , нужно построить графическую зависимость выражения левой части уравнения (6) от равновесной концентрации лиганда и экстраполировать полученную кривую на нулевое значение  $[A]$ . Отрезок, отсекаемый этой кривой на оси ординат, численно равен  $\beta_2$ .

Аналогично находят константы стойкости всех остальных комплексов.

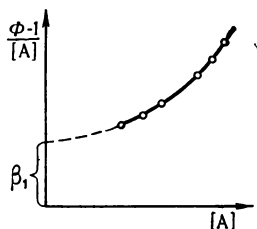


Рис. 23. Определение константы стойкости комплекса по методу Ледена.



Как уже было сказано, в первом приближении на оси абсцисс соответствующих графиков можно откладывать вместо равновесной концентрации лиганда  $[A]$  его общую концентрацию  $C_A$ . Однако такой способ неточен и может приводить к значительным ошибкам определения констант. Лучше вычислить из результатов экспериментальных измерений равновесную концентрацию лиганда:

$$[A] = C_A - n^* (C_{Me} - [Me]), \quad (7)$$

где  $n^*$  — среднее количество лигандов, приходящееся на каждый связанный в комплекс ион металла. При известном  $n^*$  легко вычислить по уравнению (7) концентрацию  $[A]$ , так как общие концентрации лиганда  $C_A$  и ионов металла  $C_{Me}$  известны, а концентрацию свободных ионов металла  $[Me]$  можно вычислить по уравнению Нернста.

Определение  $n^*$  основано на предположении, что в некоторой узкой области концентраций лиганда  $C'_A$  и  $C''_A$  образуется один гипотетический комплекс  $MeA_{n^*}$ , состав которого не изменяется при переходе от  $C'_A$  к  $C''_A$ . Для этой узкой области можно записать:

$$\frac{[MeA_{n^*}]}{[Me] [A]^{n^*}} = \beta_{n^*}. \quad (8)$$

При устойчивых комплексах можно считать, что концентрация комплекса  $MeA_{n^*}$  практически равна общей концентрации ионов металла:

$$[MeA_{n^*}] = C_{Me},$$

тогда из уравнения (8)

$$[Me] = \frac{C_{Me}}{\beta_{n^*} [A]^{n^*}}. \quad (9)$$

Чтобы найти  $n^*$  потенциометрическим методом, применяя металлический или амальгамный электрод, определяют концентрацию свободных ионов металла при двух близких концентрациях лиганда  $C'_A$  и  $C''_A$ . Потенциал электрода при  $C'_A$  и  $C''_A$  равен:

$$E_1 = E_0 + \frac{0,058}{n} \lg [Me'], \quad (10)$$

$$E_2 = E_0 + \frac{0,058}{n} \lg [Me'']. \quad (11)$$



Отсюда

$$E_1 - E_2 = \Delta E = \frac{0,058}{n} \lg \frac{[\text{Me}']}{[\text{Me}'']} \quad (12)$$

Подставив в уравнение (12) вместо  $[\text{Me}']$  и  $[\text{Me}'']$  их значения из уравнения (9), получим:

$$\Delta E = n^* \left( \frac{0,058}{n} \lg \frac{[\text{A}']}{[\text{A}']} \right) \quad (13)$$

Равновесные концентрации лиганда  $[\text{A}']$  и  $[\text{A}']$  не равны общим концентрациям  $C_A''$  и  $C_A'$ ; однако в узком интервале концентраций  $C_A'$  и  $C_A''$  можно принять, что

$$\frac{[\text{A}']}{[\text{A}']} = \frac{C_A''}{C_A'} \quad (14)$$

тогда

$$n^* = \frac{\Delta E}{\frac{0,058}{n} \lg \frac{C_A''}{C_A'}} \quad (15)$$

Аналогичным способом находят по уравнению (15) новое значение  $n^*$  в интервале концентраций лиганда  $C_A''$  и  $C_A'''$ . Так получают серию значений  $n^*$ , затем вычисляя по уравнению (7) равновесную концентрацию  $[\text{A}]$ .

#### **§ 44. Применение ступенчатых констант стойкости (или нестойкости) для вычисления концентраций отдельных комплексных форм. Диаграммы равновесия комплексов**

В аналитической химии часто возникает необходимость в вычислении равновесной концентрации какой-либо комплексной формы или свободных ионов металла при данной концентрации лиганда. Воспользовавшись ступенчатыми константами стойкости (или нестойкости), легко вывести соответствующие зависимости.

Предположим, что в растворе находятся в равновесии комплексы  $\text{MeA}$ ,  $\text{MeA}_2$  и  $\text{MeA}_3$ , тогда общая концентрация свободных ионов металла

$$C_{\text{Me}} = [\text{Me}] + [\text{MeA}] + [\text{MeA}_2] + [\text{MeA}_3] \quad (1)$$

Запишем выражения ступенчатых констант нестойкости:

$$\frac{[\text{Me}][\text{A}]}{[\text{MeA}]} = K_1; \quad \frac{[\text{MeA}][\text{A}]}{[\text{MeA}_2]} = K_2; \quad \frac{[\text{MeA}_2][\text{A}]}{[\text{MeA}_3]} = K_3 \quad (2)$$



Чтобы вывести зависимость концентрации свободных ионов металла от равновесной концентрации лиганда, заменим концентрации комплексов в уравнении (1) соответственно их значениями из уравнений (2):

из выражения для  $K_1$

$$[\text{MeA}] = \frac{[\text{Me}][\text{A}]}{K_1}; \quad (3)$$

из выражения для  $K_2$  и уравнения (3)

$$[\text{MeA}_2] = \frac{[\text{MeA}][\text{A}]}{K_2} = \frac{[\text{Me}][\text{A}]^2}{K_2 K_1}; \quad (4)$$

из выражения для  $K_3$  и уравнения (4)

$$[\text{MeA}_3] = \frac{[\text{MeA}_2][\text{A}]}{K_3} = \frac{[\text{Me}][\text{A}]^3}{K_3 K_2 K_1}, \quad (5)$$

следовательно,

$$C_{\text{Me}} = [\text{Me}] \left[ 1 + \frac{[\text{A}]}{K_1} + \frac{[\text{A}]^2}{K_2 K_1} + \frac{[\text{A}]^3}{K_3 K_2 K_1} \right]. \quad (6)$$

Если привести выражение в скобках к общему знаменателю, то после некоторых преобразований получим:

$$[\text{Me}] = \frac{C_{\text{Me}} K_3 K_2 K_1}{[\text{A}]^3 + K_3 [\text{A}]^2 + K_3 K_2 [\text{A}] + K_3 K_2 K_1}. \quad (7)$$

Это уравнение дает возможность вычислить равновесную концентрацию  $[\text{Me}]$  при любой концентрации лиганда.

Аналогично выводятся уравнения для вычисления равновесных концентраций  $[\text{MeA}]$ ,  $[\text{MeA}_2]$  и  $[\text{MeA}_3]$ :

$$[\text{MeA}] = \frac{C_{\text{Me}} K_3 K_2 [\text{A}]}{[\text{A}]^3 + K_3 [\text{A}]^2 + K_3 K_2 [\text{A}] + K_3 K_2 K_1}; \quad (8)$$

$$[\text{MeA}_2] = \frac{C_{\text{Me}} K_3 [\text{A}]^2}{[\text{A}]^3 + K_3 [\text{A}]^2 + K_3 K_2 [\text{A}] + K_3 K_2 K_1}; \quad (9)$$

$$[\text{MeA}_3] = \frac{C_{\text{Me}} [\text{A}]^3}{[\text{A}]^3 + K_3 [\text{A}]^2 + K_3 K_2 [\text{A}] + K_3 K_2 K_1}. \quad (10)$$

По уравнениям (8) — (10) можно точно вычислить концентрацию любого комплекса при данной концентрации лиганда. Менее точное, но более наглядное представление о равновесиях между отдельными комплексами дает диаграмма равновесия. Такую диаграмму легко построить, пользуясь уравнениями (2) и принимая, что при данной концентрации лиганда в равновесии находятся только два



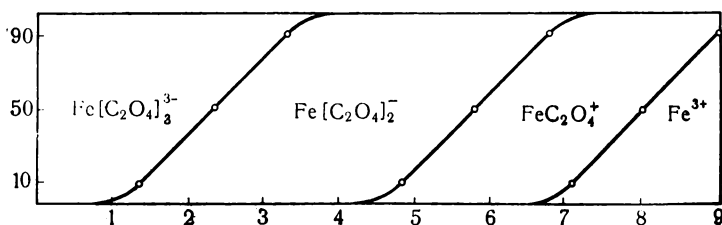


Рис. 24. Диаграмма ступенчатых равновесий оксалатных комплексов железа (III).

соседних иона и что концентрациями других комплексных форм в этот момент можно пренебречь. На оси ординат диаграммы откладывают процентное содержание определенной комплексной формы, а на оси абсцисс —  $-\lg A = pA$ .

Приведем в качестве примера диаграмму равновесий оксалатных комплексов железа (III). Для них известны следующие константы:

$$\frac{[\text{Fe}^{3+}][\text{C}_2\text{O}_4^{2-}]}{[\text{FeC}_2\text{O}_4^+]} = K_1 = 7 \cdot 10^{-9}, \quad pK_1 = 8,2; \quad (11)$$

$$\frac{[\text{FeC}_2\text{O}_4^+][\text{C}_2\text{O}_4^{2-}]}{[\text{Fe}(\text{C}_2\text{O}_4)_2^-]} = K_2 = 1,6 \cdot 10^{-6}, \quad pK_2 = 5,8; \quad (12)$$

$$\frac{[\text{Fe}(\text{C}_2\text{O}_4)_2^-][\text{C}_2\text{O}_4^{2-}]}{[\text{Fe}(\text{C}_2\text{O}_4)_3^{3-}]} = K_3 = 5 \cdot 10^{-3}, \quad pK_3 = 2,3. \quad (13)$$

Используя значения этих констант, легко рассчитать и построить диаграмму ступенчатых равновесий оксалатных комплексов железа (III), приведенную на рис. 24.

### Список литературы

Бабко А. К. Физико-химический анализ комплексных соединений в растворах. К., Изд-во АН УССР, 1955.

Бек М. Химия равновесий реакций комплексообразования. М., «Мир», 1973.

Россоти Ф., Россоти Х. Определение констант устойчивости и других констант равновесия в растворах. М., «Мир», 1965.

Спектроскопические методы в химии комплексных соединений. Под ред. В. М. Вдовенко. М.-Л., «Химия», 1964.

Шлефер Г. Л. Комплексообразование в растворах. М.-Л., «Химия», 1964.

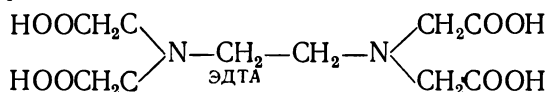


## Глава 8. ПРИМЕРЫ ПРИМЕНЕНИЯ КОМПЛЕКСОВ В АНАЛИЗЕ

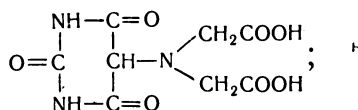
В настоящей главе описаны только некоторые примеры применения комплексов металлов, в частности, с неорганическими лигандами или органическими — реагентами в титриметрическом методе анализа. Из-за ограниченного объема книги здесь не рассматриваются многочисленные случаи использования комплексов металлов с органическими реагентами в фотометрическом анализе, экстракционных методах разделения и других методах анализа.

### § 45. Комплексонометрия

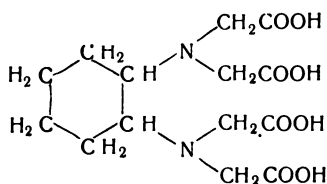
Комплексонометрией называется титриметрический метод анализа, в котором в качестве рабочего раствора применяют раствор комплексона — динатриевую соль этилендиаминтетрауксусной кислоты ЭДТА, известной под названием «Трилон Б»:



К классу соединений, имеющему общее название «комплексоны», принадлежат различные химические соединения. Наибольшее значение имеют иминодиуксусная кислота  $\text{NH}(\text{CH}_2\text{COOH})_2$ ; нитрилотриуксусная кислота  $\text{N}(\text{CH}_2\text{COOH})_3$ ; урамил- $\text{N},\text{N}$ -диуксусная кислота



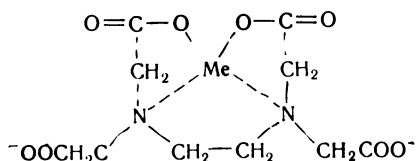
1,2-диаминоциклогексан- $\text{N},\text{N}$ ,  $\text{N}'\text{N}'$ -тетрауксусная кислота



Самое широкое распространение получила этилендиаминтетрауксусная кислота (ЭДТА). Она образует с катионами большинства металлов комплексные соединения,

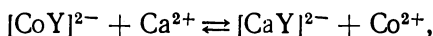


строение которых (например, для двухзарядного катиона металла) можно представить следующим образом:



Устойчивость комплексов объясняется главным образом тем, что в образовавшемся соединении катион металла замыкает три пятичленных цикла с участием двух атомов азота (координационная связь) при вытеснении ионов водорода из карбоксильных групп реагента.

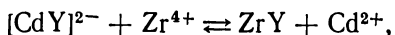
Применение ЭДТА и других комплексонов в химическом анализе чрезвычайно разнообразно. ЭДТА является хорошим маскирующим агентом и может применяться с целью маскирования в гравиметрических, титриметрических, фотометрических, электрохимических методах анализа, при разделениях элементов методом экстракции и т. д. Так, например, ЭДТА образует с большинством металлов комплексы, устойчивые к осаждению раствором гидроксида аммония, за исключением бериллия, титана и урана, которые при этих условиях выделяются в виде гидроксидов. Поэтому гравиметрическое определение трех названных элементов в виде оксидов может быть выполнено в присутствии многих посторонних элементов. Катионы цинка, марганца, кобальта и никеля не осаждаются раствором сульфида аммония в присутствии ЭДТА, в то время, как катионы ртути, меди, кадмия, свинца и висмута образуют нерастворимые сульфиды. Ионы кобальта в отличие от никеля количественно вытесняются из комплекса с ЭДТА ионами кальция в присутствии  $(\text{NH}_4)_2\text{S}$ :



где  $\text{Y}^{4-}$  — анион ЭДТА. Раствор сульфида аммония осаждает при этих условиях только  $\text{CoS}$ , а ионы никеля остаются в растворе. Ионы марганца можно титровать раствором  $\text{K}_4[\text{Fe}(\text{CN})_6]$  в присутствии ионов железа, никеля и свинца, если их замаскировать ЭДТА. 4-(2-Пиридилазо)-резорцин (ПАР) в присутствии ЭДТА образует окрашенный комплекс только с ионами ниобия, остальные элементы маскируются ЭДТА; это является основой фотометрического метода определения ниобия в присутствии многих



мешающих элементов. Полярографическое определение циркония основано на вытеснении им ионов кадмия из его комплекса с ЭДТА:



после чего получают полярограмму кадмия, количество которого эквивалентно количеству циркония.

Известны фотометрические методы определения железа, меди, никеля, кобальта, хрома и марганца, основанные на образовании окрашенных комплексных соединений с ЭДТА, нитрилтриуксусной кислотой и другими комплексонами. Описаны косвенные методы определения ионов натрия, фосфат-, сульфат- и вольфрамат- ионов. Эти ионы осаждают, например, в виде  $\text{NaZn}(\text{UO}_2)_3(\text{CH}_3\text{COO})_9$ ,  $\text{MgNH}_4\text{PO}_4$ ,  $\text{BaSO}_4$ ,  $\text{CaWO}_4$  и титруют затем цинк, входящий в состав первого осадка, или избыток ионов магния, кальция или бария (которыми осаждали) раствором ЭДТА.

Применение различных комплексонов в анализе широко описано в литературе. Ниже подробнее рассмотрено только применение ЭДТА в титриметрическом методе анализа.

Этилендиаминтетрауксусная кислота (сокращенное обозначение  $\text{H}_4\text{Y}$ ) является четырехосновной кислотой  $pK_1 = 2,0$ ;  $pK_2 = 2,76$ ;  $pK_3 = 6,16$  и  $pK_4 = 10,26$ . Следовательно, при  $pH > 3$  ЭДТА существует в виде аниона  $[\text{H}_2\text{Y}]^{2-}$ .

Основное преимущество ЭДТА как титриметрического реагента состоит в том, что преобладающее большинство комплексных соединений имеет состав 1 : 1, т. е. один ион металла реагирует с одной молекулой ЭДТА. Поэтому отсутствуют осложнения, связанные со ступенчатой диссоциацией комплексов, что значительно облегчает применение ЭДТА в титриметрическом анализе.

Особенность ЭДТА заключается и в том, что она образует комплексные соединения практически со всеми ионами металлов, включая щелочноземельные и щелочные металлы. Исключение составляют бериллий, уран и титан, комплексы которых мало устойчивы. Существенно, что константы стойкости комплексов ЭДТА с ионами металлов сильно отличаются по величине, что дает возможность, создавая различное  $pH$  раствора, титровать одни ионы металлов в присутствии других.

В табл. 47 приведены  $pK$  (или  $\lg K_{\text{ср}}$ ) комплексов ионов металлов с ЭДТА ( $\text{H}_4\text{Y}$ ).



Таблица 47

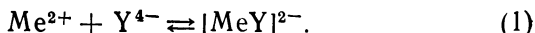
## Логарифмы констант стойкости комплексов ионов металлов с ЭДТА

| Ионы             | lg K <sub>ст</sub> | Ионы             | lg K <sub>ст</sub> | Ионы             | lg K <sub>ст</sub> | Ионы             | lg K <sub>ст</sub> |
|------------------|--------------------|------------------|--------------------|------------------|--------------------|------------------|--------------------|
| Ag <sup>+</sup>  | 7,2                | Fe <sup>2+</sup> | 14,33              | Cd <sup>2+</sup> | 16,46              | Ce <sup>3+</sup> | 16,40              |
| Mg <sup>2+</sup> | 8,69               | Fe <sup>3+</sup> | 25,10              | Hg <sup>2+</sup> | 21,80              | Pr <sup>3+</sup> | 16,40              |
| Ca <sup>2+</sup> | 10,96              | Co <sup>2+</sup> | 16,31              | Pb <sup>2+</sup> | 18,04              | Sc <sup>3+</sup> | 23,1               |
| Sr <sup>2+</sup> | 8,63               | Ni <sup>2+</sup> | 18,62              | Al <sup>3+</sup> | 16,13              | Ga <sup>3+</sup> | 20,3               |
| Ba <sup>2+</sup> | 7,76               | Cu <sup>2+</sup> | 18,80              | Y <sup>3+</sup>  | 18,09              | In <sup>3+</sup> | 24,9               |
| Mn <sup>2+</sup> | 14,04              | Zn <sup>2+</sup> | 16,50              | La <sup>3+</sup> | 15,50              | Th <sup>4+</sup> | 23,2               |

Точность определения ионов металлов титрованием раствором ЭДТА зависит от двух основных факторов: от pH раствора и от выбора металлохромного индикатора.

Кислотность раствора при титровании должна обеспечить такую степень связывания определяемого иона металла в комплексе, которая соответствовала бы заданной точности титрования. Ранее было показано, что точность титриметрического анализа при оптимальных условиях не превышает 0,1%. Следовательно, в точке эквивалентности не должно оставаться более 0,1% несвязанных в комплекс ионов металла.

Например, для двухзарядного иона металла реакция комплексообразования проходит по уравнению:



Константа нестойкости образовавшегося комплекса равна:

$$K_H = \frac{[\text{Me}^{2+}][\text{Y}^{4-}]}{[\text{MeY}^{2-}]}. \quad (2)$$

В точке эквивалентности концентрация свободных ионов металла (если гидролиз отсутствует или незначителен) равна общей концентрации ЭДТА во всех формах:

$$[\text{Me}^{2+}] = C_{\text{H}_4\text{Y}}. \quad (3)$$

Концентрация четырехзарядных анионов ЭДТА  $[\text{Y}^{4-}]$  связана с ее общей концентрацией  $C_{\text{H}_4\text{Y}}$  следующим уравнением:

$$[\text{Y}^{4-}] = \frac{C_{\text{H}_4\text{Y}} K_1 K_2 K_3 K_4}{[\text{H}^+]^4 + K_1 [\text{H}^+]^3 + K_1 K_2 [\text{H}^+]^2 + K_1 K_2 K_3 [\text{H}^+] + K_1 K_2 K_3 K_4}. \quad (4)$$

$$\text{Обозначим отношение } \frac{[\text{Y}^{4-}]}{C_{\text{H}_4\text{Y}}} = \alpha. \quad (5)$$



Подставив  $[Y^{4-}]$  из уравнения (5) в уравнение (2), учитывая уравнение (3), получим:

$$K_H = \frac{[Me^{2+}]^2}{[MeY^{2-}]} \alpha. \quad (6)$$

Концентрацию анионов  $[MeY]^{2-}$  в точке эквивалентности можно принять равной общей концентрации ионов металла:

$$[MeY^{2-}] = C_{Me}. \quad (7)$$

Обозначим отношение

$$\frac{[Me^{2+}]}{C_{Me}} = T, \quad (8)$$

тогда из уравнений (6)—(8) имеем:

$$K_H = C_{Me} T^2 \alpha. \quad (9)$$

Из этого уравнения можно найти концентрацию водородных ионов (или pH), при которой (при заданных  $C_{Me}$  и  $T$  и известной константе нестойкости комплекса) следует вести титрование. Однако пользоваться непосредственно уравнением (9) неудобно, так как в значение  $\alpha$  входит концентрация водородных ионов в четвертой степени (и более низких степенях). Лучше заранее вычислить  $\alpha$  для разных значений pH и сравнить табличные значения  $\alpha$  со значениями, вычисленными по уравнению (9) (табл. 48).

Таблица 48

Вычисленные значения  $\alpha$  для разных значений pH

| pH | $\alpha$             | $-\lg \alpha$ | pH | $\alpha$            | $-\lg \alpha$ | pH | $\alpha$            | $-\lg \alpha$ |
|----|----------------------|---------------|----|---------------------|---------------|----|---------------------|---------------|
| 1  | $5,7 \cdot 10^{-18}$ | 17,2          | 6  | $2,0 \cdot 10^{-5}$ | 4,7           | 11 | $8,3 \cdot 10^{-1}$ | 0,07          |
| 2  | $2,9 \cdot 10^{-14}$ | 13,4          | 7  | $4,3 \cdot 10^{-4}$ | 3,3           | 12 | $9,8 \cdot 10^{-1}$ | 0,03          |
| 3  | $2,0 \cdot 10^{-11}$ | 10,7          | 8  | $5,0 \cdot 10^{-3}$ | 2,3           | 13 | 1,0                 | 0             |
| 4  | $3,0 \cdot 10^{-9}$  | 8,5           | 9  | $5,0 \cdot 10^{-2}$ | 1,3           | 14 | 1,0                 | 0             |
| 5  | $3,0 \cdot 10^{-7}$  | 6,5           | 10 | $3,3 \cdot 10^{-1}$ | 0,46          |    |                     |               |

Вычислим, например, оптимальное значение pH раствора для титрования ионов алюминия раствором ЭДТА при  $C_{Me} = 0,001$  М,  $T = 10^{-3}$  (точность 0,1%) и  $K_H = 7,4 \times 10^{-17}$ . При этих условиях из уравнения (9) находим:

$$\alpha = \frac{K_H}{C_{Me} T^2} = \frac{7,4 \cdot 10^{-17}}{10^{-3} \cdot 10^{-6}} = 7,4 \cdot 10^{-8}.$$



Из данных табл. 48 следует, что  $\alpha = 7,4 \cdot 10^{-8}$  соответствует  $pH \approx 4,5$ , следовательно, определение алюминия лучше всего проводить именно при этом значении  $pH$ .

При тех же условиях для ионов железа, если константа нестойкости комплекса их с ЭДТА равна  $10^{-25}$ , имеем:

$$\alpha = \frac{10^{-25}}{10^{-9}} = 10^{-16}.$$

Этому значению  $\alpha$  соответствует  $pH \approx 1,5$ .

Из расчетов следует, что для определения железа и алюминия в смеси сначала необходимо при  $pH \approx 1,5$  оттитровать ионы железа, затем повысить  $pH$  раствора до 4,5 и оттитровать ионы алюминия.

Вычислить оптимальное значение  $pH$  можно и другим способом, имея в виду, что при  $3 \leq pH \leq 7$  практически вся ЭДТА находится в виде аниона  $H_2Y^{2-}$ . Тогда уравнение реакции запишется следующим образом:



откуда

$$\frac{[Me^{2+}][H_2Y^{2-}]}{[MeY^{2-}][H^+]^2} = \frac{K_H}{K_3K_4}, \quad (11)$$

где  $K_3$  и  $K_4$  — третья и четвертая константы диссоциации ЭДТА.

Если учесть, что  $[MeY^{2-}] = C_{Me}$ , а  $\frac{[Me]}{C_{Me}} = T$  и что в точке эквивалентности  $[Me^{2+}] = [H_2Y^{2-}]$ , то уравнение (11) примет вид:

$$\frac{C_{Me}T^2}{[H^+]^2} = \frac{K_H}{K_3K_4}, \quad (12)$$

откуда

$$[H^+] = \sqrt{\frac{C_{Me}T^2K_3K_4}{K_H}} \quad (13)$$

или

$$pH = \frac{1}{2}(pC_{Me} + 2pT + pK_3 + pK_4 - pK_H). \quad (14)$$

Так, например, для алюминия при  $pC = 3$ ,  $pT = 3$ ,  $pK_H = 16,1$ ,  $pK_3 = 6,2$  и  $pK_4 = 10,3$  имеем:

$$pH = \frac{1}{2}(3 + 6 + 6,2 + 10,3 - 16,1) = 4,7.$$

Однако определение оптимального значения  $pH$  не обеспечивает еще заданную точность определения. Необходимо правильно выбрать металлохромный индикатор, который изменял бы окраску в конечной точке титрования,



т. е. в тот момент, когда в растворе останется не более 0,1 % общего количества титруемых ионов металла.

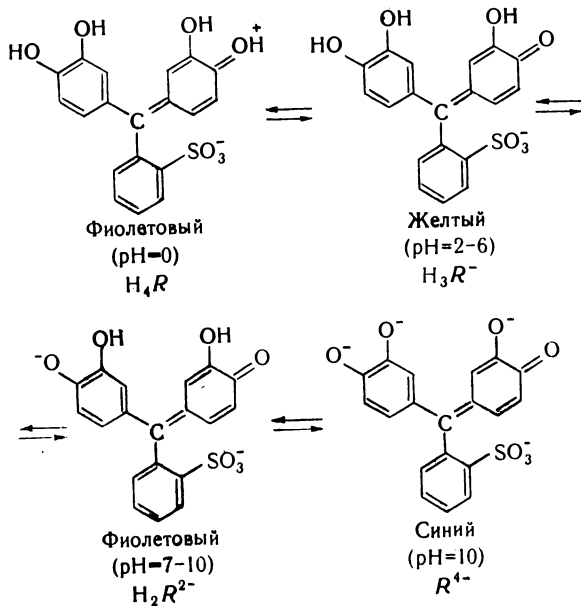
Металлохромные индикаторы — это органические соединения, изменяющие свою окраску в зависимости от концентрации водородных ионов раствора и способные образовывать окрашенные комплексные соединения с катионами металлов, причем устойчивость таких комплексов должна быть меньше, чем комплексов этих же катионов с ЭДТА.

Изменение окраски вследствие изменения рН — общее свойство металлохромных и кислотно-основных индикаторов. Однако в отличие от последних металлохромные индикаторы имеют несколько переходов окраски.

Наиболее важные металлохромные индикаторы являются представителями трифенилметановых красителей и азокрасителей. Другие металлохромные индикаторы имеют меньшее значение в аналитической химии.

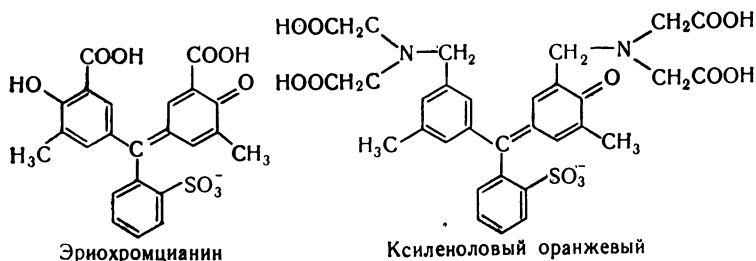
Рассмотрим свойства некоторых металлохромных индикаторов.

**Трифенилметановые красители.** *Пирокатехиновый фиолетовый* может быть в растворе в зависимости от величины рН в четырех формах:

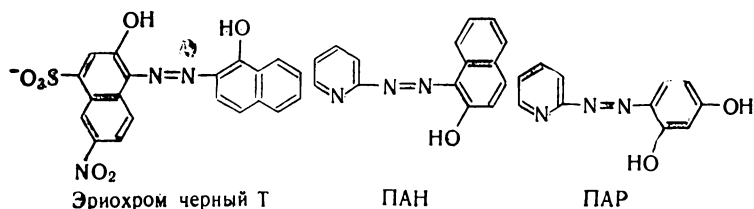




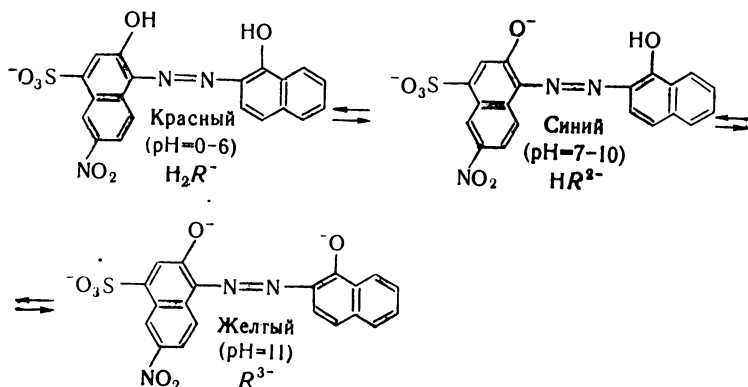
Аналогичными свойствами обладают, например, *эриохромцианин* или *ксиленоловый оранжевый*:



**Азокрасители.** Из них наиболее распространены *эриохром черный Т* (ЭХЧ-Т); 4-(2-пиридилазо)-резорцин (ПАР); 1-(2-пиридилазо)-2-нафтол<sub>4</sub> (ПАН):



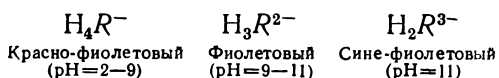
При изменении концентрации водородных ионов эриохром черный Т, например, изменяет свою окраску следующим образом:



Соединения других классов. *Мурексид* — аммонийная соль пурпурной кислоты — образует



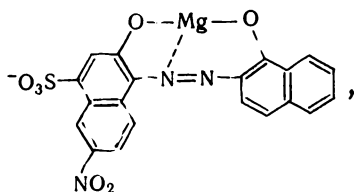
при различных рН следующие окрашенные анионы:



Все рассмотренные и другие металлохромные индикаторы образуют с ионами металлов окрашенные комплексные соединения.

Так, для пирокатехинового фиолетового наиболее важное значение имеют комплексы синего цвета, существующие в растворе в области рН = 2—6 (например, комплексы с ионами висмута, алюминия, циркония). Эриохром черный Т дает с ионами металлов, как правило, комплексы красного цвета при рН = 7 — 10. Мурексид образует (в зависимости от рН), например, с ионами кальция желто-оранжевый (рН = 2 — 9), красно-оранжевый (рН = 9 — 11) или красный (рН = 11) комплексы состава  $\text{CaH}_4\text{R}^+$ ,  $\text{CaH}_3\text{R}$  и  $\text{CaH}_2\text{R}^-$  соответственно.

Рассмотрим подробнее химические реакции, которые проходят в растворе при титровании ионов металлов раствором трилона Б в присутствии металлохромных индикаторов. Так, например, оптимальное значение рН для определения магния равно 9—10. Удобнее всего в этом случае воспользоваться эриохром черным Т. При добавлении небольшого количества этого индикатора к раствору соли магния образуется окрашенное в красный цвет комплексное соединение:



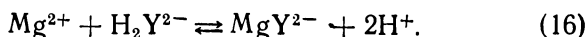
которое схематически обозначим  $\text{MgR}^-$ . Реакция проходит по уравнению:



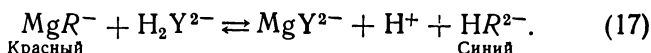
Таким образом, раствор приобретая красный цвет, содержит большое количество свободных ионов магния и незначительное количество молекул комплекса  $\text{MgR}^-$  красного цвета.



При титровании раствором ЭДТА сначала реагируют свободные ионы магния:



После этого в реакцию с ЭДТА вступает магний, связанный в комплекс с эриохром черным Т:



Поэтому в точке эквивалентности цвет раствора изменяется от красного к синему.

Выбор наиболее подходящего индикатора на основании предварительного расчета представляет трудную задачу, так как имеется слишком мало данных о константах нестойкости комплексов ионов металлов с металлохромными индикаторами.

Рассмотрим принцип такого выбора и оценку точности титрования на примере определения магния с эриохром черным Т. Для комплексов магния с этим индикатором известны *условные константы нестойкости*

$$K_{\text{ус. Н}} = \frac{[\text{Mg}^{2+}] C_{\text{инд}}}{[\text{MgR}^-]}. \quad (18)$$

Условными эти константы называются потому, что в числителе выражения (18) стоит не концентрация анионов  $\text{R}^{3-}$ , а общая концентрация индикатора  $C_{\text{инд}}$  во всех формах. Поэтому константа будет постоянной лишь при постоянной концентрации ионов водорода. Например, в области  $\text{pH} = 7 - 11$  значения константы меняются так:

|    |                     |                     |                     |                     |                     |
|----|---------------------|---------------------|---------------------|---------------------|---------------------|
| pH | 7                   | 8                   | 9                   | 10                  | 11                  |
| K  | $3,6 \cdot 10^{-3}$ | $3,6 \cdot 10^{-4}$ | $3,6 \cdot 10^{-5}$ | $3,6 \cdot 10^{-6}$ | $5,5 \cdot 10^{-7}$ |

Предположим, что исходная концентрация ионов магния равна 0,1 М. Тогда, применив уравнение (9), найдем, что

$$\alpha = \frac{K_{\text{H}}}{C_{\text{Me}} T^2} = \frac{2 \cdot 10^{-9}}{10^{-1} \cdot 10^{-6}} = 2 \cdot 10^{-2}.$$

Из данных табл. 48 видно, что лучше всего проводить титрование при  $\text{pH} \approx 10$ . В этом случае по уравнению (18)

$$\frac{[\text{Mg}^{2+}] C_{\text{инд}}}{[\text{MgR}^-]} = 3,6 \cdot 10^{-5}.$$



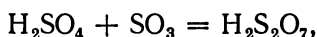
Наш глаз наиболее четко воспринимает изменение окраски в тот момент, когда половина индикатора находится в одной окрашенной форме, а другая половина — в другой. В данном случае наиболее резкий переход окраски наблюдается при равенстве концентраций  $C_{\text{инд}} = \text{MgR}^-$ , или при равенстве концентраций несвязанного в комплекс индикатора (синяя форма) и комплекса ионов металла с индикатором (красная форма). Тогда концентрация свободных ионов магния в конечной точке титрования равна  $3,6 \cdot 10^{-5}$ . Если выразить погрешность титрования (ПТ) как отношение концентрации свободных ионов магния в конечной точке титрования к общей его концентрации, то

$$\text{ПТ} = \frac{3,6 \cdot 10^{-5} \cdot 100}{10^{-1}} = 0,036 \, \%.$$

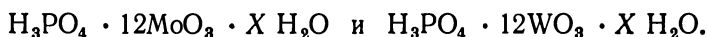
Приведенный расчет показывает, что титрование с эриохром черным Т дает достаточно точные результаты.

## § 46. Гетерополиокислоты

Многие кислородные кислоты способны присоединять оксиды элементов, выступающих в качестве центральных атомов этих кислот, с образованием изополиокислот. Например, при взаимодействии концентрированной серной кислоты с триоксидом серы образуется пироксерная кислота:



которая принадлежит к классу изополиокислот. Если кислородная кислота присоединяет оксид элемента, который отличается от центрального атома кислоты, то образуются гетерополиокислоты. Известны, например, фосфорномолибденовая и фосфорновольфрамовая гетерополиокислоты, состав которых можно выразить общими формулами

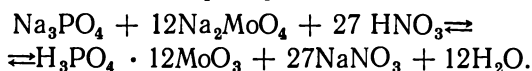


Гетерополиокислоты могут образовываться из кислородных кислот со следующими центральными атомами:  $\overset{+7}{\text{I}}$ ,  $\overset{+7}{\text{Mn}}$ ,  $\overset{+6}{\text{S}}$ ,  $\overset{+6}{\text{Se}}$ ,  $\overset{+6}{\text{Te}}$ ,  $\overset{+5}{\text{P}}$ ,  $\overset{+5}{\text{As}}$ ,  $\overset{+4}{\text{Si}}$ ,  $\overset{+4}{\text{Ge}}$ ,  $\overset{+4}{\text{Ti}}$ ,  $\overset{+4}{\text{Zr}}$ ,  $\overset{+4}{\text{Th}}$ ,  $\overset{+3}{\text{V}}$  и др.



Чаще всего присоединяются к кислородным кислотам с образованием гетерополиоксидов оксиды молибдена, вольфрама и ванадия ( $\text{MoO}_3$ ,  $\text{WO}_3$  и  $\text{V}_2\text{O}_5$ ).

Гетерополиоксиды в щелочных растворах неустойчивы и разлагаются на свои составные части. Их растворы легко получить при подкислении смеси щелочных растворов солей кислородных кислот с молибдатами, вольфраматами или ванадатами, например:



Соли гетерополиоксидов с ионами цезия, серебра, ртути (I), аммония, а также с катионами многих органических азотсодержащих оснований (например, с катионами пиридиния, хинолиния, гуанидиния) мало растворимы в воде. При взаимодействии гетерополиоксидов со многими алкалоидами выделяются из растворов осадки, чем обусловлено применение гетерополиоксидов для качественного определения алкалоидов.

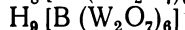
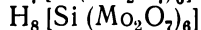
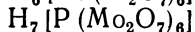
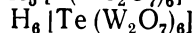
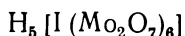
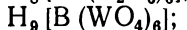
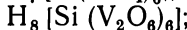
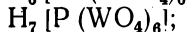
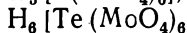
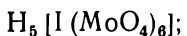
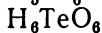
Вопрос о строении гетерополиоксидов в твердом состоянии и в растворах служил предметом многочисленных исследований. Удивительным был тот факт, что возле центрального атома гетерополиоксидов удерживается такое большое количество атомов других элементов, которое не соответствует обычному координационному числу этого центрального атома. Теория Миолати — Розенгейма рассматривала поэтому гетерополиоксиды как производные гипотетических кислородных кислот состава  $\text{H}_{12-n}[\text{X}^n\text{O}_6]$ , в которых шесть атомов кислорода замещены двухзарядными анионами  $[\text{MoO}_4]^{2-}$ ,  $[\text{WO}_4]^{2-}$  или  $[\text{Mo}_2\text{O}_7]^{2-}$ ,  $[\text{W}_2\text{O}_7]^{2-}$ ,  $[\text{V}_2\text{O}_6]^{2-}$ . Основанием для такой точки зрения служило, в частности, то, что основность гетерополиоксидов нередко превышает основность тех кислородных кислот, из которых они образовались. Так, при кондуктометрическом титровании фосформолибденовой кислоты резкое изменение значения электропроводности наблюдалось после прибавления не трех эквивалентов  $\text{NaOH}$  (как это должно было быть, исходя из формулы  $\text{H}_3\text{PO}_4 \cdot 12\text{MoO}_3 \cdot \text{H}_2\text{O}$ ), а после прибавления 6—7 эквивалентов. Кроме того, были выделены в твердом состоянии семизамещенные соли фосформолибденовой кислоты с катионами гуанидиния  $\text{H}_2\text{N}^+ = \text{C}(\text{NH}_2)_2$  и некоторыми другими органическими азотсодержащими основаниями. Таким образом, в соответ-



ствии в теории Миолати — Розенгейма, строение гетерополикислот выражается следующими формулами

Кислородная кислота

Гетерополикислота



Из приведенных в левой колонке кислот выделены в свободном состоянии только  $\text{H}_5\text{IO}_6$  и  $\text{H}_6\text{TeO}_6$ ; формулы остальных кислот являются гипотетическими.

Основные возражения против теории Миолати — Розенгейма сводятся к следующим двум аргументам. Эта теория предполагает наличие у гетерополикислот большого количества изомерных форм, которого в действительности не наблюдается. Кроме того, димеры типа  $[\text{Mo}_2\text{O}_7]^{2-}$  или  $[\text{W}_2\text{O}_7]^{2-}$ , как правило, в растворах не обнаруживаются, поэтому экспериментально не доказано, что координированными лигандами являются анионы  $[\text{Mo}_2\text{O}_7]^{2-}$  или  $[\text{W}_2\text{O}_7]^{2-}$ .

П. Пфейфер в отличие от А. Розенгейма полагал, что лигандами в гетерополикислотах являются группы  $\text{MoO}_3$  или  $\text{WO}_3$  и внутренняя сфера комплекса содержит два слоя. В первом слое, расположенном непосредственно возле центрального иона, находятся шесть атомов кислорода; во втором, более отдаленном слое, содержится 12 групп  $\text{MoO}_3$ . Однако не существует достаточно убедительных экспериментальных данных, подтверждающих правильность теории Пфейфера.

Данные рентгенографического исследования твердых гетерополикислот указывают на координирование групп типа  $[\text{Me}_3\text{O}_{10}]^{2-}$ , в связи с чем состав этих соединений записывают в виде формул  $\text{H}_3[\text{P}(\text{Mo}_3\text{O}_{10})_4]$ ,  $\text{H}_4[\text{Si}(\text{W}_3\text{O}_{10})_4]$  и т. д. По данным других исследований основными структурными группами в таких соединениях являются группы  $\text{MoO}_6$ , причем атомы молибдена (вольфрама) находятся в центре октаэдров, образованных атомами кислорода; все октаэдры соединены между собой общей вершиной или общим ребром. Поэтому состав гетерополикислот, например, фосформолибденовой кислоты, записывают в виде формулы  $\text{H}_3[\text{P}(\text{Mo}_{12}\text{O}_{40})]$ . Данные рентгенографического исследования растворов кремневольфрамовой кислоты пока-



зывают, что в них содержатся ионы  $[\text{Si}(\text{W}_{12}\text{O}_{40})]^{4-}$ . Однако состав твердых солей нельзя отождествлять с их составом в растворах. Кристаллизация соли определенного состава из раствора не может еще служить доказательством, что соответствующие анионы находятся также в водном растворе. Интенсивные исследования растворов гетерополикислот продолжаются.

Состав гетерополикислот очень разнообразен. Это обусловлено существованием не полностью замещенных гетерополикислот, у которых не все атомы кислорода замещены анионами  $[\text{Mo}_2\text{O}_7]^{2-}$  или  $[\text{Mo}_3\text{O}_{10}]^{2-}$ , например (по схеме Розенгейма),  $\text{H}_7[\text{P}(\text{Mo}_2\text{O}_7)_5]$  или  $\text{H}_8[\text{SiO}_2(\text{W}_2\text{O}_7)_4]$  и т. д. Кроме того, во внутреннюю сферу могут входить не только однородные лиганды, но и лиганды различной природы. Существует, например, фосфорномолибденованадиевая гетерополикислота  $\text{H}_7[\text{P}(\text{Mo}_2\text{O}_7)_3(\text{V}_2\text{O}_6)_3]$ , причем соотношение разнородных частиц во внутренней сфере может быть самым различным. Известны также двоядерные гетерополикислоты, центральными атомами которых являются атомы двух различных элементов.

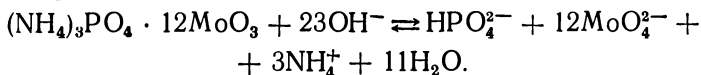
В аналитической химии гетерополикислоты имеют широкое применение. Растворы гетерополикислот, как правило, окрашены в желтый цвет; при добавлении восстановителей, например, дихлорида олова, солей железа (II) и других молибден (вольфрам), входящий во внутреннюю сферу комплекса, частично восстанавливается, и растворы приобретают синий цвет. Фотометрические методы определения фосфора, кремния, мышьяка и некоторых других элементов, являющихся центральными атомами гетерополикислот, основаны на измерении интенсивности желтой окраски растворов гетерополикислот или синей окраски их восстановленных форм.

Известен гравиметрический метод определения фосфора: фосфорномолибденовую гетерополикислоту выделяют из раствора в виде нерастворимой аммонийной соли  $(\text{NH}_4)_3\text{PO}_4 \cdot 12\text{MoO}_3 \cdot \text{XH}_2\text{O}$ . После высушивания осадка при  $300^\circ\text{C}$  гидратная вода удаляется и весовая форма соответствует соединению  $(\text{NH}_4)_3\text{PO}_4 \cdot 12\text{MoO}_3$ . Можно также прокалить осадок при температуре  $550^\circ\text{C}$  и получить соединение  $\text{P}_2\text{O}_5 \cdot 24\text{MoO}_3$ .

Титриметрический метод определения фосфора основан на следующих реакциях: сначала осаждают аммонийную соль фосфорномолибденовой кислоты  $(\text{NH}_4)_3\text{PO}_4 \cdot 12\text{MoO}_3$ , а затем осадок растворяют в избытке титрованного раствора



гидроксида натрия и оттитровывают добавленный избыток раствора NaOH раствором HCl по фенолфталеину. Реакция проходит по уравнению:



Грамм-эквивалент фосфора в этой реакции соответствует одной двадцать третьей части атомной массы, что обеспечивает высокую чувствительность определения.

Гетерополиокислоты можно определять и полярографическим методом, так как они способны восстанавливаться на ртутном капельном электроде. Высота полярографической волны (сила предельного тока) при определенных условиях пропорциональна концентрации гетерополиокислоты в растворе.

Получение гетерополиокислот применяется также для экстракционного разделения элементов. Так, на способности гетерополиокислот растворяться в органических растворителях основан экстракционный метод разделения фосфора, мышьяка и кремния. Эти элементы переводят в гетерополиокислоты  $\text{H}_3[\text{P}(\text{Mo}_3\text{O}_{10})_4]$ ,  $\text{H}_3[\text{As}(\text{Mo}_3\text{O}_{10})_4]$  и  $\text{H}_4[\text{Si}(\text{Mo}_3\text{O}_{10})_4]$  и затем экстрагируют смесью бутанола и хлороформа, причем в органическую фазу переходит только фосфорномолибденовая кислота. Из водного раствора экстрагируют смесью бутанола и этилацетата оставшиеся две кислоты, после чего к экстракту прибавляют хлороформ; при этом кремнемолибденовая кислота переходит в водный раствор, а мышьяковомолибденовая остается в экстракте.

## § 47. Галогенидные и роданидные комплексы

Окрашенные галогенидные и роданидные комплексы широко применяются при определении металлов фотометрическим методом. Ниже приведены химические формулы и цвет некоторых комплексных частиц этого типа.

| Формула                        | Цвет          | Формула                          | Цвет                 |
|--------------------------------|---------------|----------------------------------|----------------------|
| $[\text{BiI}_4]^-$             | Желтый        | $\text{Fe}(\text{SCN})_3$        | Красный              |
| $\text{Mo}(\text{SCN})_6$      | Красный       | $[\text{CoCl}_4]^{2-}$           | Голубой<br>или синий |
| $\text{W}(\text{SCN})_5$       | Желто-зеленый | $[\text{Co}(\text{SCN})_4]^{2-}$ | Синий                |
| $[\text{NbO}(\text{SCN})_6]^-$ | Желтый        | $[\text{Bi}(\text{SCN})_5]^{2-}$ | Желтый               |



Оптические свойства и характер диссоциации названных комплексных частиц подробно описаны в специальных руководствах по фотометрическому анализу. Ниже рассматривается использование галогенидных (роданидных) комплексов в других методах анализа.

Фторидные комплексы ионов металлов целесообразно рассмотреть отдельно. Ранее указывалось, что образование фторидных комплексов характерно главным образом для ионов металлов, имеющих электронную конфигурацию типа инертного газа, а также для ионов некоторых переходных элементов, например, марганца, железа (III), хрома. Хлоридные, бромидные комплексы для этих ионов мало устойчивы или вообще не образуются. Для некоторых ионов с 18- и  $(18 + 2)$ -электронной оболочкой, например, олова и сурьмы, фторидные комплексы известны.

Фториды некоторых металлов (магния, кальция, стронция, бария, алюминия, железа (III), тория, лантана, редкоземельных элементов, свинца) трудно растворимы. Многие другие элементы образуют растворимые комплексы.

Состав координационно-насыщенных комплексов отвечает для двух-, трех- и четырехзарядных катионов формулам  $[\text{MeF}_4]^{2-}$ ,  $[\text{MeF}_6]^{3-}$  и  $[\text{MeF}_6]^{2-}$  соответственно. Однако для всех этих соединений характерна ступенчатая диссоциация, которую лучше всего иллюстрировать на примере фторидных комплексов железа или алюминия, образующих в зависимости от концентрации фторид-ионов в растворе полный ряд комплексных форм, начиная от простейшего комплекса  $[\text{FeF}]^{2+}$  и заканчивая координационно-насыщенным комплексом  $[\text{FeF}_6]^{3-}$ .

Относительная устойчивость простейших фторидных комплексов состава  $\text{MeF}$  характеризуется рядом, установленным исследованиями А. К. Бабко и М. И. Штокало:

$$\overset{+4}{\text{Zr}} > \overset{+4}{\text{Th}} > \overset{+3}{\text{La}^{3+}} > \overset{+5}{\text{Nb}} > \overset{+5}{\text{Ta}} > \overset{+3}{\text{Al}^{3+}} > \overset{+4}{\text{Sn}^{4+}} > \overset{+2}{\text{Be}^{2+}} > \overset{+3}{\text{Fe}^{3+}} > \overset{+3}{\text{B}} > \overset{+3}{\text{Ga}^{3+}} > \overset{+3}{\text{Tl}} > \overset{+3}{\text{In}^{3+}}.$$

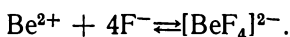
Некоторые нерастворимые фториды применяются в гравиметрическом анализе или в реакциях осаждения. Известны, например, весовые методы определения кальция в виде  $\text{CaF}_2$ , свинца в форме  $\text{PbClF}$ . Для отделения алюминия и железа от титана предложено осаждать малорастворимые  $\text{Na}_3[\text{AlF}_6]$  (состав этого соединения более точно выражается формулой  $11\text{NaF} \cdot 4\text{AlF}_3$ ) и  $\text{Na}_3[\text{FeF}_6]$ . Титан при этом остается в растворе в виде комплекса  $\text{Na}_2[\text{TiF}_6]$ ;



не осаждаются также ионы бериллия, кобальта, никеля, марганца, кадмия, меди, ниобия. Существуют методы определения алюминия в феррониобии, ферротитане, ферроцирконии, ферровольфраме, феррохроме после отделения его в виде осадка  $11 \text{ NaF} \cdot 4 \text{ AlF}_3$ .

Торий и редкоземельные элементы осаждают в виде труднорастворимых фторидов, отделяя их таким способом от циркония, титана и других элементов.

Способность фторид-ионов давать комплексы с бериллием и алюминием используют для их титриметрического определения. Так, бериллий определяют по реакции:



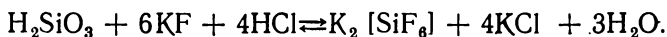
Вводят в раствор ионы  $\text{Fe}^{3+}$  и  $\text{Fe}^{2+}$  и точку эквивалентности устанавливают потенциометрически, измеряя в процессе титрования потенциал погруженного в раствор платинового электрода. После связывания всех ионов бериллия во фторидный комплекс образуются фторидные комплексы железа (III) и потенциал электрода резко уменьшается.

Алюминий определяют по реакции:



применяя как индикатор салицилат железа или метиловый оранжевый. Вследствие гидролиза раствор соли алюминия имеет кислую реакцию и метиловый оранжевый окрашен в красный цвет. После связывания всех ионов алюминия во фторидный комплекс реакция раствора становится нейтральной и индикатор приобретает желтую окраску.

Известен титриметрический метод определения кремниевой кислоты. Промытый осадок кислоты обрабатывают раствором фторида калия и прибавляют избыток титрованного раствора соляной кислоты:



Избыток  $\text{HCl}$  титруют затем рабочим раствором гидроксида натрия.

Фторид-ионы используют в анализе также для маскирования аналитических реакций. Так, мышьяк, сурьму, медь, свинец и некоторые другие элементы можно осадить



сероводородом в виде сульфидов в присутствии солей олова (IV), если олово связать во фторидный комплекс.

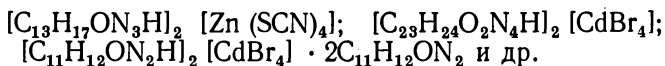
При иодометрическом определении меди влияние ионов  $\text{Fe}^{3+}$ , окисляющих иодид-ионы, устраняют прибавлением фторида. Образовавшийся фторидный комплекс железа не реагирует с иодид-ионами.

Фотометрическое определение кобальта в виде синего роданидного комплекса выполняют в присутствии ионов  $\text{Fe}^{3+}$ , маскируя их фторидом.

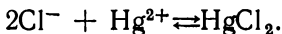
Многие реакции фторид-ионов с окрашенными комплексами циркония и некоторых других элементов служат основой фотометрических методов определения фтора.

Хлоридные, бромидные и иодидные комплексы применяются реже. Для анализа имеют значение комплексы железа, кобальта, цинка, кадмия, ртути, висмута, меди, серебра. Так, хлоридный комплекс железа  $\text{H}[\text{FeCl}_4]$  хорошо извлекается диэтиловым эфиром; на этом основан метод отделения железа от никеля.

Известны методы определения цинка и кадмия после осаждения их в виде ионных ассоциатов бромидных или роданидных комплексов с пирамидоном, антипирином, диантипирилметаном, например:



В титриметрическом анализе образование хлоридных комплексов ртути является основой меркурометрического метода определения хлоридов:



Индикаторами в этом методе служат нитропруссид натрия  $\text{Na}_2[\text{Fe}(\text{CN})_5\text{NO}]$ , образующий с избытком ионов ртути осадок  $\text{Hg}[\text{Fe}(\text{CN})_5\text{NO}]$  или дифенилкарбазон

$$\text{O}=\text{C} \begin{cases} \text{NH}-\text{NHC}_6\text{H}_5 \\ \text{N}=\text{NC}_6\text{H}_5 \end{cases}$$
 , который дает с ионами ртути окрашенный комплекс.



## **Раздел IV. РЕАКЦИИ ОКИСЛЕНИЯ-ВОССТАНОВЛЕНИЯ**

### **Глава 9. СТАНДАРТНЫЕ ОКИСЛИТЕЛЬНО-ВОССТАНОВИТЕЛЬНЫЕ ПОТЕНЦИАЛЫ И НАПРАВЛЕНИЕ РЕАКЦИЙ ОКИСЛЕНИЯ-ВОССТАНОВЛЕНИЯ**

По сравнению с рассмотренными ранее типами реакций, применяющихся в аналитической химии, реакции окисления-восстановления являются наиболее сложными. Их сложность обусловлена тем, что они не всегда протекают в точном соответствии с суммарным уравнением реакции. В процессе окисления-восстановления часто образуются нестойкие промежуточные соединения или ионы, элементы которых имеют средние степени окисления участвующих в реакции веществ. Все эти промежуточные соединения превращаются в продукты реакции, однако их возникновение часто обуславливает вовлечение в реакцию присутствующих в растворе веществ, непосредственно не реагирующих с окислителем или восстановителем. Значение таких явлений для анализа будет рассмотрено далее. Целесообразно сначала рассмотреть факторы, влияющие на состояние равновесия окислительно-восстановительных реакций.

#### **§ 48. Стандартный (нормальный) окислительно-восстановительный потенциал**

*Связь стандартных потенциалов с константой равновесия реакции окисления-восстановления.* Стандартный (нормальный) окислительно-восстановительный потенциал является важнейшей константой, характеризующей способность вещества к окислению-восстановлению. В кислотно-основных реакциях, реакциях осаждения или комплексообразования аналогичную роль играют константа диссоциации, произведение растворимости или константа стойкости соответственно.

Стандартный потенциал характеризует с количественной стороны способность данного элемента в высшей степени окисления к присоединению электронов и переходу в низшую степень окисления. В настоящее время не существует методов, позволяющих экспериментально определить абсолютное значение энергии такого взаимодействия. Поэтому в качестве эталона сравнения выбран водород-



ный электрод, потенциал которого, соответствующий переходу  $2\text{H}^+ + 2e \rightarrow \text{H}_2$ , условно принят равным нулю.

Зависимость потенциала окислительно-восстановительной системы от концентрационных соотношений окисленной и восстановленной форм вещества описывается уравнением Нернста:

$$E_x = E_0 + \frac{RT}{nF} \ln \frac{[\text{Ок}]}{[\text{Вос}]}, \quad (1)$$

где  $E_0$  — стандартный потенциал;  $R$  — газовая постоянная [8,313 Дж/ (моль · град);  $T$  — абсолютная температура;  $F$  — число Фарадея (96500 К); [Ок] и [Вос] — концентрации (точнее — активности) окисленной и восстановленной форм данного элемента.

Из уравнения видно, что при одномолярных концентрациях [Ок] и [Вос]

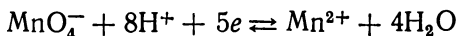
$$E_x = E_0, \quad (2)$$

т. е. *стандартный потенциал* — это потенциал системы, в которой концентрации обеих форм равны единице.

Знание величин стандартных потенциалов позволяет установить направление реакции окисления-восстановления, не прибегая к эксперименту, а также вычислить концентрацию реагирующих частиц в состоянии равновесия, если известны исходные концентрации окислителя и восстановителя. Для решения таких задач уравнение (1) нужно преобразовать, введя вместо  $R$  и  $F$  их численные значения и заменив натуральный логарифм десятичным, после чего для температуры  $25^\circ \text{C}$  ( $298^\circ \text{K}$ ) уравнение (1) примет вид:

$$E_x = E_0 + \frac{0,058}{n} \lg \frac{[\text{Ок}]}{[\text{Вос}]}. \quad (3)$$

Если в реакции окисления-восстановления принимают участие ионы водорода, то необходимо записывать их концентрацию в соответствующей степени в числителе выражения, стоящего под знаком логарифма. Так, для реакции



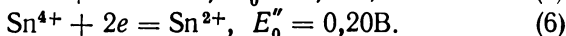
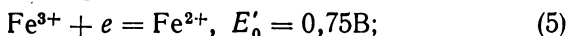
уравнение Нернста запишется как

$$E_x = E_0 + \frac{0,058}{5} \lg \frac{[\text{MnO}_4^-] [\text{H}^+]^8}{[\text{Mn}^{2+}]}. \quad (4)$$

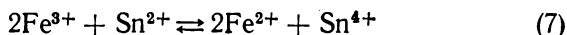
Определить направление реакции окисления-восстановления можно в простейших случаях на основании



сопоставления величин стандартных потенциалов веществ, участвующих в реакции. Например, известно, что стандартные потенциалы приведенных ниже реакций окисления-восстановления равны:



Потенциал перехода  $\text{Fe}^{3+} \rightarrow \text{Fe}^{2+}$  более положителен, чем  $\text{Sn}^{4+} \rightarrow \text{Sn}^{2+}$ , поэтому ионы  $\text{Fe}^{3+}$  являются окислителями по отношению к ионам  $\text{Sn}^{2+}$ , и реакция между этими ионами

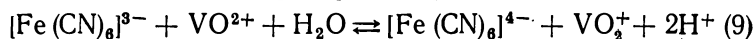


будет проходить слева направо.

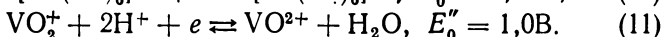
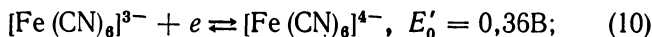
Состояние равновесия наступит после того, как потенциалы переходов обеих пар ионов станут одинаковыми, т. е.  $E'_X = E''_X$ :

$$E'_0 + 0,058 \lg \frac{[\text{Fe}^{3+}]}{[\text{Fe}^{2+}]} = E''_0 + 0,029 \lg \frac{[\text{Sn}^{4+}]}{[\text{Sn}^{2+}]}. \quad (8)$$

Если в реакции принимают участие ионы водорода, то при изменении pH раствора направление реакции может стать обратным. Например, для реакции



электронно-ионные реакции и соответствующие им стандартные потенциалы таковы:



Из сопоставления стандартных потенциалов видно, что при одномолярных концентрациях всех ионов реакция (9) будет проходить справа налево. Однако увеличение pH раствора приводит к уменьшению потенциала системы  $\text{VO}_2^+/\text{VO}^{2+}$ , в то время, как потенциал реакции (10) не изменяется, например, при pH = 10 и  $[\text{VO}_2^+] = [\text{VO}^{2+}]$

$$E''_X = 1,0 + 0,058 \lg [10^{-10}]^2 = 0,2\text{В}.$$

Поэтому при данных условиях окислителем в реакции (9) является  $[\text{Fe}(\text{CN})_6]^{3-}$  и равновесие смещено вправо.

Металлическое серебро не окисляется ионами водорода, т. е. реакция





практически не проходит. Введение в систему иодид-ионов, образующих с ионами серебра осадок  $\text{AgI}$ , может способствовать протеканию реакции вправо. Предположим, что в реакции



концентрации ионов водорода и иодид-ионов равны единице. Уравнение Нернста для системы  $\text{Ag}^+/\text{Ag}$  имеет вид:

$$E_x = 0,8 + 0,058 \lg [\text{Ag}^+], \quad (14)$$

где 0,8 — стандартный потенциал системы  $\text{Ag}^+/\text{Ag}$ . При  $[\text{I}^-] = 1$  из выражения произведения растворимости  $\text{AgI}$  находим:

$$[\text{Ag}^+] = \frac{\text{ПР}}{[\text{I}^-]} = 10^{-16} \text{ г-ион/л.}$$

Если подставить найденную концентрацию в уравнение (14), то

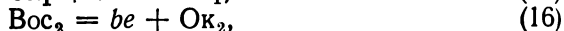
$$E_x = 0,8 + 0,058 \lg 10^{-16} = -0,13\text{В.}$$

Таким образом, введение иодид-ионов приводит к снижению потенциала  $\text{Ag}^+/\text{Ag}$ , который становится меньше, чем потенциал системы  $2\text{H}^+/\text{H}_2$  и, следовательно, реакция (13) должна проходить слева направо.

Такие вычисления и выводы носят качественный характер и не позволяют определить количественное соотношение концентраций всех реагирующих веществ при установившемся равновесии.

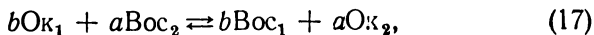
Более точные вычисления основаны на применении уравнения, связывающего величины стандартных потенциалов электронно-ионных реакций с константой равновесия реакции окисления-восстановления.

Запишем электронно-ионные реакции окисления-восстановления схемами



где символы Ок и Вос означают окисленную и восстановленную форму двух различных веществ (индекс 1 — первое вещество, индекс 2 — второе вещество).

Суммарная реакция окисления-восстановления запишется уравнением:





а константа равновесия этой реакции

$$K_{\text{Ок}} = \frac{[\text{Вос}_1]^b [\text{Ок}_2]^a}{[\text{Ок}_1]^b [\text{Вос}_2]^a} \quad (18)$$

Окислительный потенциал системы, содержащей все четыре приведенные в уравнении (17) частицы, можно выразить одним из следующих двух уравнений:

$$E = E_{01} + \frac{0,058}{a} \lg \frac{[\text{Ок}_1]}{[\text{Вос}_1]}, \quad (19)$$

или

$$E = E_{02} + \frac{0,058}{b} \lg \frac{[\text{Ок}_2]}{[\text{Вос}_2]}, \quad (20)$$

т. е. уравнениями Нернста, соответствующими электронно-ионным уравнениям (15) и (16). Следовательно

$$E_{01} + \frac{0,058}{a} \lg \frac{[\text{Ок}_1]}{[\text{Вос}_1]} = E_{02} + \frac{0,058}{b} \lg \frac{[\text{Ок}_2]}{[\text{Вос}_2]}. \quad (21)$$

Умножив и разделив коэффициенты левой и правой части уравнения (21) на  $b$  и  $a$  соответственно, получим:

$$E_{01} = \frac{0,058}{ab} \lg \frac{[\text{Ок}_1]^b}{[\text{Вос}_1]^b} = E_{02} + \frac{0,058}{ab} \lg \frac{[\text{Ок}_2]^a}{[\text{Вос}_2]^a}, \quad (22)$$

откуда

$$\frac{(E_{01} - E_{02}) ab}{0,058} = \lg \frac{[\text{Ок}_2]^a [\text{Вос}_1]^b}{[\text{Вос}_2]^a [\text{Ок}_1]^b}. \quad (23)$$

Выражение под знаком логарифма в уравнении (23) равно константе равновесия [см. уравнение (18)], поэтому

$$\lg K_{\text{Ок}} = \frac{(E_{01} - E_{02}) ab}{0,058}, \quad (24)$$

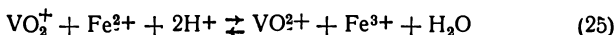
где  $ab$  — общее количество электронов, принимающих участие в реакции окисления-восстановления;  $E_{01}$  и  $E_{02}$  — стандартные потенциалы окислителя и восстановителя соответственно.

Из уравнения (24) следует, что константа равновесия тем больше, чем значительнее отличаются друг от друга стандартные потенциалы окислителя и восстановителя.



Из уравнения (24) можно определить не только направление реакции окисления-восстановления в данных условиях, но и вычислить равновесные концентрации реагирующих частиц в состоянии равновесия.

Примеры. 1. Вычислить концентрации реагирующих ионов



в состоянии равновесия при  $\text{pH} = 2,1$  и при условии, что исходные концентрации  $[\text{VO}_2^+]$  и  $[\text{Fe}^{2+}]$  равны единице, а  $E_{01} = 1,0\text{В}$  и  $E_{02} = 0,75\text{В}$ .

В соответствии с уравнением (24)

$$\lg K_{\text{Ок}} = \lg \frac{[\text{VO}^{2+}] [\text{Fe}^{3+}]}{[\text{VO}_2^+] [\text{Fe}^{2+}] [\text{H}^+]^2} = \frac{1,0 - 0,75}{0,058} = 4,2,$$

откуда

$$K_{\text{Ок}} = \frac{[\text{VO}^{2+}] [\text{Fe}^{3+}]}{[\text{VO}_2^+] [\text{Fe}^{2+}] [\text{H}^+]^2} = 10^{4,2}. \quad (26)$$

Концентрации продуктов реакции равны:  $[\text{VO}^{2+}] = [\text{Fe}^{3+}]$ , поэтому равновесные концентрации  $[\text{VO}_2^+] = 1 - [\text{VO}^{2+}]$  или  $[\text{VO}_2^+] = 1 - [\text{Fe}^{3+}]$  и  $[\text{Fe}^{2+}] = 1 - [\text{Fe}^{3+}]$ . Подставив эти данные в уравнение (26) и принимая во внимание, что  $[\text{H}^+] = 10^{-2,1}$ , получим:

$$\frac{[\text{Fe}^{3+}]^2}{(1 - [\text{Fe}^{3+}])^2} = 1,$$

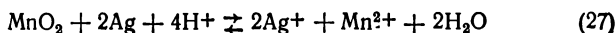
откуда

$$[\text{Fe}^{3+}]^2 = 1 - 2[\text{Fe}^{3+}] + [\text{Fe}^{3+}]^2;$$

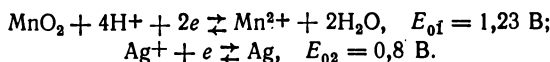
$$[\text{Fe}^{2+}] = [\text{VO}^{2+}] = 0,5 \text{ г-ион/л, а } [\text{Fe}^{3+}] = [\text{VO}_2^+] = 0,5 \text{ г-ион/л.}$$

При заданном значении  $\text{pH}$  и указанных выше исходных концентрациях ванадия (V) и железа (II) реакция (25) будет проходить слева направо на 50%.

2. Определить направление реакции



при  $\text{pH} = 4$  и  $\text{pH} = 7$ , если известны стандартные потенциалы электроно-ионных реакций



В соответствии с уравнением (24)

$$\lg \frac{[\text{Ag}^+]^2 [\text{Mn}^{2+}]}{[\text{H}^+]^4} = \frac{(E_{01} - E_{02}) 2}{0,058} = \frac{(1,23 - 0,8) 2}{0,058} = 14,7$$

или

$$K_{\text{Ок}} = 5 \cdot 10^{14}.$$



Как показывает величина  $K_{\text{Ок}}$ , равновесие реакции (27) при одной нормальной концентрации ионов водорода будет практически полностью сдвинуто вправо.

При  $\text{pH} = 4$ :  $[\text{Ag}^+]^2 [\text{Mn}^{2+}] = 5 \cdot 10^{14} \cdot 10^{-16} = 5 \cdot 10^{-2}$ .

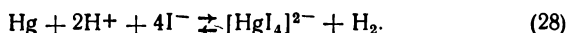
Принимая во внимание, что  $[\text{Ag}^+] = 2 [\text{Mn}^{2+}]$ , получим:

$$[\text{Ag}^+] = \sqrt[3]{100 \cdot 10^{-3}} = 0,46 \text{ г-ион/л,}$$

т. е. при данной кислотности значительная часть металлического серебра будет окислена до ионов  $\text{Ag}^+$ .

При  $\text{pH} = 7$ :  $[\text{Ag}^+] = \sqrt[3]{100 \cdot 10^{-15}} = 4,6 \cdot 10^{-5} \text{ г-ион/л, т. е.}$  диоксид марганца практически не будет окислять металлическое серебро.

3. Вычислить концентрацию ионов  $[\text{HgI}_4]^{2-}$  в равновесии с металлической ртутью, если реакция проходит по уравнению:



В этой реакции сочетаются реакции окисления-восстановления и комплексобразования. В отсутствие комплексобразующих веществ ртуть не растворяется в кислотах, не являющимися окислителями. Однако в присутствии иодид-ионов, связывающих ионы ртути в комплекс  $[\text{HgI}_4]^{2-}$ , такая реакция может проходить.

Предположим, что концентрации ионов  $\text{H}^+$  и  $\text{I}^-$  поддерживаются во время реакции постоянными и равными 0,01 и 1 г-ион/л соответственно.

Константа равновесия реакции (28) представляет собой сочетание двух констант, а именно, константы, характеризующей процесс окисления ртути ионами водорода, и константы нестойкости иодидного комплекса ртути. В соответствии с этим

$$K_{\text{равн}} = \frac{[\text{HgI}_4^{2-}]}{[\text{H}^+]^2 [\text{I}^-]^4} = \frac{K_{\text{Ок}}}{K_{\text{H}}},$$

где

$$K_{\text{H}} = \frac{[\text{Hg}^{2+}] [\text{I}^-]^4}{[\text{HgI}_4^{2-}]} = 10^{-30}.$$

Применив уравнение (24) и учитывая, что потенциал электронно-ионной реакции  $\text{Hg}^{2+} + 2e = \text{Hg}$  равен 0,85 В, получим:

$$\lg K_{\text{Ок}} = \frac{(0 - 0,85) \cdot 2}{0,058} = -29,$$

откуда

$$\frac{[\text{HgI}_4^{2-}]}{[\text{H}^+]^2 [\text{I}^-]^4} = \frac{10^{-29}}{10^{-30}} = 10.$$

Так как  $[\text{H}^+] = 0,01$  и  $[\text{I}^-] = 1$ , то в состоянии равновесия концентрация ионов  $[\text{HgI}_4^{2-}] = 10^{-3} \text{ г-ион/л, т. е.}$  металлическая ртуть будет окисляться ионами водорода и переходить в значительном количестве в комплекс  $[\text{HgI}_4]^{2-}$ .



## § 49. Методы определения стандартных (нормальных) окислительно-восстановительных потенциалов

Экспериментальное определение величин стандартных потенциалов основано на применении уравнения Нернста:

$$E_x = E_0 + \frac{0,058}{n} \lg \frac{[\text{Ок}]}{[\text{Вос}]}. \quad (1)$$

Если известна концентрация окисленной [Ок] и восстановленной [Вос] форм веществ в водном растворе, достаточно измерить потенциал погруженного в этот раствор инертного платинового электрода (по отношению к потенциалу водородного электрода) и затем вычислить стандартный потенциал по уравнению

$$E_0 = E_x - \frac{0,058}{n} \lg \frac{[\text{Ок}]}{[\text{Вос}]}. \quad (2)$$

Если восстановленной формой является ион металла, то

$$E_0 = E_x - \frac{0,058}{n} \lg [\text{Me}^{n+}], \quad (3)$$

где  $[\text{Me}^{n+}]$  — концентрация ионов металла в растворе, определенная экспериментально. В этом случае необходимо измерить потенциал погруженного в раствор электрода из металла, ионы которого находятся в растворе.

Однако такой простой метод редко удается осуществить. Некоторые высокозарядные ионы металлов неустойчивы в водных растворах. Так, ионы  $\text{Co}^{3+}$  не существуют в растворе в свободном виде, хотя комплексные соединения кобальта (III) широко известны. Нельзя определить прямым измерением стандартные потенциалы щелочных или щелочноземельных металлов. Потенциалы многих металлических электродов устанавливаются медленно; нередко такие системы необратимы.

Другой, более общий метод определения величин стандартных потенциалов основан на использовании термодинамических функций. Окислительно-восстановительный процесс сопровождается изменением свободной энергии системы, причем связь между потенциалом и свободной энергией выражается уравнением:

$$\Delta G_0 = -EnF, \quad (4)$$



где  $E$  — стандартный потенциал,  $n$  — число электронов, принимающих участие в процессе окисления-восстановления,  $F$  — число Фарадея. Изменение свободной энергии выражают в джоулях.

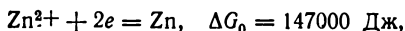
$$\Delta G_0 = -En96484,$$

откуда

$$E = -\frac{\Delta G_0}{96484}. \quad (5)$$

В таблицах величин термодинамических функций находят величины изменения свободной энергии реакций окисления-восстановления.

Примеры.



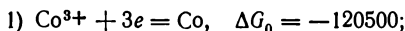
тогда

$$E = -\frac{147000}{2 \cdot 96484} = -0,76 \text{ В}.$$

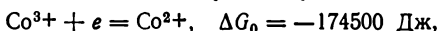


$$E = -\frac{483000}{3 \cdot 96484} = -1,66 \text{ В}.$$

Из таблиц находят изменение свободной энергии перехода ионов  $\text{Co}^{3+}$  и  $\text{Co}^{2+}$  в металлический  $\text{Co}$ :



Если вычтем второе уравнение из первого и величину  $\Delta G_0$  для второго уравнения из величины  $\Delta G_0$  для первого, то получим:



откуда

$$E = \frac{174500}{96484} = 1,8 \text{ В}.$$

## § 50. Потенциалы элементов со средними степенями окисления

Для аналитической химии важное значение имеют потенциалы элементов, которые могут находиться в нескольких степенях окисления. Обозначим потенциалы изменения степени окисления от высшей к средней, от средней к низшей и от высшей к низшей соответственно  $E_{3-2}$ ,  $E_{2-1}$  и  $E_{3-1}$ . Предположим, что изменение 3—1 сопровождается переходом двух электронов, а изменения 3—2 и 2—1 — переходом одного электрона. Максимальную работу  $A$  со-



ответствующих электрохимических процессов можно выразить уравнениями:

$$A_{3-2} = E_{3-2}F;$$

$$A_{2-1} = E_{2-1}F;$$

$$A_{3-1} = 2E_{3-1}F.$$

Максимальная работа зависит только от начального и конечного состояния системы, поэтому

$$A_{3-1} = A_{3-2} + A_{2-1}$$

или

$$E_{3-1} = \frac{E_{3-2} + E_{2-1}}{2}, \quad (1)$$

т. е. для данного элемента потенциал изменения степени окисления от высшей (3) к низшей (1) занимает среднее положение между потенциалами изменения 3—2 и 2—1 соответственно. Сделанный вывод справедлив также для изменения потенциалов, в которых принимают участие не один или два, а большее количество электронов.

Из сказанного нельзя определить, какой из потенциалов,  $E_{3-2}$  или  $E_{2-1}$  будет большим по величине.

Наблюдаются две последовательности величин потенциалов:

$$E_{3-2} > E_{3-1} > E_{2-1}, \quad (2)$$

$$E_{2-1} > E_{3-1} > E_{3-2}. \quad (3)$$

Примеры последовательности (2):

$$E_{3-2} > E_{3-1} > E_{2-1}$$

|  |  |   |
|--|--|---|
| $\text{MnO}_4^- \xrightarrow{1,67} \text{MnO}_2$   | $\text{MnO}_4^- \xrightarrow{1,52} \text{Mn}^{2+}$ | $\text{MnO}_2 \xrightarrow{1,23} \text{Mn}^{2+}$  |
| $\text{Fe}^{3+} \xrightarrow{0,77} \text{Fe}^{2+}$ | $\text{Fe}^{3+} \xrightarrow{-0,04} \text{Fe}^0$   | $\text{Fe}^{2+} \xrightarrow{-0,44} \text{Fe}^0$  |
| $\text{Co}^{3+} \xrightarrow{1,84} \text{Co}^{2+}$ | $\text{Co}^{3+} \xrightarrow{0,43} \text{Co}^0$    | $\text{Co}^{2+} \xrightarrow{-0,28} \text{Co}^0$  |
| $\text{ClO}^- \xrightarrow{1,63} \text{Cl}_2$      | $\text{ClO}^- \xrightarrow{1,50} \text{Cl}^-$      | $\text{Cl}_2 \xrightarrow{1,4} \text{Cl}^-$       |
| $\text{VO}_2^+ \xrightarrow{1,00} \text{VO}^{2+}$  | $\text{VO}_2^+ \xrightarrow{0,67} \text{V}^{3+}$   | $\text{VO}^{2+} \xrightarrow{0,31} \text{V}^{3+}$ |

Реже наблюдается обратная последовательность величин потенциалов (3).



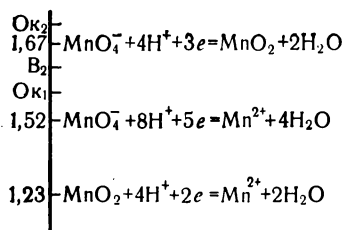


Рис. 25. Последовательность величин потенциалов изменения степени окисления в системе марганец (VII) — марганец (IV) — марганец (II).

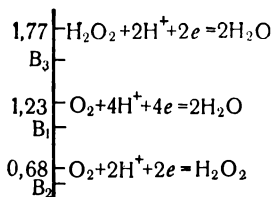
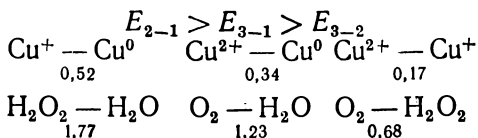


Рис. 26. Последовательность величин потенциалов изменения степени окисления в системе кислород — пероксид водорода — вода.

Примеры последовательности (3):



Каждая из двух приведенных последовательностей имеет свои характерные особенности. Рассмотрим их подробнее.

Потенциал изменения степени окисления от высшей к средней больше потенциалов двух других изменений [неравенство (2)].

На вертикальной линии рис. 25 обозначены величины потенциалов изменения степени окисления в системе марганец (VII) — марганец (IV) — марганец (II).

Рассмотрим некоторые особенности этой системы. Чтобы превратить марганец (II) в марганец (VII), нужен окислитель с большей величиной потенциала, чем 1,52 В. На рис. 25 этот окислитель обозначен  $\text{Ok}_1$ . Потенциал перехода образовавшихся ионов  $\text{MnO}_4^-$  в  $\text{MnO}_2$  более высокий, чем потенциал перехода  $\text{Mn}^{2+}$  в  $\text{MnO}_4^-$ . Поэтому, если в растворе находятся ионы  $\text{Mn}^{2+}$ , окислитель  $\text{Ok}_1$  и восстановленная форма какого-либо другого вещества, потенциал которого обозначен на рис. 25  $\text{B}_2$ , то в процессе реакции возможно окисление этой восстановленной формы ионами  $\text{MnO}_4^-$ , образующимися при переходе  $\text{Mn}^{2+} \rightarrow \text{MnO}_4^-$ , хотя окислитель  $\text{Ok}_1$  не может перевести восстановленную форму  $\text{B}_2$  в окисленную.



Следующая особенность рассматриваемой системы. Работа, которую необходимо затратить для окисления  $\text{Mn}^{2+}$  до  $\text{MnO}_4^-$ , равна:

$$A_{2-7} = E_{7-2} \cdot 5F = 5 \cdot 1,52F.$$

Аналогично работа превращения  $\text{MnO}_2$  в  $\text{MnO}_4^-$  равна:

$$A_{4-7} = E_{7-4} \cdot 3F = 3 \cdot 1,67F,$$

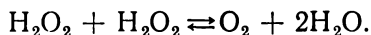
откуда

$$A_{2-7} > A_{4-7}.$$

Таким образом, для окисления  $\text{Mn}^{2+}$  до  $\text{MnO}_4^-$  необходимо затратить большую работу, чем для окисления  $\text{MnO}_2$  до  $\text{MnO}_4^-$ . Однако с точки зрения выбора вещества с необходимой величиной окислительно-восстановительного потенциала легче окислить  $\text{Mn}^{2+}$  до  $\text{MnO}_4^-$ , чем  $\text{MnO}_2$  до  $\text{MnO}_4^-$ , так как для осуществления первого процесса достаточно иметь вещество с потенциалом  $\text{Oк}_1$  (см. рис. 25), а для второго процесса окислитель должен иметь более высокий потенциал, например,  $\text{Oк}_2$ .

Большой интерес представляет вторая последовательность величин потенциалов [неравенство (3)]. В качестве примера рассмотрим систему  $\text{O}_2\text{—H}_2\text{O}_2\text{—H}_2\text{O}$ . У свободного кислорода здесь — высшая степень окисления, у кислорода в перекиси водорода — средняя, а у кислорода воды — низшая степень окисления. Последовательность величин потенциалов показана на рис. 26.

Потенциал перехода пероксида водорода в воду наиболее высокий в рассматриваемой системе, а потенциал перехода пероксида водорода в кислород является самым низким. Поэтому пероксид водорода является очень сильным окислителем и очень сильным восстановителем. Этой двойственной природой объясняется неустойчивость растворов пероксида водорода:

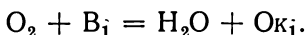


В приведенной реакции одна молекула пероксида водорода выступает как окислитель, а другая — как восстановитель. В результате образуется кислород, у которого высшая степень окисления, и вещество, у которого кислород имеет наиболее низкую степень окисления — вода.

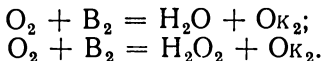
Приведенной последовательностью потенциалов объясняются некоторые побочные реакции процесса окисления-восстановления системы  $\text{O}_2\text{—H}_2\text{O}_2\text{—H}_2\text{O}$ . На рис. 26 потен-



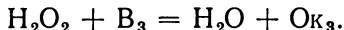
циалы восстановленных форм различных веществ обозначены  $B_1$ ,  $B_2$  и  $B_3$ . Если в растворе кроме свободного кислорода находится вещество  $B_1$ , то возможна только одна реакция: кислород будет окислять  $B_1$ , сам при этом восстанавливаясь до воды. Вещество  $B_2$  с более низким потенциалом, чем  $B_1$ , способно восстанавливать кислород не только до воды, но и до пероксида водорода. Однако пероксид водорода при восстановлении до воды способен окислять вещество с потенциалом  $B_3$ . Таким образом, если в растворе присутствуют одновременно кислород и восстановители  $B_1$ ,  $B_3$ , то возможна только одна реакция:



Однако если в растворе вместе с кислородом и веществом  $B_3$  находится более сильный восстановитель  $B_2$ , то он может обусловить протекание следующих двух реакций:



Образовавшийся пероксид водорода, являющийся более сильным окислителем, чем кислород, будет взаимодействовать с  $B_3$ :



Таким образом, присутствие в растворе  $B_2$  приводит к тому, что в реакцию вовлекается вещество  $B_3$ , хотя кислород сам по себе не в состоянии его окислить.

Рассмотренные на примере системы  $O_2-H_2O_2-H_2O$  явления имеют очень большое значение в аналитической химии и обуславливают во многих случаях протекание так называемых сопряженных реакций окисления-восстановления.

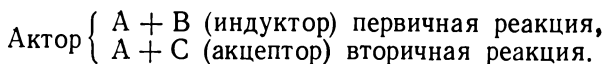
## **Глава 10. МЕХАНИЗМЫ РЕАКЦИЙ ОКИСЛЕНИЯ-ВОССТАНОВЛЕНИЯ И ИХ ПРИМЕНЕНИЕ В АНАЛИЗЕ**

### **§ 51. Сопряженные реакции окисления-восстановления**

*Сопряженными реакциями* окисления-восстановления называют такие две реакции, из которых одна протекает самопроизвольно, а вторая — только тогда, когда в том же растворе протекает первая реакция. По Шилову, первая



реакция называется *первичной*, вторая — *вторичной*.<sup>-</sup> Вещество, принимающее участие в обеих реакциях, называется *актором*; вещество, которое принимает участие только в первичной реакции — *индуктором*, вещество, участвующее только во вторичной реакции — *акцептором*.



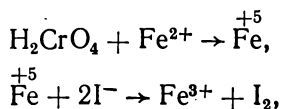
Сопряженные реакции окисления-восстановления отличаются от каталитических реакций: после завершения реакции все три участвующих вещества — актор, индуктор и акцептор — превращаются в другие вещества.

Известны многочисленные примеры сопряженных реакций окисления-восстановления. Так, свободный хлор при определенных условиях окисляет винную кислоту, которая не восстанавливает медь (II) до меди (I). Однако реакция между хлором и кислотой (первичная реакция) индуцирует восстановление меди (II).

Хромовая кислота не окисляет винную кислоту, однако легко реагирует с сернистой кислотой. Если в растворе содержатся все три названных вещества, обе реакции проходят одновременно.

Можно подобрать такие условия, при которых дихромат калия не выделяет иод из раствора иодида калия. Однако, если в растворе находятся соли железа (II), то окисляется и железо, и иодид.

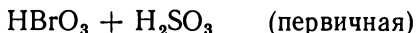
Механизм сопряженных реакций изучен не во всех случаях. Одна из возможных причин — образование нестойких промежуточных продуктов, характеризующихся более сильными окислительными или восстановительными свойствами, чем исходные вещества. Промежуточный продукт с нестойкой степенью окисления образуется из актора или индуктора. Возможно также образование комплексного соединения из актора и индуктора или индуктора и акцептора и др. Определено, что при окислении железа дихроматом в условиях, когда последний не реагирует с иодид-ионами (например, при  $\text{pH} = 5$ ), на каждый грамм-ион  $\text{Fe}^{2+}$  в реакцию вовлекается два грамм-иона  $\text{I}^-$ . Это дало основание для предположения, что механизм сопряженной реакции окисления иодид-ионов следующий:



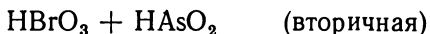


т. е. причиной сопряженного окисления иодид-ионов является образование железа в степени окисления (+5). Аналогичный механизм предложен для объяснения сопряженного окисления хлорид-ионов перманганатом калия при титровании раствором перманганата калия ионов  $\text{Fe}^{2+}$ . Таким образом, в обоих случаях промежуточный продукт с нестойкой степенью окисления  $\text{Fe}^{+5}$  образуется из индуктора ( $\text{Fe}^{2+}$ ).

В результате исследования системы двух реакций

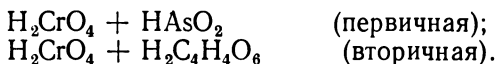


и



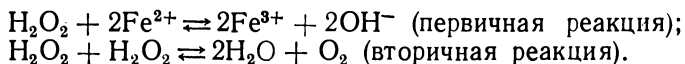
найденно, что при некоторых условиях вторичная реакция проходит, если в растворе находится сернистая кислота, легко и быстро окисляющаяся гипоброматом. Вместо сернистой кислоты в качестве индуктора можно применять и другие восстановители, например, формальдегид или бромистоводородную кислоту. Поэтому был сделан вывод, что причиной сопряженной реакции не является промежуточный продукт с нестойкой степенью окисления индуктора и что в процессе восстановления  $\text{HBrO}_3$  образуется нестойкая кислота  $\text{HBrO}_2$ , которая и вызывает протекание вторичной реакции.

Примером образования комплексного соединения из индуктора и акцептора является система двух реакций



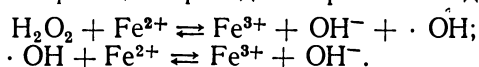
Хромовая кислота при определенных условиях окисляет винную кислоту только в присутствии мышьяковистой (или сурьмянистой) кислоты. Известно, что винная кислота образует с мышьяковистой кислотой комплексное соединение, причем связанная в комплекс винная кислота окисляется легче, чем свободная.

Установлен также радикальный механизм сопряженных реакций, по которому причиной является образование свободных радикалов. Например, ионы  $\text{Fe}^{2+}$  легко окисляются пероксидом водорода, однако при этом разложение пероксида водорода сильно ускоряется. Процесс описывается следующими уравнениями:

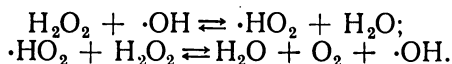




Первичная реакция проходит через такие две стадии:



Образующийся свободный радикал  $\cdot\text{OH}$  может вовлечь в реакцию пероксид водорода:



Цепная реакция разложения пероксида водорода посредством радикала  $\cdot\text{OH}$  может проходить до тех пор, пока последний не прореагирует с ионами  $\text{Fe}^{2+}$ .

## § 52. Механизмы реакций окисления-восстановления

Как известно из предыдущего, при сложных реакциях окисления-восстановления образуются промежуточные продукты с нестойкими степенями окисления, превращающиеся затем в конечные продукты.

На основании исследований кинетики многих реакций, проведенных в последние годы, можно сделать следующие выводы:

1. Реакции окисления-восстановления, сопровождающиеся переходом двух или более электронов, нередко протекают по последовательным одноэлектронным стадиям;

2. В реакциях окисления-восстановления большую роль играют комплексные соединения — мостиковые активированные комплексы. В этом механизме происходит нередко перенос мостикового лиганда от окислителя к восстановителю. Типичными мостиковыми лигандами являются галогенид-ионы, ионы гидроксила, сульфат- и фосфат-ионы, молекулы воды;

3. Не исключено (хотя экспериментально не доказано), что реакции окисления-восстановления могут протекать через образование гидратированного электрона, который образуется в воде под влиянием ионизирующего излучения и имеет конечное время жизни. Свойства гидратированного электрона изучены достаточно подробно. Так, для него характерна полоса поглощения с максимумом при 720 нм; молярный коэффициент поглощения его равен  $1,5 \cdot 10^4$ , а окислительный потенциал — 2,6 В;

4. В сложных реакциях окисления-восстановления нередко образуются свободные радикалы, реагирующие с

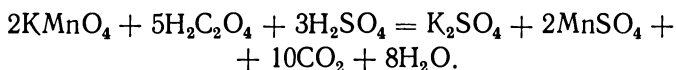


другими участниками взаимодействия с большой скоростью и тем самым определяющие преимущественное направление реакции.

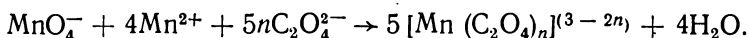
Рассмотрим подробнее механизм некоторых реакций окисления-восстановления.

*Реакция окисления щавелевой кислоты перманганатом.* Известно, что эта реакция используется при определении нормальности раствора перманганата калия. В отсутствие посторонних веществ она протекает медленно, однако сильно ускоряется по мере образования в растворе ионов  $Mn^{2+}$ . Если ввести ионы  $Mn^{2+}$  в раствор щавелевой кислоты заблаговременно, реакция проходит быстро.

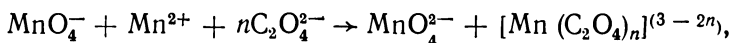
Суммарное уравнение реакции имеет вид:



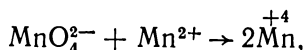
Если ввести ионы  $Mn^{2+}$  в раствор щавелевой кислоты до начала титрования, то прибавление раствора  $KMnO_4$  обуславливает на первом этапе быстрое окисление ионов  $Mn^{2+}$  до  $Mn^{3+}$ , которые связываются затем в комплекс с оксалат-ионами:



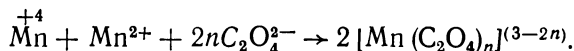
Образование оксалатных комплексов трехвалентного марганца ( $n = 1, 2$  или  $3$ ) проходит через следующие промежуточные стадии:



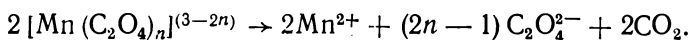
т. е. образуются оксалатные комплексы и ионы марганца (VI)  $MnO_4^{2-}$ , которые затем вступают в реакцию



а образовавшийся  $Mn$  (IV) реагирует по уравнению

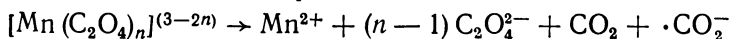


Оксалатные комплексы марганца медленно разлагаются, причем марганец восстанавливается до марганца (II), окисляя ионы  $C_2O_4^{2-}$  до  $CO_2$ :

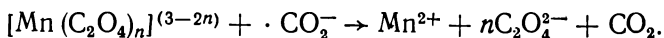




Этот второй этап реакции также идет в две стадии с участием свободных радикалов:

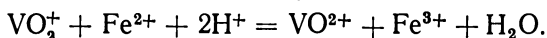


и

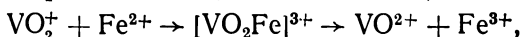
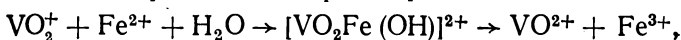


В результате часть ионов  $\text{C}_2\text{O}_4^{2-}$  окисляется до  $\text{CO}_2$ , а другая часть освобождается и снова вступает в реакцию с ионами  $\text{Mn}^{3+}$ .

*Окисление железа (II) ванадатом аммония.* Суммарное уравнение реакции имеет следующий вид:

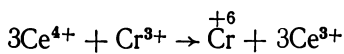


Реакция протекает по трем параллельным стадиям:

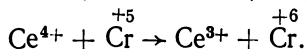
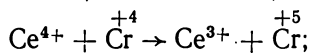
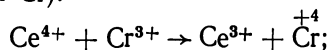


в которых образуются в качестве промежуточных продуктов активированные комплексы различного состава. Скорость всей реакции определяется последней (третьей) стадией с участием одного иона водорода.

*Окисление хрома (III) ионами  $\text{Ce}^{4+}$ .* Суммарная реакция описывается схемой



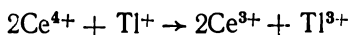
и проходит через три последовательные стадии с образованием соединений хрома с неустойчивыми степенями окисления ( $\overset{+4}{\text{Cr}}$  и  $\overset{+5}{\text{Cr}}$ ):



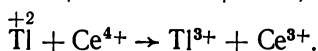
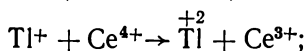
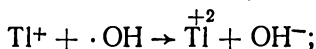
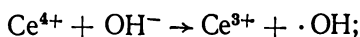
Эти промежуточные реакции проходят с различными скоростями; скорость же суммарной реакции определяется последней (третьей) стадией, где окисляется хром (V) до хрома (VI). Неустойчивые степени окисления хрома (+5) и (+4) могут быть стабилизированы этилендиаминтетрауксусной кислотой.



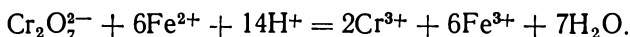
*Окисление таллия (I) ионами  $\text{Ce}^{4+}$ .* В процессе суммарной реакции



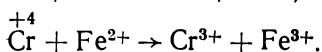
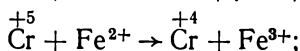
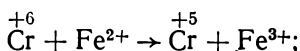
образуется соединение таллия с неустойчивой степенью окисления, причем в реакции участвуют свободные радикалы  $\cdot\text{OH}$ . Промежуточными стадиями этой реакции являются:



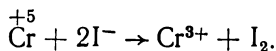
*Окисление железа (II) дихроматом калия.* Суммарная реакция выражается уравнением



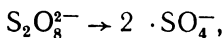
Как при окислении хрома ионами  $\text{Ce}^{4+}$ , при восстановлении дихромата образуются промежуточные соединения хрома с неустойчивыми степенями окисления. Процесс характеризуется несколькими параллельными стадиями:



Как отмечено было ранее, реакция между дихроматом и железом (II) индуцирует медленное окисление иодид-ионов, что объяснялось образованием соединений железа с неустойчивой степенью окисления (+5). Такое индуцирование можно объяснить также протеканием реакции

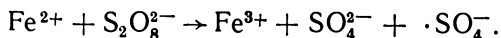


*Окислительные реакции с участием персульфата аммония.* Одна из реакций восстановления  $\text{S}_2\text{O}_8^{2-}$  проходит через образование свободных радикалов:

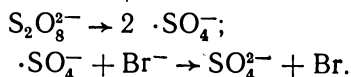




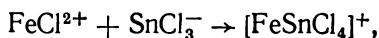
которые затем реагируют с тем или иным восстановителем. Так, в реакции окисления железа (II) персульфатом одна из стадий описывается уравнением



Аналогичные процессы проходят при окислении бромид-ионов:



*Восстановление железа (III) ионами  $\text{Sn}^{2+}$ .* На скорость этой реакции оказывают сильное влияние хлорид-ионы, в присутствии которых равновесие устанавливается практически мгновенно. Роль хлорид-ионов состоит в том, что они образуют с ионами  $\text{Sn}^{2+}$  комплексы различного состава, например,  $\text{SnCl}^+$ ,  $\text{SnCl}_2$ ,  $\text{SnCl}_3^-$  и  $\text{SnCl}_4^{2-}$ . При взаимодействии с одноэлектронным окислителем (ионами  $\text{Fe}^{3+}$ ) связанные с оловом хлорид-ионы облегчают протекание одной из стадий реакции, т. е. образование активированного комплекса, например,



в котором олово находится в степени окисления (+3).

Приведенные примеры дают представление о большой сложности реакций окисления-восстановления. Не всегда можно определить механизмы реакций и промежуточные продукты. Более подробные сведения о многих реакциях рассмотренного типа можно найти в специальных монографиях.

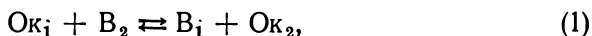
### § 53. Каталитические методы анализа

Каталитические методы анализа основаны на измерении скорости химической реакции, протекающей в растворе при действии катализатора (вещества, подлежащего определению). Известно много медленных реакций, скорость которых в определенных условиях увеличивается пропорционально концентрации введенного катализатора. Это дает возможность определить количество катализатора по концентрации продуктов реакции, образующихся за определенный промежуток времени. Для таких определений пригодны медленные реакции различных типов, однако



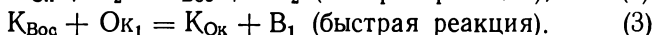
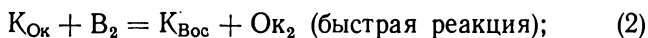
наиболее распространены каталитические методы с использованием окисления-восстановления.

Окислительно-восстановительные реакции катализируются преимущественно ионами переходных элементов, характеризующихся большой склонностью к образованию комплексных соединений и способностью изменять степень окисления в растворе. Указанные две особенности имеют существенное значение для объяснения каталитического действия. Рассмотрим, например, медленную реакцию между окислителем  $Ок_1$  и восстановителем  $В_2$ :



где индексы 1 и 2 обозначают первое и второе вещество соответственно в окисленной и восстановленной формах.

Действие катализатора  $К$  обусловлено тем, что его окисленная форма  $К_{Ок}$  быстро реагирует с восстановителем  $В_2$ , а образовавшаяся восстановленная форма  $К_{Вос}$  также быстро переходит в окисленную форму  $К_{Ок}$  при действии окислителя  $Ок_1$ . Таким образом, механизм катализа можно схематически выразить следующими уравнениями:



Суммирование уравнений (2) и (3) приводит к уравнению (1), причем после завершения цикла катализатор снова находится в своей первоначальной форме. Механизм катализа может быть также связан с образованием нестойких промежуточных комплексных соединений катализатора с веществами  $Ок_1$  или  $В_2$ . Эти комплексы реагируют с основными участвующими в реакции веществами  $Ок_1$  и  $В_2$  значительно быстрее, чем эти вещества взаимодействуют между собой.

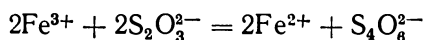
Выяснение механизма каталитических реакций является сложной задачей и требует в каждом отдельном случае проведения специальных исследований.

Главная особенность каталитических методов определения — их высокая чувствительность. Это обусловлено тем, что одна и та же частица катализатора действует многократно, вовлекая вследствие этого в реакцию большие количества веществ  $Ок_1$  и  $В_2$  и за короткий период времени способствует образованию продуктов реакции, концентрация которых во много раз больше концентрации введенного катализатора. Так, каталитическим методом можно



определить  $1 \cdot 10^{-4}$  мкг ( $10^{-10}$  г) кобальта, ванадия, рения и  $1 \cdot 10^{-6}$  мкг иода. Чувствительность определения многих других элементов также очень высока.

Иногда каталитические методы отличаются высокой специфичностью. Например, реакция между ионами  $\text{Fe}^{3+}$  и тиосульфатом



катализируется только ионами  $\text{Cu}^{2+}$ , что дает возможность количественно определять медь в присутствии многих других элементов. Однако в большинстве случаев перед определением необходимо мешающие элементы отделять или устранять их влияние каким-либо другим способом.

Для каталитического определения элементов чаще всего применяют реакции окисления пероксидом водорода, анионами кислородных кислот, высокозарядными катионами металлов. В табл. 49 приведены некоторые так называемые индикаторные реакции и указаны элементы — катализаторы.

Скорость реакции устанавливают, определяя концентрацию одного из продуктов реакции (или уменьшение концентрации исходных веществ) каким-либо методом, чаще всего фотометрическим. Так, при реакции пероксида водорода с иодид-ионами добавляют в раствор крахмал; выделяющийся иод образует с крахмалом соединение интенсивно синего цвета, измеряя оптическую плотность которого, можно найти количество иода. Из табл. 49 видно, что применяют также реакции окислителя с каким-либо органическим окрашенным реагентом. В этом случае за реакцией можно следить по ослаблению окраски реагента, например, метилового оранжевого или ализарина.

Определения стараются проводить в таких условиях, когда одно или оба реагирующих вещества находятся в избытке и расход их незначителен, вследствие чего можно принять, что их концентрации в процессе определения остаются практически постоянными. Рассмотрим наиболее простой пример, когда стехиометрические коэффициенты участвующих в реакции веществ равны единице



тогда кинетическое уравнение имеет вид:

$$\frac{dx}{dt} = K C_A C_B C_K, \quad (5)$$



## Каталитические реакции, применяемые для определения элементов

| Индикаторные реакции                                | Катализаторы                 |
|---|------------------------------|
| Окислитель — пероксид водорода                      |                              |
| $\text{H}_2\text{O}_2 + \text{S}_2\text{O}_3^{2-}$  | Ti, Zr, Th, V, Nb, Ta, Mo, W |
| $\text{H}_2\text{O}_2 + \text{I}^-$                 | Zr, Hf, Th, Ta, Mo, W, Fe    |
| $\text{H}_2\text{O}_2 + \text{NH}_2\text{CSCSNH}_2$ | Mo, W                        |
| $\text{H}_2\text{O}_2 + \text{H}_2\text{O}_2$       | Cu, Mn, Fe, Pd               |
| $\text{H}_2\text{O}_2 + \text{метилоранж}$          | Fe, Cu, Cr                   |
| $\text{H}_2\text{O}_2 + \text{ализарин}$            | Co                           |
| $\text{H}_2\text{O}_2 + \text{люминол}$             | Co, Cu                       |
| $\text{H}_2\text{O}_2 + \text{гидрохинон}$          | Cu                           |
| $\text{H}_2\text{O}_2 + n\text{-фенилендиамин}$     | Cu, Fe, Os                   |
| Окислители — анионы кислородных кислот              |                              |
| $\text{ClO}_3^- + \text{I}^-$                       | V, Re, Ru, Os                |
| $\text{ClO}_3^- + \text{фенилендиамин}$             | V, Os                        |
| $\text{IO}_3^- + \text{гидрохинон}$                 | Mo                           |
| $\text{TeO}_4^{2-} + \text{Sn}^{2+}$                | Re                           |
| $\text{MnO}_4^- + \text{AsO}_2^-$                   | Os                           |
| $\text{S}_2\text{O}_8^{2-} + n\text{-фенетидин}$    | Ag                           |
| Окислители — катионы металлов                       |                              |
| $\text{Fe}^{3+} + \text{S}_2\text{O}_3^{2-}$        | Cu                           |
| $\text{Fe}^{3+} + \text{SCN}^-$                     | $\text{I}^-$                 |
| $\text{Ce}^{4+} + \text{AsO}_2^-$                   | Os, $\text{I}^-$             |
| $\text{Ce}^{4+} + \text{Cl}^-$                      | Ag                           |

где  $x$  — концентрация одного из продуктов реакции,  $K$  — каталитический коэффициент,  $C_A$ ,  $C_B$  и  $C_K$  — соответственно концентрации веществ А, В и катализатора.

Если концентрации  $C_A$  и  $C_B$  не изменяются в процессе определения, то после интегрирования уравнения (5) получим:

$$x = KC_A C_B C_K t, \quad (6)$$

т. е. концентрация продукта реакции пропорциональна концентрации катализатора и времени  $t$  протекания реакции.

Если можно считать постоянной концентрацию только одного из участвующих в реакции вещества, например, В,



а концентрацию второго — изменяющейся за период  $t$ , то уравнение (5) преобразуется в следующее:

$$\frac{dx}{dt} = KC_B (C_A - x) C_K, \quad (7)$$

где  $C_A - x$  — текущая концентрация А в процессе реакции. Из уравнения (7) следует, что

$$\frac{dx}{C_A - x} = KC_B C_K dt, \quad (8)$$

а после интегрирования

$$\ln \frac{C_A}{C_A - x} = KC_B C_K t. \quad (9)$$

В данном случае пропорциональна концентрации катализатора и времени  $t$  не концентрация продукта реакции  $x$ , а величина  $\ln \frac{C_A}{C_A - x}$ , которую легко вычислить, если известно  $x$ .

Существуют три метода определения концентрации вещества (катализатора): методы фиксированного времени  $t$ , фиксированной концентрации  $x$  и метод тангенсов. Предположим, что концентрации веществ А и В заметно не изменяются. Тогда следует применять уравнение (6).

Практически поступают следующим образом. Готовят серию растворов с постоянными концентрациями веществ  $C_A$  и  $C_B$  и переменной концентрацией катализатора  $C_K$ .

В методе фиксированного времени измеряют через определенный промежуток времени  $t$  (например, через 10 мин) концентрацию продукта реакции  $x$  и на основании полученных данных строят калибровочный график (рис. 27, а). График выражается прямой линией, т. е. при фиксированном времени ( $t = \text{const}$ ) концентрация  $x$ , как следует из уравнения (6), прямо пропорциональна концентрации катализатора.

В методе фиксированной концентрации ( $x = \text{const}$ ) реакцию в каждом растворе серии проводят до тех пор, пока концентрация продукта реакции  $x$  станет во всех растворах одинаковой. Для этого необходимо различное время  $t$  и чем больше концентрация определяемого катализатора, тем меньше времени потребует, чтобы концентрация  $x$  стала



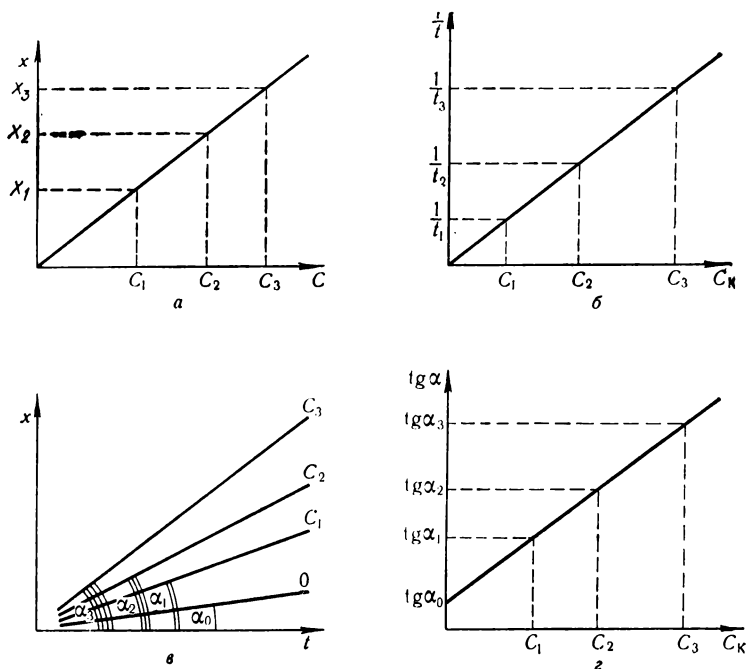


Рис. 27. Определение концентрации катализатора  $K$  по методам фиксированного времени (а), фиксированной концентрации (б) и по методу тангенсов (в, г).

одинаковой во всех растворах. На основании данных опыта строят график, откладывая на оси ординат  $1/t$ , а на оси абсцисс —  $C_K$  (рис. 27, б).

Наиболее точные результаты получают в методе тангенсов. В каждом растворе серии измеряют через определенные промежутки времени концентрацию продукта реакции  $x$  и на основании результатов эксперимента получают график (рис. 27, в), наклоны прямых которого тем больше, чем больше концентрация катализатора. По графику измеряют тангенс угла наклона каждой прямой и изображают графически зависимость  $\operatorname{tg} \alpha$  от  $C_K$  (рис. 27, г).

По одному из описанных методов легко найти концентрацию определяемого вещества (катализатора) в анализируемом растворе.



Если концентрация одного из участвующих в реакции веществ в процессе определения заметно изменяется, то следует применять уравнение (9), т. е. откладывать на оси ординат графика вместо  $x$  величину  $\ln \frac{C_A}{C_A - x}$ .

### **Список литературы**

Латимер В. Окислительные состояния элементов и их потенциалы в водных растворах. М., Изд-во иностр. лит. 1954.

Марк Г., Рехниц Г. Кинетика в аналитической химии. М., «Мир», 1972.

Шилов Н. А. О сопряженных реакциях окисления. 1905.

Яцимирский К. Б. Кинетические методы анализа. М., «Химия», 1967.



**Константы нестойкости  
некоторых комплексных соединений**

| Комплекс   | $K_H$                  | $pK_H$ | Комплекс   | $K_H$                  | $pK_H$ |
|--|------------------------|--------|--|------------------------|--------|
| [Ag(NH <sub>3</sub> ) <sub>2</sub> ] <sup>+</sup>                | 9,3·10 <sup>-8</sup>   | 7,03   | [CrF <sub>3</sub> ]  | 5,1·10 <sup>-11</sup>  | 10,29  |
| [AgBr <sub>2</sub> ] <sup>2-</sup>                               | 6,3·10 <sup>-10</sup>  | 9,20   | [CrCl <sub>2</sub> ] <sup>+</sup>                                | 1,26·10 <sup>-2</sup>  | 1,90   |
| [AgI <sub>2</sub> ] <sup>+</sup>                                 | 1,8·10 <sup>-14</sup>  | 13,75  | [Cu(NH <sub>3</sub> ) <sub>4</sub> ] <sup>2+</sup>               | 2,14·10 <sup>-13</sup> | 12,67  |
| [Ag(SCN) <sub>4</sub> ] <sup>2-</sup>                            | 9,3·10 <sup>-11</sup>  | 10,08  | [CuBr <sub>2</sub> ]   | 1,3·10 <sup>-6</sup>   | 5,89   |
| [Ag(SO <sub>3</sub> ) <sub>2</sub> ] <sup>2-</sup>               | 4,5·10 <sup>-8</sup>   | 7,35   | [CuI <sub>2</sub> ] <sup>-</sup>                                 | 1,75·10 <sup>-9</sup>  | 8,76   |
| [Ag(S <sub>2</sub> O <sub>3</sub> ) <sub>2</sub> ] <sup>2-</sup> | 3,5·10 <sup>-14</sup>  | 13,46  | [Cu(SCN) <sub>2</sub> ] <sup>-</sup>                             | 7,83·10 <sup>-13</sup> | 12,11  |
| [AgCl <sub>2</sub> ] <sup>+</sup>                                | 1,2·10 <sup>-6</sup>   | 5,92   | [Cu(SO <sub>3</sub> ) <sub>2</sub> ] <sup>0</sup>                | 6,5·10 <sup>-10</sup>  | 9,19   |
| [Ag(CN) <sub>2</sub> ] <sup>-</sup>                              | 8,0·10 <sup>-22</sup>  | 21,1   | [Cu(S <sub>2</sub> O <sub>3</sub> ) <sub>2</sub> ] <sup>2-</sup> | 1,4·10 <sup>-14</sup>  | 13,84  |
| [Ag(Pyrr) <sub>2</sub> ] <sup>+</sup>                            | 7,8·10 <sup>-5</sup>   | 4,11   | [CuCl <sub>2</sub> ] <sup>+</sup>                                | 5,0·10 <sup>-6</sup>   | 5,30   |
| [Ag(En) <sub>2</sub> ] <sup>+</sup>                              | 1,45·10 <sup>-8</sup>  | 7,84   | [Cu(CN) <sub>4</sub> ] <sup>2-</sup>                             | 5,0·10 <sup>-32</sup>  | 31,30  |
| [AgCH <sub>3</sub> COO]  | 1,83·10 <sup>-1</sup>  | 0,74   | [Cu(Dyp) <sub>2</sub> ] <sup>2+</sup>                            | 1,4·10 <sup>-16</sup>  | 17,85  |
| [Ag(Gl) <sub>2</sub> ] <sup>-</sup>                              | 1,3·10 <sup>-7</sup>   | 6,89   | [Cu(Pyrr) <sub>2</sub> ] <sup>2+</sup>                           | 2,88·10 <sup>-7</sup>  | 6,54   |
| [AlF <sub>6</sub> ] <sup>3-</sup>                                | 1,4·10 <sup>-20</sup>  | 19,84  | [Cu(En) <sub>2</sub> ] <sup>2+</sup>                             | 2,52·10 <sup>-20</sup> | 19,60  |
| [Al(C <sub>2</sub> O <sub>4</sub> ) <sub>3</sub> ] <sup>3-</sup> | 1,6·10 <sup>-17</sup>  | 16,8   | [Cu(Ac) <sub>2</sub> ]   | 6,9·10 <sup>-16</sup>  | 15,16  |
| [AlSal] <sup>+</sup>   | 8·10 <sup>-13</sup>    | 14,1   | [CuX] <sup>-</sup>   | 2,1·10 <sup>-13</sup>  | 12,68  |
| [Al(AC) <sub>3</sub> ] <sup>3</sup>                              | 5·10 <sup>-23</sup>    | 22,3   | [Cu(CH <sub>3</sub> COO) <sub>2</sub> ]                          | 5,0·10 <sup>-4</sup>   | 3,30   |
| [BaX] <sup>-</sup>   | 3,9·10 <sup>-7</sup>   | 6,41   | [Cu(Gl) <sub>2</sub> ] <sup>-</sup>                              | 5,4·10 <sup>-17</sup>  | 16,27  |
| [BaCH <sub>3</sub> COO] <sup>+</sup>                             | 3,9·10 <sup>-1</sup>   | 0,41   | [Fe(NH <sub>3</sub> ) <sub>2</sub> ] <sup>2+</sup>               | 6,4·10 <sup>-3</sup>   | 2,2    |
| [Ba(Gl) <sup>+</sup> ]   | 1,7·10 <sup>-1</sup>   | 0,77   | [FeS <sub>2</sub> O <sub>4</sub> ] <sup>+</sup>                  | 7,9·10 <sup>-3</sup>   | 2,10   |
| [BeF <sub>2</sub> ] <sup>+</sup>                                 | 5,1·10 <sup>-7</sup>   | 6,29   | [FeHPO <sub>4</sub> ] <sup>+</sup>                               | 3,5·10 <sup>-10</sup>  | 9,35   |
| [Be(AC) <sub>2</sub> ]   | 2,35·10 <sup>-13</sup> | 14,63  | [FeF <sub>2</sub> ]  | 8,7·10 <sup>-13</sup>  | 12,06  |
| [BiBr <sub>4</sub> ] <sup>2-</sup>                               | 2·10 <sup>-10</sup>    | 9,70   | [FeCl <sub>2</sub> ]   | 7,4·10 <sup>-3</sup>   | 1,13   |
| [BiI <sub>6</sub> ] <sup>3-</sup>                                | 3,1·10 <sup>-13</sup>  | 11,51  | [Fe(CN) <sub>6</sub> ] <sup>4-</sup>                             | 1,0·10 <sup>-36</sup>  | 35     |
| [Bi(SCN) <sub>6</sub> ] <sup>3-</sup>                            | 5,9·10 <sup>-5</sup>   | 4,28   | [Fe(CN) <sub>6</sub> ] <sup>3-</sup>                             | 1,0·10 <sup>-42</sup>  | 42     |
| [BiCl <sub>4</sub> ] <sup>-</sup>                                | 1,7·10 <sup>-4</sup>   | 3,77   | [Fe(Dyp) <sub>2</sub> ] <sup>2+</sup>                            | 2,6·10 <sup>-13</sup>  | 17,58  |
| [Cd(NH <sub>3</sub> ) <sub>4</sub> ] <sup>2+</sup>               | 7,56·10 <sup>-8</sup>  | 7,12   | [Fe(Phen) <sub>2</sub> ] <sup>2+</sup>                           | 5,0·10 <sup>-22</sup>  | 21,3   |
| [CdBr <sub>4</sub> ] <sup>2-</sup>                               | 2·10 <sup>-4</sup>     | 3,70   | [Fe(En) <sub>2</sub> ] <sup>2+</sup>                             | 3,0·10 <sup>-10</sup>  | 9,52   |
| [CdI <sub>4</sub> ] <sup>2-</sup>                                | 8·10 <sup>-7</sup>     | 6,10   | [Fe(C <sub>2</sub> O <sub>4</sub> ) <sub>2</sub> ] <sup>2-</sup> | 6,3·10 <sup>-21</sup>  | 20,2   |
| [Cd(SCN) <sub>4</sub> ] <sup>2-</sup>                            | 1,67·10 <sup>-3</sup>  | 1,78   | [Fe(Sal) <sub>2</sub> ] <sup>2-</sup>                            | 2,8·10 <sup>-34</sup>  | 33,55  |
| [Cd(S <sub>2</sub> O <sub>3</sub> ) <sub>2</sub> ] <sup>2-</sup> | 3,6·10 <sup>-7</sup>   | 6,44   | [Fe(Ac) <sub>2</sub> ]   | 6,4·10 <sup>-27</sup>  | 26,2   |
| [CdCl <sub>2</sub> ] <sup>-</sup>                                | 3,40·10 <sup>-3</sup>  | 2,46   | [FeX] <sup>-</sup>   | 1,45·10 <sup>-9</sup>  | 8,84   |
| [Cd(CN) <sub>4</sub> ] <sup>2-</sup>                             | 1,41·10 <sup>-19</sup> | 18,85  | [FeGl] <sub>2</sub> ]  | 1,6·10 <sup>-2</sup>   | 7,8    |
| [Cd(Dyp) <sub>2</sub> ] <sup>2+</sup>                            | 3,4·10 <sup>-11</sup>  | 10,47  | [Hg(NH <sub>3</sub> ) <sub>4</sub> ] <sup>2+</sup>               | 5,3·10 <sup>-20</sup>  | 18,28  |
| [Cd(Pyrr) <sub>4</sub> ] <sup>2+</sup>                           | 3,2·10 <sup>-6</sup>   | 2,49   | [HgBr <sub>2</sub> ] <sup>-</sup>                                | 1,0·10 <sup>-21</sup>  | 21,0   |
| [Cd(En) <sub>2</sub> ] <sup>2+</sup>                             | 8,15·10 <sup>-13</sup> | 12,09  | [HgI <sub>4</sub> ] <sup>2-</sup>                                | 1,5·10 <sup>-30</sup>  | 29,83  |
| [Cd(C <sub>2</sub> O <sub>4</sub> ) <sub>2</sub> ] <sup>2-</sup> | 4,2·10 <sup>-6</sup>   | 5,37   | [Hg(SCN) <sub>4</sub> ] <sup>2-</sup>                            | 5,9·10 <sup>-22</sup>  | 21,23  |
| [Cd(Phen) <sub>2</sub> ] <sup>2+</sup>                           | 6,4·10 <sup>-16</sup>  | 15,20  | [Hg(SO <sub>3</sub> ) <sub>2</sub> ] <sup>0</sup>                | 1,45·10 <sup>-24</sup> | 22,84  |
| [Cd(AC) <sub>2</sub> ]   | 1,9·10 <sup>-7</sup>   | 6,72   | [Hg(S <sub>2</sub> O <sub>3</sub> ) <sub>2</sub> ] <sup>0</sup>  | 2,8·10 <sup>-34</sup>  | 33,24  |
| [CdX] <sup>-</sup>   | 2,9·10 <sup>-10</sup>  | 9,54   | [HgCl <sub>2</sub> ] <sup>+</sup>                                | 1,2·10 <sup>-15</sup>  | 14,92  |
| [Cd(CH <sub>3</sub> COO) <sub>2</sub> ]                          | 1,7·10 <sup>-3</sup>   | 2,77   | [Hg(CH <sub>3</sub> COO) <sub>2</sub> ]                          | 3,75·10 <sup>-9</sup>  | 8,43   |
| [Cd(Gl) <sub>2</sub> ]   | 8,0·10 <sup>-9</sup>   | 8,1    | [InBr <sub>2</sub> ]   | 3,3·10 <sup>-3</sup>   | 2,48   |
| [Co(NH <sub>3</sub> ) <sub>6</sub> ] <sup>2+</sup>               | 7,75·10 <sup>-6</sup>  | 5,11   | [InI] <sup>+</sup>   | 5·10 <sup>-1</sup>     | 0,30   |
| [Co(NH <sub>3</sub> ) <sub>4</sub> ] <sup>2+</sup>               | 3,1·10 <sup>-33</sup>  | 32,51  | [In(SCN) <sub>3</sub> ]  | 2,3·10 <sup>-6</sup>   | 4,63   |
| [Co(SCN) <sub>4</sub> ] <sup>2-</sup>                            | 1,0·10 <sup>-2</sup>   | 3,00   | [InF <sub>4</sub> ] <sup>-</sup>                                 | 2,0·10 <sup>-10</sup>  | 9,70   |
| [CoS <sub>2</sub> O <sub>3</sub> ]                               | 9,0·10 <sup>-2</sup>   | 2,05   | [InCl <sub>2</sub> ]   | 5,9·10 <sup>-4</sup>   | 3,23   |
| [Co(En) <sub>2</sub> ] <sup>2+</sup>                             | 1,5·10 <sup>-14</sup>  | 13,82  | [In(AC) <sub>2</sub> ] <sup>+</sup>                              | 8·10 <sup>-18</sup>    | 15,1   |
| [Co(En) <sub>3</sub> ] <sup>2+</sup>                             | 2,0·10 <sup>-49</sup>  | 48,69  | [In(CH <sub>3</sub> COO) <sub>4</sub> ] <sup>2-</sup>            | 5,0·10 <sup>-11</sup>  | 10,30  |
| [Co(C <sub>2</sub> O <sub>4</sub> ) <sub>3</sub> ] <sup>4-</sup> | 1,1·10 <sup>-8</sup>   | 7,96   | [Mn(NH <sub>3</sub> ) <sub>2</sub> ] <sup>2+</sup>               | 5,0·10 <sup>-2</sup>   | 1,3    |
| [Co(AC) <sub>2</sub> ]   | 2,7·10 <sup>-10</sup>  | 9,57   | [MnS <sub>2</sub> O <sub>3</sub> ]                               | 1,1·10 <sup>-2</sup>   | 1,95   |
| [CoX] <sup>-</sup>   | 2,46·10 <sup>-11</sup> | 10,61  | [MnF] <sup>2+</sup>  | 3,3·10 <sup>-6</sup>   | 5,48   |
| [Co(Gl) <sub>2</sub> ] <sup>-</sup>                              | 1,75·10 <sup>-11</sup> | 10,76  | [MnCl] <sup>2+</sup>   | 1,1·10 <sup>-1</sup>   | 0,96   |
| [Cr(SCN) <sub>2</sub> ] <sup>+</sup>                             | 1,05·10 <sup>-8</sup>  | 2,98   | [MnDyp] <sup>2+</sup>  | 3,16·10 <sup>-3</sup>  | 2,5    |



| Комплекс               | $K_H$                 | $pK_H$ | Комплекс              | $K_H$                 | $pK_H$ |
|------------------------|-----------------------|--------|-----------------------|-----------------------|--------|
| $[Mn(En)_3]^{2+}$      | $2,14 \cdot 10^{-6}$  | 5,67   | $[Th(CrO_4)_4]^{4-}$  | $3,3 \cdot 10^{-25}$  | 24,48  |
| $[MnX]^-$              | $5,64 \cdot 10^{-9}$  | 7,44   | $[TiOF]^{+}$          | $3,6 \cdot 10^{-7}$   | 6,44   |
| $[Mn(Ac)_2]$           | $4,45 \cdot 10^{-8}$  | 7,35   | $[TiBr_4]^-$          | $1,3 \cdot 10^{-24}$  | 23,9   |
| $[Ni(NH_3)_6]^{2+}$    | $1,86 \cdot 10^{-9}$  | 8,73   | $TiSCN$               | $1,6 \cdot 10^{-1}$   | 0,80   |
| $[Ni(SCN)_3]^-$        | $1,55 \cdot 10^{-3}$  | 1,81   | $[TiS_2O_3]^-$        | $1,23 \cdot 10^{-2}$  | 1,91   |
| $[NiS_2O_3]$           | $8,7 \cdot 10^{-3}$   | 2,06   | $[TlF]^-$             | $8 \cdot 10^{-1}$     | 0,1    |
| $[Ni(En)_3]^{2+}$      | $2,57 \cdot 10^{-10}$ | 18,59  | $[UO_2Br]^{+}$        | 2,00                  | -0,30  |
| $[Ni(C_2O_4)_2]^{2-}$  | $2,3 \cdot 10^{-8}$   | 7,64   | $[UO_2(SCN)_3]^-$     | $6,6 \cdot 10^{-3}$   | 1,18   |
| $[Ni(Ac)_2]^-$         | $8,15 \cdot 10^{-14}$ | 13,09  | $[UO_2F_3]^-$         | $3,4 \cdot 10^{-11}$  | 10,47  |
| $[NiX]^-$              | $5,5 \cdot 10^{-12}$  | 11,26  | $[UO_2Cl]^{+}$        | 2,0                   | -0,30  |
| $[Ni(CH_3COO)_2]$      | $5,5 \cdot 10^{-2}$   | 1,26   | $[UO_2Sal]^-$         | $4 \cdot 10^{-14}$    | 13,4   |
| $[Ni(Gl)_2]$           | $2,3 \cdot 10^{-11}$  | 10,64  | $[UO_2(Ac)_2]$        | $7,1 \cdot 10^{-18}$  | 14,15  |
| $[PbBr_2]$             | $1,2 \cdot 10^{-2}$   | 1,92   | $[Zn(NH_3)_4]^{2+}$   | $3,46 \cdot 10^{-10}$ | 9,46   |
| $[PbI_4]^{2-}$         | $1,42 \cdot 10^{-4}$  | 3,85   | $[ZnBr]^{+}$          | 4,0                   | -0,60  |
| $[Pb(S_2O_3)_3]^{4-}$  | $4,48 \cdot 10^{-7}$  | 6,35   | $[ZnI]^{+}$           | 20                    | -1,3   |
| $[PbCl_2]^-$           | $1,4 \cdot 10^{-2}$   | 1,85   | $[ZnSCN]^{+}$         | $2,4 \cdot 10^{-2}$   | 1,62   |
| $[PbDyp]^{2+}$         | $1,0 \cdot 10^{-3}$   | 3,0    | $[ZnS_2O_3]$          | $4,0 \cdot 10^{-3}$   | 2,40   |
| $[PbX]^-$              | $1,6 \cdot 10^{-12}$  | 11,8   | $[ZnCl_2]^-$          | $7,1 \cdot 10^{-1}$   | 0,15   |
| $[Pb(CH_3COO)_4]^{2-}$ | $3,8 \cdot 10^{-9}$   | 1,41   | $[Zn(CN)_4]^{2-}$     | $1,3 \cdot 10^{-17}$  | 16,89  |
| $[Pb(Gl)_2]$           | $1,38 \cdot 10^{-9}$  | 8,86   | $[Zn(En)_3]^{2+}$     | $8,12 \cdot 10^{-12}$ | 12,08  |
| $[PdBr_4]^{2-}$        | $8,0 \cdot 10^{-14}$  | 13,1   | $[Zn(C_2O_4)_2]^{2-}$ | $2,5 \cdot 10^{-8}$   | 7,60   |
| $[PdCl_4]^{2-}$        | $6 \cdot 10^{-14}$    | 13,22  | $[Zn(Phen)_3]^{2+}$   | $1 \cdot 10^{-17}$    | 17,0   |
| $[PtBr_4]^{2-}$        | $3,0 \cdot 10^{-21}$  | 20,5   | $[Zn(Ac)_2]$          | $9,5 \cdot 10^{-10}$  | 9,02   |
| $[PtCl_4]^{2-}$        | $3,0 \cdot 10^{-18}$  | 16     | $[ZnX]^-$             | $3,55 \cdot 10^{-11}$ | 10,45  |
| $[SrX]^-$              | $1,86 \cdot 10^{-7}$  | 6,73   | $[ZnCH_3COO]^{+}$     | $2 \cdot 10^{-2}$     | 1,70   |
| $[SrCH_3COO]^{+}$      | $3,6 \cdot 10^{-1}$   | 0,44   | $[Zn(Gl)_2]$          | $1,1 \cdot 10^{-10}$  | 9,96   |
| $[Sr(Gl)]^{+}$         | $2,5 \cdot 10^{-1}$   | 0,6    | $[ZnF_3]^{+}$         | $1,2 \cdot 10^{-22}$  | 21,94  |
| $[ThF_3]^{+}$          | $1,1 \cdot 10^{-16}$  | 17,97  |                       |                       |        |

<sup>1</sup> Pyr — пиридин.

<sup>2</sup> En — этилендиамин.

<sup>3</sup> Gl — анион аминокислоты.

<sup>4</sup> Sal — анион салициловой кислоты.

<sup>5</sup> Ac — анион ацетилацетона.

<sup>6</sup> X — анион нитрилотриуксусной кислоты.

<sup>7</sup> Dyp — 2,2'-дипиридил.

<sup>8</sup> Phen — 1,10-фенантрол и.в.



## Рекомендованная литература

Алимарин И. П., Петрикова Н. М. Качественный и количественный ультрамикрхимический анализ. М., «Химия», 1974.

Анализ минерального сырья. Под общей редакцией Ю. Н. Книпович и Ю. В. Морачевского. М., Госхимиздат, 1956.

Аналитическая химия элементов. М., Изд-во АН СССР (серия монографий о методах обнаружения, разделения и определения элементов. Вышли из печати монографии по аналитической химии алюминия, бериллия, бора, висмута, вольфрама, галлия, германия, золота, индия, кадмия, калия, кальция, кобальта, кремния, лития, магния, марганца, молибдена, мышьяка, нептуния, никеля, ниобия и тантала, олова, платиновых металлов, плутония, протактиния, радия, редкоземельных элементов и иттрия, рения ртути, рубидия и цезия, рутения, селена и теллура, серебра, серы, таллия, технеция, прометия, астатина и франция, тория, трансплутониевых элементов, урана, фосфора, фтора, циркония и гафния. Законченное издание составит около 50 томов).

Бабко А. К., Дубовенко Л. И., Луковская Н. М. Хемилюминесцентный анализ. К., «Техніка», 1966.

Бабко А. К., Пилипенко А. Т. Фотометрический анализ. Общие сведения и аппаратура. М., «Химия», 1968.

Бабко А. К., Пилипенко А. Т. Фотометрический анализ. Методы определения неметаллов. М., «Химия», 1974.

Бабко А. К., Пилипенко А. Т., Пятницкий И. В., Рябушко О. П. Физико-химические методы анализа. М., «Высшая школа», 1968.

Батлер Дж. Н. Ионные равновесия. Пер. с англ. Л., «Химия», 1973.

Бейтс Р. Определение рН. Пер. с англ. Л., «Химия», 1968.

Бельчер Р. Субмикрометоды анализа органических веществ. М., «Мир», 1968.

Бургер К. Органические реагенты в неорганическом анализе. Пер. с англ. М., «Мир», 1975.

Гейровский Я., Кута Я. Основы полярографии. М., «Мир», 1965.

Доерфель К. Статистика в аналитической химии. М., «Мир», 1969.

Золотов Ю. А. Очерки аналитической химии. М., «Химия», 1977.

Золотов Ю. А. Экстракция внутрикомплексных соединений. М., «Наука», 1968.



Золотов Ю. А., Кузьмин Н. М. Экстракционное концентрирование. М., «Химия», 1971.

Ионоселективные электроды. Под ред. Р. Дарста. Пер. с англ. М., «Мир», 1972.

Коренман И. М. Фотометрический анализ. Методы определения органических соединений. М., «Химия», 1975.

Кузнецов Р. А. Активационный анализ. М., «Атомиздат», 1974.

Мурашова Б. И., Тананаева А. Н., Ховякова Р. Ф. Качественный химический дробный анализ. М., «Химия», 1976.

Пешкова В. М., Громова М. И. Методы абсорбционной спектроскопии в аналитической химии. М., «Высшая школа», 1976.

Перрин А. Органические аналитические реагенты. Пер. с англ. М., «Мир», 1967.

Пиккеринг У. Ф. Современная аналитическая химия. Пер. с англ. М., «Химия», 1977.

Полуэктов Н. С. Методы анализа по фотометрии пламени. М., 1967.

Попель А. А. Применение ядерной магнитной релаксации в анализе неорганических соединений. Изд-во Казанск. ун-та, 1975.

Пршибил Р. Аналитические применения этилендиаминтетрауксусной кислоты и родственных соединений. Пер. с англ. М., «Мир», 1975.

Радиоактивные индикаторы в химии. Основы метода. М., «Высшая школа», 1975.

Руководство по аналитической химии. Под ред. Ю. А. Клячко. Пер. с нем. М., «Мир», 1975.

Саввин С. Б., Кузин Э. Л. Электронные спектры и структура органических реагентов. М., «Наука», 1974.

Сендел Е. Б. Колориметрические методы определения следов металлов. М., «Мир», 1964.

Столяров К. П., Григорьев Н. Н. Введение в люминесцентный анализ неорганических веществ. М., «Химия», 1967.

Файгль Ф., Ангер В. Капельный анализ неорганических веществ, т. 1—2. Пер. с англ. М., «Мир», 1976.

Физические методы анализа следов элементов. Под ред. И. П. Алимарина. Пер. с англ. М., «Мир», 1967.

Херинг Р. Хелатообразующие ионообменники. М., «Мир», 1971.

Шарло Г. Методы аналитической химии, т. 1—2. М., «Химия», 1969.

Эшворт М. Р. Ф. Титриметрические методы анализа органических соединений. Методы прямого титрования. Пер. с англ. М., «Химия», 1968.

Яцимирский К. Б. Кинетические методы анализа. М., «Химия», 1967.



## Содержание

|   |            |
|---|------------|
| Предисловие . . . . .   | 3          |
| Введение . . . . .  | 6          |
| <b>Раздел I. Кисотно-основные реакции . . . . .</b>   | <b>7</b>   |
| <i>Глава 1. Основные типы кислот и их свойства . . . . .</i>  | <i>7</i>   |
| § 1. Бескислородные кислоты типа гидридов . . . . .   | 7          |
| § 2. Кислородные и комплексные кислоты . . . . .  | 16         |
| § 3. Органические кислоты . . . . .   | 19         |
| <i>Глава 2. Концентрация водородных ионов в водных растворах электролитов . . . . .</i>                     | <i>23</i>  |
| § 4. Концентрация водородных ионов в растворах кислот . . . . .   | 24         |
| § 5. Функция кислотности Гаммета . . . . .  | 30         |
| § 6. Буферные растворы . . . . .  | 36         |
| § 7. pH растворов кислых солей . . . . .  | 41         |
| § 8. Гидролиз солей . . . . .   | 44         |
| § 9. Влияние посторонних электролитов на диссоциацию кислот . . . . .                                       | 53         |
| § 10. Методы определения констант диссоциации кислот . . . . .  | 58         |
| § 11. Зависимость концентрации различных форм многоосновных кислот от pH раствора . . . . .                 | 64         |
| § 12. Амфолиты (амфотерные электролиты) . . . . .   | 69         |
| § 13. Критерии применимости кислотно-основных реакций в объемном анализе . . . . .                          | 76         |
| <i>Глава 3. Влияние растворителей на диссоциацию кислот . . . . .</i>                                       | <i>80</i>  |
| § 14. Теории кислот и оснований . . . . .   | 80         |
| § 15. Теория Бренстеда . . . . .  | 83         |
| § 16. Выводы из основного уравнения Бренстеда . . . . .   | 87         |
| § 17. Классификация неводных растворителей и их дифференцирующее действие на силу кислот . . . . .          | 94         |
| § 18. Аналитическое применение неводных растворителей . . . . .   | 99         |
| <b>Раздел II. Реакции осаждения . . . . .</b>   | <b>104</b> |
| <i>Глава 4. Растворимость осадков . . . . .</i>   | <i>104</i> |
| § 19. Типы фазовых равновесий . . . . .   | 104        |
| § 20. Равновесие между раствором и твердой фазой . . . . .  | 110        |
| § 21. Переменный состав твердой фазы и растворимость . . . . .  | 118        |
| § 22. Произведение активности и произведение растворимости . . . . .  | 120        |
| § 23. Растворимость осадков в воде, сопровождающаяся гидролизом ионов малорастворимого соединения . . . . . | 123        |
| § 24. Растворимость осадков в присутствии избытка одноименных ионов . . . . .                               | 127        |
| § 25. Растворимость осадков при образовании комплексных соединений . . . . .                                | 132        |



|   |     |
|---|-----|
| § 26. Влияние сильных электролитов на растворимость осадков                         | 137 |
| § 27. Методы определения произведения растворимости                                 | 139 |
| § 28. Критерии применимости реакций осаждения в титриметрическом (объемном) анализе | 143 |
| <i>Глава 5. Соосаждение</i>   | 146 |
| § 29. Закономерности образования твердой фазы                                       | 146 |
| § 30. Закономерности адсорбции на аморфных осадках                                  | 147 |
| § 31. Закономерности соосаждения на кристаллических осадках                         | 150 |
| § 32. Использование соосаждения в аналитической химии                               | 152 |

### **Раздел III. Реакции комплексообразования**

|   |     |
|---|-----|
| <i>Глава 6. Устойчивость комплексов и положение элементов в периодической системе</i>   | 160 |
| § 33. Комплексные соединения и их значение в аналитической химии  | 160 |
| § 34. Ступенчатая диссоциация и устойчивость комплексов в растворах   | 163 |
| § 35. Зависимость устойчивости комплексов в растворах от свойств катиона-комплексообразователя  | 168 |
| § 36. Зависимость устойчивости комплексов в растворах от свойств лигандов   | 177 |
| § 37. Принцип жестких и мягких кислот и оснований (ЖМКО)  | 182 |
| <i>Глава 7. Методы определения состава и устойчивости комплексов в растворах</i>  | 188 |
| § 38. Ступенчатая диссоциация комплексов. Соотношения между ступенчатыми константами нестойкости  | 188 |
| § 39. Классификация экспериментальных методов определения состава и устойчивости комплексов   | 197 |
| § 40. Комплексы средней устойчивости  | 200 |
| § 41. Метод изомоларных серий   | 206 |
| § 42. Ступенчатая диссоциация комплексов. Метод Бьеррума  | 210 |
| § 43. Ступенчатая диссоциация комплексов. Метод Ледена  | 216 |
| § 44. Применение ступенчатых констант стойкости (или нестойкости) для вычисления концентраций отдельных комплексных форм. Диаграммы равновесия комплексов | 219 |
| <i>Глава 8. Примеры применения комплексов в анализе</i>   | 222 |
| § 45. Комплексонометрия   | 222 |
| § 46. Гетерополиокислоты  | 232 |
| § 47. Галогенидные и роданидные комплексы   | 236 |

### **Раздел IV. Реакции окисления-восстановления**

|  |     |
|--|-----|
| <i>Глава 9. Стандартные окислительно-восстановительные потенциалы и направление реакций окисления-восстановления</i> | 240 |
| § 48. Стандартный (нормальный) окислительно-восстановительный потенциал  | 240 |
| § 49. Методы определения стандартных (нормальных) окислительно-восстановительных потенциалов                         | 247 |
| § 50. Потенциалы элементов со средними степенями окисления   | 248 |
| <i>Глава 10. Механизмы реакций окисления-восстановления и их применение в анализе</i>                                | 252 |
| § 51. Сопряженные реакции окисления-восстановления   | 252 |
| § 52. Механизмы реакций окисления-восстановления   | 255 |
| § 53. Каталитические методы анализа  | 259 |



*Игорь Владимирович Пятницкий*

**Теоретические основы аналитической химии  
(теория главных типов химических реакций)**

Редактор *М. Д. Михайлова*

Переплет художника *Д. Ш. Бродского*

Художественный редактор *Е. Н. Прокофьев*

Технический редактор *Т. И. Трофимова*

Корректор *Т. А. Левицкая*

Информ. бланк № 909

Сдано в набор 5.04.1977 г. Подписано в печать 12.10.1977 г.  
Формат 84x108<sup>1</sup>/<sub>32</sub>. Бумага типографская № 3. Лит. гарнит. Вы-  
сокая печать. 14,28 усл.-печ. л. 13,33 уч.-изд. л. Тираж 2600 экз.  
Изд. № 3397. Зак. № 8-25. Цена 70 коп.

Головное издательство издательского объединения «Вища шко-  
ла», 252054, Киев-54, ул. Гоголевская, 7.

Книжная фабрика «Коммунист» РПО «Полиграфкнига» Гос-  
комиздата УССР, 310012, Харьков-12, ул. Энгельса, 11.



